Theoretische Teilchenphysik

Dozent: Prof. Dr. Ulrich Nierste Skript 1 : Fred-Markus Stober und U. Nierste

7. August 2007

¹Aktuelle Version: http://www.fredstober.de

Inhaltsverzeichnis

1	Ein	Einführung 4							
	1.1	Überblick							
		1.1.1 "Landkarte der Quantenfeldtheorie"							
	1.2	Konventionen							
		1.2.1 Metrik							
		1.2.2 Levi-Civita-Tensor							
		1.2.3 Summenkonvention							
2	Lor	entzgruppe und Poincarégruppe							
	2.1	Lorentzgruppe							
		2.1.1 Raum— und Zeitspiegelung							
		2.1.2 Rotationen							
		2.1.3 Lie-Algebra							
		2.1.4 Darstellungen und Feldgleichungen							
	2.2	Poincaré-Gruppe \mathcal{P}							
	2.3	Casimir-Operatoren							
		1							
3	Lag	rangeformalismus der Felder 20							
	3.1	Bewegungsgleichungen							
	3.2	Noether-Theorem							
4	Kar	nonische Feldquantisierung 31							
	4.1	Reelles Klein-Gordon-Feld							
	4.2	Komplexes Klein-Gordon-Feld							
	4.3	Dirac-Feld							
5	Wed	chselwirkende Felder 54							
J	5.1	Operatorformalismus für KG-Felder							
	0.1	5.1.1 Källén-Lehmann-Spektraldarstellung							
		5.1.2 Asymptotische Zustände							
		5.1.3 Nützliches aus der Graphentheorie:							
		5.1.4 Komplexes KG-Feld:							
	5.2	Feynman Regeln für Dirac-Felder:							
	٥.ــ	5.2.1 Feynmanregeln für Dirac-Fermionen mit Yukawa-Wechselwirkung 85							
	5.3	Zerfallsrate und Streuquerschnitt							
	0.0	5.3.1 Feynman-Regeln für massive Vektorbosonen							
		5.3.2 Z-Zerfall in Fermion-Antifermion-Paar							
		5.3.3 Dreikörperzerfälle							
		5.3.4 Streuquerschnitt							
	5.4	Quantenelektrodynamik							
	J. 1	5.4.1 Eichfixierung							
		5.4.2 Feynman-Regeln der QED							
		5.4.3 Diagrammatischer Beweis der Ward-Identität							
		5.4.4 Anwendung: Myon-Paarproduktion in e^+e^- – Kollisionen							
		5.4.4 Minduing. Myon-1 amproduktion in $\epsilon = 1$ Combionen 122							

		5.4	1.5 Crossing-Symmetrie	Э					
6	Das	Sta	andardmodell 12	9					
	6.1	Nic	Nichtabelsche Eichtheorien						
		6.1	1.1 Allgemeine Aussagen über $SU(N)$:	1					
		6.1							
		6.1	1.3 Quantenchromodynamik (QCD):	8					
	6.2	-	ontane Symmetriebrechung						
		6.2							
		6.2	00						
		6.2							
	6.3		ıkawa-Sektor						
	0.4	6.3	8						
	6.4		P-Verletzung und Baryogenese						
	c F	6.4	v v						
	6.5		hleifen / Loops						
		6.5 6.5	1 1						
		6.5							
		6.5							
		0.0	7.1 Taddeew Topow Gelstielder	_					
$\mathbf{L}_{\mathbf{c}}$	ehrl	bücher							
[K	ugo]		Kugo, Taichiro: Eichtheorie, Springer						
[Pe	[Peskin]		Peskin, Michael E. and Schroeder, Daniel V.: An introduction to quantum field theory, Addison-Wesley						
		[1]	Bailin, David and Love, Alexander: Introduction to gauge field theory, Hilger						
[Ra	amono	d]	Ramond, Pierre: Field theory, Addison-Wesley						
		[2]	Nachtmann, Otto: Phänomene und Konzepte der Elementarteilchenphysik, Viewe	g					
		[3]	Cheng, Ta-Pei and Li, Ling-Fong: Gauge theory of elementary particle physics. Clarendon Pr.	3,					
		[4]	Bjorken, James D. and Drell, Sidney D.: Relativistische Quantenfeldtheorie, Bl. WissVerl.						
[Ka	aku]		Kaku, Michio: Quantum field theory, Oxford University Press						
[St	ermai	n]	Sterman, George: An Introduction to Quantum Field Theory, Cambridge University Press	y					
[W	einbe	rg]	Weinberg, Steven: The quantum theory of fields, Cambridge University Press						
		[5]	Itzykson, Claude and Zuber, Jean-Bernard: Quantum field theory, McGraw-Hill						

[6] Halzen, Francis and Martin, Alan D., Quarks and leptons, Wiley

[Pokorski] Pokorski, Stefan: Gauge field theories, Cambridge University Press

URLs:

http://pdg.lbl.gov Particle Data Group
http://www.slac.stanford.edu/spires/hep Datenbank SPIRES für Publikationen
http://arxiv.org Preprint-Archiv
http://www.cern.ch CERN

1 Einführung

1.1 Überblick

Elementarteilchenphysik = Hochenergiephysik

Grundlage: Quantenfeldtheorie

Teilchen \leftrightarrow Anregungszustände von Quantenfeldern

Zentrale Fragen

- 1. Welche fundamentale Teilchen (Quantenfelder) gibt es?
- 2. Welche Wechselwirkungen wirken zwischen ihnen?
- 3. Welchen Symmetrien unterliegen Teilchen und Wechselwirkungen?

kurze Abstände \leftrightarrow hohe Energien \leftrightarrow frühe Zeiten nach dem Urknall

$$1\,\mathrm{fm} = 10^{-15}\,\mathrm{m} = \frac{\hbar c}{0,2\,\mathrm{GeV}}$$

$$1\,\mathrm{GeV} \simeq \mathrm{Mittlere\ Energie\ aller\ Teilchen\ } 10^{-4}\,\mathrm{s\ nach\ dem\ Urknall}$$

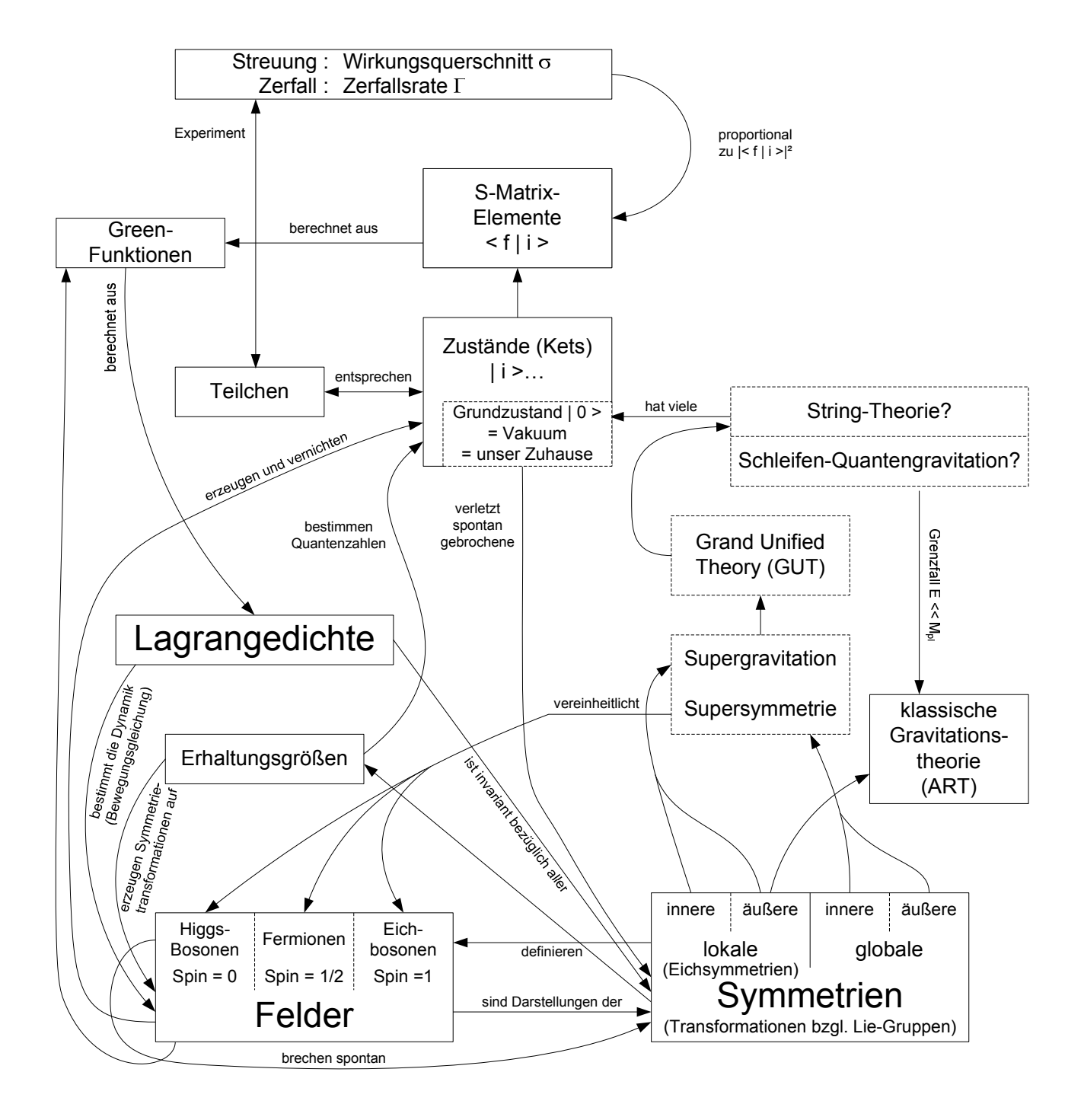
$$\mathrm{als\ es\ eine\ Temperatur\ von\ } \frac{1\,\mathrm{GeV}}{k_B} = 10^{13}\,\mathrm{K\ } (=10^{-10}\,\mathrm{\frac{J}{k_B}})\ \mathrm{hatte}.$$

$$\begin{array}{rcl} 1\,{\rm GeV} & = & 1, 6\cdot 10^{-10}\,{\rm J} \\ \frac{1\,{\rm GeV}}{c^2} & = & 1, 8\cdot 10^{-27}\,{\rm kg} \end{array}$$

Energieskala	phy. Relevanz	Längenskala	Zeit nach
			dem Urknall ¹
Planck-Skala	(Quanten-)Gravitation	$10^{-35}\mathrm{m}$	$\leq 10^{-43} \mathrm{s}$
$10^{19}\mathrm{GeV}$			$10^{32} { m K}$
GUT-Skala	Vereinheitlichung der	$10^{-32}\mathrm{m}$	$10^{-37} \mathrm{s}$
$10^{16} {\rm GeV}$?	Eichwechselwirkungen		$10^{29} \mathrm{K}$
$10^{10} \mathrm{GeV} - 10^{16} \mathrm{GeV}$?	Masse rechtshändiger Neutrinos?	$10^{-26} \mathrm{m} - 10^{-32} \mathrm{m}$	$10^{-32} \mathrm{s} - 10^{-26} \mathrm{s}$
	Leptogenese? Baryogenese?		$10^{23} \mathrm{K} - 10^{26} \mathrm{K}$
$10^2 \mathrm{GeV} - 10^4 \mathrm{GeV}$	Mechanismus zur Stabilisierung	$10^{-18} \mathrm{m} - 10^{-20} \mathrm{m}$	$10^{-14} \mathrm{s} - 10^{-10} \mathrm{s}$
	der elektroschwachen Skala		$10^{15}\mathrm{K} - 10^{17}\mathrm{K}$
	Leptogenese? Baryogenese?		
elektroschwache Skala	Skala der elektroschwachen Sym-	Reichweite der schwachen	$10^{-10}\mathrm{s}$
$10^2\mathrm{GeV}$	metriebrechung, Higgs-Physik?	Wechselwirkung $10^{-18} \mathrm{m}$	$10^{15}{ m K}$
	Masse von W und Z - Boson		
hadronische Skala	Confinement der Quarks, Massen	Nukleonradius	$10^{-4}\mathrm{s}$
$200\mathrm{MeV}-2\mathrm{GeV}$	der leichten Hadronen (p, n)	$10^{-15} \mathrm{m} - 10^{-16} \mathrm{m}$	$10^{13} { m K}$
$0,05{ m eV} - 1{ m eV}$	Massen der Neutrinos	$10^{-6} \mathrm{m} - 10^{-7} \mathrm{m}$	$10^5 \mathrm{y} - 10^6 \mathrm{y}$
. <u></u> .		(irrelevant)	$10^3 \mathrm{K} - 10^5 \mathrm{K}$
0	Masse des Photons, des Gluons	Reichweite der el. mag. WW	
	und des Gravitons	und der Gravitation ∞	

¹Temperatur $T = 10^{10} \,\mathrm{K} \cdot \sqrt{\frac{\mathrm{s}}{t}}$

1.1.1 "Landkarte der Quantenfeldtheorie"



1.2 Konventionen

Natürliche Einheiten (Planck-Einheiten):

•
$$c = 3, 0 \cdot 10^8 \frac{\text{m}}{\text{s}} \equiv 1 \implies 1 \text{ s} = 3, 0 \cdot 10^8 \text{ m}$$

•
$$\hbar = \frac{h}{2\pi} = 6, 6 \cdot 10^{-25} \,\text{GeV} \,\text{s} \equiv 1 \implies 1 \,\text{s} = 1, 5 \cdot 10^{24} \,\text{GeV}^{-1}$$

 $\hbar c = 1 \implies 1 \,\text{m} = 5, 1 \cdot 10^{15} \,\text{GeV}^{-1}$
 $m = \frac{E_{Ruhe}}{c^2} = E_{Ruhe} \implies 1 \,\text{kg} = 5, 5 \cdot 10^{26} \,\text{GeV}$

• el. Elementarladung
$$e>0$$

$$\frac{e^2}{4\pi}=\alpha\approx\frac{1}{137,\dots} \text{ ist Sommerfeldsche Feinstrukturkonstante } \Rightarrow e=0,30$$
 e ist dimensionslos! Coulomb-Potential eines H-Atoms: $V(r)=-\frac{e^2}{r}$

Alle physikalischen Einheiten sind Potenzen der Energie. Der Exponent heißt (Massen-) **Dimension**. Man schreibt:

$$[L"ange] = [Ze"it] = -1, [Masse] = 1, [e] = 0$$

1.2.1 Metrik

$$g = g^{\mu\nu} = \begin{pmatrix} 1 & 0 & 0 & 0 \\ 0 & -1 & 0 & 0 \\ 0 & 0 & -1 & 0 \\ 0 & 0 & 0 & -1 \end{pmatrix} = g_{\mu\nu}$$

1.2.2 Levi-Civita-Tensor

$$\varepsilon^{\mu\nu\rho\sigma} = \begin{cases} +1 & \text{für gerade} \\ -1 & \text{für ungerade} \end{cases} \begin{cases} \text{Permutation} \begin{pmatrix} 0 & 1 & 2 & 3 \\ \mu & \nu & \rho & \sigma \end{pmatrix} \\ \text{sonst} \end{cases}$$
 (1)

$$\varepsilon^{0123} = +1 \implies \varepsilon_{0123} = g_{0\mu} g_{1\nu} g_{2\rho} g_{3\sigma} \varepsilon^{\mu\nu\rho\sigma}$$
$$= g_{00} g_{11} g_{22} g_{33} \varepsilon^{0123}$$
$$= -\varepsilon^{0123} = -1$$

$$\varepsilon^{ab} = \begin{pmatrix} 0 & 1 \\ -1 & 0 \end{pmatrix} = i\sigma_2, \text{ d.h. } \varepsilon^{12} = 1$$
 (2)

1.2.3 Summenkonvention

Über wiederkehrende Indizes wird summiert:

$$a_i b_i = \sum_i a_i b_i$$
 Meist:
$$a_\mu b^\mu = \sum_{\mu=0}^3 a_\mu b^\mu$$

Bei Vierervektoren laufen griechische Indizes von 0 bis 3 und lateinische von 1 bis 3.

2 Lorentzgruppe und Poincarégruppe

2.1 Lorentzgruppe

kontravariant $x^{\mu} = \begin{pmatrix} x^{0} \\ x^{1} \\ x^{2} \\ x^{3} \end{pmatrix} = \begin{pmatrix} t \\ \vec{x} \end{pmatrix} \qquad x_{\mu} = g_{\mu\nu}x^{\nu} = \begin{pmatrix} 1 & 0 & 0 & 0 \\ 0 & -1 & 0 & 0 \\ 0 & 0 & -1 & 0 \\ 0 & 0 & 0 & -1 \end{pmatrix} \begin{pmatrix} t \\ \vec{x} \end{pmatrix} = \begin{pmatrix} t \\ -\vec{x} \end{pmatrix}$

Skalarprodukt: $x \cdot y = x_{\mu} y^{\mu} = x^{\mu} g_{\mu\nu} y^{\nu} = x^0 y^0 - \vec{x} \cdot \vec{y}, \quad g_{\mu\nu} = g^{\mu\nu} \quad g^{\nu}_{\mu} = \delta^{\nu}_{\mu}.$ Die linearen Transformationen

$$x^{\prime\mu} = \Lambda^{\mu}_{\ \nu} x^{\nu} \tag{3}$$

$$x'^{\mu} = \Lambda^{\mu}_{\nu} x^{\nu}$$
mit
$$x'_{\mu} y'^{\mu} = x_{\mu} y^{\mu}$$
 für alle x, y (4)

bilden die Lorentzgruppe $\mathcal{L} = O(1,3) = O(3,1)$ und (3) heißt Lorentz-Transformation.

$$(4) \Rightarrow g = \Lambda^{\top} g \Lambda \tag{5}$$

$$\Rightarrow \det \Lambda = \pm 1$$
 (6)

Lorentz-Transformationen aus

- 1. $\mathcal{L}_{+}^{\uparrow} = \{\Lambda \in \mathcal{L} : \det \Lambda = +1, \Lambda_0 \ ^0 \ge +1 \}$ heißen eigentlich orthochron.
- 2. $\mathcal{L}_{+}^{\downarrow} = \{\Lambda \in \mathcal{L} : \det \Lambda = +1, \Lambda_0^{-0} \leq -1\}$ heißen eigentlich nicht-orthochron.
- 3. $\mathcal{L}_{-}^{\uparrow} = \{\Lambda \in \mathcal{L} : \det \Lambda = -1, \Lambda_0^{0} \geq +1\}$ heißen uneigentlich orthochron.
- 4. $\mathcal{L}_{-}^{\downarrow} = \{ \Lambda \in \mathcal{L} : \det \Lambda = -1, \Lambda_0^{0} \le -1 \}$ heißen uneigentlich nicht-orthochron.

$$\mathcal{L} = \mathcal{L}_+^{\uparrow} \cup \mathcal{L}_+^{\downarrow} \cup \mathcal{L}_-^{\uparrow} \cup \mathcal{L}_-^{\downarrow}$$

2.1.1 Raum- und Zeitspiegelung

$$P = \begin{pmatrix} +1 & 0 & 0 & 0 \\ 0 & -1 & 0 & 0 \\ 0 & 0 & -1 & 0 \\ 0 & 0 & 0 & -1 \end{pmatrix} \in \mathcal{L}_{-}^{\uparrow} = P\mathcal{L}_{+}^{\uparrow}$$

$$T = \begin{pmatrix} -1 & 0 & 0 & 0 \\ 0 & +1 & 0 & 0 \\ 0 & 0 & +1 & 0 \\ 0 & 0 & 0 & +1 \end{pmatrix} \in \mathcal{L}_{-}^{\downarrow} = T\mathcal{L}_{+}^{\uparrow}$$

$$(8)$$

$$T = \begin{pmatrix} -1 & 0 & 0 & 0 \\ 0 & +1 & 0 & 0 \\ 0 & 0 & +1 & 0 \\ 0 & 0 & 0 & +1 \end{pmatrix} \in \mathcal{L}_{-}^{\downarrow} = T\mathcal{L}_{+}^{\uparrow}$$
 (8)

$$\mathcal{L}_{+}^{\downarrow} = PT\mathcal{L}_{+}^{\uparrow}$$

 $\mathcal{L}_{+}^{\uparrow}$ und

$$\mathcal{L}_{+} = \mathcal{L}_{+}^{\uparrow} \cup \mathcal{L}_{+}^{\downarrow} = SO(3,1) = SO(1,3) \tag{9}$$

sind Untergruppen von \mathcal{L} . (Ebenso $\mathcal{L}_{+}^{\uparrow} \cup \mathcal{L}_{-}^{\uparrow}$ und $\mathcal{L}_{+}^{\uparrow} \cup \mathcal{L}_{-}^{\downarrow}$.) SO steht für "spezielle orthogonale Gruppe" und (1,3) gibt die Signatur der Metrik an. Naturgesetze sind invariant unter $\mathcal{L}_{+}^{\uparrow}$ ("lorentzinvariant").

2.1.2 Rotationen

 $\mathcal{L}_{+}^{\uparrow}$ enthält Rotationen:

$$\Lambda(0, \vec{\varphi}) = \begin{pmatrix}
1 & 0 & 0 & 0 \\
0 & & & \\
0 & & R(\vec{\varphi}) & \\
0 & & &
\end{pmatrix}$$
(10)

mit Achse $\frac{\vec{\varphi}}{|\vec{\varphi}|}$ und Winkel $\varphi = |\vec{\varphi}|$

$$R(\vec{\varphi})_{ij} = \frac{\varphi_i \varphi_j}{\varphi^2} + \left(\delta_{ij} - \frac{\varphi_i \varphi_j}{\varphi^2}\right) \cos \varphi - \frac{\sin \varphi}{\varphi} \varepsilon_{ijk} \varphi_k \tag{11}$$

Ein reiner (d.h. ohne Rotation) **Boost** in ein sich mit Relativgeschwindigkeit \vec{v} bewegendes Bezugssystem ist:

$$\Lambda(\vec{u},0) = \begin{pmatrix} \cosh u & -\frac{\vec{u}}{u}\sinh u \\ -\frac{\vec{u}}{u}\sinh u & \mathbf{1}_{3\times 3} + \frac{\vec{u}\cdot\vec{u}^{\top}}{u^2}(\cosh u - 1) \end{pmatrix}$$
(12)

mit der **Rapidität** $u=\operatorname{arctanh}|\vec{v}|$ und $\vec{u}=u\frac{\vec{v}}{|\vec{v}|}$. Für $\vec{u}_1 \uparrow \uparrow \vec{u}_2$ ist

$$\Lambda(\vec{u}_1,0)\Lambda(\vec{u}_2,0) = \Lambda(\vec{u}_1 + \vec{u}_2,0)$$

Generatoren J_k und K_j (j, k = 1, 2, 3):

$$\Lambda(0, \vec{\varphi}) = \exp(i\vec{\varphi} \cdot \vec{J}) \tag{13a}$$

mit
$$[J_k]_{lm} = -i\varepsilon_{klm}$$
 und $[J_k]_{0\mu} = [J_k]_{\mu 0} = 0$
 $\Rightarrow [J_k]_{\lambda\mu} = -i\varepsilon_{0k\lambda\mu}$ (13b)

 $([J_k]_{lm}$ hieß $\omega^{(k)}$ $_{lm}$ in der QM–II–Vorlesung.)

 $\Lambda(\vec{u},0) = \exp(i\vec{u}\cdot\vec{K}) \text{ mit } [K_j]_{\lambda\mu} = i\delta_{\lambda 0}\delta_{j\mu} + i\delta_{0\mu}\delta_{\lambda j}, \text{ also:}$

$$K_{j} = i \begin{pmatrix} 0 & \cdots & 1 & \cdots & 0 \\ \vdots & \ddots & & & \\ 1 & 0 & & \vdots \\ \vdots & & \ddots & \\ 0 & \cdots & & 0 \end{pmatrix}$$

$$J_{k} = J_{k}^{\dagger} \text{ und } K_{j} = -K_{j}^{\dagger}$$

$$(14)$$

2.1.3Lie-Algebra

$$[J_{k}, J_{l}] = i\varepsilon_{klm}J_{m}(\text{Drehimpulsalgebra})$$

$$[K_{j}, K_{n}]_{\lambda\sigma} = [K_{j}]_{\lambda\mu} [K_{n}]_{\mu\sigma} - [K_{n}]_{\lambda\mu} [K_{j}]_{\mu\sigma}$$

$$\stackrel{(14)}{=} i^{2} [(\delta_{\lambda 0}\delta_{j\mu} + \delta_{0\mu}\delta_{\lambda j}) (\delta_{\mu 0}\delta_{n\sigma} + \delta_{0\sigma}\delta_{\mu n}) - (n \longleftrightarrow j)]$$

$$\stackrel{\Sigma^{3}_{\mu=0}}{=} i^{2} [(\delta_{\lambda 0}\delta_{j0}\delta_{n\sigma} + \delta_{\lambda j}\delta_{n\sigma} + \delta_{\lambda 0}\delta_{\sigma 0}\delta_{jn} + \delta_{0n}\delta_{0\sigma}\delta_{\lambda j}) - (n \longleftrightarrow j)]$$

$$\stackrel{j,n\geq 1}{=} i^{2} [(\delta_{\lambda j}\delta_{n\sigma} + \delta_{\lambda 0}\delta_{\sigma 0}\delta_{jn}) - (n \longleftrightarrow j)]$$

$$= i^{2} [\delta_{\lambda j}\delta_{n\sigma} - \delta_{n\lambda}\delta_{j\sigma}] \text{ da } \delta_{\lambda 0}\delta_{\sigma 0}\delta_{jn} \text{ symmetrisch. bzgl. } n \leftrightarrow j \text{ ist,}$$

$$= i^{2} \varepsilon_{jnk} \varepsilon_{0k\lambda\sigma} \stackrel{(13b)}{=} -i \varepsilon_{jnk} [J_{k}]_{\lambda\sigma}$$

$$\Rightarrow [K_{j}, K_{n}] = -i \varepsilon_{jnk}J_{k}$$

$$(16)$$
Ebenso:
$$[J_{k}, K_{l}] = i \varepsilon_{klm}K_{m}$$

Dramatische Vereinfachung:

$$N_j^+ = \frac{1}{2} (J_j + iK_j)$$
 (18a)

$$N_j^- = \frac{1}{2} (J_j - iK_j) \tag{18b}$$

$$N_i^{+\dagger} = N_i^+ \text{ und } N_i^{-\dagger} = N_i^-$$
 (18c)

1. Die Lie-Algebren N_j^+ und N_j^- entkoppeln.

2. (19) ist die Lie-Algebra von SU(2).

Jedes $\Lambda \in \mathcal{L}_{+}^{\uparrow}$ lässt sich schreiben als

$$\Lambda = \exp(i\vec{\alpha} \cdot \vec{N}^{+}) \exp(i\vec{\alpha}^{*} \cdot \vec{N}^{-}) = \exp\left(i(\vec{\alpha} \cdot \vec{N}^{+} + \vec{\alpha}^{*} \cdot \vec{N}^{-})\right)$$

$$\operatorname{wegen}\left[\vec{\alpha} \cdot \vec{N}^{+}, \vec{\alpha}^{*} \cdot \vec{N}^{-}\right] = 0$$
(20)

 $(SU(4) \simeq SU(2) \otimes SU(2)$, aber $\mathcal{L}_{+}^{\uparrow}$ ist einfach.)

Mit (19) können wir die Darstellungstheorie von $\mathcal{L}_{+}^{\uparrow}$ aus der von SU(2) gewinnen. \Rightarrow Spin-Quantenzahlen $s = 0, 1/2, 1, \dots$

Sind $D^{s_1}(\vec{\alpha})$ und $D^{s_2}(\vec{\alpha})$ zwei Darstellungen der SU(2), so ist (nun mit komplexem α)

$$D^{(s_1,s_2)}(\vec{\alpha}) = D^{s_1}(\vec{\alpha}) \otimes D^{s_2}(\vec{\alpha^*})$$

eine Darstellung von $\mathcal{L}_{+}^{\uparrow}$.

$$\vec{\alpha} = \vec{\varphi} \text{ reell} \implies \qquad \vec{\alpha} \cdot \vec{N}^+ + \vec{\alpha}^* \cdot \vec{N}^- = \vec{\varphi} \cdot \vec{J}$$
 Drehung $\Lambda \left(0, \vec{\varphi} \right)$
$$\vec{\alpha} = -i \vec{u} \text{ imaginär} \implies \qquad \vec{\alpha} \cdot \vec{N}^+ + \vec{\alpha}^* \cdot \vec{N}^- = \vec{u} \cdot \vec{K}$$
 Boost $\Lambda \left(\vec{u}, 0 \right)$

Parität:

$$P: \quad \vec{J} \to \vec{J} \qquad \text{(Axialvektor)}$$

$$\vec{K} \to -\vec{K} \qquad \text{(polarer Vektor)}$$
 also:
$$P: \quad \vec{N}^{\pm} \to \vec{N}^{\mp}$$

$$D^{(s_1,s_2)} \to D^{(s_2,s_1)}$$

 \Rightarrow Darstellungen mit $s_1 \neq s_2$ verletzen die Parität.

Casimir-Operatoren:

Casimir-Operatoren vertauschen mit allen Darstellungsoperatoren J_k , K_j :

$$SU(2): (\vec{N}^{\pm})^2 = \frac{1}{4}(\vec{J}^2 - \vec{K}^2 \pm i\vec{J} \cdot \vec{K} \pm i\vec{K} \cdot \vec{J})$$

mit Eigenwerten $s_1(s_1+1)$ und $s_2(s_2+1)$ in der Darstellung $D^{(s_1,s_2)}$ bzw.

$$\vec{N}^{+2} + \vec{N}^{-2} = \frac{1}{2}(\vec{J}^2 - \vec{K}^2) \tag{21}$$

mit Eigenwert $s_1(s_1+1) + s_2(s_2+1)$ und

$$\vec{N}^{+2} - \vec{N}^{-2} = \frac{i}{2} (\vec{J} \cdot \vec{K} + \vec{K} \cdot \vec{J})$$
 (22)

mit Eigenwert $s_1(s_1 + 1) - s_2(s_2 + 1)$.

2.1.4 Darstellungen und Feldgleichungen

 $\mathbf{D}^{(0,0)}$: skalar:

$$D^{(0,0)}(N_i^+) = D^{(0,0)}(N_i^-) = 0$$

komplexes Klein-Gordon-Feld $\varphi(x)$:

$$\Box \varphi + m^2 \varphi = \partial_\mu \partial^\mu \varphi + m^2 \varphi = 0 \tag{23}$$

 $\mathbf{D}^{(0,1/2)}$: rechtshändiger Spinor ξ_a :

$$D(N_j^+) = 0 \atop D(N_j^-) = \frac{\sigma_j}{2} \end{cases} \stackrel{(18)}{\Leftrightarrow} \begin{cases} D(J_k) = \frac{\sigma_k}{2} \\ D(K_k) = i\frac{\sigma_k}{2} \end{cases}$$
$$\Lambda(\vec{u}, \vec{\varphi}) = \exp(i\vec{\varphi} \cdot \vec{J} + i\vec{u} \cdot \vec{K})$$
(24)

wird abgebildet auf

$$D^{(0,1/2)}(\Lambda(\vec{u},\vec{\varphi})) = \exp\left((i\vec{\varphi} - \vec{u})\frac{\vec{\sigma}}{2}\right) \in \operatorname{SL}(2,\mathbb{C})$$

$$= \left\{M \in \mathbb{C}^{2\times 2} : \det M = 1\right\}$$
(25)

und für $x'^{\mu} = \Lambda^{\mu}_{\nu} x^{\nu}$ ist

$$\xi_a'(x') = D^{(0,1/2)}(\Lambda)_a \, {}^b\xi_b(x) \tag{26}$$

ein " $SL(2,\mathbb{C})$ -2-Spinorfeld" (Beispiel: Masseloses Anti-Neutrino)

 $\mathbf{D}^{(1/2,0)}$: linkshändiger (gepunkteter) Spinor $\eta_{\dot{a}}$ (\dot{a} wird nie mit einem ungepunkteten Index a kontrahiert!):

$$D(N_j^+) = \frac{\sigma_j}{2}$$

$$D(N_j^-) = 0$$

$$\Rightarrow \begin{cases} D(J_k) = \frac{\sigma_k}{2} \\ D(K_k) = -i\frac{\sigma_k}{2} \end{cases}$$

(24) wird abgebildet auf

$$D^{(1/2,0)}(\Lambda(\vec{u},\vec{\varphi})) = \exp\left((i\vec{\varphi} + \vec{u})\frac{\vec{\sigma}}{2}\right)$$
(27)

und für $x'^{\mu} = \Lambda^{\mu}_{\ \nu} x^{\nu}$ ist

$$\eta'^{\dot{a}}(x') = D^{(1/2,0)}(\Lambda)^{\dot{a}}_{\dot{b}}\eta^{\dot{b}}(x) \tag{28}$$

ein "SL $(2, \mathbb{C})$ -2*-Spinorfeld"

Der antisymmetrische Tensor 2. Stufe,

$$\varepsilon^{\alpha\beta} = i\sigma_2 = \begin{pmatrix} 0 & 1 \\ -1 & 0 \end{pmatrix}$$

ist invariant unter $SL(2,\mathbb{C})$ -Transformationen:

$$\varepsilon = M^{\top} \varepsilon M \text{ für } M \in \text{SL}(2, \mathbb{C})$$
 (29)

(Vergleiche mit (5) für metrischen Tensor g) Beweis von (29):

$$M \in \mathbb{C}^{2 \times 2} :$$

$$M^{-1} = \frac{1}{\det M} \begin{pmatrix} m_{22} & -m_{12} \\ -m_{21} & m_{11} \end{pmatrix}$$

$$= \frac{1}{\det M} \varepsilon M^{\top} \varepsilon^{\top}$$
Für $\det M = 1 : \Rightarrow 1 = M \varepsilon M^{\top} \varepsilon^{\top}$

$$\Rightarrow \varepsilon = M \varepsilon M^{\top} \varepsilon^{\top} \varepsilon \Rightarrow (29)$$

(29) bedeutet, dass (mit $M = D^{(0,1/2)}(\Lambda(\vec{u}, \vec{\varphi}))$:

$$\zeta'^{\mathsf{T}} \varepsilon \xi' = \zeta^{\mathsf{T}} M^{\mathsf{T}} \varepsilon M \xi \stackrel{(29)}{=} \zeta^{\mathsf{T}} \varepsilon \xi \tag{30}$$

 $\zeta^{\top} \varepsilon \xi$ ist also ein bzgl. $\mathcal{L}_{+}^{\uparrow}$ Lorentz-invariantes antisymmetisches (= symplektisches) Produkt: $\zeta^{\top} \varepsilon \xi = -\xi^{\top} \varepsilon \zeta$. Dies gilt ebenso für gepunktete Spinoren. Analog zur definierenden Darstellung von \mathcal{L} können wir also das Heben und Senken von Indizes definieren:

$$\xi^a = \varepsilon^{ab} \xi_b \tag{31a}$$

$$\eta^{\dot{a}} = \varepsilon^{\dot{a}\dot{b}}\eta_{\dot{b}} \text{ mit } \varepsilon^{\dot{a}\dot{b}} = \varepsilon^{ab} = \begin{pmatrix} 0 & 1 \\ -1 & 0 \end{pmatrix}$$
(31b)

Das invariante Produkt (30) wird dann zu

$$\zeta^{\top} \varepsilon \xi = \zeta_a \varepsilon^{ab} \xi_b = \zeta_a \xi^a \tag{32}$$

Auch die Indizes von ε^{ab} kann man senken:

$$\varepsilon_{cd} = \varepsilon_{ca} \varepsilon^{ab} \varepsilon_{bd} \text{ ist antisymmetisch}$$

$$\operatorname{mit} \varepsilon_{21} = \varepsilon_{2a} \varepsilon^{ab} \varepsilon_{b1} = \varepsilon_{21} \varepsilon^{12} \varepsilon_{21}$$

$$\Rightarrow 1 = \varepsilon^{12} \varepsilon_{21} \Rightarrow \varepsilon^{12} = -\varepsilon_{12}$$

$$\operatorname{also} : \varepsilon^{ab} = \varepsilon^{\dot{a}\dot{b}} = \begin{pmatrix} 0 & 1 \\ -1 & 0 \end{pmatrix} = -\varepsilon_{ab} = -\varepsilon_{\dot{a}\dot{b}}$$

$$\operatorname{und:} \varepsilon_{ab} \varepsilon^{bc} = -\left[\varepsilon^{2}\right]_{a}^{c} = +\delta_{a}^{c} = +\begin{pmatrix} 1 & 0 \\ 0 & 1 \end{pmatrix}$$

$$(34)$$

Rechte Indizes von ε^{ab} müssen durch Summation über linke Indizes gesenkt werden, sonst gäbe es Widersprüche zu $\varepsilon^{ab} = -\varepsilon^{ba}$. Dies ist eine häufige Quelle von Vorzeichenfehlern, z.B. im [Kugo].

Probe:

$$\varepsilon_{ac}\varepsilon^{cd}\varepsilon_{db} = \varepsilon_{ab} = -\varepsilon_{ba} = -\varepsilon_{bd}\varepsilon^{dc}\varepsilon_{ca} = -(-\varepsilon_{db})(-\varepsilon^{cd})(-\varepsilon_{ac}) = +\varepsilon_{ac}\varepsilon^{cd}\varepsilon_{db} \quad \checkmark$$

1.

$$\zeta^{a} = \varepsilon^{ab} \zeta_{b}
\Rightarrow \varepsilon_{ca} \zeta^{a} = \varepsilon_{ca} \varepsilon^{ab} \zeta_{b} = +\delta_{c}^{b} \zeta_{b} = +\zeta_{c}
\Rightarrow \zeta_{c} = +\varepsilon_{ca} \zeta^{a}$$
(35)

2.

$$\zeta^{\mathsf{T}}\xi = \zeta^{a}\xi_{a} \stackrel{(35)}{=} \zeta^{a}(+\varepsilon_{ab}\xi^{b})
= \varepsilon_{ab}\zeta^{a}\xi^{b}
= -\varepsilon_{ba}\zeta^{a}\xi^{b} = -\zeta_{b}\xi^{b} \text{ vgl. (32)}$$
(36)

Merkregel: "+" für "links oben, rechts unten"

Komplexe Konjugation: $\eta^*_{\dot{a}} := (\eta^*)_{\dot{a}} = (\eta_a)^*$ Gepunkteter Index, weil

$$\eta'^{*} \stackrel{(26)}{=} \left[D^{(0,1/2)}(\Lambda) \right]^{*} \eta^{*} \stackrel{(25)}{=} \left[\exp\left((i\vec{\varphi} + \vec{u}) \left(\frac{-\vec{\sigma}^{*}}{2} \right) \right) \right] \eta^{*}$$

$$= \underbrace{\exp\left((i\vec{\varphi} + \vec{u}) \frac{\vec{\sigma}}{2} \right)}_{D^{(1/2,0)}(\Lambda)} \varepsilon^{-1} \eta^{*} \quad \text{da } \varepsilon^{-1} (-\sigma_{j}^{*}) \varepsilon = \sigma_{j}$$

$$\eta'^{*\dot{a}} = \varepsilon^{\dot{a}\dot{b}} \left[D^{(1/2,0)}(\Lambda) \right]_{\dot{b}} \dot{c} \varepsilon_{\dot{c}\dot{d}} \eta^{*\dot{d}}$$

$$\eta'^{*}_{\dot{b}} = \left[D^{(1/2,0)}(\Lambda) \right]_{\dot{b}} \dot{c} \eta^{*}_{\dot{c}}$$

$$(37)$$

Pauli-Matrizen

$$(\sigma^{\mu})_{\alpha\dot{\beta}}: = (1, \sigma^1, \sigma^2, \sigma^3) = (1, \vec{\sigma})$$
 (38a)

$$(\bar{\sigma}^{\mu})^{\dot{\alpha}\beta} := (1, -\vec{\sigma}) \tag{38b}$$

mit den üblichen Pauli-Matrizen σ^i , i=1,2,3.

$$\Rightarrow (\bar{\sigma}^{\mu})_{\dot{\alpha}\beta} = \varepsilon_{\dot{\alpha}\dot{\gamma}}(\bar{\sigma}^{\mu})^{\dot{\gamma}\delta}\varepsilon_{\delta\beta} = -(\bar{\sigma}^{\mu})^*_{\alpha\dot{\beta}} \tag{39}$$

$$\Rightarrow \operatorname{tr}(\bar{\sigma}_{\mu}\sigma^{\nu}) = 2\delta^{\nu}_{\mu}, \quad (\sigma_{\mu})_{\dot{\alpha}\beta}(\bar{\sigma}^{\mu})^{\dot{\gamma}\delta} = 2\delta^{\delta}_{\alpha}\delta^{\dot{\gamma}}_{\dot{\beta}} \tag{40}$$

Weyl-Gleichung

$$(\sigma^{\mu})_{\alpha\dot{\beta}}\partial_{\mu}\eta^{\dot{\beta}} = 0$$
 (linkshändig) (41a) P

$$(\bar{\sigma}^{\mu})^{\dot{\alpha}\beta}\partial_{\mu}\eta_{\beta} = 0 \quad \text{(rechtshändig)} \tag{41b}$$

 $\mathbf{D}^{(1/2,1/2)}$: $\hat{V}_{\alpha\dot{\beta}}$ Lorentz tranformation:

$$\hat{V}' = D^{(0,1/2)}(\Lambda) \hat{V} D^{(0,1/2)}(\Lambda)^{\dagger}
\hat{V}'_{\gamma\dot{\delta}} = D^{(0,1/2)}{}_{\gamma} {}^{\alpha} \hat{V}_{\alpha\dot{\beta}} D^{(0,1/2)*\dot{\beta}}{}_{\dot{\delta}}$$

Man findet aus (25) und (27):

$$\bar{\sigma}^{\nu}\Lambda_{\nu}^{\mu} = D^{(0,1/2)\dagger}\bar{\sigma}^{\mu}D^{(0,1/2)}$$
 (42)

Also:
$$V^{\mu} = \frac{1}{2} \bar{\sigma}^{\mu \dot{\beta} \alpha} \hat{V}_{\alpha \dot{\beta}} = \frac{1}{2} \operatorname{tr}(\bar{\sigma}^{\mu} \hat{V})$$
 (43)

transformiert sich wie ein Vierervektor:

$$\begin{split} V'^{\mu} &= \frac{1}{2} \operatorname{tr} \left(\bar{\sigma}^{\mu} \hat{V}' \right) = \frac{1}{2} \operatorname{tr} \left(\bar{\sigma}^{\mu} D^{(0,1/2)} \hat{V} D^{(0,1/2)\dagger} \right) \\ &= \frac{1}{2} \operatorname{tr} \left(D^{(0,1/2)\dagger} \bar{\sigma}^{\mu} D^{(0,1/2)} \hat{V} \right) = \frac{1}{2} \operatorname{tr} \left(\bar{\sigma}^{\nu} \hat{V} \right) \Lambda_{\nu}^{\mu} \\ &= \Lambda_{\nu}^{\mu} V^{\nu} \end{split}$$

 \Rightarrow (1/2, 1/2) ist die definierende Darstellung von $\mathcal{L}_{+}^{\uparrow}$.

Vermöge $\hat{x} = x_{\mu} \sigma^{\mu}$ kann man jeden Vierervektor als 2 × 2 - Matrix schreiben.

 \Rightarrow Das gibt die Möglichkeit, Vektorfelder an Spinoren zu koppeln.

 $\mathbf{D}^{(0,1/2)} \oplus \mathbf{D}^{(1/2,0)}$: ist reduzible, P-invariante Darstellung:

$$\psi = \begin{pmatrix} \xi_{\alpha} \\ \eta^{\dot{\beta}} \end{pmatrix} \text{ Dirac-Spinor in chiraler Basis}$$
 (44)

(Die chirale Basis wird auch Weyl-Basis genannt.)

Lorentz-invariante Feldgleichung:

$$[i\partial - m]\psi = 0 \tag{45}$$

mit $\partial = \partial_{\mu} \gamma^{\mu}$ und

$$\gamma^{\mu} = \gamma_{ch}^{\mu} = \begin{pmatrix} 0 & \sigma^{\mu} \\ \bar{\sigma}^{\mu} & 0 \end{pmatrix} \tag{46}$$

in der chiralen Basis. z.B.

$$\gamma_{ch}^0 = \begin{pmatrix} 0 & \mathbf{1}_{2\times 2} \\ \mathbf{1}_{2\times 2} & 0 \end{pmatrix}$$

D.h. (45) sind gekoppelte Gleichungen für ξ, η .

$$\gamma_{ch}^{5} = i\gamma^{0}\gamma^{1}\gamma^{2}\gamma^{3}
= i\begin{pmatrix} \sigma^{0}\bar{\sigma}^{1} & 0\\ 0 & \bar{\sigma}^{0}\sigma^{1} \end{pmatrix} \begin{pmatrix} \sigma^{2}\bar{\sigma}^{3} & 0\\ 0 & \bar{\sigma}^{2}\sigma^{3} \end{pmatrix} = i\begin{pmatrix} \sigma^{0}\sigma^{1}\sigma^{2}\sigma^{3} & 0\\ 0 & -\sigma^{0}\sigma^{1}\sigma^{2}\sigma^{3} \end{pmatrix}
= \begin{pmatrix} -\mathbf{1}_{2\times2} & 0\\ 0 & \mathbf{1}_{2\times2} \end{pmatrix}$$
(47)

Chirale Dirac-Spinoren:

$$P_L = \frac{1 - \gamma_5}{2} \quad P_R = \frac{1 + \gamma_5}{2}$$

sind wegen $\gamma_5^2=1$ Projektoren $(P_L^2=P_L \text{ und } P_R^2=P_R)$. Ein Dirac-Spinor ψ_L mit $P_R\psi_L=0$ heißt **linkshändig** ($P_L\psi_R=0 \Rightarrow \psi_R$ heißt **rechtshändig**).

Jeder Dirac-Spinor kann als $\psi = \psi_L + \psi_R$ geschrieben werden. Mit (47) sieht man in der chiralen Basis

$$\underbrace{\psi_L}_{\mbox{linkshändiger}} = P_L \psi = \begin{pmatrix} \mathbf{1} & 0 \\ 0 & 0 \end{pmatrix} \psi = \underbrace{\begin{pmatrix} \xi_\alpha \\ 0 \end{pmatrix}}_{\mbox{rechtshändiger}}$$
 rechtshändiger Weyl-Spinor

analog :
$$\psi_R = \begin{pmatrix} 0 \\ \eta^{\dot{\beta}} \end{pmatrix}$$

 $(\rightarrow \text{ siehe [Sterman]})$

 $\mathbf{D}^{(1,0)}$ und $\mathbf{D}^{(0,1)}$: antisymmetrischer Tensor $F^{\mu\nu}$ (6 reelle Komponenten) \rightarrow dualer Tensor $\widetilde{F}^{\alpha\beta} = \frac{1}{2} \varepsilon^{\alpha\beta\mu\nu} F_{\mu\nu}$

Tensoren $F^{\pm\mu\nu}$ mit $\left\{\begin{array}{l} F^{+\mu\nu}=\widetilde{F}^{+\mu\nu}\\ F^{-\mu\nu}=-\widetilde{F}^{-\mu\nu} \end{array}\right\}$ heißen $\left\{\begin{array}{l} \text{selbst-dual}\\ \text{anti-selbst-dual} \end{array}\right\}$ und haben jeweils 3 Komponenten. Sie transformieren sich wie $\left\{\begin{array}{l} D^{(0,1)}\\ D^{(1,0)} \end{array}\right\}$ (dim $D^{(0,1)}=3$). Zerlegt man $F^{\mu\nu}=F^{+\mu\nu}+F^{-\mu\nu}$, so findet man, dass sich $F^{\mu\nu}$ wie $D^{(0,1)}\oplus D^{(1,0)}$ transformiert.

2.2 Poincaré-Gruppe $\mathcal P$

 \mathcal{P} enthält \mathcal{L} und die Translationsgruppe \mathcal{T} :

$$\mathcal{T} = \left\{ x^{\mu} \to x'^{\mu} = x^{\mu} + a^{\mu} : a^{\mu} \in \mathbb{R}^4 \right\}$$
 (48a)

$$\mathcal{P} = \{ x^{\mu} \to x'^{\mu} = \Lambda^{\mu}_{\nu} x^{\nu} + a^{\mu} : \Lambda^{\mu}_{\nu} \in \mathcal{L}, a^{\mu} \in \mathbb{R}^{4} \}$$
 (48b)

Bemerkung: $\mathcal{P} \neq \mathcal{L} \otimes \mathcal{T}$, denn zwei Poincaré -Transformationen mit (Λ_1, a_1) und (Λ_2, a_2) multiplizieren sich zur Transformation mit $(\Lambda_2\Lambda_1, \Lambda_2a_1 + a_2)$, und \mathcal{P} ist damit ein semidirektes Produkt von \mathcal{L} und \mathcal{T} (siehe [1]).

Generatoren der Translation:

$$P_{\rho} = -i\partial_{\rho} \tag{49}$$

denn: $f(x') = f(x+a) = \exp(ia^{\rho}P_{\rho})f(x)$ (Taylor-Reihe).

Lorentztransformationen kann man als

$$\Lambda = \exp\left(i\alpha_{\mu\nu}M^{\mu\nu}\right) \tag{50a}$$

schreiben mit 6 Parametern $\alpha_{\mu\nu}=-\alpha_{\nu\mu}$ und antisymmetrischen Generatoren $M^{\mu\nu}=-M^{\nu\mu}$

$$J_j = \frac{1}{2} \varepsilon_{jkl} M_{kl} \Rightarrow M_{kl} = \varepsilon_{kln} J_n$$
 (50b)

$$K_j = M_{0j} j, k, l \ge 1 (50c)$$

Lie-Algebra der Poincaré-Gruppe

$$[J_k, J_l] = i\varepsilon_{klm}J_m$$

$$[K_j, K_n] = -i\varepsilon_{jnk}J_k$$

$$[J_k, K_l] = i\varepsilon_{klm}K_m$$

$$[P_\mu, P_\nu] = 0$$
(51a)

$$[J_j, P_0] = 0 (51a)$$

$$[J_i, P_k] = i\varepsilon_{ikl}P_l \tag{51c}$$

$$[K_i, P_0] = -iP_i \tag{51d}$$

$$[K_j, P_k] = -iP_0\delta_{jk} \tag{51e}$$

Hierbei ist $\mu, \nu = 0, 1, 2, 3$ und j, k, l = 1, 2, 3.

2.3 Casimir-Operatoren

1. $P_{\mu}P^{\mu}$

z.B.
$$[K_j, P_\mu P^\mu] = [K_j, P_0^2] - [K_j, P_k \cdot P_k] \stackrel{(51)}{=} -2iP_jP_0 + 2i\delta_{jk}P_0P_k = 0$$

2. Mit dem Pauli-Lubanski-(Axial-)Vektor

$$W^{\mu} = \frac{1}{2} \varepsilon^{\mu\nu\rho\sigma} P_{\nu} M_{\rho\sigma} \tag{52}$$

ist $W_{\mu}W^{\mu}$ ein Casimir-Operator (ohne Beweis).

$$W^{0} = \frac{1}{2} \varepsilon^{0jkl} (-P_{j}) M_{kl} \stackrel{(50)}{=} \frac{1}{2} \varepsilon^{0jkl} (-P_{j}) \varepsilon_{kln} J_{n} = -P_{j} J_{j} = -\vec{P} \cdot \vec{J}$$

$$W_{j} = \frac{1}{2} \varepsilon^{j\nu\rho\sigma} P_{\nu} M_{\rho\sigma} = \frac{1}{2} \left(-\varepsilon^{0jrs} P_{0} M_{rs} + \varepsilon^{jn\rho\sigma} P_{n} M_{\rho\sigma} \right)$$

$$\stackrel{(50)}{=} -P_{0} J_{j} + \frac{1}{2} \varepsilon^{jn0\sigma} P_{n} (M_{0\sigma} - M_{\sigma 0}) = -P_{0} J_{j} + \varepsilon^{jns} P_{n} K_{s}$$

$$\vec{W} = -P_{0} \vec{J} + \vec{P} \times \vec{K}$$

$$(54)$$

Im Ruhesystem eines massiven Teilchens (KG) mit $p^{\mu} = (m, 0, 0, 0)^{\top}$ ist

$$\vec{W}^{RS} = -m\vec{J} \tag{55}$$

(d.h. \vec{W} misst den Drehimpuls im Ruhesystem, also den Spin \vec{S}). Darstellungstheorie von \mathcal{P} (E. Wigner): Zustände (=Teilchen) können mit den Eigenwerten von $P_{\mu}P^{\mu}$ und $W_{\mu}W^{\mu}$ gekennzeichnet werden. Dabei sind 4 Fälle möglich:

(a) $P_{\rho}P^{\rho} = m^2 > 0$ massives Teilchen

 $W_{\rho}W^{\rho} \stackrel{RS}{=} -m^2 \vec{S}^2$

Eigenwerte:

 $W_{\rho}W^{\rho}=-m^2s(s+1)$ mit $s=0,1/2,1,\ldots$ ist Poincaré -invariant, also in jedem Bezugssystem richtig. Massive Teilchen mit Spin s haben (2s+1) Polarisationsfreiheitsgrade.

- (b) $P_{\rho}P^{\rho} = m^2 = 0$ masseloses Teilchen und $W_{\rho}W^{\rho} = 0$. Aus (52) folgt $P_{\rho}W^{\rho} = 0$. Damit muss W^{μ} proportional zu P^{μ} sein: $W^{\mu} = \lambda P^{\mu}$. λ heißt Helizität und kann nur die Werte $\lambda = \pm s$ annehmen, wobei $s = 0, 1/2, 1, \ldots$ der Spin der Darstellung ist.
 - \Rightarrow Masselose Teilchen mit $s \neq 0$ haben nur zwei Polarisationsfreiheitsgrade.
- (c) $P_{\rho}P^{\rho} = 0$ und Spin s ist reelle Zahl. $W_{\rho}W^{\rho} < 0$, kommt in der Natur nicht vor.
- (d) $P_{\rho}P^{\rho} < 0$ Tachyonen ... gibt's anscheinend nicht.

(Siehe [Ramond].)

3 Lagrangeformalismus der Felder

Bewegungsgleichungen 3.1

Mechanik:

- System mit Koordinaten (Freiheitsgrade) $\varphi_1, \ldots, \varphi_N$
- Lagrange-Funktion $L(\varphi_i, \dot{\varphi}_i); \quad \varphi_i = \varphi(x_i)$

Man betrachtet nun eine Kette aus gekoppelten, harmonischen Oszillatoren:

$$L(\varphi_i, \dot{\varphi}_i) = \frac{1}{2} \dot{\varphi}_i \dot{\varphi}_i - \underbrace{\frac{1}{2} \frac{(\varphi_{i+1} - \varphi_i)^2}{(x_{i+1} - x_i)^2}}_{\text{Kopplung an den nächsten N}}$$

mit Masse 1 und Federkonstanten $(x_{i+1}-x_i)^{-2}$. Führt man nun einen Grenzübergang zu einem kontinuierlichen Spektrum durch, so erhält man:

$$\varphi_i(t) = \varphi(t, x_i) \quad \to \quad \varphi(t, x)$$

$$\frac{\varphi_{i+1} - \varphi_i}{x_{i+1} - x_i} \quad \to \quad \frac{\partial \varphi}{\partial x}$$

Lagrangedichte:

$$\mathcal{L}\left(\varphi, \frac{\partial \varphi}{\partial t}, \frac{\partial \varphi}{\partial x}\right) = \frac{1}{2} \left(\frac{\partial \varphi}{\partial t}\right)^2 - \frac{1}{2} \left(\frac{\partial \varphi}{\partial x}\right)^2$$

In 3 + 1 Dimensionen:

$$\mathcal{L}\left(\varphi,\partial_{\mu}\varphi\right) = \frac{1}{2}\left(\partial_{0}\varphi\right)^{2} - \frac{1}{2}\left(\nabla\varphi\right)^{2} = \frac{1}{2}\partial_{\mu}\varphi\partial^{\mu}\varphi$$

Dieser Ausdruck ist Lorentz-invariant!

Wir addieren einen weiteren Lorentz-invarianten, bilinearen Term:

$$\mathcal{L}(\varphi, \partial_{\mu}\varphi) = \frac{1}{2}\partial_{\mu}\varphi\partial^{\mu}\varphi - \frac{m^{2}}{2}\varphi^{2} =: \underbrace{\frac{1}{2}(\partial_{\mu}\varphi)^{2}}_{\text{kinetischer Term}} - \underbrace{\frac{m^{2}}{2}\varphi^{2}}_{\text{Massenterm}}$$
(56)

Dies ist die Lagrangedichte eines freien, reellen Klein-Gordon-Feldes (Skalarfeld). Wirkung:

$$S = \int d^4x \mathcal{L}$$

mit dem Lorentz-invarianten Volumenelement $d^4x = dx^0 dx^1 dx^2 dx^3$.

Dimension: $[S] = [\hbar] = 0$, $[d^4x] = -4 \Rightarrow [\mathcal{L}] = 4$, $[\partial_{\mu}] = 1$, $[\varphi] = 1 \Rightarrow [m] = 1$.

Wie in der Mechanik folgen aus dem Prinzip der extremalen Wirkung $\frac{\delta S}{\delta \varphi}=0$ die Euler-Lagrange-Gleichungen.

$$\partial_{\mu} \frac{\partial \mathcal{L}}{\partial(\partial_{\mu} \varphi)} - \frac{\partial \mathcal{L}}{\partial \varphi} = 0 \tag{57}$$

Für das reelle Skalarfeld (56):

$$\frac{\partial \mathcal{L}}{\partial(\partial_{\mu}\varphi)} = \partial^{\mu}\varphi, \qquad \frac{\partial \mathcal{L}}{\partial\varphi} = -m^{2}\varphi$$

$$\stackrel{(57)}{\Rightarrow} \partial_{\mu}\partial^{\mu}\varphi + m^{2}\varphi = 0$$
(58)

erhält man also das die Klein-Gordon-Gleichung für reelles φ mit Masse m. Zwei reelle Skalarfelder mit gleicher Masse m:

$$\mathcal{L}\left(\varphi_{i},\partial_{\mu}\varphi_{i}\right) = \frac{1}{2}(\partial_{\mu}\varphi_{1})^{2} + \frac{1}{2}(\partial_{\mu}\varphi_{2})^{2} - \frac{m^{2}}{2}(\varphi_{1}^{2} + \varphi_{2}^{2})$$

$$\stackrel{(57)}{\Rightarrow} (\Box + m^{2})\varphi_{i} = 0, \quad i = 1, 2$$

$$(59)$$

(59) hat SO(2)-Symmetrie:

$$\begin{pmatrix} \varphi_1 \\ \varphi_2 \end{pmatrix} \to \begin{pmatrix} \cos \theta & \sin \theta \\ -\sin \theta & \cos \theta \end{pmatrix} \begin{pmatrix} \varphi_1 \\ \varphi_2 \end{pmatrix}$$

Komplexes Skalarfeld:

Damit erhält man die Lagrangedichte:

$$\mathcal{L}(\varphi, \partial_{\mu}\varphi) = \partial_{\mu}\varphi^* \partial^{\mu}\varphi - m^2 |\varphi|^2$$

$$= |\partial_{\mu}\varphi|^2 - m^2 |\varphi|^2$$
(60)

Im Gegensatz zu Gleichung (55) fehlt hier der Faktor $\frac{1}{2}$! Formal behandelt man in (57) φ und φ^* wie unabhängige Felder:

$$\partial_{\mu} \frac{\partial \mathcal{L}}{\partial(\partial_{\mu} \varphi^{*})} \stackrel{(60)}{=} \partial_{\mu} \partial^{\mu} \varphi, \qquad \frac{\partial \mathcal{L}}{\partial \varphi^{*}} = -m^{2} \varphi$$

$$\stackrel{(57)}{\Rightarrow} (\Box + m^{2}) \varphi = 0$$

und erhält die Klein-Gordon-Gleichung für ein komplexes Skalarfeld.

(60) hat nun eine U(1) (\simeq SO(2))-Symmetrie:

$$\varphi \to \varphi \exp(i\theta)$$
 (61)

22

Symmetrien unter Transformationen der Raum-Zeit-Koordinaten x^{μ} heißen **äußere Symmetrien** (Beispiel: Poincaré-Transformationen). Symmetrietransformationen, bei denen die Felder φ , nicht jedoch x^{μ} transformiert werden, vermitteln **innere Symmetrien**.

(Beispiel: U(1)-Symmetrie in (61), Ladungskonjugation C)

Die Wirkung ändert sich nicht, wenn man zu \mathcal{L} eine totale Ableitung addiert.

$$\mathcal{L} \to \mathcal{L}' = \mathcal{L} + \partial_{\mu} Y^{\mu} [\varphi, \partial_{\nu} \varphi]$$

$$S' = S + \int d^{4}x \partial_{\mu} Y^{\mu} [\varphi, \partial_{\nu} \varphi]$$

$$= S + \oint_{O} d\sigma_{\mu} Y^{\mu} [\varphi, \partial_{\nu} \varphi] \qquad \text{mit dem Oberflächenelement } d\sigma_{\mu}$$

$$= S$$

$$= S$$

da man nur Felder zulässt, bei denen φ und $\partial_{\nu}\varphi$ für $x^{\mu} \to \pm \infty$ hinreichend schnell verschwinden, so dass $\oint_{\mathcal{O}} d\sigma_{\mu} Y^{\mu}[\varphi, \partial_{\nu}\varphi] = 0$.

 \mathcal{L} muss reell sein, damit Energie und Impuls reell sind.

Definiere:

$$\varphi_1 \overleftrightarrow{\partial_{\mu}} \varphi_2 := \varphi_1 \partial_{\mu} \varphi_2 - \varphi_1 \overleftarrow{\partial_{\mu}} \varphi_2 = \varphi_1 \partial_{\mu} \varphi_2 - (\partial_{\mu} \varphi_1) \varphi_2$$

Lagrangedichte des Weyl-Feldes ξ_a ohne Masse

$$\mathcal{L}_{R}^{kin} = \frac{i}{2} \xi^{\dagger} \bar{\sigma}^{\mu} \overleftrightarrow{\partial_{\mu}} \xi = \frac{i}{2} \left[\xi^{\dagger} \bar{\sigma}^{\mu} \partial_{\mu} \xi - (\partial_{\mu} \xi^{\dagger}) \bar{\sigma}^{\mu} \xi \right]$$
 (62)

Anwendung der Euler-Lagrange-Gleichung ergibt (ξ und ξ^{\dagger} unabhängig behandeln!):

$$0 = \partial_{\mu} \frac{\partial \mathcal{L}}{\partial(\partial_{\mu}\xi^{\dagger})} - \frac{\partial \mathcal{L}}{\partial\xi^{\dagger}} = \partial_{\mu}(-\frac{i}{2}\bar{\sigma}^{\mu}\xi) - \frac{i}{2}\bar{\sigma}^{\mu}\partial_{\mu}\xi$$
$$0 = \bar{\sigma}^{\mu}\partial_{\mu}\xi \quad \text{(Weyl-Gleichung)}$$

Ebenso für $\eta^{\dot{a}}$:

$$\mathcal{L}_{L}^{kin} = \frac{i}{2} \eta^{\dagger} \sigma^{\mu} \overleftrightarrow{\partial_{\mu}} \eta$$

$$\Rightarrow \sigma^{\mu} \partial_{\mu} \eta = 0$$
(63)

Massen-Term:

$$\mathcal{L}_{L}^{m} = -\frac{1}{2} \left(m_{L} \eta^{\mathsf{T}} \varepsilon \eta - m_{L}^{*} \eta^{\mathsf{\dagger}} \varepsilon \eta^{*} \right)$$
 (64a)

$$\mathcal{L}_{R}^{m} = -\frac{1}{2} \left(m_{R} \xi^{\dagger} \varepsilon \xi^{*} - m_{R}^{*} \xi^{\top} \varepsilon \xi \right)$$
 (64b)

Nun ist $\eta^{\top} \varepsilon \eta = \eta^{\dot{\alpha}} \varepsilon_{\dot{\alpha}\dot{\beta}} \eta^{\dot{\beta}} = \eta^1 \eta^2 - \eta^2 \eta^1$. Das wäre = 0 für eine klassische Theorie. Spin- $\frac{1}{2} \Rightarrow$ Anti-kommutierende Feldoperatoren

$$\eta^1 \eta^2 = -\eta^2 \eta^1 \Rightarrow \eta^\top \varepsilon \eta = 2\eta^1 \eta^2 \neq 0$$

Wegen $(\eta^{\top} \varepsilon \eta)^{\dagger} = \eta^{\dagger} \varepsilon^{\dagger} \eta^* = -\eta^{\dagger} \varepsilon \eta^*$ ist (64) hermitesch. Die Terme in (64) heißen **Majorana-Massenterme.**

$$\mathcal{L}_D^m = -m\xi^{\dagger}\eta - m^*\eta^{\dagger}\xi \tag{65}$$

heißt Dirac-Massen-Term.

Mit $\psi = \begin{pmatrix} \exp(-i\theta)\xi \\ \exp(+i\theta)\eta \end{pmatrix}$, wobei $m = |m| \exp(2i\theta)$, wird (65) zu:

$$\mathcal{L}_D^m = -|m|\psi^{\dagger} \begin{pmatrix} 0 & 1\\ 1 & 0 \end{pmatrix} \psi = -|m|\bar{\psi}\psi \tag{66}$$

wobei $\bar{\psi} = \psi^{\dagger} \gamma^{0}$ und $\gamma^{0} = \gamma_{ch}^{0} = \begin{pmatrix} 0 & 1 \\ 1 & 0 \end{pmatrix}$ in der chiralen Basis der Dirac-Algebra. (62) und (63) werden zu:

$$\mathcal{L}_{D}^{kin} = \mathcal{L}_{L}^{kin} + \mathcal{L}_{R}^{kin} = \frac{i}{2} \bar{\psi} \overleftrightarrow{\partial} \psi$$
 (67)

mit $\partial = \partial_{\mu} \gamma^{\mu}$ und

$$\gamma^{\mu} = \gamma_{ch}^{\mu} = \begin{pmatrix} 0 & \sigma^{\mu} \\ \bar{\sigma}^{\mu} & 0 \end{pmatrix} \tag{68}$$

D.h. aus (66) und (67) findet man die Lagrangedichte des freien Dirac-Feldes:

$$\mathcal{L}_{D} = \bar{\psi} \left(\frac{i}{2} \overleftrightarrow{\partial} - m \right) \psi = -\frac{i}{2} \underbrace{\psi \overleftrightarrow{\partial} \psi}_{=\partial_{\mu} \bar{\psi} \gamma^{\mu} \psi} + \frac{i}{2} \bar{\psi} \partial \psi - m \bar{\psi} \psi$$

Euler-Lagrange-Gleichung:

$$0 = \partial_{\mu} \frac{\partial \mathcal{L}}{\partial \left(\partial_{\mu} \bar{\psi}\right)} - \frac{\partial \mathcal{L}}{\partial \bar{\psi}} = -\frac{i}{2} \partial_{\mu} \gamma^{\mu} \psi - \frac{i}{2} \partial \psi + m \psi$$

$$\Rightarrow 0 = (i \partial - m) \psi \quad \text{(Dirac-Gleichung)}$$
(69)

Mit der Ableitung nach ψ findet man die adjungierte Gleichung:

$$0 = \bar{\psi} \left(i \overleftarrow{\partial} + m \right)$$

Meistens notiert man kürzer:

$$\mathcal{L}'_{D} = \mathcal{L}_{D} + \frac{i}{2} \underbrace{\partial_{\mu} \bar{\psi} \gamma^{\mu} \psi}_{\text{totale Ableitung}} = \underbrace{\bar{\psi} (i \partial - m) \psi}_{\text{nicht hermitesch}}$$
(70)

$$\partial_{\mu} \frac{\partial \mathcal{L}'_{D}}{\partial \left(\partial_{\mu} \bar{\psi}\right)} - \frac{\partial \mathcal{L}'_{D}}{\partial \bar{\psi}} = \left(i\partial - m\right)\psi$$

Generell kann $\mathcal{L} = \mathcal{L}^{\dagger}$ zu $\mathcal{L} = \mathcal{L}^{\dagger} +$ totale Ableitung abgeschwächt werden. Aus der QM II-Vorlesung ist die Dirac-Gleichung in der **Dirac-Basis** bekannt.

$$\gamma_D^{\mu} = U \gamma_{ch}^{\mu} U^{-1}$$

$$\text{mit } U = \frac{1}{\sqrt{2}} \begin{pmatrix} \mathbf{1}_{2 \times 2} & \mathbf{1}_{2 \times 2} \\ -\mathbf{1}_{2 \times 2} & \mathbf{1}_{2 \times 2} \end{pmatrix}, \quad U^{-1} = U^{\dagger}$$

Ein Feld, dass sich unter der Poincaré-Transformation $x^{\mu} \to x'^{\mu} = \Lambda^{\mu}_{\nu} x^{\nu} + a^{\mu}_{\nu}$ wie $V'^{\mu}(x') = \Lambda^{\mu}_{\nu} V^{\nu}(x)$ transformiert, heißt **Vektorfeld**. Mit dem Feldstärketensor $F_{\mu\nu} = \partial_{\mu}U_{\nu} - \partial_{\nu}U_{\mu}$ des freien Vektorfelds ist die Lagrangedichte

$$\mathcal{L} = -\frac{1}{4}F_{\mu\nu}F^{\mu\nu} + \frac{m^2}{2}U_{\mu}U^{\mu} \tag{71}$$

Ist $m \neq 0$, so spricht man von einem **Proca-Feld**. Beispiele:

- für m=0: Photonen, Gluonen
- für $m \neq 0$: W[±],Z-Bosonen, ρ Meson

$$\mathcal{L} = -\frac{1}{2}(\partial_{\mu}U_{\nu})(\partial^{\mu}U^{\nu}) + \frac{1}{2}(\partial_{\mu}U_{\nu})(\partial^{\nu}U^{\mu}) + \frac{m^{2}}{2}U_{\mu}U^{\mu}$$
 (72)

Euler-Lagrange-Gleichung:

Betrachte Beiträge $(\mu, \nu) = (\alpha, \beta)$ und $(\mu, \nu) = (\beta, \alpha)$ in (72) und schreibe $U_{\mu}U^{\mu} = U_{\mu}g^{\mu\nu}U_{\nu}$:

$$0 = \partial_{\alpha} \frac{\partial \mathcal{L}}{\partial(\partial_{\alpha} U_{\beta})} - \frac{\partial \mathcal{L}}{\partial U_{\beta}} =$$

$$= \partial_{\alpha} \left(-\partial^{\alpha} U^{\beta} + \partial^{\beta} U^{\alpha} \right) - m^{2} U^{\beta}$$

$$\Rightarrow 0 = \left(\Box g_{\beta\alpha} - \partial_{\beta} \partial_{\alpha} + m^{2} g_{\beta\alpha} \right) U^{\alpha} \quad \text{(Proca-Gleichung)}$$
(73)

Betrachte: m=0 und Kopplung an Stromdichte j^{μ} , Photonfeld A^{μ} :

$$\mathcal{L} = -\frac{1}{4}F_{\mu\nu}F^{\mu\nu} - j_{\mu}A^{\mu}$$

Euler-Lagrange-Gleichung:

$$\partial_{\alpha} \underbrace{\left(\partial^{\alpha} A^{\beta} - \partial^{\beta} A^{\alpha}\right)}_{(73)} = \underbrace{j^{\beta}}_{=\frac{\partial (j\mu A^{\mu})}{\partial A^{\beta}}} \tag{75}$$

Man findet also die Maxwellgleichungen $\partial_{\alpha}F^{\alpha\beta}=j^{\beta}$.

3.2 Noether-Theorem

Betrachte $\mathcal{L} = \mathcal{L}(\varphi, \partial_{\mu}\varphi)$; φ ist ein Feld (φ skalar oder $\varphi = \varphi_i$ oder $\varphi = A^{\mu}$ oder ein Multiplett von Feldern $\varphi = (\varphi_1 \ldots \varphi_n)$) und infinitesimale Transformationen bezüglich einer Lie-Gruppe

$$x^{\mu} \to x'^{\mu} = x^{\mu} + \delta x^{\mu} \tag{76}$$

mit

$$\delta x^{\mu} = X^{\mu}_{k} \delta \omega^{k} \tag{77}$$

Dabei sind die $\delta\omega^k$ die Parameter der Transformation (z.B. Eulerwinkel).

Beispiel: Drehung um $\delta \vec{\omega}$

$$\vec{x}' = \vec{x} + i\delta\omega^k J_k \vec{x}$$

damit hat man: $X_k^0 = 0, \ X_k^j = i(J_k \vec{x})^j, \ j = 1, 2, 3.$

$$\varphi(x) \to \varphi'(x') = \varphi(x) + \delta\varphi(x)$$
 (78)

(Skalar: $\varphi'(x') = \varphi(x) \Rightarrow \delta\varphi(x) = 0$, Vektor: $\varphi'^{\mu}(x') = \Lambda^{\mu}_{\nu} \varphi^{\nu}(x)$, usw.) Da φ Darstellung der Liegruppe ist,

$$\delta\varphi(x) = \Phi_k(x)\delta\omega^k
\varphi'(x') = \varphi'(x+\delta x)
= \varphi'(x) + \delta x^{\nu}\partial_{\nu}\varphi
= \varphi(x) + \delta_0\varphi(x) + \delta x^{\nu}\partial_{\nu}\varphi$$
(80)

 $mit \ \delta_0 \varphi(x) = \varphi'(x) - \varphi(x)$

$$\delta_{0}\varphi(x) \stackrel{(80)}{=} \varphi'(x') - \varphi(x) - \delta x^{\nu} \partial_{\nu} \varphi$$

$$\stackrel{(78)(79)}{=} \Phi_{k}(x) \delta \omega^{k} - \delta x^{\nu} \partial_{\nu} \varphi$$

$$\stackrel{(77)}{=} [\Phi_{k}(x) - (\partial_{\nu}\varphi) X_{k}^{\nu}] \delta \omega^{k} \tag{81}$$

$$\delta \mathcal{L} = \mathcal{L}' \left[\varphi'(x'), \partial_{\mu} \varphi'(x') \right] - \mathcal{L} \left[\varphi(x), \partial_{\mu} \varphi(x) \right]$$

$$= \frac{\partial \mathcal{L}}{\partial x^{\mu}} \delta x^{\mu} + \frac{\partial \mathcal{L}}{\partial \varphi} \delta_{0} \varphi + \frac{\partial \mathcal{L}}{\partial (\partial^{\mu} \varphi)} \underbrace{\partial^{\mu} \delta_{0} \varphi}_{=\delta_{0} \partial^{\mu} \varphi}$$
(82)

Ist φ eine Lösung der Euler-Lagrange-Gleichung, so ist $\frac{\partial \mathcal{L}}{\partial \varphi} = \partial_{\mu} \frac{\partial \mathcal{L}}{\partial (\partial_{\mu} \varphi)}$ und (82) wird zu

$$\delta \mathcal{L} = \frac{\partial \mathcal{L}}{\partial x^{\mu}} \delta x^{\mu} + \partial_{\mu} \left(\frac{\partial \mathcal{L}}{\partial (\partial_{\mu} \varphi)} \delta_{0} \varphi \right)$$

$$= \frac{\partial \mathcal{L}}{\partial x^{\mu}} X_{k}^{\mu}(x) \delta \omega^{k} + \partial_{\mu} \left[\frac{\partial \mathcal{L}}{\partial (\partial_{\mu} \varphi)} \left[\Phi_{k}(x) - (\partial_{\nu} \varphi) X_{k}^{\nu}(x) \right] \delta \omega^{k} \right]$$
(83)

Wirkung:

$$S' = \int d^{4}x \mathcal{L}'(\varphi', \partial_{\mu}\varphi')$$

$$\delta S = S' - S = \int \delta(d^{4}x)\mathcal{L} + \int d^{4}x \delta \mathcal{L}$$

$$d^{4}x' = \left| \det \left(\frac{\partial x'^{\mu}}{\partial x^{\nu}} \right) \right| d^{4}x = \left| \det \left(\frac{\partial}{\partial x^{\nu}} (x^{\mu} + X_{k}^{\mu} \delta \omega^{k}) \right) \right| d^{4}x$$

$$= \left| \det \left(\delta_{\nu}^{\mu} + \partial_{\nu} (X_{k}^{\mu} \delta \omega^{k}) \right) \right| d^{4}x$$

$$= \left(1 + \partial_{\mu} (X_{k}^{\mu} \delta \omega^{k}) \right) d^{4}x,$$

$$\det \det \left(1 + \varepsilon \right) = 1 + \operatorname{tr} \varepsilon + O(\varepsilon^{2}),$$

$$\delta(d^{4}x) = \partial_{\mu} X_{k}^{\mu} \delta \omega^{k} d^{4}x$$

$$\delta S \stackrel{(80)(81)}{=} \int d^{4}x (\mathcal{L} \partial_{\mu} (X_{k}^{\mu} \delta \omega^{k}) + \delta \mathcal{L})$$

$$\stackrel{(83)}{=} \int d^{4}x \partial_{\mu} \left(\left[\mathcal{L} X_{k}^{\mu} + \frac{\partial \mathcal{L}}{\partial (\partial_{\mu} \varphi)} \left[\Phi_{k} - (\partial_{\nu} \varphi) X_{k}^{\mu} \right] \right] \delta \omega^{k} \right)$$

$$(86)$$

Ist $\delta\omega^k$ unabhängig von x, so spricht man von **globalen Transformationen.** Das Integrationsvolumen in $S = \int_V d^4x \mathcal{L}$ ist bisher unspezifiziert. Wir wählen V beliebig. Ist nun S invariant, also $\frac{\delta S}{\delta\omega^k} = 0$, so folgt aus (86), dass

$$j_k^{\mu} = -\mathcal{L}X_k^{\mu} + \frac{\partial \mathcal{L}}{\partial(\partial_{\mu}\varphi)}(X_k^{\nu}\partial_{\nu}\varphi - \Phi_k(x))$$
 (87)

ein erhaltener Strom ist (Noether-Theorem):

$$\partial_{\mu}j_{k}^{\mu} = 0 \tag{88a}$$

 j_k^μ heißt Noether-Strom. Mit (88a) ist die Ladung

$$Q_i(x) = \int d^3 \vec{x} j_i^0(t, \vec{x}) \tag{88b}$$

konstant:

$$\dot{Q}_{i}(x) = \int d^{3}\vec{x}\partial_{0}j_{i}^{0} \stackrel{(88b)}{=} - \int d^{3}\vec{x}\,\vec{\nabla}\,\vec{j} = -\oint_{O} d\vec{S}\,\vec{j} = 0$$

für $\vec{j} = 0$ im Unendlichen.

Der erhaltene Noether-Strom ist nicht eindeutig, z.B. kann man einen Strom $j_k^{\prime\mu}$ addieren, dessen Divergenz verschwindet:

$$\partial_{\mu}j_{k}^{\prime\mu}=0$$

(z.B. $j_k^{\prime \mu} = \partial^{\nu} T_{\mu\nu} \text{ mit } T_{\mu\nu} = -T_{\nu\mu}$)

Verallgemeinerung von (87) auf den Fall mehrerer Felder φ^a in \mathcal{L} :

$$j_k^{\mu} = -\mathcal{L}X_k^{\mu} + \frac{\partial \mathcal{L}}{\partial(\partial_{\mu}\varphi^a)} (X_k^{\nu}\partial_{\nu}\varphi^a - \Phi_k^a(x))$$

Beispiel: Reelles KG-Feld

$$\mathcal{L} = \frac{1}{2} (\partial_{\mu} \varphi)(\partial^{\mu} \varphi) - \frac{m^2}{2} \varphi^2 - V(\varphi)$$
 (89)

dabei ist $V(\varphi)$ eine beliebige Funktion (z.B. $V(\varphi) = \frac{\lambda}{4!}\varphi^4$) \Rightarrow BGL ist nicht mehr linear in $\varphi \Rightarrow$ Selbstwechselwirkung

 \mathcal{L} ist invariant unter Transformationen

$$x^{\nu} \rightarrow x^{\nu} + \underbrace{\varepsilon^{\nu}}_{s, k} \tag{90}$$

also
$$X^{\mu}_{\nu}(x) \stackrel{(77)}{=} \delta^{\mu}_{\nu}$$
 (91)

 φ ist ein Skalarfeld $\delta \varphi(x) = 0 \stackrel{(79)}{\Rightarrow} \Phi_{\nu}(x) = 0.$

$$(89) \Rightarrow \frac{\partial \mathcal{L}}{\partial (\partial_{\mu} \varphi)} = \partial^{\mu} \varphi \tag{92a}$$

Den erhaltenen Strom bezeichnet man im Fall der Translationen (90) mit T^{μ}_{ν} , es ist der **Energie-Impuls-Tensor**.

$$T_{\nu}^{\mu} \stackrel{(88)}{=} -\mathcal{L}\delta_{\nu}^{\mu} + \frac{\partial \mathcal{L}}{\partial(\partial_{\mu}\varphi)}\partial_{\nu}\varphi \tag{92b}$$

$$\stackrel{\text{(82)}}{=} -\mathcal{L}\underbrace{\delta^{\mu}_{\nu}}_{(91)} + \underbrace{\partial^{\mu}\varphi}_{(92)}\partial_{\nu}\varphi$$

$$T_{\nu}^{\mu} \stackrel{(89)}{=} \partial^{\mu} \varphi \partial_{\nu} \varphi - \delta_{\nu}^{\mu} \left(\frac{1}{2} (\partial_{\lambda} \varphi)^{2} - \frac{m^{2}}{2} \varphi^{2} - V(\varphi) \right)$$

$$(93)$$

Damit hat man die erhaltene Ladung, den Viererimpuls:

$$P_{\nu} = \int d^3 \vec{x} T_{\nu}^0 \tag{94}$$

Fourierdarstellung des Feldes:

$$\varphi(x) = \int \frac{d^{3}\vec{p}}{(2\pi)^{3}} \frac{1}{\sqrt{2E_{p}}} \left(a_{\vec{p}} e^{-ipx} + a_{\vec{p}}^{*} e^{ipx} \right)$$

28

Für das freie KG-Feld mit $V(\varphi) = 0$ findet man leicht:

$$P_{\nu} = \int \frac{d^3 \vec{p}}{(2\pi)^3} \, a_{\vec{p}}^* \, a_{\vec{p}} \, p_{\nu}$$

Dies ist

- \bullet unabhängig von x
- ullet eine Superposition der einzelenen Impulse p_{ν} der Fourierkomponenten.

Aus (92b) findet man

$$T_0^0 = -\mathcal{L} + \frac{\partial \mathcal{L}}{\partial(\partial_0 \varphi)} \partial_0 \varphi \tag{95}$$

Ein Vergleich mit der klassischen Mechanik

$$H = \sum_{\lambda} p_i \dot{q}_i - L = \sum_{\lambda} \frac{\partial L}{\partial \dot{q}_i} \dot{q}_i - L$$

 $\Rightarrow T_0^0$ ist **Hamilton-Dichte!**

kanonische(r) Feldimpuls(dichte)

$$\pi(x) = \frac{\partial \mathcal{L}}{\partial \dot{\varphi}} \stackrel{(92)}{=} \dot{\varphi}(x), \text{ wobei } \dot{\varphi} = \partial_0 \varphi$$
 (96)

Es ist $T_0^0 \stackrel{\text{(95)}}{=} \pi(x)\dot{\varphi}(x) - \mathcal{L}(x)$.

Der Hamilton-Operator (= Energie) ist gegeben durch:

$$H = P_0 \stackrel{(94)}{=} \int d^3 \vec{x} T_0^0 = \int d^3 \vec{x} (\pi(x)\dot{\varphi} - \mathcal{L}(x))$$

$$\stackrel{(89)(96)}{=} \int d^3 \vec{x} \left(\frac{1}{2} (\dot{\varphi}^2 + (\vec{\nabla}\varphi)^2 + m^2 \varphi^2) + V(\varphi) \right)$$
(97)

und der Impuls ist:

$$P_{j} \stackrel{(94)}{=} \int d^{3}\vec{x} T^{0j} \stackrel{(93)}{=} \int d^{3}\vec{x} \dot{\varphi} \partial_{j} \varphi$$

$$P^{j} = -\int d^{3}\vec{x} \dot{\varphi} \partial_{j} \varphi$$

$$\vec{P} = -\int d^{3}\vec{x} \dot{\varphi} \vec{\nabla} \varphi = -\int d^{3}\vec{x} \underbrace{\pi(x) \vec{\nabla} \varphi}_{\text{Impulsdichte}}$$
(98)

Nächste Anwendung des Noether-Theorems:

29

Infitesimale Drehungen

$$\delta \vec{x} = i\delta \omega^k J_k \vec{x}, \quad \delta x^0 = 0$$

$$X_k^j = i(J_k \vec{x})^j, \quad X_k^0 = 0, \quad j, k = 1, 2, 3$$

$$\delta \varphi = 0 = \Phi_k$$

$$(88) \Rightarrow j_k^0 = -\frac{\partial \mathcal{L}}{\partial \dot{\varphi}} (\partial_j \varphi) X_k^j = -\frac{\partial \mathcal{L}}{\partial \dot{\varphi}} (\vec{\nabla} \varphi)^\top i J_k \vec{x} \stackrel{(92)}{=} -\dot{\varphi} (\vec{\nabla} \varphi)^\top i J_k \vec{x}$$

$$(99)$$

Wir definieren mit (98) die Impulsdichte $\vec{p}(x) = -\dot{\varphi}\vec{\nabla}\varphi$, so dass $\vec{P} = \int d^3\vec{x} \ \vec{p}(x)$, so wird (99) zu

$$j_k^0 = \vec{p}(x)iJ_k\vec{x} = p_m \underbrace{(iJ_k)_{mn}}_{=\varepsilon_{kmn}} x_n = \varepsilon_{kmn}p_mx_n = (\vec{p} \times \vec{x})_k$$

D.h. $-j_k^0$ ist eine Drehimpulsdichte. Erhaltene Ladung (88b) ist der Drehimpuls:

$$L_k = -\int d^3 \vec{x} j_k^0(x)$$

$$\vec{L} = \int d^3 \vec{x} (\vec{x} \times \vec{p})$$
(100)

Anwendung des Noether-Theorems auf eine innere Symmetrie: Komplexes KG-Feld, siehe (60), nun mit Selbstwechselwirkung

$$\mathcal{L} = \partial_{\mu}\varphi \partial^{\mu}\varphi^* - m|\varphi|^2 - V(|\varphi|) \tag{101}$$

Diese weist eine U(1)-Symmetrie auf:

$$\varphi \to \varphi \exp(i\delta\vartheta) = \varphi + i\varphi\delta\vartheta
\delta x^{\mu} = 0 \Rightarrow X_{k}^{\mu} = 0
\delta \varphi = i\delta\vartheta\varphi
\delta \varphi^{*} = -i\delta\vartheta\varphi^{*} \right\} \stackrel{(79)}{\Rightarrow} \begin{pmatrix} \delta\varphi \\ \delta\varphi^{*} \end{pmatrix} = \Phi\delta\vartheta
\text{mit } \Phi = \begin{pmatrix} i\varphi \\ -i\varphi^{*} \end{pmatrix} = \begin{pmatrix} \Phi^{1} \\ \Phi^{2} \end{pmatrix}$$
(102)

Der Noether-Strom (88) lautet:

$$j^{\mu} = -\frac{\partial \mathcal{L}}{\partial(\partial_{\mu}\varphi)}\Phi^{1} - \frac{\partial \mathcal{L}}{\partial(\partial_{\mu}\varphi^{*})}\Phi^{2} \stackrel{(101)(102)}{=} -i(\partial^{\mu}\varphi^{*})\varphi + i(\partial^{\mu}\varphi)\varphi^{*}$$
(103)

mit der erhaltenen Ladung

$$Q = \int d^3 \vec{x} j^0 = i \int d^3 \vec{x} (\varphi^* \dot{\varphi} - \varphi \dot{\varphi}^*)$$

z.B. elektrische Ladung.

U(1)-Symmetrie der Dirac-Theorie

$$\psi \to \exp(i\theta)\psi, \qquad \bar{\psi} \to \exp(-i\theta)\bar{\psi}$$

$$\mathcal{L} = \bar{\psi}(i\partial \!\!\!/ - m)\psi + e\bar{\psi}A\!\!\!/\psi$$

(mit der Kopplung an das elektromagnetische Feld A) Φ ist wie in (102):

$$\Phi = \begin{pmatrix} i\psi_a \\ -i\bar{\psi}_a \end{pmatrix} \qquad \text{Spinor-Index } a = 1, 2, 3, 4$$

(103) wird zu:

$$j^{\mu} = -\frac{\partial \mathcal{L}}{\partial(\partial_{\mu}\psi_{a})}i\psi_{a} + \frac{\partial \mathcal{L}}{\partial(\partial_{\mu}\bar{\psi}_{a})}i\bar{\psi}_{a} = -i\bar{\psi}\gamma^{\mu}i\psi = \bar{\psi}\gamma^{\mu}\psi$$
 (104a)

Das ist die U(1)-Stromdichte des Dirac-Feldes.

Ist z.B. ψ das Elektronenfeld, so ist $ej^{\mu}=e\bar{\psi}\gamma^{\mu}\psi$ die elektromagnetische Stromdichte.

$$Q = e \int d^3 \vec{x} j^0 = e \int d^3 \vec{x} \bar{\psi} \gamma^0 \psi = e \int d^3 \vec{x} \psi^{\dagger} \psi$$
 (104b)

ist die erhaltene elektrische Gesamtladung. $e\psi^{\dagger}\psi$ ist also die Ladungsdichte.

4 Kanonische Feldquantisierung

Klassische Feldtheorie Feld
$$\varphi(x) \in \mathbb{R}^n$$
 oder \mathbb{C}^n — (Feld-)Quantisierung — Feldoperator $\varphi(x)$ auf einem Hilbertraum "zweite Quantisierung"

(Manchmal schreibt man auch $\hat{\varphi}$ für den Feldoperator.)

4.1 Reelles Klein-Gordon-Feld

Analog zu harmonischen Oszillatoren der Quantenmechanik:

$$[\phi(x), \pi(x')]|_{x^0 = x'^0} = i\delta^{(3)}(\vec{x} - \vec{x}')\mathbf{1}$$
(105)

$$[\phi(x), \phi(x')]|_{x^0 = x'^0} = [\pi(x), \pi(x')]|_{x^0 = x'^0} = 0$$
(106)

 $\phi(x)$: Operator zur Amplitude eines harmonischen Oszillators, der am Raum-Punkt \vec{x} angebracht ist.

Operatoren sind zeitabhängig (x_0 -abhängig)

⇒ Heisenbergbild bzw. (für wechselwirkende Theorien) Wechselwirkungsbild.

In der Quantenmechanik wurde der Fall betrachtet, dass die Amplitude des Oszillators der Ort eines Punktteilchens war, d.h. ϕ , π entsprachen Orts- und Impulsoperator. Diese Interpretation ist in der relativistischen Quantenmechanik nicht möglich, da es keinen Ortsoperator gibt (wg. der Nichterhaltung der Teilchenzahl).

Fouriertransformation:

$$\tilde{\phi}(\vec{k},t) = \int d^3 \vec{x} \exp(i\vec{k}\,\vec{x})\phi(x) \tag{107}$$

$$\tilde{\pi}(\vec{k},t) = \int d^3 \vec{x} \exp(i\vec{k}\,\vec{x})\pi(x) \tag{108}$$

 $\tilde{\phi}$ und $\tilde{\pi}$ sind Felder im 3-er Impulsraum. Inverse:

$$\phi(x) = \int \frac{d^3\vec{k}}{(2\pi)^3} \exp(-i\vec{k}\,\vec{x})\tilde{\phi}(\vec{k},t)$$
 (109a)

$$\pi(x) = \int \frac{d^3 \vec{k}}{(2\pi)^3} \exp(-i\vec{k}\,\vec{x})\tilde{\pi}(\vec{k},t)$$
 (109b)

Denn:

$$\int \frac{d^3\vec{k}}{(2\pi)^3} \exp(-i\vec{k}\,\vec{x}) \tilde{\phi}(\vec{k},t) \stackrel{(107)}{=} \int d^3\vec{x}' \underbrace{\int \frac{d^3\vec{k}}{(2\pi)^3} \exp(-i\vec{k}\,\vec{x}') \exp(i\vec{k}\,\vec{x}')}_{=\delta^{(3)}(\vec{x}-\vec{x}')} \phi(\vec{x}',x^0) = \phi(x)$$

Zeitabhängigkeit von $\tilde{\phi}(\vec{k},t)$ für das freie KG-Feld: KG-Gleichung:

$$0 = (\Box + m^{2})\phi(x) = \left[\frac{\partial^{2}}{\partial t^{2}} - \vec{\nabla}^{2} + m^{2}\right]\phi(x)$$

$$0 \stackrel{(109)}{=} \int \frac{d^{3}\vec{k}}{(2\pi)^{3}} \left[\frac{\partial^{2}}{\partial t^{2}} - \vec{\nabla}^{2} + m^{2}\right] \exp(-i\vec{k}\,\vec{x})\tilde{\phi}(\vec{k},t)$$

$$\Rightarrow \left[\frac{\partial^{2}}{\partial t^{2}} + \vec{k}^{2} + m^{2}\right] \tilde{\phi}(\vec{k},t) = 0, \text{ da } \vec{\nabla} \exp(-i\vec{k}\,\vec{x}) = -i\vec{k} \exp(-i\vec{k}\,\vec{x})(110a)$$
Also: $\tilde{\phi}(\vec{k},t) = \tilde{\phi}(\vec{k},0) \cos(E_{k}t) + \frac{\dot{\tilde{\phi}}(\vec{k},0)}{E_{k}} \sin(E_{k}t)$

$$\text{mit } E_{k} = \sqrt{k^{2} + m^{2}}$$

$$(110b)$$

Definiere:

$$a(\vec{k},t) = \frac{1}{\sqrt{2E_k}} \left[E_k \tilde{\phi}(\vec{k},t) + i\tilde{\pi}(\vec{k},t) \right]$$
 (111a)

$$a^{\dagger}(\vec{k},t) = \frac{1}{\sqrt{2E_k}} \left[E_k \tilde{\phi}^{\dagger}(\vec{k},t) - i\tilde{\pi}^{\dagger}(\vec{k},t) \right]$$
 (111b)

$$a^{\dagger}$$
: $\left\{ \begin{array}{c} \text{komplexe} \\ \text{hermitesche} \end{array} \right\}$ Konjugation für $\left\{ \begin{array}{c} \text{klassische Felder} \\ \text{Feldoperatoren} \end{array} \right\}$.

$$\phi \text{ reell} \qquad \stackrel{\text{(107)}}{\Rightarrow} \left\{ \begin{array}{l} \tilde{\phi}^{\dagger}(\vec{k}, t) = \int d^3 \vec{x} \exp(-i\vec{k} \, \vec{x}) \phi(x) = \tilde{\phi}(-\vec{k}, t) \\ \tilde{\pi}^{\dagger}(\vec{k}, t) = \tilde{\pi}(-\vec{k}, t) \end{array} \right\}$$
(112)

$$\Rightarrow a^{\dagger}(-\vec{k},t) = \frac{1}{\sqrt{2E_k}} \left[E_k \tilde{\phi}(\vec{k},t) - i\tilde{\pi}(\vec{k},t) \right]$$
 (113)

Mit (113) finden wir aus (111):

$$\tilde{\phi}(\vec{k}, t) = \frac{1}{\sqrt{2E_k}} (a(\vec{k}, t) + a^{\dagger}(-\vec{k}, t))$$
(114a)

$$\tilde{\pi}(\vec{k},t) = i\sqrt{\frac{E_k}{2}}(a^{\dagger}(-\vec{k},t) - a(\vec{k},t))$$
(114b)

und mit (109):

$$\phi(x) = \int \frac{d^{3}\vec{k}}{(2\pi)^{3}} \frac{\exp(-i\vec{k}\,\vec{x})}{\sqrt{2E_{k}}} a(\vec{k},t) + \underbrace{\int \frac{d^{3}\vec{k}}{(2\pi)^{3}} \frac{\exp(-i\vec{k}\,\vec{x})}{\sqrt{2E_{k}}} a^{\dagger}(-\vec{k},t)}_{\text{substitution }\vec{k}\to -\vec{k}}$$

$$= \int \frac{d^{3}\vec{k}}{(2\pi)^{3}} \frac{1}{\sqrt{2E_{k}}} (\exp(-i\vec{k}\,\vec{x})a(\vec{k},t) + \exp(i\vec{k}\,\vec{x})a^{\dagger}(\vec{k},t))$$

$$\pi(x) = \frac{\partial \mathcal{L}}{\partial (\dot{\phi}(x))} = \dot{\phi}(x) \Rightarrow \tilde{\pi}(\vec{k},t) = \tilde{\dot{\phi}}(\vec{k},t)$$
(115)

$$\frac{\partial}{\partial t}(110) \Rightarrow \left[\frac{\partial^2}{\partial t^2} + \vec{k}^2 + m^2\right] \tilde{\pi}(\vec{k}, t) = 0$$

$$\frac{\partial}{\partial t}(111) \Rightarrow \left[\frac{\partial^2}{\partial t^2} + \vec{k}^2 + m^2\right] a(\vec{k}, t) = 0$$

(sieht man auch aus $0=(\Box+m^2)\phi(x)$ mit $\phi(x)$ in (115)) Lösung:

$$a(\vec{k},t) = a_{\vec{k}} \exp(-iE_k t), \qquad a_{\vec{k}} = a(\vec{k},0)$$

$$a^{\dagger}(\vec{k},t) = a_{\vec{k}}^{\dagger} \exp(+iE_k t)$$

(115)
$$\Rightarrow \phi(x) = \int \frac{d^3\vec{k}}{(2\pi)^3} \frac{1}{\sqrt{2E_k}} \left(a_{\vec{k}} \exp(-ikx) + a_{\vec{k}}^{\dagger} \exp(ikx) \right) \Big|_{k^0 = E_k}$$
 (116)

und
$$\pi(x) = -i \int \frac{d^3 \vec{k}}{(2\pi)^3} \sqrt{\frac{E_k}{2}} \left(a_{\vec{k}} \exp(-ikx) - a_{\vec{k}}^{\dagger} \exp(ikx) \right) \Big|_{k^0 = E_k}$$
(117)

Bemerkung: Wie ist ein Integral über einen Operator definiert? Beispiel: In (117) ist $\pi(x)$ der Operator, dessen Matrixelemente $\langle f | \pi(x) | i \rangle$ durch

$$-i\int \frac{d^3\vec{k}}{(2\pi)^3} \sqrt{\frac{E_k}{2}} \left(\langle f \mid a_{\vec{k}} \mid i \rangle \exp(-ikx) - \langle f \mid a_{\vec{k}}^{\dagger} \mid i \rangle \exp(ikx) \right) \Big|_{k^0 = E_k}$$

gegeben ist. $(\langle f | a_{\vec{k}} | i \rangle$ ist eine "normale", komplexe Funktion von \vec{k}). Mit (111) und (109) können wir $[a_{\vec{k}}, a_{\vec{k}}^{\dagger}]$ aus (105) und (106) berechnen.

$$[a_{\vec{k}}, a_{\vec{k'}}^{\dagger}] = \frac{1}{2E_k} \left[E_k \tilde{\phi}(\vec{k}, 0) + i\tilde{\pi}(\vec{k}, 0), E_{k'} \tilde{\phi}^{+}(\vec{k'}, 0) - i\tilde{\pi}^{+}(\vec{k'}, 0) \right]$$

$$= \frac{1}{2\sqrt{E_k E_{k'}}} \int d^3 \vec{x} \exp(i\vec{k}\,\vec{x}) \int d^3 \vec{y} \exp(-i\vec{k'}\,\vec{y}) i E_{k'} \underbrace{\left[\pi(\vec{x}, 0), \phi(\vec{y}, 0)\right]}_{-i\delta^{(3)}(\vec{x} - \vec{y})}$$

$$- \frac{1}{2\sqrt{E_k E_{k'}}} \int d^3 \vec{x} \exp(-i\vec{k}\,\vec{x}) \int d^3 \vec{y} \exp(i\vec{k'}\,\vec{y}) i E_k \underbrace{\left[\phi(\vec{y}, 0), \pi(\vec{x}, 0)\right]}_{i\delta^{(3)}(\vec{x} - \vec{y})}$$

$$= \frac{1}{2} \sqrt{\frac{E_{k'}}{E_k}} \int d^3 \vec{x} \exp(i(\vec{k} - \vec{k'})\,\vec{x}) + \frac{1}{2} \sqrt{\frac{E_k}{E_{k'}}} \int d^3 \vec{x} \exp(i(\vec{k'} - \vec{k})\,\vec{x})$$

$$= (2\pi)^3 \delta^{(3)}(\vec{k} - \vec{k'})$$

$$= (2\pi)^3 \delta^{(3)}(\vec{k} - \vec{k'})$$

$$(119)$$

Ebenso findet man (nun wegen eines relativen "-"-Zeichens zwischen den Termen):

$$[a_{\vec{k}}, a_{\vec{k'}}] = [a_{\vec{l}}^{\dagger}, a_{\vec{l}l}^{\dagger}] = 0 \tag{120}$$

Hamilton-Operator

$$H = \int d^3 \vec{x}' T_0^0 \stackrel{(97)}{=} \int d^3 \vec{x}' \left[\frac{1}{2} (\pi^2 + (\vec{\nabla}\phi)^2 + m^2 \phi^2) + V(\phi) \right]$$

H ist zeitunabhängig wegen des Noether-Theorems.

 \Rightarrow wähle im folgenden t = t' in den Feldern ϕ und π rechts.

$$[\phi(x), H] = \int d^{3}\vec{x}' \frac{1}{2} (\underbrace{\phi(x), \pi^{2}(x')]_{t=t'}}_{\pi(x')[\phi(x), \pi(x')] + [\phi(x), \pi(x')] \pi(x')} + [\phi(x), (\vec{\nabla}\phi(x'))^{2}]_{t=t'}) \quad (121)$$

$$[\phi(x), (\vec{\nabla}\phi(x'))^{2}] = [\phi(x), \partial_{j}\phi(x')\partial_{j}\phi(x')]_{t=t'}$$

$$= \underbrace{[\phi(x), \partial_{j}\phi(x')]}_{\partial y} \partial_{y}\phi(x') + \partial_{j}\phi(x)[\phi(x'), \partial_{j}\phi(x')]$$

$$\frac{\partial}{\partial x'^{j}} \underbrace{[\phi(x), \phi(x')]}_{=0} \Rightarrow [\phi(x), (\vec{\nabla}\phi)^{2}] = 0$$

$$(121) \Rightarrow [\phi(x), H] = \int d^3 \vec{x}' \pi(t, \vec{x}') i \delta^{(3)}(\vec{x} - \vec{x}') = i \pi(t, \vec{x}) = i \dot{\phi}(x)$$
(122)

Dies ist die Heisenbergsche Bewegungsgleichung für ϕ !

$$[\pi(x), H] = \int d^3 \vec{x}' \frac{1}{2} \Big[[\pi(x), \underbrace{\phi(x')(-\vec{\nabla}^2 + m^2)\phi(x')}_{\text{part. Int.: } \int (\nabla \phi)^2 = -\int \phi \nabla^2 \phi} + [\pi(x), V(\phi(x'))] \Big]$$
(123)

Für
$$V(\phi) = \sum_{n} c_n \phi^n$$
:

Wegen

$$[\pi, \phi^n] = \phi[\pi, \phi^{n-1}] + \underbrace{[\pi, \phi]}_{-i\delta^{(3)}(\vec{x} - \vec{x}')} \phi^{n-1}$$

findet man durch vollständige Induktion:

$$[\pi(x), \phi^{n}(x')] = -n\phi^{n-1}(x')i\delta^{(3)}(\vec{x} - \vec{x}'), \text{ also}$$

$$[\pi(x), V(\phi(x'))] = \sum_{n} c_{n}[\pi(x), \phi^{n}(x')] = -i\delta^{(3)}(\vec{x} - \vec{x}')\frac{\partial V}{\partial \phi}(x')$$

$$(123) \Rightarrow [\pi(x), H] = \int d^3 \vec{x}' \left(-i\delta^{(3)}(\vec{x} - \vec{x}')(-\vec{\nabla}^2 + m^2)\phi(x') - i\delta^{(3)}(\vec{x} - \vec{x}')\frac{\partial V}{\partial \phi}(x') \right)$$
$$= -i(-\vec{\nabla}^2 + m^2)\phi(x) - i\frac{\partial V}{\partial \phi}(x)$$
(124)

Aus (122) und (124) findet man:

$$\ddot{\phi}(x) \stackrel{(122)}{=} -i[\dot{\phi}, H] = -i[\pi, H] \stackrel{(124)}{=} (\nabla^2 - m^2)\phi(x) - \frac{\partial V}{\partial \phi}$$

$$\Rightarrow (\Box + m^2)\phi + \frac{\partial V}{\partial \phi} = 0$$

$$\Leftrightarrow \partial_{\mu} \frac{\partial \mathcal{L}}{\partial(\partial_{\mu}\phi)} - \frac{\partial \mathcal{L}}{\partial \phi} = 0$$

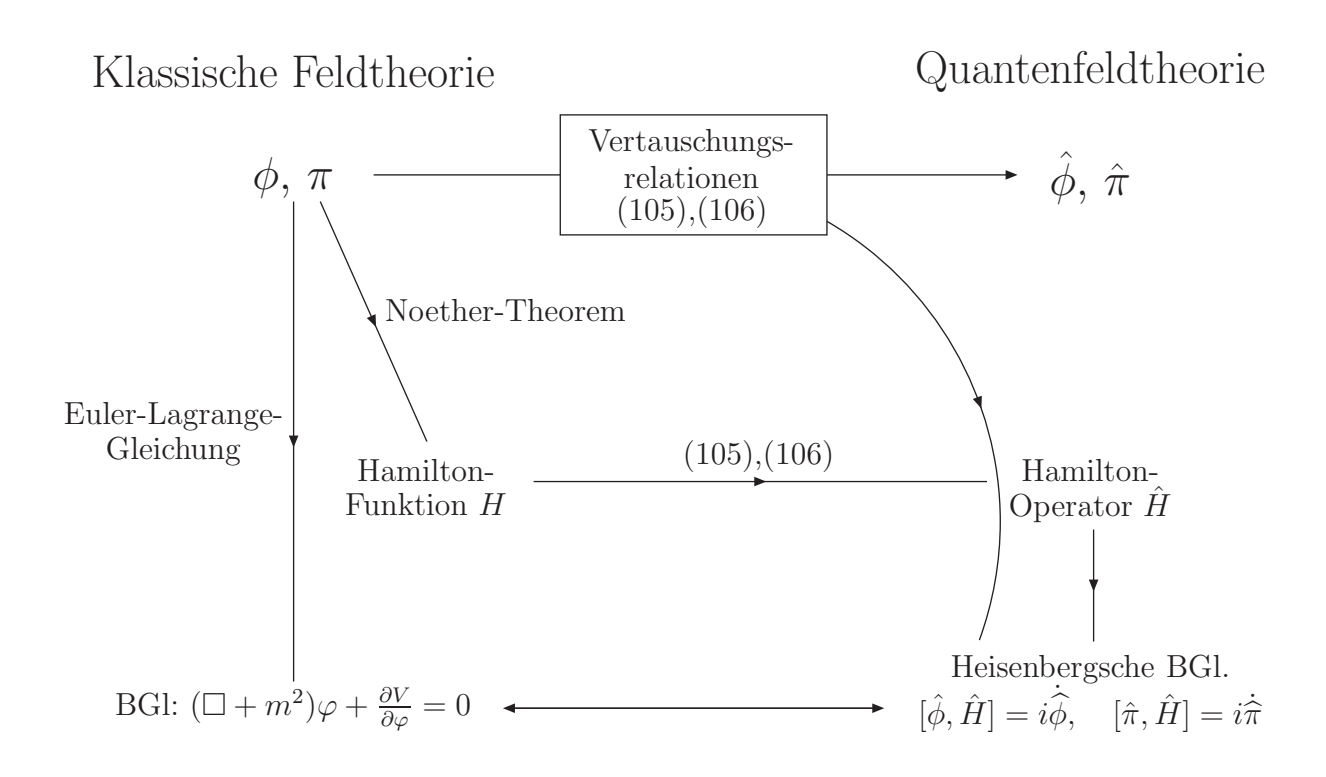
$$(125)$$

für $\mathcal{L} = \frac{1}{2}(\partial_{\mu}\phi)^2 - \frac{m^2}{2}\phi^2 - V(\phi)$ (89), der Lagrangedichte des wechselwirkenden, reellen KG-Feldes.

Außerdem: $(124) \Rightarrow [\pi(x), H] = i\ddot{\phi}(x) = i\dot{\pi}(x)$ (Heisenbergsche Bewegungsgleichung für $\pi(x)$) D.h die Zeitentwicklung der Quantentheorie die durch die Heisenbergsche Bewegungsgleichung für die **Feldoperatoren** ϕ und π gegeben ist, reproduziert in (126) das Ergebnis der Euler-Lagrange-Gleichung.

⇒ Konsistenztest, dass kanonische Quantisierung Sinn macht.

Logik:



Der Hamilton-Operator für eine freie Theorie $(V(\phi) = 0)$, ausgedrückt durch die Auf- und Absteigeoperatoren, lautet:

$$H = \int \frac{d^3 \vec{p}}{(2\pi)^3} E_p \left(a_p^{\dagger} a_p + \frac{1}{2} [a_p, a_p^{\dagger}] \right)$$
 (127)

Der Übergang von der klassischen zur quantisierten Theorie ist nicht eindeutig, weil a_p, a_p^* nur in der klassischen Theorie vertauschen.

 \Rightarrow Der Koeffizient von $[a_p,a_p^{\dagger}]$ ist unbestimmt.

Der Beitrag von $[a_p, a_p^{\dagger}]$ entspricht der Grundzustandsenergie der ∞ -vielen harmonischen Oszillatoren und muss substrahiert werden, um endliche Energien zu haben. Diese Unbestimmtheit hat keine Auswirkungen, da sie nur den Energienullpunkt verschiebt. Es gilt:

$$[H, a_p^{\dagger}] = E_p a_p^{\dagger} \tag{128a}$$

$$[H, a_p] = -E_p a_p \tag{128b}$$

 a_p und a_p^{\dagger} sind Vernichter und Erzeuger, aber von was? Der Zustandsraum ist noch nicht bekannt. Wir erreichen den gesamten Hilbertraum durch mehrmaliges anwenden von Erzeugern und Vernichtern.

Grundzustand $|0\rangle$ mit $\langle 0|0\rangle = 1$ ist definiert durch $a_{\vec{p}}|0\rangle = 0$ für alle \vec{p} .

Jetzt stellen wir die Verbindung zur Physik her und interpretieren $|0\rangle$ als Vakuum. Mit

$$H = \int \frac{d^3 \vec{p}}{(2\pi)^3} E_p a_p^{\dagger} a_p$$

findet man die Vakuum-Energie: $\langle 0|H|0\rangle = 0$

D.h. die korrekte Vorschrift in der Behandlung von a_p, a_p^{\dagger} in den Noether-Ladungen ist die sogenannte **Normalordnung** bei der die Vernichter rechts von den Erzeugern stehen. Manchmal schreibt man

$$: a_p^{\dagger} a_p \colon \equiv : a_p a_p^{\dagger} \colon \equiv a_p^{\dagger} a_p$$

Was erzeugt nun a_p^{\dagger} ?

Definition:

$$|\vec{p}\rangle = \sqrt{2E_p}a_p^{\dagger}|0\rangle \tag{129}$$

$$a_q |\vec{p}\rangle = \sqrt{2E_p}((2\pi)^3 \delta^{(3)}(\vec{p} - \vec{q}) + a_p^{\dagger} a_q) |0\rangle = \sqrt{2E_p}(2\pi)^3 \delta^{(3)}(\vec{p} - \vec{q}) |0\rangle$$
 (130)

$$(129) \Rightarrow \langle \vec{q} \, | \vec{p} \, \rangle = 2\sqrt{E_p E_q} \, \langle 0 | \, a_q a_p^{\dagger} \, | 0 \rangle = 2\sqrt{E_p E_q} \, \langle 0 | \, (2\pi)^3 \delta^{(3)} (\vec{q} - \vec{p}) + a_p^{\dagger} a_q \, | 0 \rangle$$
$$= 2E_p(2\pi)^3 \delta^{(3)} (\vec{q} - \vec{p})$$
(131)

 \Rightarrow Die Normierung ist so, dass $|\vec{p}\rangle$ Dimension –1 hat.

$$H |\vec{p}\rangle = \sqrt{2E_p} H a_p^{\dagger} |0\rangle$$

$$= \sqrt{2E_p} (a_p^{\dagger} H |0\rangle + [H, a_p^{\dagger}] |0\rangle) \stackrel{(128)}{=} \sqrt{2E_p} E_p a_p^{\dagger} |0\rangle$$

$$= E_p |\vec{p}\rangle$$
(132)

 $\Rightarrow |\vec{p}\rangle$ ist Eigenzustand von H mit Energie $E_p = \sqrt{\vec{p}^2 + m^2} \Rightarrow |\vec{p}\rangle$ ist Einteilchen-Zustand, aus (129) interpretieren wir a_p^{\dagger} als den Erzeuger eines Teilchens mit Impuls \vec{p} . Zwei-Teilchen-Zustand:

$$|\vec{p}, \vec{q}\rangle = \sqrt{2E_p}\sqrt{2E_q}a_q^{\dagger}a_p^{\dagger}|0\rangle = |\vec{q}, \vec{p}\rangle$$
 (133)

 \Rightarrow KG-Feld beschreibt **Bosonen**.

N-Teilchenzustand:

$$|\vec{p}_1, \dots \vec{p}_N\rangle = \sqrt{2E_{p_1}} \dots \sqrt{2E_{p_N}} a_{p_1}^{\dagger} \dots a_{p_N}^{\dagger} |0\rangle$$
(134)

Poincaré-Transformationen $(\Lambda, a) \in \mathcal{P} : x \to x' = \Lambda x + a$ Zwei Zustände $|\psi_1\rangle$, $|\psi_2\rangle$:

$$|\psi_i'\rangle = \underbrace{U(\Lambda, a)}_{\text{\in Darstellung von }\mathcal{P}} |\psi_i\rangle$$
 (135)

Die Wahrscheinlichkeitsinterpretation der Amplituden erfordert:

$$|\langle \psi_1' | \psi_2' \rangle| \stackrel{!}{=} |\langle \psi_1 | \psi_2 \rangle| = |\langle \psi_1 | U^+(\Lambda, a) U(\Lambda, a) | \psi_2 \rangle|$$

$$\Rightarrow U^+(\Lambda, a) U(\Lambda, a) = \mathbf{1}$$

 $U(\Lambda, a)$ ist unitäre Darstellung von $P: U(\Lambda', a')U(\Lambda, a) = U(\Lambda'\Lambda, \Lambda'a + a')$

Vakuum-Zustand soll ein Singulett-Zustand sein, also in allen Bezugssystemen gleich:

 $U(\Lambda, a) |0\rangle = |0\rangle$

Wie transformieren sich Feldoperatoren?

Klassisches Skalarfeld: $\phi(x) \rightarrow \phi'(x') = \phi(x)$

Matrixelemente der Feldoperatoren sollen sich wie ein klassisches Feld transformieren:

$$\langle \psi_1 | \phi(x) | \psi_2 \rangle \stackrel{!}{=} \langle \psi_1' | \phi'(x') | \psi_2' \rangle = \langle \psi_1 | U^+(\Lambda, a) \phi'(x') U(\Lambda, a) | \psi_2 \rangle$$

$$\Rightarrow U^+(\Lambda, a) \phi'(x') U(\Lambda, a) = \phi(x)$$
(136)

Aus (136) können wir $U(\Lambda, a)$ bestimmen. Zunächst betrachtet man reine Translationen: Suche U(0,a).

Wähle
$$x = 0 \Rightarrow x' = a$$

$$\Rightarrow \phi'(a) = U(0, a)\phi(0)U^{+}(0, a)$$
(137a)

Reine Zeittranslation: a = (t, 0, 0, 0)

In (122) haben wir mit der Heisenbergschen Bewegungsgleichung gefunden, dass $i\dot{\phi} = [\phi(x), H]$ Lösung:

$$\phi(x,t) = \exp(iHt)\phi(x,0)\exp(-iHt)$$

$$denn, -i\dot{\phi} = -H\phi(x) + \phi(x)H$$
(137b)

Vergleich mit (137)

$$U(0,a) = \exp(iHa_0) \text{ für } a = (a_0, 0, 0, 0)$$
(138)

Analog zur Herleitung von (122) findet man:

$$[\phi(x), \vec{P}] = -i\vec{\nabla}\phi \tag{139}$$

also

$$\phi(x,t) = \exp(-i\vec{P}\,\vec{x})\phi(0,t)\exp(i\vec{P}\,\vec{x})$$

$$\stackrel{(137)}{\Rightarrow} U(0,a) = \exp(-i\vec{P}\,\vec{a})\text{für } a = (0,\vec{a})$$
(140)

(138) und (140) kombiniert man zu:

$$U(0,a) = \exp(iP\,a) \tag{141}$$

Für Lorentz-Transformationen $U(\Lambda,0)$ können wir genauso verfahren. Die Noether-Ladungen (siehe (99) und (100) für Drehungen) erfüllen Vertauschungsrelationen mit ϕ analog zu (122) und (139). Speziell für Drehungen $\Lambda = \Lambda(0,\vec{\varphi})$:

$$U(\Lambda, 0) = \exp(-i\vec{\varphi} \, \vec{L})$$
mit $L_k \stackrel{(99)(100)}{=} - \int d^3 \vec{x} j_k^0(\vec{x}) = - \int d^3 \vec{x} \dot{\phi} (\vec{\nabla} \phi)^\top i J_k \vec{x}$ (142)

Schematisch:

Klassische Feldtheorie

 Q_k erhalten

Quantenfeldtheorie

 \hat{Q}_k Operatoren

Symmetrie unter $x \to x', \phi \to \phi' \text{ mit} \qquad \qquad \hat{\phi}' = \exp(ia_k \hat{Q}_k) \hat{\phi} \exp(-ia_k \hat{Q}_k)$ Parameter a_k $\qquad \qquad \uparrow$ Noether-Ladungen

$$(122), (139) \Leftrightarrow [\phi(x), P_{\mu}] = i\partial_{\mu}\phi(x)$$

$$\Rightarrow [\pi(x), P_{\mu}] = [\dot{\phi}, P_{\mu}] = i\partial_{\mu}\dot{\phi}(x) = i\partial_{\mu}\pi(x)$$

$$(143)$$

$$(107), (108), (111) \Rightarrow \begin{cases} a(\vec{k}, t) = a_{\vec{k}} \exp(-iE_{k}t) = \exp(iHt) a_{\vec{k}} \exp(-iHt) \\ \exp(-i\vec{p}\,\vec{x}) a_{\vec{k}} \exp(i\vec{p}\,\vec{x}) = a_{\vec{k}} \exp(i\vec{k}\,\vec{x}) \end{cases}$$

$$\Rightarrow \exp(iPx) a_{\vec{k}} \exp(-iPx) = a_{\vec{k}} \exp(-ikx) \Big|_{k_{0} = E_{k}}$$

$$(144)$$

Ein Ein-Teilchen-Zustand transformiert sich also unter unitären Transformationen wie

$$|\vec{p}\rangle \to |\vec{p}'\rangle \stackrel{E_{p'}=E_p}{=} \sqrt{2E_p} a_{p'}^{\dagger} |0\rangle \stackrel{(144)}{=} \sqrt{2E_p} a_p^{\dagger} \exp(ipa) |0\rangle \Big|_{p_0=E_p} = \exp(ipa) |\vec{p}\rangle$$
 (145)

Alternativ: $P^{\mu} |\vec{p}\rangle = p^{\mu} |\vec{p}\rangle$ mit $p^0 = E_p \Rightarrow \exp(iPa) |\vec{p}\rangle = \exp(ipa) |\vec{p}\rangle$ Unter Lorentztransformationen

$$\begin{array}{ccc} x & \to & x' = \Lambda x \\ |\vec{p}\,\rangle & \to & |\vec{p'}\,\rangle = U(\Lambda,0) \,|\vec{p}\,\rangle = \left|\overrightarrow{(\Lambda p)}\right\rangle \\ \overrightarrow{(\Lambda p)} & : & \text{räumliche Komponente von } \Lambda \begin{pmatrix} E_p \\ \overrightarrow{p} \end{pmatrix} \end{array}$$

Bemerkungen:

1. $\frac{d^3\vec{p}}{2E_p} = \frac{d^3\vec{p}}{2\sqrt{\vec{p}^2 + m^2}}$ ist ein Lorentz-invariantes Integrationsmaß:

$$\frac{d^3\vec{p}'}{2\sqrt{\vec{p}'^2 + m^2}} = \frac{d^3\vec{p}}{2\sqrt{\vec{p}^2 + m^2}}$$

D.h. wenn f(p) Lorentz-invariant ist, dann ist auch $\int \frac{d^3\vec{p}}{2E_p} f(p)$ Lorentz-invariant, denn

$$\int_{0}^{\infty} dp^{0} \delta(p^{2} - m^{2}) = \int_{0}^{\infty} dp^{0} \delta(p^{0} - \vec{p}^{2} - m^{2}) \stackrel{x = \vec{p}^{0}}{=} \int_{0}^{\infty} \frac{dx}{2\sqrt{x}} \delta(x - \vec{p}^{2} - m^{2}) = \frac{1}{2E_{p}}$$
also :
$$\int \frac{d^{3}\vec{p}}{2E_{p}} f(p) = \int_{p^{0} > 0} \underbrace{d^{4}p \, \delta(p^{2} - m^{2}) f(p)}_{\text{Lorentz-invariant}}$$

2. Orthogonalität der Teilchenzustände

$$\langle \vec{q}_{1} \dots \vec{q}_{N} | \vec{p}_{1} \dots \vec{p}_{M} \rangle \propto \langle \vec{q}_{1} \dots \vec{q}_{N} | a_{\vec{p}_{1}}^{\dagger} \dots a_{\vec{p}_{M}}^{\dagger} | 0 \rangle$$

$$= \langle 0 | a_{\vec{p}_{1}} \dots a_{\vec{p}_{M}} | \vec{q}_{1} \dots \vec{q}_{N} \rangle^{*}$$

$$\propto \langle 0 | a_{\vec{p}_{1}} \dots a_{\vec{p}_{M}} a_{\vec{q}_{1}}^{\dagger} \dots a_{\vec{q}_{M}}^{\dagger} | 0 \rangle^{*}$$

Falls ein $\vec{p_j} \notin \{\vec{q_1} \dots \vec{q_N}\}$, dann kann man den Erzeuger $a_{\vec{p_j}}$ nach rechts durchtauschen und $a_{\vec{p_j}} a_{\vec{q_1}}^{\dagger} \dots a_{\vec{q_M}}^{\dagger} |0\rangle = a_{\vec{q_1}}^{\dagger} \dots a_{\vec{q_M}}^{\dagger} a_{\vec{p_j}} |0\rangle = 0$. D h

$$\langle \vec{q}_1 \dots \vec{q}_N | \vec{p}_1 \dots \vec{p}_M \rangle = 0 \Leftrightarrow \{ \vec{q}_1 \dots \vec{q}_N \} \neq \{ \vec{p}_1 \dots \vec{p}_M \}$$

Mit unserer Identifikation in (129) als Einteilchen-Zustand mit Impuls \vec{p} , den Vielteilchen-zuständen (134), der Fourier-Darstellung (116) und den Vertauschungsrelationen (119), (120) können wir nun alle Matrixelemente der freien Klein-Gordon-Theorie bestimmen. (d.h. die freie KG-Theorie ist exakt lösbar)

1. Zusammenhang mit ebenen Wellen

$$\phi(x) |0\rangle = \int \frac{d^3\vec{p}}{(2\pi)^3} \frac{1}{\sqrt{2E_p}} \left(\exp(-ipx) a_{\vec{p}} + a_{\vec{p}}^{\dagger} \exp(ipx) \right) \Big|_{p^0 = E_p} |0\rangle$$

$$= \int \frac{d^3\vec{p}}{(2\pi)^3} \frac{1}{2E_p} \exp(ipx) |\vec{p}\rangle$$

$$= \text{Superposition von Einteilchen-Zuständen,}$$
die wie ebene Wellen propagieren

2. Zusammenhang mit der relativistischen Quantenmechanik

$$\langle 0|\phi(x)|\vec{p}\rangle = \langle 0|\int \frac{d^{3}\vec{p}'}{(2\pi)^{3}} \frac{1}{\sqrt{2E_{p'}}} (a_{\vec{p}'} \exp(-ip'x) + a_{\vec{p}'}^{+} \exp(ip'x)) \sqrt{2E_{p}} a_{\vec{p}}^{+} |0\rangle$$
Term $\propto \langle 0|a_{\vec{p}'}^{+} a_{\vec{p}}^{+} |0\rangle = 0$

$$\text{Term } \propto \langle 0|a_{\vec{p}'} a_{\vec{p}}^{+} |0\rangle = \langle 0|(2\pi)^{3} \delta^{(3)}(\vec{p} - \vec{p}') + a_{\vec{p}}^{+} a_{\vec{p}'} |0\rangle = (2\pi)^{3} \delta^{(3)}(\vec{p} - \vec{p}')$$

$$\langle 0|\phi(x)|\vec{p}\rangle = \langle 0|\int \frac{d^{3}\vec{p}}{(2\pi)^{3}} \sqrt{\frac{E_{p}}{E_{p'}}} \exp(-ip'x)(2\pi)^{3} \delta^{(3)}(\vec{p} - \vec{p}') |0\rangle$$

$$= \exp(-ipx) \quad \text{mit } p^{0} = E_{p}$$

$$(146)$$

 $\langle 0|\phi(x)|\vec{p}\rangle$ hat die Eigenschaften einer Einteilchen-Wellenfunktion z.B. $(\Box+m^2)\,\langle 0|\phi(x)|\vec{p}\rangle=0$

 \Rightarrow Kontakt zur relativistischen Quantenmechanik, die auf Probleme mit Energien unterhalb der Paarerzeugungsschwelle $2mc^2$ anwendbar ist.

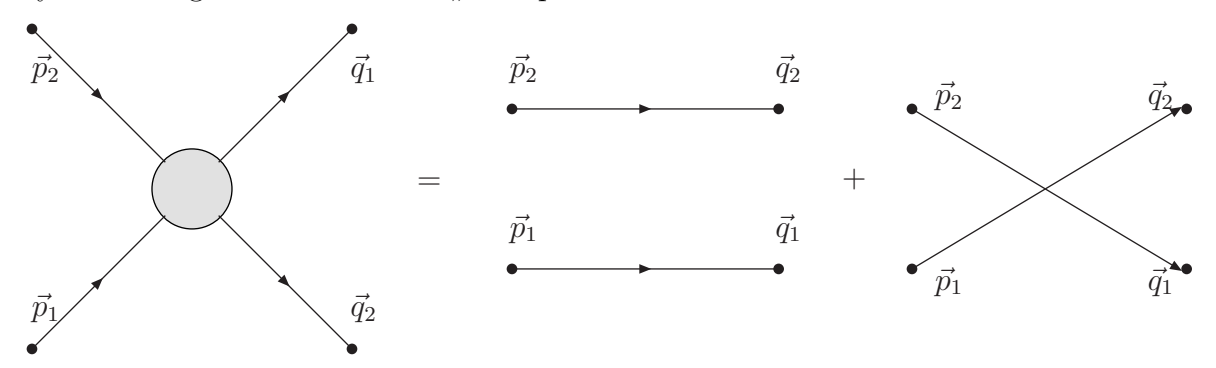
3. Übergangsamplitude von $|\vec{p_1}\vec{p_2}\rangle$ in $|\vec{q_1}\vec{q_2}\rangle$

$$\frac{1}{4\sqrt{E_{p_1}E_{p_2}E_{q_1}E_{q_2}}} \langle \vec{q}_1 \vec{q}_2 | \vec{p}_1 \vec{p}_2 \rangle = \langle 0 | a_{q_1} a_{q_2} a_{p_1}^{\dagger} a_{p_2}^{\dagger} | 0 \rangle$$

$$= \langle 0 | a_{q_1} a_{p_2}^{\dagger} | 0 \rangle (2\pi)^3 \delta^{(3)} (\vec{q}_2 - \vec{p}_1) + \langle 0 | a_{q_1} a_{p_1}^{\dagger} a_{q_2} a_{p_2}^{\dagger} | 0 \rangle$$

$$= (2\pi)^6 \delta^{(3)} (\vec{q}_1 - \vec{p}_2) \delta^{(3)} (\vec{q}_2 - \vec{p}_1) + (2\pi)^6 \delta^{(3)} (\vec{q}_1 - \vec{p}_1) \delta^{(3)} (\vec{q}_2 - \vec{p}_2) \tag{147}$$

Feynman-Diagramme für diesen "Streuprozess" in der freien KG-Theorie:



Es findet keine Streuung statt, die einzelenen Impulse bleiben erhalten.

4. Ein Monom ϕ^n mit $n \geq 3$ heißt (Selbst-)Wechselwirkungsterm. Betrachtet man verschiedene Impulse $\vec{q_1}, \vec{q_2}, \vec{p_1}, \vec{p_2}$ und

$$\int d^4x \langle \vec{q}_1 \vec{q}_2 | \phi^4(x) | \vec{p}_1 \vec{p}_2 \rangle \tag{148}$$

Zunächst mit (137) und (141)

$$\phi(x) = \exp(iPx)\phi(0)\exp(-iPx)
\Rightarrow \phi^{4}(x) = \exp(iPx)\phi^{4}(0)\exp(-iPx)
\text{und } \exp(-iPx)|\vec{p}_{1}\vec{p}_{2}\rangle = |\vec{p}_{1}\vec{p}_{2}\rangle\exp(-i(p_{1}+p_{2})x)|_{p_{i}^{0}=E_{p_{i}}}
\langle \vec{q}_{1}\vec{q}_{2}|\phi^{4}(x)|\vec{p}_{1}\vec{p}_{2}\rangle = \exp(i(\vec{q}_{1}+\vec{q}_{2}-\vec{p}_{1}-\vec{p}_{2})\vec{x})\langle \vec{q}_{1}\vec{q}_{2}|\phi^{4}(0)|\vec{p}_{1}\vec{p}_{2}\rangle$$
(149)

Betrachte x = 0:

$$\phi^{4}(0) = \int \frac{d^{3}\vec{r}_{1}}{(2\pi)^{3}} \cdots \int \frac{d^{3}\vec{r}_{4}}{(2\pi)^{3}} \frac{1}{\sqrt{2E_{r_{1}}}} \cdots \frac{1}{\sqrt{2E_{r_{4}}}} (a_{\vec{r}_{1}} + a_{\vec{r}_{1}}^{\dagger}) \cdots (a_{\vec{r}_{4}} + a_{\vec{r}_{4}}^{\dagger})$$

$$\Rightarrow \frac{1}{4\sqrt{E_{p_{1}}E_{p_{2}}E_{q_{1}}E_{p_{2}}}} \langle \vec{q}_{1}\vec{q}_{2} | \phi^{4}(0) | \vec{p}_{1}\vec{p}_{2} \rangle$$

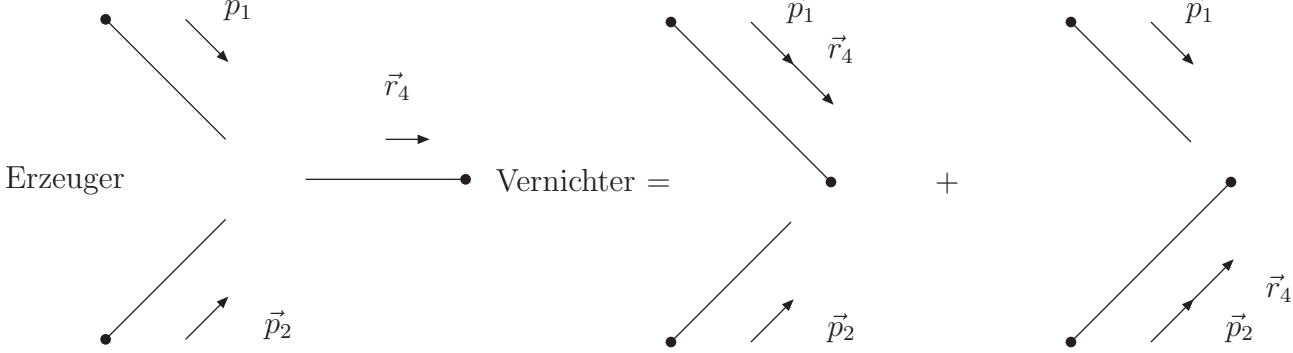
$$= \frac{1}{4\sqrt{E_{p_{1}}E_{p_{2}}E_{q_{1}}E_{p_{2}}}} \int \frac{d^{3}\vec{r}_{1}}{(2\pi)^{3}\sqrt{2E_{r_{1}}}} \cdots \int \frac{d^{3}\vec{r}_{4}}{(2\pi)^{3}\sqrt{2E_{r_{4}}}}$$

$$\langle 0 | a_{\vec{q}_{1}}a_{\vec{q}_{2}}(a_{\vec{r}_{1}} + a_{\vec{r}_{1}}^{\dagger})(a_{\vec{r}_{2}} + a_{\vec{r}_{2}}^{\dagger})(a_{\vec{r}_{3}} + a_{\vec{r}_{3}}^{\dagger})(a_{\vec{r}_{4}} + a_{\vec{r}_{4}}^{\dagger})a_{\vec{p}_{1}}^{\dagger}a_{\vec{p}_{2}}^{\dagger} | 0 \rangle \qquad (150)$$

Ziel: Erzeuger nach links, Vernichter nach rechts durchtauschen. Die einzigen nichtverschwindenden Terme kommen wieder aus Kommutatoren (z.B.)

$$a_{\vec{r}_4} a_{\vec{p}_1}^{\dagger} a_{\vec{p}_2}^{\dagger} |0\rangle = (2\pi)^3 \delta^{(3)} (\vec{r}_4 - \vec{p}_1) a_{\vec{p}_2}^{\dagger} |0\rangle + (2\pi)^3 \delta^{(3)} (\vec{r}_4 - \vec{p}_2) a_{\vec{p}_1}^{\dagger} |0\rangle \tag{151}$$

Diese Operationen kann man graphisch darstellen:



Entsprechend für das Durchtauschen von $a_{\vec{r}_4}^{\dagger}$ nach links:

Offensichtlich tragen nur die Terme in (150) bei, in denen die Zahl der Vernichter und Erzeuger gleich ist. Beim Durchtauschen der Erzeuger $a_{\vec{p}_j}^{\dagger}$ nach links und der Vernichter $a_{\vec{r}_j}$ nach rechts findet man δ -Funktionen, die wir mit einer Linie bezeichnen.

$$\phi^{4}(0) \leftrightarrow (a_{\vec{r}_{1}} + a_{\vec{r}_{1}}^{\dagger}) \cdots (a_{\vec{r}_{4}} + a_{\vec{r}_{4}}^{\dagger}) \stackrel{?}{=} \stackrel{r_{1}}{\underbrace{r_{2}}}$$

$$\frac{1}{4\sqrt{E_{p_{1}}E_{p_{2}}E_{q_{1}}E_{p_{2}}}} \langle \vec{q}_{1}\vec{q}_{2} | \phi^{4}(0) | \vec{p}_{1}\vec{p}_{2} \rangle$$

$$= \int \frac{d^{3}\vec{r}_{1}}{(2\pi)^{3}\sqrt{2E_{r_{1}}}} \cdots \int \frac{d^{3}\vec{r}_{4}}{(2\pi)^{3}\sqrt{2E_{r_{4}}}} \stackrel{\vec{r}_{1}}{\underbrace{r_{1}^{\dagger}}} \stackrel{\vec{r}_{2}}{\underbrace{r_{2}^{\dagger}}} \stackrel{\vec{r}_{3}\vec{r}_{2}}{\underbrace{r_{2}^{\dagger}}}$$

$$= \int \frac{d^{3}\vec{r}_{1}}{(2\pi)^{3}\sqrt{2E_{r_{1}}}} \cdots \int \frac{d^{3}\vec{r}_{4}}{(2\pi)^{3}\sqrt{2E_{r_{4}}}} \stackrel{\vec{r}_{1}}{\underbrace{r_{1}^{\dagger}}} \stackrel{\vec{r}_{1}}{\underbrace{r_{2}^{\dagger}}} \stackrel{\vec{r}_{2}}{\underbrace{r_{2}^{\dagger}}} \stackrel{\vec{r}_{3}\vec{r}_{2}}{\underbrace{r_{2}^{\dagger}}} + \text{alle Permutationen von } (\vec{r}_{1}, \vec{r}_{2}, \vec{r}_{3}, \vec{r}_{4})$$

$$+ \frac{\vec{r}_{1}}{\underbrace{r_{4}}} \stackrel{\vec{r}_{1}}{\underbrace{r_{1}}} \stackrel{\vec{r}_{2}}{\underbrace{r_{1}^{\dagger}}} \stackrel{\vec{r}_{3}\vec{r}_{2}}{\underbrace{r_{2}^{\dagger}}} \stackrel{\vec{r}_{4}\vec{r}_{1}}{\underbrace{r_{1}^{\dagger}}} + \text{andere unzusammenhängende}$$

$$+ \text{Graphen}$$

Alle unzusammenhängenden Graphen verschwinden, weil z.B. $\delta^{(3)}(\vec{q}_1-\vec{q}_2)=0$ wegen unserer Annahme $\vec{p}_1\neq\vec{q}_1$

$$\frac{1}{4\sqrt{E_{p_1}E_{p_2}E_{q_1}E_{p_2}}} \langle \vec{q}_1\vec{q}_2 | \phi^4(0) | \vec{p}_1\vec{p}_2 \rangle$$

$$= \int \frac{d^3\vec{r}_1 \cdots d^3\vec{r}_4 (2\pi)^{12}}{(2\pi)^3\sqrt{2E_{r_1}} \cdots (2\pi)^3\sqrt{2E_{r_4}}} \delta^{(3)}(\vec{p}_1 - \vec{r}_1) \delta^{(3)}(\vec{p}_2 - \vec{r}_2) \delta^{(3)}(\vec{q}_1 - \vec{r}_3) \delta^{(3)}(\vec{q}_2 - \vec{r}_4)$$
+Permutationen von $(\vec{r}_1, \vec{r}_2, \vec{r}_3, \vec{r}_4)$

$$= \frac{1}{4\sqrt{E_{p_1}E_{p_2}E_{q_1}E_{q_2}}} 4!$$

Also

$$\langle \vec{q_1}\vec{q_2} | \phi^4(0) | \vec{p_1}\vec{p_2} \rangle = 4!$$

mit (148), (149) und $\langle \vec{q}_1 \vec{q}_2 | \phi^4(0) | \vec{p}_1 \vec{p}_2 \rangle = 4!$ finden wir

$$\int d^4x \, \langle \vec{q_1} \vec{q_2} | \, \phi^4(x) \, | \vec{p_1} \vec{p_2} \rangle = (2\pi)^3 \underbrace{\delta^{(3)}(\vec{q_1} + \vec{q_2} - \vec{p_1} - \vec{p_2})}_{\mathbf{Gesamtimpuls ist erhalten}} 4!$$

für paarweise verschiedene p_1, p_2, q_1, q_2 . Matrixelemente wie in (148) treten in wechselwirkenden Theorien auf. Wir haben sie durch **Feynman-Graphen** dargestellt.

hat die zum Term $\int d^4x \, \phi^4(x)$ gehörende **Streuamplitude** dargestellt. Wir können sie graphisch berechnen durch zeichnen der zusammenhängenden Graphen (nur ein Graph in unserem Beispiel).

$$|f\rangle = \frac{1}{\sqrt{N!}} (2\pi)^{-\frac{3N}{2}} \int d^3\vec{p}_1 \cdots \int d^3\vec{p}_N f(\vec{p}_1 \dots \vec{p}_N) a^{\dagger}_{p_1} \dots a^{\dagger}_{p_N} |0\rangle$$

ist ein Wellenpacket aus N-Teilchenzuständen. O.B.d.A ist f symmetrisch bzgl. $\vec{p_i} \leftrightarrow \vec{p_j}$

$$\langle f | f \rangle = \frac{1}{N!} (2\pi)^{-3N} \int d^{3}\vec{p}_{1} \cdots \int d^{3}\vec{p}_{N} \int d^{3}\vec{p}_{1}' \cdots \int d^{3}\vec{p}_{N}' f^{*}(\vec{p}_{1} \dots \vec{p}_{N}) f(\vec{p}_{1}' \dots \vec{p}_{N}')$$

$$= (2\pi)^{3N} \sum_{\pi \in S_{N}} \underbrace{\delta^{(3)}(\vec{p}_{1} - \vec{p}_{\pi(1)}) \cdots \delta^{(3)}(\vec{p}_{N} - \vec{p}_{\pi(N)})}_{N! \text{ Summanden}}$$

$$= \frac{1}{N!} (2\pi)^{-3N} (2\pi)^{3N} N! \int d^{3}\vec{p}_{1} \cdots \int d^{3}\vec{p}_{N} |f(\vec{p}_{1} \dots \vec{p}_{N})|^{2}$$

Alle N! Summanden liefern das selbe wegen Symmetrie von $f(\vec{p}_1 \dots \vec{p}_N)$.

$$\langle f | f \rangle < \infty \text{ für } \int d^3 \vec{p}_1 \cdots \int d^3 \vec{p}_N |f(\vec{p}_1 \dots \vec{p}_N)|^2 < \infty$$

Diese Wellenpackete bilden den Hilbertraum der quantisierten KG-Theorie, den s.g. Fockraum \mathcal{F} .

Genauer:

$$f = (f_0, f_1(\vec{p}_1), f_2(\vec{p}_1, \vec{p}_2), \dots f_N(\vec{p}_1, \dots, \vec{p}_N), \dots) \in \mathcal{F}$$

(alle Komponenten symmetrisch unter $\vec{p_i} \leftrightarrow \vec{p_j}$) mit dem Skalarprodukt

$$\langle f | f \rangle = |f_0|^2 + \int d^3 \vec{p_1} |f_1(\vec{p_1})|^2 + \dots + \int d^3 \vec{p_1} \dots \int d^3 \vec{p_N} |f(\vec{p_1} \dots \vec{p_N})|^2 + \dots$$

und die Wellenpackete für $|\vec{p_i}| \to \infty$ und für $N \to \infty$ genügend stark abfallen, dass $\langle f|f \rangle < \infty$

Betrachte
$$D(x-y) := \langle \, 0 \, | \, \phi(x)\phi(y) \, | \, 0 \, \rangle.$$
 $D(x-y)$ ist Funktion von $x-y,$ denn

$$\langle 0 | \phi(x)\phi(y) | 0 \rangle = \langle 0 | \exp(iPy)\phi(x-y) \exp(-iPy) \exp(iPy)\phi(0) \exp(-iPy) | 0 \rangle$$

$$= \langle 0 | \phi(x-y)\phi(0) | 0 \rangle \quad \text{mit } (137), (141)$$

$$D(x-y) = \int \frac{d^{3}\vec{p}}{(2\pi)^{3}} \frac{\exp(-ipx)}{\sqrt{2E_{p}}} \int \frac{d^{3}\vec{p}'}{(2\pi)^{3}} \frac{\exp(ip'y)}{\sqrt{2E_{p'}}} \underbrace{\langle 0 | a_{\vec{p}}a_{\vec{p}'}^{\dagger} | 0 \rangle}_{=(2\pi)^{3}\delta^{(3)}(\vec{p}-\vec{p}')}$$

denn Terme mit $\langle 0 | a_{\vec{p}}^{\dagger} \text{ und } a_{\vec{p}} | 0 \rangle$ verschwinden.

 $\Rightarrow D(x-y)$ beschreibt die Erzeugung von Teilchen mit Impulsen \vec{p}' am Raumzeitpunkt y, die zum Raumzeitpunkt x propagieren und dort von $a_{\vec{p}}$ vernichtet werden.

$$D(x-y) = \int \frac{d^3\vec{p}}{(2\pi)^3} \frac{1}{2E_p} \exp(-ip(x-y))$$
 (153a)

1. Fall $(x-y)^2 > 0$: Wähle Bezugssystem mit $\vec{x} = \vec{y}$, also $x - y = \begin{pmatrix} x^0 - y^0 \\ 0 \end{pmatrix} =: \begin{pmatrix} t \\ 0 \end{pmatrix}$

$$D(t) \stackrel{(153a)}{:=} D(x-y) = \int \frac{d^3\vec{p}}{(2\pi)^3} \frac{1}{2\sqrt{\vec{p}^2 + m^2}} \exp\left(-i\sqrt{\vec{p}^2 + m^2}t\right)$$
(153b)
$$= \frac{4\pi}{(2\pi)^3} \int d|\vec{p}| \frac{|\vec{p}|^2}{2\sqrt{\vec{p}^2 + m^2}} \exp\left(-i\sqrt{\vec{p}^2 + m^2}t\right) \text{ mit Polarkoordinaten}$$
Subst: $E = \sqrt{\vec{p}^2 + m^2} \Rightarrow |\vec{p}| = \sqrt{E^2 - m^2}$ $dE = \frac{2|\vec{p}| d|\vec{p}|}{\sqrt{p^2 + m^2}}$

$$D(t) = \frac{\pi}{(2\pi)^3} \int_{m}^{\infty} dE \sqrt{E^2 - m^2} \exp(-iEt)$$
 (154)

Das Integral (154) konvergiert nicht. Erinnerung: D(t) ist Distribution und muss mit Testfunktion f überintegriert werden:

$$\int_{-\infty}^{-\infty} dt \, f(t) \, D(t) = \frac{\pi}{(2\pi)^3} \int_{m}^{\infty} dE \sqrt{E^2 - m^2} \int_{-\infty}^{\infty} dt \, f(t) \, \exp\left(-iEt\right)$$
discos Integral konvergiert

Einfacher: (154) ist analytisch in t für $\operatorname{Im} t < 0$, denn mit $t = t_r + it_i$ ist

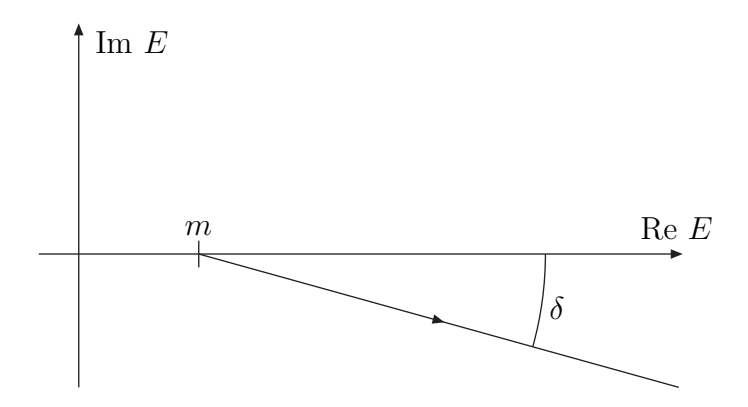
$$\exp(-iEt) = \exp(-iEt_r) \underbrace{\exp(Et_i)}_{\text{gedämpft für } t_i < 0}$$

D.h. wir können (154) für Im t < 0 ausrechnen und dann analytisch fortsetzen zu reellem t.

$$D(t) = \lim_{\delta \to 0} D(t - i\delta)$$

Äquivalent zu $t \to t + i\delta$ ist

$$\int\limits_{m}^{\infty} \to \int\limits_{m}^{\infty+i\delta} \quad \text{"Konturdeformation"}$$



Für $t \to \infty$ findet man

$$D(t) \simeq \exp(-imt)(-1-i)\sqrt{\pi}m^2(mt)^{-3/2}\left[1 + O\left(\frac{1}{mt}\right)\right]$$
 (155a)

2. Fall $(x-y)^2 < 0$: Bezugssystem mit $x^0 = y^0$, $\vec{r} = \vec{x} - \vec{y}$, $|\vec{r}| = r$ (153a) wird zu

$$D(x-y) = \int \frac{d^{3}\vec{p}}{(2\pi)^{3}} \frac{1}{2E_{p}} \exp(i\vec{p}\cdot\vec{r})$$
Polarkoordinaten : $\vec{p}\cdot\vec{r} = |\vec{p}| r \cos \vartheta$

$$= \frac{2\pi}{(2\pi)^{3}} \int_{0}^{\infty} d|\vec{p}| \frac{|\vec{p}|^{2}}{2E_{p}} \frac{\exp(i|\vec{p}|r) - \exp(-i|\vec{p}|r)}{i|\vec{p}|r}$$

$$= -\frac{i}{2(2\pi)^{2}r} \int_{-\infty \exp(i\delta)}^{\infty \exp(i\delta)} d|\vec{p}| \frac{|\vec{p}| \exp(i|\vec{p}|r)}{\sqrt{\vec{p}^{2} + m^{2}}}$$
(155b)

$$D(x-y) \underset{r \to \infty}{\simeq} \exp(-mr)m^2(mr)^{3/2} \left[1 + \mathcal{O}\left(\frac{1}{mr}\right) \right]$$
 (156)

D.h. es gibt selbst zwischen raumartig getrennten Punkten x, y eine Korrelation, denn $D(x - y) \neq 0$. Diese exponentiell gedämpfte Korrelation wird durch **virtuelle Teilchen** vermittelt, die anscheinend von $a_{\vec{p}}^{\dagger}$ bei \vec{y} erzeugt und bei \vec{x} von $a_{\vec{p}}$ wieder vernichtet werden.

Beachte komplexes KG-Feld und $(x-y)^2 < 0$. $D(x-y) = \langle 0 | \phi^{\dagger}(x)\phi(y) | 0 \rangle$ beschreibt dann in einem Bezugssystem mit $\begin{cases} x^0 > y^0 \\ x^0 < y^0 \end{cases}$ die Propagation von virtuellen $\begin{cases} \text{Teilchen} \\ \text{Antiteilchen} \end{cases}$ von

$$\left\{ \begin{array}{c} \vec{y} \text{ nach } \vec{x} \\ \vec{x} \text{ nach } \vec{y} \end{array} \right\}.$$

Eine konsistente relativistische Quantenfeldtheorie enthält mit jedem Teilchen auch ein Antiteilchen mit gleicher Masse; dabei können Teilchen und Antiteilchen wie im Fall des reellen KG-Felds oder Photonfelds identisch sein.

Kommutator $[\phi(x), \phi(y)]$

 $(x-y)^2 < 0$: $[\phi(x), \phi(y)] = 0$, denn es gibt ein Bezugssystem mit $x^0 = y^0 : [\phi(x), \phi(y)]|_{x^0 = y^0} = 0$ wegen Lorentzinvarianz ist $[\phi(x), \phi(y)] = 0$ in jedem Bezugssystem mit $(x-y)^2 < 0$. Mit (116) finden wir sofort

$$[\phi(x), \phi(y)] = \int \frac{d^{3}\vec{p}}{(2\pi)^{3}\sqrt{2E_{p}}} \int \frac{d^{3}\vec{q}}{(2\pi)^{3}\sqrt{2E_{q}}} \left[a_{\vec{p}} \exp(-ipx) + a_{\vec{p}}^{\dagger} \exp(ipx), a_{\vec{q}} \exp(-iqy) + a_{\vec{q}}^{\dagger} \exp(iqy) \right] \Big|_{p^{0} = E_{p}, q^{0} = E_{q}}$$

$$\stackrel{(119),(120)}{=} \int \frac{d^{3}\vec{p}}{(2\pi)^{3}} \frac{1}{2E_{p}} \left(\exp\left(-ip(x-y)\right) - \exp\left(ip(x-y)\right) \right) \Big|_{p^{0} = E} \mathbf{1}$$

$$\stackrel{(153a)}{=} \left(D(x-y) - D(y-x) \right) \mathbf{1}$$

$$(157)$$

 \Rightarrow $[\phi(x), \phi(y)]$ ist proportional zum **1**-Operator in \mathcal{F} . An (155b) verifiziert man sofort, dass D(x-y) = D(y-x) für $(x-y)^2 < 0$ also $[\phi(x), \phi(y)] = 0$.

 $(x-y)^2 > 0$: Hier verschwindet (157) hingegen nicht. Mit (155a) finden wir (im Bezugssystem mit $\vec{x} = \vec{y}$):

$$[\phi(x),\phi(y)] \propto m^2(mt)^{-3/2} \left(\exp(-imt) - \exp(imt)\right)$$
 für $t \to \infty$

Für $(x-y)^2 < 0$ und $\vec{x} \neq \vec{y}$ findet man analog

$$\left[\partial_{\mu}\phi(x),\phi(y)\right]=0=\left\{\begin{array}{l} \text{folgt für }\mu=0 \text{ aus } (105)\\ \text{folgt für }\mu=1,2,3 \text{ aus } \partial_{\mu}\left[\phi(x),\phi(y)\right]|_{x^{0}=y^{0}}=0 \end{array}\right.$$

Observablen wie die Viererimpulsdichte T_{ν}^0 in (93), (94) sind bilinear in ϕ , $\partial_{\mu}\phi$. D.h. für $(x-y)^2 < 0$ ist z.B. $[T_{\nu}^0(x), T_{\nu}^0(y)] = 0$

 \Rightarrow Messungen an verschiedenen raumartig getrennten Punkten x,y vertauschen miteinander diese Eigenschaft heißt **Mikrokausalität**.

Postuliert man "falsche" Vertauschungsrelationen für die $a_{\vec{p}}, a_{\vec{p}}^{\dagger}$ (Fermi-Dirac für ganzzahligen Spin, Bose-Einstein für halbzahligen Spin), so ist die Mikrokausalität verletzt.

\Rightarrow Spin-Statistik-Theorem

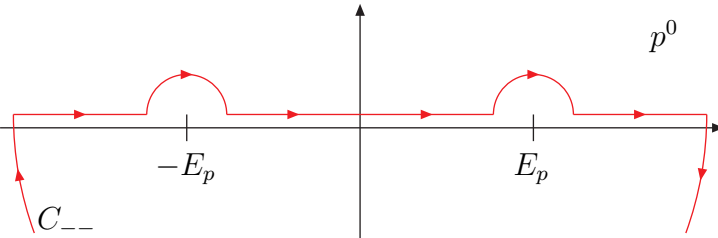
Der Kommutator ist wegen $[\phi(x), \phi(y)] = \mathbf{1} \langle 0 | [\phi(x), \phi(y)] | 0 \rangle$ einfach zu studieren. Für $x^0 > y^0$:

$$\langle 0 | [\phi(x), \phi(y)] | 0 \rangle \stackrel{\text{(157)}}{=} \int \frac{d^3 \vec{p}}{(2\pi)^3} \left[\frac{\exp(-ip(x-y))}{2E_p} \Big|_{p^0 = E_p} + \frac{\exp(-ip(x-y))}{-2E_p} \Big|_{p^0 = -E_p} \right]$$
(158)

(Im 2. Term wurde $\vec{p} \rightarrow -\vec{p}$ substituiert). Nun ist für $x^0 > y^0$:

$$\frac{1}{2\pi i} \int_{C_{--}} dp^0 \frac{-1}{p^2 - m^2} \exp(-ip^0(x^0 - y^0))$$
Pole bei $p^0 = \pm \sqrt{p^2 + m^2} = \pm E_p$

$$= \frac{-1}{2\pi i} \int_{C_{--}} dp^0 \frac{\exp(-ip^0(x^0 - y^0))}{(p^0 - E_p)(p^0 + E_p)} = \underbrace{\frac{\exp(-iE_p(x^0 - y^0))}{2E_p}}_{\text{Residuum bei } p^0 = E_p} + \underbrace{\frac{\exp(iE_p(x^0 - y^0))}{-2E_p}}_{\text{Residuum bei } p^0 = -E_p}$$
(159)



Der Halbkreis trägt nicht bei.

 $(159) \rightarrow (158)$ liefert

$$\langle 0 | [\phi(x), \phi(y)] | 0 \rangle = D_R(x - y) \text{ für } x^0 > y^0$$

$$\text{mit } D_R(x - y) := \int \frac{d^3 \vec{p}}{(2\pi)^3} \int_{C_{--}} \frac{dp^0}{2\pi i} \frac{-1}{p^2 - m^2} \exp(-ip(x - y))$$

$$= \int \frac{d^3 \vec{p}}{(2\pi)^4} \int_{C} dp^0 \frac{i}{p^2 - m^2} \exp(-ip(x - y))$$
(160)

Für $x^0 < y^0$ müssen wir in (160) die Kontur C_{--} in der oberen Halbebene schließen. Es wird dann kein Pol eingeschlossen und

$$D_R(x-y) = 0 \text{ für } x^0 < y^0$$

$$D_R(x-y) = \Theta(x^0 - y^0) \langle 0 | [\phi(x), \phi(y)] | 0 \rangle$$
(161)

$$(\partial_{\mu}\partial^{\mu} + m^{2})D_{R}(x - y) \stackrel{\text{(161)}}{=} \qquad \left(\square\Theta(x^{0} - y^{0})\right) \langle 0 | \left[\phi(x), \phi(y)\right] | 0 \rangle$$

$$+2\underbrace{\left(\partial_{\mu}\Theta(x^{0} - y^{0})\right)}_{\text{nur }\mu=0 \text{ trägt bei}} \langle 0 | \left[\partial^{\mu}\phi(x), \phi(y)\right] | 0 \rangle$$

$$+\Theta(x^{0} - y^{0})(\square + m^{2}) \langle 0 | \left[\phi(x), \phi(y)\right] | 0 \rangle \qquad (162)$$

Der erste Term in (162) ergibt:

$$\Box \Theta(x^{0} - y^{0}) = \partial_{\mu} \partial^{\mu} \Theta(x^{0} - y^{0}) = \partial_{0} \delta(x^{0} - y^{0}) = \delta'(x^{0} - y^{0})$$

also

$$\left(\Box \Theta(x^{0} - y^{0}) \right) \langle 0 | [\phi(x), \phi(y)] | 0 \rangle = \delta'(x^{0} - y^{0}) \langle 0 | [\phi(x), \phi(y)] | 0 \rangle$$

$$= -\delta(x^{0} - y^{0}) \langle 0 | [\partial_{0}\phi(x), \phi(y)] | 0 \rangle$$

$$\operatorname{denn} \delta'(t) f(t) = -\delta(t) f'(t) - \delta(t) f(t) \frac{\partial}{\partial t}$$

Beweis: Sei g(t) beliebige Testfunktion:

$$\int dt \, \delta'(t) \, f(t) \, g(t) \stackrel{P.I.}{=} - \int dt \, \delta(t) \, \left(f'(t) \, g(t) + f(t) \, g'(t) \right)$$

$$= - \int dt \, \left(\delta(t) \, f'(t) + \delta(t) \, f(t) \, \frac{\partial}{\partial t} \right) g(t) \quad \text{qed.}$$

Weiter ist

$$\delta(x^0 - y^0) \langle 0 | [\phi(x), \phi(y)] | 0 \rangle = 0$$

Der dritte Term verschwindet wegen $(\Box + m^2)\phi(x) = 0$

$$(162) \Rightarrow (\Box + m^{2}) D_{R}(x - y) = -\delta(x^{0} - y^{0}) \langle 0 | [\pi(x), \phi(y)] | 0 \rangle + 2\delta(x^{0} - y^{0}) \langle 0 | [\underline{\pi(x), \phi(y)}] | 0 \rangle = -i\delta^{(4)}(x - y)$$

$$(163)$$

 $\Rightarrow iD_R(x-y)$ ist die klassische, retardierte Greenfunktion zum Klein-Gordon-Operator $\Box + m^2$. (D.h. $f(x) = \int D_R(x-y)g(y)d^4y$ ist Lösung der DGl. ($\Box + m^2$) f(x) = g(x).) Zur Probe berechnen wir $D_R(x-y)$ aus (163) mit einem Fourier-Ansatz:

$$D_R(x-y) = \int \frac{d^4 p'}{(2\pi)^4} \exp(-ip'(x-y)) \,\tilde{D}_R(p')$$
 (164)

Einsetzen in (163) und Multiplikation mit $\exp(ip(x-y))$:

$$\int \frac{d^4p'}{(2\pi)^4} (-p'^2 + m^2) \tilde{D}_R(p') \exp\left(i(p-p')(x-y)\right) = -i\delta^{(4)}(x-y) \exp\left(ip(x-y)\right)$$

Integration über x ergibt wegen

$$\int d^4x \, \exp\left(i(p-p')\,x\right) = (2\pi)^4 \delta^{(4)}(p-p')$$

$$(-p^2 + m^2)\tilde{D}_R(p) = -i$$

$$\tilde{D}_R(p) = \frac{i}{p^2 - m^2}$$

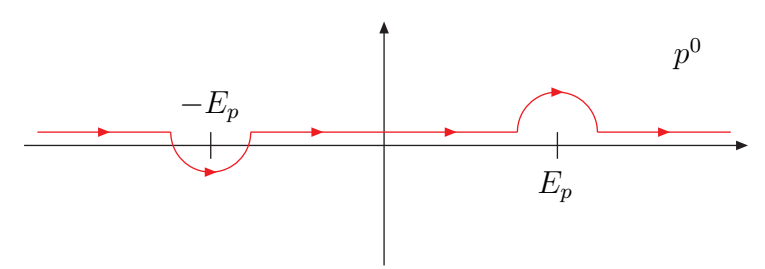
$$\stackrel{\text{(164)}}{\Rightarrow} D_R(x-y) = \int_C \frac{d^4p}{(2\pi)^4} \frac{i}{p^2 - m^2} \exp\left(-ip(x-y)\right)$$
(165)

Zunächst beliebige Kontur, die den Polen bei $p^2=m^2$ ausweicht.

$$D_R(x-y) = 0$$
 für $x^0 < y^0 \Rightarrow C \simeq C_{--}$

Nachteil: $D_R(x-y)$ ist proportional zu $\Theta(x^0-y^0)$, also nicht analytisch in x^0-y^0 . Besser: **Feynman-Propagator**

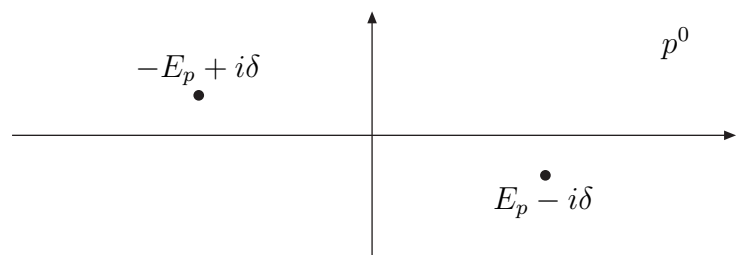
$$D_F(x-y) = \int_{C_{+-}} \frac{d^4p}{(2\pi)^4} \frac{i}{p^2 - m^2} \exp(-ip(x-y))$$



Man schreibt

$$D_F(x-y) = \int \frac{d^4p}{(2\pi)^4} \frac{i}{p^2 - m^2 + i\delta} \exp\left(-ip(x-y)\right)$$
 (166)

und versteht den Limes $\delta \to 0$. In (166) liegen die Pole $p_0 = \pm \sqrt{p^2 + m^2 - i\delta} \simeq \pm (E_p - i\delta)$



und für $\delta \to 0$ ist:

$$\int d^4p \, \frac{i}{p^2 - m^2 + i\delta} = \int_{C_{+-}} d^4p \, \frac{i}{p^2 - m^2}$$

 $D_F(x-y)$ in (166) heißt Feynman-Propagator. Für $\begin{cases} x^0 < y^0 \\ x^0 > y^0 \end{cases}$ können wir die Kontur in (166) in der $\begin{cases} \text{oberen} \\ \text{unteren} \end{cases}$ Halbebene schließen und finden mit $D(x-y) = \langle 0 | \phi(x), \phi(y) | 0 \rangle$ aus (153a):

$$D_F(x-y) = \Theta(x^0 - y^0)D(x-y) + \Theta(y^0 - x^0)D(y-x) = \langle 0 | \mathbf{T} \phi(x)\phi(y) | 0 \rangle$$
 (167)

Mit dem zeitgeordnetem Produkt

$$\mathbf{T}\,\phi(x)\phi(y) = \mathbf{T}\,\phi(y)\phi(x) = \Theta(x^0 - y^0)\phi(x)\phi(y) + \Theta(y^0 - x^0)\phi(y)\phi(x) \tag{168}$$

D.h. das Feld zur kleinsten Zeit steht ganz rechts. Für mehrere Felder hat man:

$$\mathbf{T}\,\phi(x_1)\cdots\phi(x_n) = \Theta(x_1^0 - x_2^0)\Theta(x_2^0 - x_3^0)\cdots\Theta(x_{n-1}^0 - x_n^0)\,\phi(x_1)\cdots\phi(x_n)$$
+Terme mit allen Permutationen von $(1,\ldots n)$

4.2 Komplexes Klein-Gordon-Feld

$$\mathcal{L} = \partial_{\mu}^{*}\phi \partial^{\mu}\phi - m |\phi|^{2}$$

$$\Rightarrow \qquad \phi(x) = \int \frac{d^{3}\vec{p}}{(2\pi)^{3}} \frac{1}{\sqrt{2E_{p}}} \underbrace{\exp(-ipx) + \underbrace{b_{\vec{p}}^{\dagger} \exp(ipx)}_{\text{erzeugt Antiteilchen}}}_{(170)}$$

$$[a_{\vec{p}}^{(\dagger)}, b_{\vec{p}'}^{(\dagger)}] = 0$$

$$[a_{\vec{p}}, a_{\vec{p}'}^{\dagger}] = [b_{\vec{p}}, b_{\vec{p}'}^{\dagger}] = (2\pi)^3 \delta^{(3)}(\vec{p} - \vec{p}')$$

U(1)-Symmetrie $\phi \to \phi \exp(i\alpha) \mathcal{L} \to \mathcal{L}$ erhaltene Ladung (siehe (103))

$$Q = \int d^3\vec{x} \, i \, (\phi^* \dot{\phi} - \dot{\phi}^* \phi) = \int d^3\vec{x} \, i \, (\phi^* \overleftarrow{\partial_0} \phi) = i \int \frac{d^3\vec{p}}{(2\pi)^3} \, (a_{\vec{p}}^{\dagger} a_{\vec{p}} - b_{\vec{p}}^{\dagger} b_{\vec{p}})$$

$$D_F(x - y) = \langle 0 \, | \, \mathbf{T} \, \phi^{\dagger}(x) \phi(y) \, | \, 0 \, \rangle$$

4.3 Dirac-Feld

Mit

$$\sigma^{\mu\nu} = \frac{i}{2} [\gamma^{\mu}, \gamma^{\nu}] \tag{171}$$

ist $\exp(i\omega_{\mu\nu}\frac{\sigma^{\mu\nu}}{2})$ eine Darstellung der Lorentzgruppe. Wir hatten in (44) einen Spinor definiert

$$\psi = \begin{pmatrix} \xi_a \\ \eta^{\dot{\beta}} \end{pmatrix}$$
 in Weyl-Basis

Transformation unter Lorentztransformation Λ :

$$\psi \to \psi' = \begin{pmatrix} D^{(0,1/2)} & 0\\ 0 & D^{(1/2,0)} \end{pmatrix} \begin{pmatrix} \xi\\ \eta \end{pmatrix} \tag{172}$$

mit

$$D^{(1/2,0)}(\Lambda) = \exp\left((i\vec{\varphi} - \vec{u})\frac{\vec{\sigma}}{2}\right)$$
 (173a)

$$D^{(0,1/2)}(\Lambda) = \exp\left((i\vec{\varphi} + \vec{u})\frac{\vec{\sigma}}{2}\right)$$
 (173b)

Drehungen:

$$\omega_{0\nu} = 0, \omega_{jk} = \frac{1}{2} \varepsilon_{jkl} \varphi^{l}$$

$$\operatorname{denn} \omega_{jk} M^{jk} = \frac{1}{2} \varepsilon_{jkl} \varphi^{l} M^{jk} = \varphi^{l} J_{l}$$
(174)

$$\omega_{jk} \frac{\sigma^{jk}}{2} \stackrel{(174)}{=} \frac{1}{4} \varepsilon_{jkl} \varphi^l \sigma^{jk} = \frac{1}{4} \varepsilon_{jkl} \varphi^l \frac{i}{2} \begin{bmatrix} \begin{pmatrix} 0 & \sigma^j \\ \bar{\sigma}^j & 0 \end{pmatrix}, \begin{pmatrix} 0 & \sigma^k \\ \bar{\sigma}^k & 0 \end{pmatrix} \end{bmatrix}$$

$$= \frac{i}{8} \varepsilon_{jkl} \varphi^l \begin{pmatrix} \sigma^j \bar{\sigma}^k - \bar{\sigma}^k \sigma^j & 0 \\ 0 & \bar{\sigma}^j \sigma^k - \sigma^k \bar{\sigma}^j \end{pmatrix} \bar{\sigma}^k \stackrel{-}{=} \sigma^k}{=} \frac{1}{4} \varepsilon_{jkl} \varphi^l \begin{pmatrix} \varepsilon_{jkn} \sigma^n & 0 \\ 0 & \varepsilon_{jkn} \sigma^n \end{pmatrix}$$

$$\text{denn } [\sigma^j, \sigma^k] = 2i \varepsilon_{jkn} \sigma^n$$

$$\varepsilon_{jkl} \varepsilon_{jkn} \stackrel{-}{=} 2\delta_{nl} \qquad \varphi^n \begin{pmatrix} \frac{\sigma^n}{2} & 0 \\ 0 & \frac{\sigma^n}{2} \end{pmatrix} = \begin{pmatrix} \bar{\varphi}^{\vec{\sigma}}_{2} & 0 \\ 0 & \bar{\varphi}^{\vec{\sigma}}_{2} \end{pmatrix}$$

$$\Rightarrow \exp \left(i \omega_{jk} \frac{\sigma^{jk}}{2}\right) = \begin{pmatrix} D^{(0,1/2)} & 0 \\ 0 & D^{(1/2,0)} \end{pmatrix} \text{ für Drehungen}$$

Boosts:

$$\omega_{jk} = 0, \quad \omega_{k0} = -\omega_{0k} = \frac{u_k}{2}$$

$$\omega_{\mu\nu}\sigma^{\mu\nu} = \omega_{0k}\sigma^{0k} + \omega_{k0}\sigma^{k0} = 2\omega_{0k}\sigma^{0k} = i\omega_{0k}[\gamma^0, \gamma^k]$$

$$\omega_{\mu\nu}\frac{\sigma^{\mu\nu}}{2} = \frac{i}{2}\omega_{0k}\begin{pmatrix} \bar{\sigma}^k - \sigma^k & 0\\ 0 & \sigma^k - \bar{\sigma}^k \end{pmatrix} = i\omega_{0k}\begin{pmatrix} -\sigma^k & 0\\ 0 & \sigma^k \end{pmatrix}$$

$$\Rightarrow i\omega_{\mu\nu}\frac{\sigma^{\mu\nu}}{2} = u_k\begin{pmatrix} -\frac{\sigma^k}{2} & 0\\ 0 & \frac{\sigma^k}{2} \end{pmatrix}$$

$$(175)$$

$$\Rightarrow \exp\left(i\omega_{jk}\frac{\sigma^{jk}}{2}\right) = \begin{pmatrix} D^{(0,1/2)} & 0\\ 0 & D^{(1/2,0)} \end{pmatrix} \text{ für Boosts}$$

Damit haben wir $\sigma^{\mu\nu}$ in (171) als Generatoren der Lorentztransformationen auf Dirac-Spinoren identifiziert. Lösungen der freien Dirac-Gleichung: Spinorfeld $\psi(x)$:

$$\psi(x) = \int \frac{d^3\vec{p}}{(2\pi)^3} \frac{1}{\sqrt{2E_p}} \sum_{s=1,2} \left(a_{\vec{p}}^s u^s(\vec{p}) \exp(-ipx) + b_{\vec{p}}^{\dagger s} v^s(\vec{p}) \exp(ipx) \right) \Big|_{p^0 = E_p}$$
(176)

 u^s,v^s sind ${\bf Spinoren},$ also Größen, die sich unter Lorentztransformationen wie

$$u^{s}(\vec{p}) \to u'^{s}(\vec{p}') = \exp\left(i\omega_{\mu\nu}\frac{\sigma^{\mu\nu}}{2}\right)u^{s}(\vec{p})$$
 (177)

transformieren (entsprechend für $v^s(\vec{p})$). $a^r_{\vec{v}}, b^s_{\vec{v}}$ sind Operatoren mit

$$\left\{a_{\vec{p}}^{r}, a_{\vec{p}'}^{\dagger s}\right\} = \left\{b_{\vec{p}}^{r}, b_{\vec{p}'}^{\dagger s}\right\} = (2\pi)^{3} \delta^{(3)}(\vec{p} - \vec{p}') \delta^{rs} \tag{178}$$

Alle anderen Antikommutatoren verschwinden.

 $a_{\vec{p}}^{\dagger s}$ erzeugt Fermion mit Impuls \vec{p} und $S_3=3/2-1$ (S_3 im Ruhesystem definiert). $b_{\vec{p}}^{\dagger s}$ entsprechend für Antifermionen.

Spinoren:

$$(\not p - m) u^s(\vec p) = 0 (179a)$$

$$(\not p + m) v^s(\vec{p}) = 0 (179b)$$

Lösung von (179) in Weyl-Basis. In der Dirac-Basis findet man:

$$u^{1}(0) = \begin{pmatrix} 1 \\ 0 \\ 0 \\ 0 \end{pmatrix} \sqrt{m}, \qquad u^{2}(0) = \begin{pmatrix} 0 \\ 1 \\ 0 \\ 0 \end{pmatrix} \sqrt{m}, \qquad v^{1}(0) = \begin{pmatrix} 0 \\ 0 \\ 1 \\ 0 \end{pmatrix} \sqrt{m}, \qquad v^{2}(0) = \begin{pmatrix} 0 \\ 0 \\ 0 \\ 1 \end{pmatrix} \sqrt{m}$$

Beliebiges System $(k^0 = E_k = \sqrt{\vec{k}^2 + m^2})$

$$u^{(\alpha)}(\vec{k}) = \frac{\not k + m}{\sqrt{2(E_k + m)}} u^{(\alpha)}(0) = \begin{pmatrix} \sqrt{\frac{E + m}{2}} \xi^{(\alpha)} \\ \frac{\vec{\sigma}\vec{k}}{\sqrt{2(E + m)}} \xi^{(\alpha)} \end{pmatrix}$$
(180)

$$\operatorname{mit} \, \xi^{(1)} = \begin{pmatrix} 1 \\ 0 \end{pmatrix}, \quad \xi^{(2)} = \begin{pmatrix} 0 \\ 1 \end{pmatrix}$$

$$v^{(\alpha)}(\vec{k}) = \frac{-\vec{k} + m}{\sqrt{2(E_k + m)}} v^{(\alpha)}(0) = \begin{pmatrix} \frac{\vec{\sigma}\vec{k}}{\sqrt{2(E+m)}} \xi^{(\alpha)} \\ \sqrt{\frac{E+m}{2}} \xi^{(\alpha)} \end{pmatrix}$$
(181)

Die Antivertauschungsrelationen in (178) implizieren:

$$\left\{ \psi_{\alpha}(x), \psi_{\beta}^{\dagger}(y) \right\} \Big|_{x^{0} = y^{0}} = \delta^{(3)}(\vec{x} - \vec{y}) \delta_{\alpha\beta}$$

$$(182a)$$

$$\{\psi_{\alpha}(x), \psi_{\beta}(y)\}|_{x^{0}=y^{0}} = \{\psi_{\alpha}^{\dagger}(x), \psi_{\beta}^{\dagger}(y)\}|_{x^{0}=y^{0}} = 0$$
 (182b)

Noether-Ladungen

Energie:
$$H = \int \frac{d^3 \vec{p}}{(2\pi)^3} \sum_s E_p \left(a_{\vec{p}}^{\dagger s} a_{\vec{p}}^s + b_{\vec{p}}^{\dagger s} b_{\vec{p}}^s \right)$$
 (183a)

Dreier-Impuls:
$$\vec{P} = \int \frac{d^3\vec{p}}{(2\pi)^3} \sum_s \vec{p} \left(a_{\vec{p}}^{\dagger s} a_{\vec{p}}^s + b_{\vec{p}}^{\dagger s} b_{\vec{p}}^s \right)$$
 (183b)

U(1)-Ladung:
$$Q = \int \frac{d^3\vec{p}}{(2\pi)^3} \sum_{s} (a^{\dagger s}_{\vec{p}} a^s_{\vec{p}} - b^{\dagger s}_{\vec{p}} b^s_{\vec{p}})$$
 (183c)

Mit

$$(p\sigma)(p\bar{\sigma}) = p_{\mu}p_{\nu}\sigma^{\mu}\bar{\sigma}^{\nu} = \frac{1}{2}p_{\mu}p_{\nu}\underbrace{\{\sigma^{\mu}, \bar{\sigma}^{\nu}\}}_{=2g^{\mu\nu}} = p_{\mu}p^{\mu} = p^{2} = m^{2}$$
(184)

und (in der Weyl-Basis)

$$u^{s}(\vec{p}) = \begin{pmatrix} \sqrt{p\sigma}\xi^{(\alpha)} \\ \sqrt{p\bar{\sigma}}\xi^{(\alpha)} \end{pmatrix}$$

findet man die **Spin-Summe**:

$$\sum_{s=1,2} u^{s}(\vec{p}) \, \bar{u}^{s}(\vec{p}) = \sum_{s=1,2} \begin{pmatrix} \sqrt{p\sigma}\xi^{(s)} \\ \sqrt{p\bar{\sigma}}\xi^{(s)} \end{pmatrix} \begin{pmatrix} \xi^{\dagger(s)}\sqrt{p\bar{\sigma}} & \xi^{\dagger(s)}\sqrt{p\bar{\sigma}} \end{pmatrix}$$

$$\stackrel{(184)}{=} \begin{pmatrix} m & p\sigma \\ p\bar{\sigma} & m \end{pmatrix} \, \text{denn} \, \sum_{s=1,2} \xi^{(s)}\xi^{\dagger(s)} = \begin{pmatrix} 1 & 0 \\ 0 & 1 \end{pmatrix}$$

$$= p_{\mu}\gamma^{\mu} + m \, \mathbf{1} = p + m \qquad (185)$$

Ebenso:

$$\sum_{s=1,2} v^s(\vec{p}) \, \bar{v}^s(\vec{p}) = \not\!\! p - m \tag{186}$$

Dirac-Propagator

$$\langle 0 | \psi_{\alpha}(x) \bar{\psi}_{\beta}(y) | 0 \rangle = \int \frac{d^{3}\vec{p}}{(2\pi)^{3}} \frac{1}{2E_{p}} \sum_{s} u_{\alpha}^{s}(\vec{p}) \bar{u}_{\beta}^{s}(\vec{p}) \exp(-ip(x-y))$$

$$[\vec{p}+m]_{\alpha\beta} \int \frac{d^{3}\vec{p}}{(2\pi)^{3}} \frac{1}{2E_{p}} \exp(-ip(x-y))$$

$$\stackrel{(153a)}{=} [i\partial + m]_{\alpha\beta} \underbrace{D(x-y)}_{\text{KG-Propagator}}$$

$$\langle 0 | \bar{\psi}_{\beta}(y)\psi_{\alpha}(x) | 0 \rangle = \int \frac{d^{3}\vec{p}}{(2\pi)^{3}} \frac{1}{2E_{p}} \sum_{s} v_{\alpha}^{s}(\vec{p}) \bar{v}_{\beta}^{s}(\vec{p}) \exp(-ip(y-x))$$

$$= -[i\partial + m]_{\alpha\beta} D(y-x)$$

$$(188)$$

Aus der Summe von (187) und (188) finden wir

$$\langle 0 | \{ \psi_{\alpha}(x), \bar{\psi}_{\beta}(y) \} | 0 \rangle = [i\partial + m]_{\alpha\beta} (D(x-y) - D(y-x))$$
 (189)
Mit $D_R(x-y) = \Theta(x^0 - y^0) (D(x-y) - D(y-x))$ erfüllt

$$S_R^{\alpha\beta}(x-y) = \Theta(x^0 - y^0) \langle 0 | \{\psi_\alpha(x), \bar{\psi}_\beta(y)\} | 0 \rangle$$
 (190)

wegen (189):
$$S_R(x-y) = (i\partial + m) D_R(x-y)$$
 (191)

Mit

$$(i\partial - m) S_R(x - y) = ((i\partial)^2 - m^2) D_R(x - y)$$
$$= -(\Box + m^2) D_R(x - y) = i\delta^{(4)}(x - y)$$

 $\Rightarrow -iS_R(x-y)$ ist retardierte **Green-Funktion**

Feynman-Propagator:

$$S_F(x-y) := \langle 0 | \mathbf{T} \psi(x) \overline{\psi}(y) | 0 \rangle$$

$$= \int \frac{d^4p}{(2\pi)^4} \frac{i(p+m)}{p^2 - m^2 + i\delta} \exp(-ip(x-y))$$
(192)

Für Fermion-Felder ist:

$$\mathbf{T} \, \psi_{\alpha}(x) \bar{\psi}_{\beta}(y) = \Theta(x^{0} - y^{0}) \psi_{\alpha}(x) \bar{\psi}_{\beta}(y) - \Theta(y^{0} - x^{0}) \bar{\psi}_{\beta}(y) \psi_{\alpha}(x)$$

$$\mathbf{T} \, \psi(x_{1}) \cdots \psi(x_{n}) = \sum_{\pi \in S_{n}} \operatorname{sgn} \pi \, \Theta(x_{\pi(1)} - x_{\pi(2)}) \cdots \Theta(x_{\pi(n-1)} - x_{\pi(n)}) \psi(x_{1}) \cdots \psi(x_{n})$$

Achtung:

$$\mathbf{T}\,\psi_{\alpha}(x)\bar{\psi}_{\beta}(y) = -\mathbf{T}\,\bar{\psi}_{\beta}(y)\psi_{\alpha}(x)$$

5 Wechselwirkende Felder

5.1 Operatorformalismus für KG-Felder

$$\mathcal{L} = \mathcal{L}_0 + \mathcal{L}_{int}, \quad \text{mit } \mathcal{L}_0 = \mathcal{L}_0[\phi] = \frac{1}{2} (\partial_\mu \phi)^2 - \frac{m^2}{2} \phi^2$$
 (193)

Lagrangedichte des freien, reellen Klein-Gordon-Feldes

$$\mathcal{L}_{int}[\phi] = -\mathcal{H}_{int}[\phi] = -\frac{\lambda}{4!}\phi^4, \qquad \lambda \in \mathbb{R}$$
(194)

Wechselwirkung(sterm)

Euler-Lagrange-Gleichung

$$\left[\Box + m^2\right]\phi = -\frac{\lambda}{3!}\phi^3\tag{195}$$

nicht mehr linear in ϕ , die verschiedenen Fourier-Komponenten $a_k \exp(-ikx)$ sind miteinander gekoppelt.

 $\Rightarrow \mathcal{L}_{int}$ beschreibt Selbstwechselwirkung

Beispiel: Higgs-Feld Hamilton-Operator:

$$H = H_0 + H_{int}$$

$$H_0[\phi] = \int d^3 \vec{x} \, \mathcal{H}_0[\phi(x)]$$

Hamilton-Operator der freien Theorie

$$H_{int}[\phi] = \int d^3 \vec{x} \, \frac{\lambda}{4!} \phi^4 \tag{196}$$

Die Zeitentwicklung kennen wir aus Gleichung (137b) (bzw. in differentieller Form aus Gleichung (122)).

• Operator im Heisenbergbild:

$$\phi(t, \vec{x}) = \exp(iH(t - t_0))\phi(t_0, \vec{x}) \exp(-iH(t - t_0))$$
(197)

• Operator im Wechselwirkungsbild (= Dirac-Bild):

$$\phi_I(t, \vec{x}) = \exp(iH_0(t - t_0))\phi(t_0, \vec{x}) \exp(-iH_0(t - t_0))$$
(198)

 ϕ_I ist auch Funktion von t_0 (also nicht nur Funktion von $t-t_0$ oder t)

$$\phi_I(t, \vec{x}) = \phi_I(t, \vec{x}, t_0)$$
 $\phi_I(t_0, \vec{x}, t_0) = \phi(t_0, \vec{x})$

Vorteil: ϕ_I hat die Zeitentwicklung des freien Klein-Gordon-Feldes (siehe (116))

$$\phi_I(t, \vec{x}) = \int \frac{d^3 \vec{p}}{(2\pi)^3} \frac{1}{\sqrt{2E_p}} \left(a_p \exp(-ipx) + a_p^{\dagger} \exp(ipx) \right) \Big|_{x^0 = t - t_0, \ p^0 = E_p}$$
(199)

$$(197) \wedge (198) \Rightarrow \phi(t, \vec{x}) = U^{\dagger}(t, t_0) \phi_I(t, \vec{x}) U(t, t_0)$$
(200a)

mit dem Zeitentwicklungsoperator.

$$U(t, t_0) = \exp(iH_0(t - t_0)) \exp(-iH(t - t_0))$$
(200b)

$$i\frac{\partial}{\partial t}U(t,t_0) = \exp(iH_0(t-t_0))\underbrace{(H-H_0)}_{H_{int}}\exp(-iH(t-t_0))$$

$$= \exp(iH_0(t-t_0))\underbrace{H_{int}}_{H_{int}}\exp(-iH(t-t_0))$$

$$= H_I(t)U(t,t_0)$$
(201)

mit
$$H_I(t) = \exp(iH_0(t - t_0))H_{int} \exp(-iH_0(t - t_0))$$

= $\int d^3\vec{x} \frac{\lambda}{4!} \phi_I^4$ (202)

Wichtig: $[H_I(t_1), H_I(t_2)] \neq 0$

Die Lösung von (201) ist die **Dyson-Reihe**:

$$U(t,t_0) = \mathbf{1} - i \int_{t_0}^t dt_1 H_I(t_1) + i^2 \int_{t_0}^t dt_1 \int_{t_0}^{t_1} dt_2 H_I(t_1) H_I(t_2) + \dots$$

$$\dots + (-i)^n \int_{t_0}^t dt_1 \dots \int_{t_0}^{t_{n-1}} dt_n H_I(t_1) \dots H_I(t_n) + \dots$$
(203)

Nun ist

$$\int_{t_0}^{t} dt_1 \int_{t_0}^{t_1} dt_2 H_I(t_1) H_I(t_2) = \int_{t_0}^{t} dt_1 \int_{t_0}^{t_1} dt_2 \mathbf{T} H_I(t_1) H_I(t_2)$$

$$= \frac{1}{2} \left[\int_{t_0}^{t} dt_1 \int_{t_0}^{t_1} dt_2 + \int_{t_0}^{t} dt_2 \int_{t_0}^{t_2} dt_1 \right] \mathbf{T} H_I(t_1) H_I(t_2)$$

$$t \xrightarrow{t_0} t_2$$

 $(t \ge t_1 \ge t_2 \ge t_0)$ Im zweiten Integral benennen wir die Integrationsvariablen um: $t_1 \leftrightarrow t_2$ und nutzen $\mathbf{T}H_I(t_1)H_I(t_2) = \mathbf{T}H_I(t_2)H_I(t_1)$ aus:

$$\int_{t_0}^t dt_1 \int_{t_0}^{t_1} dt_2 H_I(t_1) H_I(t_2) = \frac{1}{2} \int_{t_0}^t dt_1 \int_{t_0}^t dt_2 \mathbf{T} H_I(t_1) H_I(t_2)$$

Durch vollständige Induktion:

$$\int_{t_0}^t dt_1 \cdots \int_{t_0}^{t_{n-1}} dt_n \, H_I(t_1) \cdots H_I(t_n) = \frac{1}{n!} \int_{t_0}^t dt_1 \cdots \int_{t_0}^t dt_n \, \mathbf{T} H_I(t_1) \cdots H_I(t_n)$$

und (203) wird zu

$$U(t, t_0) = 1 + \sum_{n=1}^{\infty} \frac{(-i)^n}{n!} \int_{t_0}^t dt_1 \cdots \int_{t_0}^t dt_n \, \mathbf{T} H_I(t_1) \cdots H_I(t_n)$$

$$= \mathbf{T} \exp \left[-i \int_{t_0}^t dt' \, H_I(t') \right] \qquad \text{"Zeitgeordnete Exponential funktion"} \quad (204)$$

Eigenschaften:

• Für
$$t = t_0$$
:
$$U(t_0, t_0) = 1 \tag{205}$$

• Unitarität:

$$i\frac{\partial}{\partial t}U^{\dagger}(t,t_0)U(t,t_0) \stackrel{(201)}{=} -U^{\dagger}(t,t_0)H_I(t)U(t,t_0) + U^{\dagger}(t,t_0)H_I(t)U(t,t_0) = 0$$

$$\Rightarrow U^{\dagger}(t,t_0)U(t,t_0) = const \stackrel{(205)}{=} 1 \Rightarrow U(t,t_0) \text{ unit \"ar}$$
(206)

$$U(t_{1}, t_{2}) := U(t_{1}, t_{0})U^{\dagger}(t_{2}, t_{0})$$

$$\stackrel{(200b)}{=} \exp(iH_{0}(t_{1} - t_{0})) \exp(-iH(t_{1} - t_{0}))$$

$$\exp(iH(t_{2} - t_{0})) \exp(-iH_{0}(t_{2} - t_{0}))$$

$$= \exp(iH_{0}(t_{1} - t_{0})) \exp(iH(t_{2} - t_{1})) \exp(-iH_{0}(t_{2} - t_{0})) \qquad (207)$$

erfüllt

$$U(t_1, t_2)U(t_2, t_3) = U(t_1, t_3)$$
(208)

und

$$U^{\dagger}(t_1, t_2) = U(t_2, t_1) \tag{209}$$

Durch Multiplikation (201) $\cdot U^{\dagger}(t_2, t_0)$ findet man mit (207) die DGl.:

$$i\frac{\partial}{\partial t}U(t,t_2) = H_I(t)U(t,t_2)$$

$$\Rightarrow U(t,t_2) = \mathbf{T} \exp \left[-i\int_{t_2}^t dt' H_I(t')\right]$$

$$\det U(t_2,t_2) \stackrel{(207)(206)}{=} 1$$
(210)

 \Rightarrow Auf den Referenzpunkt t_0 (bei dem $\phi(t_0, \vec{x}) = \phi_I(t_0, \vec{x})$ gewählt war) kommt es nicht an. Wähle nun $t_0 = 0$:

Vakuum-Zustand der WW. Theorie $|0\rangle_I\neq |0\rangle$ Vakuum-Zustand der freien Theorie Grundzustandsenergie $E_0={}_I\,\langle 0|\,H\,|0\rangle_I$

$$\exp(-iHt)|0\rangle = \sum_{n} \exp(-iE_{n}t)|n\rangle_{I|I}\langle n|0\rangle$$

$$E_{n} \text{ Eigenwerte von } H$$

Limes $t \to \infty (1 - i\delta)$

$$\exp(-iHt) |0\rangle \xrightarrow{t \to \infty(1-i\delta)} \exp(-iE_0t) |_I \langle 0|0\rangle |0\rangle_I$$

$$\Rightarrow |0\rangle_I \xrightarrow{t \to \infty(1-i\delta)} \frac{\exp(-iHt) \exp(iE_0t)}{|I| \langle 0|0\rangle} |0\rangle$$

$$|0\rangle_I \xrightarrow{H_0|0\rangle = 0} \frac{\exp(iE_0t) \exp(-iHt) \exp(iH_0t)}{|I| \langle 0|0\rangle} |0\rangle \qquad (211a)$$

$$\xrightarrow[\text{mit } t_0 = t_1 = 0, t_2 = -t]{} \frac{\exp(iE_0t)U(0, -t)}{|I| \langle 0|0\rangle} |0\rangle \qquad (211b)$$
analog: $_I \langle 0| \xrightarrow{t \to -\infty(1-i\delta)} \langle 0| \frac{\exp(iHt) \exp(-iE_0t)}{\langle 0|0\rangle_I} = \langle 0| \frac{U(-t, 0) \exp(-iE_0t)}{\langle 0|0\rangle_I} \qquad (211c)$

$$\operatorname{mit} t \to -t: {}_{I} \langle 0 | \stackrel{t \to \infty(1-i\delta)}{\longrightarrow} \langle 0 | \frac{U(t,0) \exp(iE_{0}t)}{\langle 0 | 0 \rangle_{I}}$$

$$(212)$$

$$(211) \wedge (212) \Rightarrow 1 \stackrel{!}{=}_{I} \langle 0|0 \rangle_{I} \xrightarrow{t \to \infty(1-i\delta)} \frac{\langle 0| \underbrace{U(t,0)U(0,-t)}_{U(t,0)U(0,-t)} |0 \rangle}{|\langle 0|0 \rangle_{I}|^{2}} \exp(2iE_{0}t)$$

$$\Rightarrow |\langle 0|0 \rangle_{I}|^{2} = \lim_{t \to \infty(1-i\delta)} \exp(2iE_{0}t) \langle 0| U(t,-t) |0 \rangle \qquad (213)$$

Mit (200) und (207) findet man für $x_0 > y_0$:

$$\phi(x) \phi(y) = U^{\dagger}(x_0, 0)\phi_I(x)U(x_0, y_0)\phi_I(y)U(y_0, 0)$$
(214)

so dass wir die Zweipunkt-Greenfunktion

$$I \langle 0 | \phi(x)\phi(y) | 0 \rangle_{I} \stackrel{(211)(212)(214)}{=} \lim_{t \to \infty(1-i\delta)} \frac{\langle 0 | \overline{U(t,x_{0})} \phi_{I}(x) \overline{U(x_{0},y_{0})} \phi_{I}(y) \overline{U(y_{0},-t)} | 0 \rangle}{|\langle 0 | 0 \rangle_{I}|^{2} \exp(-2iE_{0}t)}$$

$$= \lim_{t \to \infty(1-i\delta)} \frac{\langle 0 | \mathbf{T} \left[\phi_{I}(x) \phi_{I}(y) \exp\left(-i\int_{-t}^{t} dt' H_{I}(t')\right) \right] | 0 \rangle}{|\langle 0 | 0 \rangle_{I}|^{2} \exp(-2iE_{0}t)}$$

Verallgemeinerung für $x^0 > y^0$ oder $x^0 < y^0$

$$I \langle 0 | \mathbf{T} \left[\phi(x) \phi(y) \right] | 0 \rangle_{I} \stackrel{(213)}{=} \lim_{t \to \infty(1-i\delta)} \frac{\langle 0 | \mathbf{T} \left[\phi_{I}(x) \phi_{I}(y) \exp \left(-i \int_{-t}^{t} dt' H_{I}(t') \right) \right] | 0 \rangle}{\langle 0 | \mathbf{T} \exp \left(-i \int_{-t}^{t} dt' H_{I}(t') \right) | 0 \rangle}$$
(215)

Hierbei ist definiert:

$$\mathbf{T} \left[\phi_{I}(x) \, \phi_{I}(y) \, \exp\left(-i \int_{-t}^{t} dt' H_{I}(t')\right) \right]$$

$$:= \sum_{n=0}^{\infty} \frac{1}{n!} \int_{-t}^{t} dt_{1} \cdots \int_{-t}^{t} dt_{n} \, \mathbf{T} \left[\phi_{I}(x) \, \phi_{I}(y) \, H_{I}(t_{1}) \dots H_{I}(t_{n})\right]$$
(216)

(215) verallgemeinert sich einfach zu

$$G_{n}(x_{1} \dots x_{n}) := \int_{I} \langle 0 | \mathbf{T} \left[\phi(x_{1}) \cdots \phi(x_{n}) \right] | 0 \rangle_{I}$$

$$= \lim_{t \to \infty(1-i\delta)} \frac{\langle 0 | \mathbf{T} \left[\phi_{I}(x_{1}) \cdots \phi_{I}(x_{n}) \exp \left(-i \int_{-t}^{t} dt' H_{I}(t') \right) \right] | 0 \rangle}{\langle 0 | \mathbf{T} \exp \left(-i \int_{-t}^{t} dt' H_{I}(t') \right) | 0 \rangle}$$
(217)

5.1.1 Källén-Lehmann-Spektraldarstellung

Eigenzustände von H und \vec{P} :

$$H |\lambda_{\vec{p}}\rangle = E_p |\lambda_{\vec{p}}\rangle, \quad E_p = E_p(\lambda_{\vec{p}})$$
 (218a)

$$\vec{P} |\lambda_{\vec{p}}\rangle = \vec{p} |\lambda_{\vec{p}}\rangle$$
 (218b)

Erinnerung: Darstellungstheorie der Poincaré-Gruppe. Eigenzustände können mit den Eigenwerten $m_{\lambda}^2 > 0$ des Operators $P^2 = P_{\mu}P^{\mu} = H^2 - \vec{p}^2$ identifiziert werden.

$$P^2 |\lambda_{\vec{p}}\rangle = m_{\lambda}^2 |\lambda_{\vec{p}}\rangle \tag{218c}$$

(Außerdem mit weiterer Quantenzahl aus $W^2=-m_\lambda^2\,s\,(s+1),$ wobei s=0 für skalare Theorien.)

Aus (218) folgt mit $P^2 = H^2 - \vec{P}^2$:

$$E_p = \sqrt{\vec{p}^2 + m_\lambda^2}$$

 m_{λ} heißt "Masse des Zustands λ_p ". In einer wechselwirkenden Theorie ist m_{λ} z.B. die Summe der Ruhemassen eines Vielteilchenzustands plus deren Bindungsenergie. Mit der Normierung (analog zu (131)):

$$\langle \lambda_p \, | \, \lambda_q \rangle = 2E_p(2\pi)^3 \, \delta^{(3)}(\vec{q} - \vec{p}) \tag{219a}$$

ist die Vollständigkeitsrelation

$$\mathbf{1} = \underbrace{|0\rangle_{I} |0\rangle_{I}}_{\text{Vakuum mit } m=0, E_{p}=0} + \sum_{\lambda} \int \frac{d^{3}\vec{p}}{(2\pi)^{3}} \frac{1}{2E_{p}(\lambda)} |\lambda_{p}\rangle \langle \lambda_{p}|$$
(219b)

Also (für $x_0 > y_0$):

$$_{I}\langle 0|\phi(x)\phi(y)|0\rangle_{I} = \sum_{\lambda} \int \frac{d^{3}\vec{p}}{(2\pi)^{3}} \frac{1}{2E_{p}(\lambda)} _{I}\langle 0|\phi(x)|\lambda_{p}\rangle \langle \lambda_{p}|\phi(y)|0\rangle_{I}$$
 (220)

wobei $_{I}\langle 0|\phi(x)|0\rangle_{I}=0$ gewählt ist, was sich durch kalibrieren gemäß

$$\phi(x) \to \phi(x) - {}_{I} \langle 0 | \phi(x) | 0 \rangle_{I}$$

erreichen lässt. In (220):

$$I \langle 0 | \phi(x) | \lambda_{p} \rangle = \underbrace{I \langle 0 | \exp(iP x) \phi(0) \exp(-iP x) | \lambda_{p} \rangle}_{I \langle 0 |}$$

$$= I \langle 0 | \phi(0) | \lambda_{p} \rangle \exp(-ip x) |_{p^{0} = E_{p}} \quad (\text{nun Lorentzboost von } \vec{0} \text{ zu } \vec{p}):$$

$$= I \langle 0 | \phi(0) \exp(i \vec{u}_{\vec{p}} \vec{K}) | \lambda_{0} \rangle \exp(-ip x) |_{p^{0} = E_{p}}$$

$$= \underbrace{I \langle 0 | \exp(i \vec{u}_{\vec{p}} \vec{K}) \exp(-i \vec{u}_{\vec{p}} \vec{K}) \phi(0) \exp(i \vec{u}_{\vec{p}} \vec{K})}_{I \langle 0 |} | \lambda_{0} \rangle \exp(-ip x) |_{p^{0} = E_{p}}$$

$$= \underbrace{I \langle 0 | \exp(i \vec{u}_{\vec{p}} \vec{K}) \exp(-ip x) |_{p^{0} = E_{p}}}_{I \langle 0 |} | \phi(0) | \lambda_{0} \rangle \exp(-ip x) |_{p^{0} = E_{p}}$$

$$= I \langle 0 | \phi(0) | \lambda_{0} \rangle \exp(-ip x) |_{p^{0} = E_{p}}$$

$$= \underbrace{I \langle 0 | \phi(0) | \lambda_{0} \rangle \exp(-ip x) |_{p^{0} = E_{p}}}_{I \langle 0 |} | \phi(0) |_{p^{0} = E_{p}}$$

$$= \underbrace{I \langle 0 | \phi(0) | \lambda_{0} \rangle \exp(-ip x) |_{p^{0} = E_{p}}}_{I \langle 0 |} | \phi(0) |_{p^{0} = E_{p}}$$

$$= \underbrace{I \langle 0 | \phi(0) | \lambda_{0} \rangle \exp(-ip x) |_{p^{0} = E_{p}}}_{I \langle 0 |} | \phi(0) |_{p^{0} = E_{p}}$$

$$= \underbrace{I \langle 0 | \phi(0) | \lambda_{0} \rangle \exp(-ip x) |_{p^{0} = E_{p}}}_{I \langle 0 |} | \phi(0) |_{p^{0} = E_{p}}$$

$$= \underbrace{I \langle 0 | \phi(0) | \lambda_{0} \rangle \exp(-ip x) |_{p^{0} = E_{p}}}_{I \langle 0 |} | \phi(0) |_{p^{0} = E_{p}}$$

$$= \underbrace{I \langle 0 | \phi(0) | \lambda_{0} \rangle \exp(-ip x) |_{p^{0} = E_{p}}}_{I \langle 0 |} | \phi(0) |_{p^{0} = E_{p}} |_{p^{0} = E_{p}}}$$

$$= \underbrace{I \langle 0 | \phi(0) | \lambda_{0} \rangle \exp(-ip x) |_{p^{0} = E_{p}}}_{I \langle 0 |} | \phi(0) |_{p^{0} = E_{p}} |$$

Mit

$$\frac{1}{2E_p} \exp(-ip(x-y)) \bigg|_{p^0 = E_p} = \int \frac{dp^0}{2\pi} \frac{i}{p^2 - m_{\lambda}^2 + i\delta} \exp(-ip(x-y))$$

und (221) wird (220) zu (für $x^0 > y^0$):

$$I \langle 0 | \phi(x)\phi(y) | 0 \rangle_{I} = \sum_{\lambda} \int \frac{d^{3}\vec{p}}{(2\pi)^{3}} \frac{1}{2E_{p}(\lambda)} \exp(-ip(x-y)) |_{I} \langle 0 | \phi(0) | \lambda_{0} \rangle|^{2} \Big|_{p^{0}=E_{p}}$$

$$= \sum_{\lambda} \int \frac{d^{4}p}{(2\pi)^{4}} \underbrace{\frac{i}{p^{2}-m_{\lambda}^{2}+i\delta}} \exp(-ip(x-y)) |_{I} \langle 0 | \phi(0) | \lambda_{0} \rangle|^{2} (222)$$
Feynman-Propagator mit Masse m_{λ}

Verallgemeinerung auf $x^0 > y^0$ oder $y^0 > x^0$:

$$I_{I} \langle 0 | \mathbf{T} [\phi(x) \phi(y)] | 0 \rangle_{I} = \int_{0}^{\infty} \frac{dM^{2}}{2\pi} \rho(M^{2}) D_{F}(x - y, M^{2})$$

$$\text{mit } D_{F}(x - y, M^{2}) = \int_{0}^{\infty} \frac{d^{4}p}{(2\pi)^{4}} \frac{i}{p^{2} - M^{2} + i\delta} \exp(-ip(x - y))$$

$$\text{und } \rho(M^{2}) = \sum_{\lambda} 2\pi \delta(M^{2} - m_{\lambda}^{2}) |_{I} \langle 0 | \phi(0) | \lambda_{0} \rangle|^{2}$$
(223b)

Für eine typische Theorie:

$$\begin{split} \rho(M^2) = & \sum_{\lambda} 2\pi \delta(M^2 - m_{\lambda}^2) \, Z \\ & + \sum_{n} 2\pi \, \delta(M^2 - (2m_p - E_n')^2) \, Z_n' \\ & + \Theta(M^2 - 4m_p^2) \, \rho_C(M^2) \end{split}$$

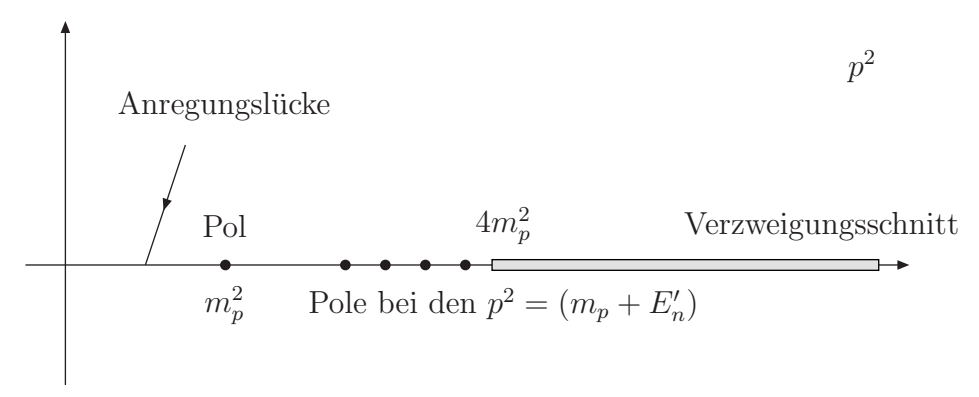
Einteilchenzustand mit Masse m_p Bindungszustände aus zwei Teilchen mit Bindungsenergie $E_n' < 0$ Kontinuumszustände z.B. Zwei-Teilchenzustand mit Relativgeschwindigkeit

 m_p = physikalische Masse = Masse aus Lagrangedichte plus Selbstwechselwirkung. Fourier-Transformation von (223):

$$\widetilde{G}_{R}(p) := \int d^{4}x \exp(ipx) I \langle 0 | \mathbf{T} [\phi(0) \phi(0)] | 0 \rangle_{I} = \int_{0}^{\infty} \frac{dM^{2}}{2\pi} \frac{i \rho(M^{2})}{p^{2} - M^{2} + i\delta}$$

$$= \frac{i Z}{p^{2} - m_{p}^{2} + i\delta} + \sum_{n} \frac{i Z'_{n}}{p^{2} - (2m_{p}^{2} - E'_{n})^{2} + i\delta} + \int_{4m_{p}^{2}}^{\infty} \frac{dM^{2}}{2\pi} \frac{i \rho(M^{2})}{p^{2} - M^{2} + i\delta}$$
(224)

(223) (bzw. (224)) heißt **Källén-Lehmann-Spektraldarstellung** . Analytische Struktur:



Der Verzweigungsschnitt kommt aus

$$\int\limits_{4m_p^2}^{\infty} \frac{dM^2}{p^2-M^2+i\delta} \approx \ln(4m_p^2-p^2) \qquad \text{"Zwei-Teilchen-Schnitt"}$$

Etwas bessere Art, $\rho(M^2)$ zu schreiben:

$$\rho(M^{2}) = \sum_{\lambda \in S_{d}} 2\pi \delta(M^{2} - m_{\lambda}^{2}) |_{I} \langle 0 | \phi(0) | \lambda_{0} \rangle_{I}|^{2} + \int_{S_{c}} d\lambda \, 2\pi |_{I} \langle 0 | \phi(0) | \lambda_{0} \rangle_{I}|^{2}$$

wobei S_d das diskrete und S_c das kontinuierliche Spektrum des Operators $P_{\mu}P^{\mu}$ bezeichnet (und $P^2 |\lambda\rangle = m_{\lambda}^2 |\lambda\rangle$). An der Källén-Lehmann-Spektraldarstellung (223) / (224) erkennt man:

1. Diskrete Eigenwerte von P^2 erzeugen einfache Pole $\frac{i Z}{p^2 - m_p^2 + i\delta}$ in $\widetilde{G}_R(p)$, wie im Fall der freien Theorie. Das erlaubt analog die Interpretation als Ein-Teilchen-Zustände (Dabei kann dieses "eine Teilchen" ein Bindungszustand wie z.B. Positronium sein, siehe

$$\frac{i Z_n}{p^2 - (2m_p^2 + E_n')^2 + i\delta})$$

Unterschied zur freien Theorie: Residuum $Z \neq 1$ und $m_p \neq$ Masse in Lagrangedichte.

2. Das kontinuierliche Spektrum von \mathbb{P}^2 erzeugt schwächere Singularitäten, Verzweigungspunkte.

Mit $\phi_R = \sqrt{Z}\phi$ findet man aus (223) / (224):

$$\widetilde{G}_R(p) := {}_{I} \langle 0 | \mathbf{T} \left[\phi_R(x) \, \phi_R(y) \right] | 0 \rangle_I = \underbrace{\widetilde{G}(p)}_{Z} \stackrel{p^2 \to m_p^2}{\longrightarrow} \frac{i}{p^2 - m_p^2 + i\delta}$$
(225)

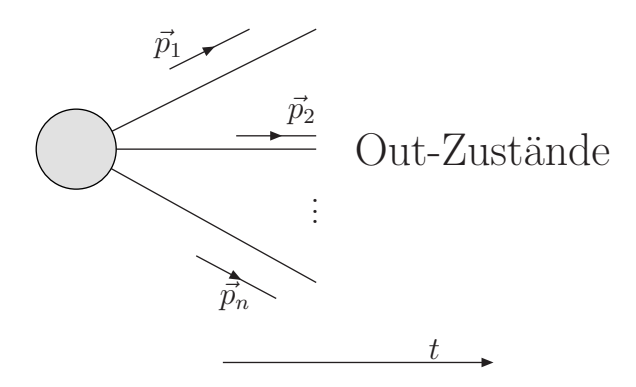
d.h. die Zwei-Punkt-Funktion $\widetilde{G}_R(p)$ verhält sich in der Nähe der Massenschale $p^2=m_p^2$ wie eine freie Theorie. In die Herleitung von (223) / (224) gingen keine Annahmen über die Lagrangedichte \mathcal{L} ein, nur Symmetrieeigenschaften und milde Annahmen über das Spektrum von P^2 .

5.1.2 Asymptotische Zustände

Im Wechselwirkungsbild hängen auch die Zustände von der Zeit ab. Entwickelt sich ein Zustand $|\alpha\rangle$ für $t\to\infty$ in einen N-Teilchen-Zustand der freien Theorie

$$|\alpha\rangle \xrightarrow{t\to\infty} \frac{1}{\sqrt{N!}} \int \dots \int \frac{d^3\vec{p}_1 \cdots d^3\vec{p}_N}{(2\pi)^{3N/2} \sqrt{2E_{p_1}} \cdots \sqrt{2E_{p_N}}} f(\vec{p}_1, \dots \vec{p}_N) | \vec{p}_1, \dots \vec{p}_N\rangle \in \mathcal{F}$$
 (226)
$$\mathcal{F} = \text{Zustandsraum der freien Theorie}$$

so bezeichnet man $|\alpha\rangle$ als "Out"-Zustände (oder "auslaufenden Zustand") Graphisch:



Anschaulich: Für $t \to \infty$ überlappen die Wellenpackete der N auslaufenden Teichen nicht mehr, sie spüren keine gegenseitige Wechselwirkung mehr. Zustände $|\beta\rangle$ mit

$$|\beta\rangle \stackrel{t \to -\infty}{\longrightarrow} \frac{1}{\sqrt{N!}} \int \dots \int \frac{d^3 \vec{p}_1 \cdots d^3 \vec{p}_N}{(2\pi)^{3N/2} \sqrt{2E_{p_1}} \cdots \sqrt{2E_{p_N}}} f(\vec{p}_1, \dots \vec{p}_N) |\vec{p}_1, \dots \vec{p}_N\rangle$$
 (227)

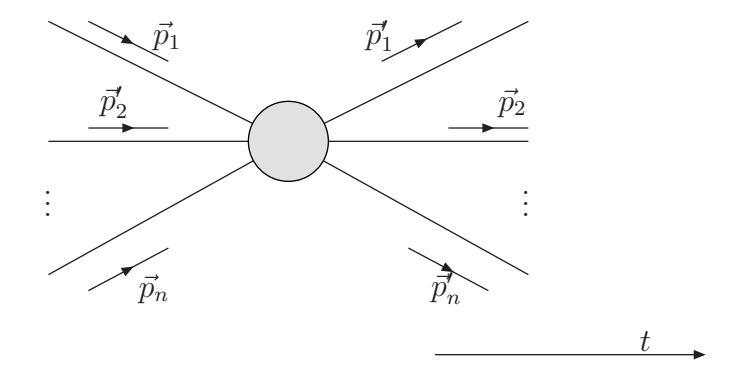
heißen entsprechend "In"-Zustände.

In einem Streuexperiment werden In-Zustände präpariert. Die aufeinander geschossenen Teilchen wechselwirken, die beobachteten aus der Wechselwirkungszone fliegenden Teilchen ensprechen Out-Zuständen, deren Impuls $\vec{p}_1, \dots \vec{p}_N$ im Detektor gemessen werden.

Basisvektoren für $\left\{\begin{array}{c} \text{In} \\ \text{Out} \end{array}\right\}$ -Zustände $\left\{\begin{array}{c} |\vec{p}_1,\dots\vec{p}_N\rangle_{in} \\ |\vec{p}_1,\dots\vec{p}_N\rangle_{out} \end{array}\right\}$ wobei diese zeitabhängigen Zustände

$$|\vec{p}_1, \dots \vec{p}_N\rangle_{in/out} \xrightarrow{t \to \mp \infty} \underline{|\vec{p}_1, \dots \vec{p}_N\rangle} \in \mathcal{F}$$
 (228)

Streu
experiment: $|\vec{p}_1,\dots\vec{p}_N\rangle_{in} \to |\vec{p}_1',\dots\vec{p}_N'\rangle_{out}$



In/Out-Zustände bezeichnet man auch als **asymptotische Zustände**. Wir nehmen weiterhin an, dass In- und Out-Zustände den Zustandsraum \mathcal{H} der wechselwirkenden Theorie aufspannen.

$$H = [\{|\vec{p}_1, \dots, \vec{p}_N\rangle_{in}\}] = [\{|\vec{p}_1, \dots, \vec{p}_N\rangle_{out}\}]$$
(229)

(Mithin also $\mathcal{H} \simeq \mathcal{F}$ ist). Im Prinzip könnte \mathcal{H} größer sein als \mathcal{F} , $\mathcal{H} = \mathcal{F} \oplus \mathcal{H}'$, aber Zustände in \mathcal{H}' wären in einem Streuexperiment nicht zugänglich. \mathcal{H}' entspräche einem unerforschbarem Sektor der Theorie. Selbst exotische Fälle wie stabile Bindungszustände können in (228) / (229) mit einbezogen werden, wenn man sie zu den Basisvektoren hinzufügt. (Beispiel: $e^- + p = H$, d.h. $|\vec{p_e}, \vec{p_p}\rangle_{in}$, $|\vec{p_H}\rangle_{out}$)

Zeitentwicklung der Zustände im WW-Bild Heisenberg-Bild:

$$\underbrace{H \left\langle \beta \right| \phi(t, \vec{x}) \underbrace{\left|\alpha\right\rangle_{H}}_{\text{zeitunabhängig}} \stackrel{(200)}{=} H \left\langle \beta \right| U^{\dagger}(t, t_{0}) \phi_{I}(t, \vec{x}) U(t, t_{0}) \left|\alpha\right\rangle_{H} = \underbrace{I \left\langle \beta, t \right| \phi_{I}(t, \vec{x}) \underbrace{\left|\alpha, t\right\rangle_{I}}_{\text{Zustände im WW-Bild}}$$

$$\Rightarrow |\alpha, t\rangle_I = \underbrace{U(t, t_0)}_{H} |\alpha\rangle_H \tag{230}$$

Zeitentwicklung wegen (210) durch ${\cal H}_I$ bestimmt

$$|\alpha, t_2\rangle_I = U(t_2, t_1) |\alpha, t_1\rangle_H \tag{231}$$

$$|\alpha, t\rangle_{in} = U(t, -t') |\alpha, -t'\rangle_{in} \stackrel{t' \to \infty}{=} U(t, -\infty) \underbrace{|\alpha\rangle}_{\text{(freier Zustand)}} \in \mathcal{F}$$
 (232)

Bemerkung: $U(t, -\infty)$ bildet freie auf WW-Zustände ab. Es ist mathematisch unmöglich, $U(t, -\infty)$ auf dem gesamten Fockraum \mathcal{F} zu definieren (Haag'sches Theorem), denn Poincaré-Invarianz verbietet, den Limes

$$\lim_{t' \to \infty} U^{\dagger}(t, -t') |\alpha, -t'\rangle_{in} = |\alpha\rangle \in \mathcal{F}$$

gleichmäßig für alle $|\alpha, -t'\rangle_{in} \in \mathcal{H}$ zu bilden. Der Limes in (232) bzw.

$$\lim_{t' \to \infty} U^{\dagger}(t, -t') |\alpha, t\rangle \stackrel{(232)}{=} |\alpha\rangle$$

ist jedoch definiert, der Limes wird für unterschiedliche Zustände jedoch unterschiedlich schnell angenommen, gilt also im Sinn der schwachen Konvergenz:

Übergangsamplitude von $|\alpha\rangle = |\vec{k}_1 \dots \vec{k}_N\rangle \in \mathcal{F} \text{ zu } |\beta\rangle = |\vec{p}_1 \dots \vec{p}_N\rangle \in \mathcal{F}$:

$${}_{H} \langle \beta | \alpha \rangle_{H} \stackrel{(230)}{=} \lim_{t \to \infty} {}_{I} \langle \beta, t | \underbrace{U(t, t_{0}) U^{\dagger}(-t, t_{0})}_{U(-t, t)} | \alpha, -t \rangle_{I}$$

$$(233)$$

Ist

$$|\alpha, -\infty\rangle = |\alpha, -\infty\rangle_{in} = |\vec{k}_1 \dots \vec{k}_M\rangle \in \mathcal{F}$$

 $|\beta, +\infty\rangle = |\beta, +\infty\rangle_{out} = |\vec{p}_1 \dots \vec{p}_N\rangle \in \mathcal{F}$

so ist

$$S_{\beta\alpha} := H \langle \beta | \alpha \rangle_H = \langle \vec{p}_1 \dots \vec{p}_N | S | \vec{k}_1 \dots \vec{k}_M \rangle$$

$$\text{mit } S = \mathbf{T} \exp\left(-i \int_{-\infty}^{\infty} dt' H_I(t')\right) = \mathbf{T} \exp\left(-i \int_{-\infty}^{\infty} d^4x \, \mathcal{H}_I(x)\right)$$

$$= \mathbf{T} \exp\left(i \int_{-\infty}^{\infty} d^4x \, \mathcal{L}_I(x)\right)$$
(234)

S heißt S-Matrix oder Streumatrix und beschreibt die Wahrscheinlichkeitsamplitude für die Streuung $|\alpha\rangle \to |\beta\rangle$. Offensichtlich ist

$$S_{\beta\alpha} = _{out} \langle \beta | \alpha \rangle_{in}$$

Erinnerung $\mathcal{H} = \mathcal{H}_I(\phi_I)$ und ϕ_I erfüllt wegen (198)

$$i\frac{\partial}{\partial t}\phi_I = [\phi_I, H_0] \tag{236}$$

 ϕ und ϕ_I sind über eine unitäre Transformation verknüpft, aus (105) folgt also:

$$[\phi(x), \dot{\phi}(x')]_{t=t'} = i\delta^{(3)}(\vec{x} - \vec{x}') = [\phi_I(x), \dot{\phi}_I(x)]_{t=t'}$$

Die in (124) abgeleitete Beziehung gilt auch wie im WW-Bild

$$[\dot{\phi}_I(x), H_0] = i(\vec{\nabla}^2 - m^2)\phi_I(x)$$
(237)

und (analog zu (126)) findet man aus (236) und (237)

$$(\Box + m^2)\phi_I(x) = 0 \tag{238}$$

D.h. ϕ_I erfüllt die **freie Klein-Gordon-Gleichung** und wir können ϕ_I durch Erzeuger a_k^{\dagger} und Vernichter a_k ausdrücken.

Wir sind nun am Ziel:

Die Streuamplitude in (234)

$$S_{\beta\alpha} = \left\langle \vec{p}_1 \dots \vec{p}_N \mid \mathbf{T} \exp\left(-i \int_{-\infty}^{\infty} d^4x \, \mathcal{H}_I(x)\right) \mid \vec{k}_1 \dots \vec{k}_N \right\rangle$$
 (239)

ist komplett durch Größen der freien Theorie ausgedrückt.

Typische Wechselwirkungen:

$$\mathcal{L}_{I} = -\mathcal{H}_{I} = \left\{ \begin{array}{cc} \frac{\lambda}{4!} \phi_{I}^{4}(x) & \times \\ \frac{\lambda}{3!} \phi_{I}^{3}(x) & \times \end{array} \right.$$

Unter **Störungstheorie** versteht man die Entwicklung von $S_{\beta\alpha}$ in Potenzen von λ durch Entwickeln von

$$\mathbf{T} \exp\left(-i \int_{-\infty}^{\infty} d^4x \, \mathcal{H}_I(x)\right) = \mathbf{T} \exp\left(i \int_{-\infty}^{\infty} d^4x \, \mathcal{L}_I(x)\right)$$
$$= \mathbf{1} + i \int d^4x \, \mathcal{L}_I(x) - \frac{1}{2} \iint d^4x \, d^4y \, \mathbf{T} \mathcal{L}_I(x) \, \mathcal{L}_I(y) + \dots$$

Damit entwickelt man S in Potenzen von λ :

$$S = \sum_{n} S^{(n)} \text{ mit } S^{(n)} \propto \lambda^{n}$$

Für die ϕ^4 -Terme und $|\alpha\rangle = |\vec{k}_1, \vec{k}_2\rangle, |\beta\rangle = |\vec{p}_1, \vec{p}_2\rangle$ hatten wir $S_{\beta\alpha}^{(1)}$ bereits zwischen (152) und (153a) berechnet (für verschiedene \vec{k}_i, \vec{p}_i):

$$S^{(1)} = i \int d^4x \, \frac{\lambda}{4!} \left\langle \vec{p}_1, \vec{p}_2 \, | \, \phi_I^4(x) \, | \vec{k}_1, \vec{k}_2 \, \right\rangle = i\lambda (2\pi)^3 \delta^{(3)}(\vec{p}_1 + \vec{p}_2 - \vec{k}_1 - \vec{k}_2)$$



Eigenschaften der asymptotischen Zustände und der S-Matrix:

1. Stabilität der Vakuums

$$|0\,\rangle_{in} = |0\,\rangle_{out} = |0\,\rangle_I \Rightarrow \langle 0\,|\,S\,|0\,\rangle = 1$$

dies ist mit (211)-(213) verträglich für $E_0 = {}_I \langle 0 \mid H \mid 0 \rangle_I = 0$. (In Theorien mit $E_0 \neq 0$ können sich WW. Zustände nie in freie entwickeln)

2. Stabile Ein-Teilchen-Zustände

$$|\vec{p}\rangle_{in} = |\vec{p}\rangle_{out} = |\vec{p}\rangle_I = |\vec{p}\rangle \Rightarrow \langle \vec{p}|S|\vec{p}'\rangle = \langle \vec{p}|\vec{p}'\rangle = 2E_p(2\pi)^3\delta^{(3)}(\vec{p}-\vec{p}')$$

3. S ist unitär

$$S^{\dagger}S = 1$$

wegen $S = \mathbf{T} \exp \left(i \int d^4x \, \mathcal{L}_I(x)\right)$ und $\mathcal{L}_I = \mathcal{L}_I^{\dagger}$.

4. $|S_{\beta\alpha}|^2$ ist Poincaré-invariant, d.h. die Übergangswahrscheinlichkeit ist unabhängig vom Bezugssystem.

$$|\alpha\rangle \rightarrow U(\Lambda, a) |\alpha\rangle = |\alpha'\rangle$$

$$\Rightarrow S = U^{\dagger}(\Lambda, a) S U(\Lambda, a)$$
und $S_{\beta'\alpha'} = \langle \beta | U^{\dagger} S U | \alpha \rangle = S_{\beta\alpha}$

weil \mathcal{L}_I Poincaré-invariant ist.

Um S-Matrix-Elemente zu bestimmen, müssen wir zeitgeordnete Produkte ausrechnen.

Beispiel für ϕ^4 -Theorie: Ordnung λ^2 , $2 \to 4$ Streuprozess

$$S_{\beta\alpha}^{(2)} = -\langle \vec{p}_1 \dots \vec{p}_4 | \frac{\lambda^2}{2} \int d^4x \int d^4y \, \mathbf{T} \frac{\phi_I^4(x) \, \phi_I^4(y)}{4! \, 4!} \, | \vec{k}_1, \vec{k}_2 \rangle$$
 (240)

Translation: $\phi(y) = \exp(iPy) \phi(0) \exp(-iPy)$

$$S_{\beta\alpha}^{(2)} = -\frac{\lambda^{2}}{2(4!)^{2}} \int d^{4}y \exp\left(iy \left(\vec{p}_{1} + \vec{p}_{2} + \vec{p}_{3} + \vec{p}_{4} - \vec{k}_{1} - \vec{k}_{2}\right)\right)\Big|_{p_{i}^{0} = E_{p_{i}}, k_{j}^{0} = E_{k_{j}}}$$

$$\cdot \int d^{4}x \left\langle \vec{p}_{1} \dots \vec{p}_{4} \right| \mathbf{T} \phi_{I}^{4}(x - y) \phi_{I}^{4}(0) \left| \vec{k}_{1}, \vec{k}_{2} \right\rangle$$

$$= -\frac{\lambda^{2}}{2(4!)^{2}} (2\pi)^{4} \delta^{(4)}(\vec{p}_{1} + \vec{p}_{2} + \vec{p}_{3} + \vec{p}_{4} - \vec{k}_{1} - \vec{k}_{2}) \int d^{4}x \left\langle \vec{p}_{1} \dots \vec{p}_{4} \right| \mathbf{T} \phi_{I}^{4}(x) \phi_{I}^{4}(0) \left| \vec{k}_{1}, \vec{k}_{2} \right\rangle$$

Mit

$$\phi_I(x) = \phi_I^+(x) + \phi_I^-(x)
\phi_I^+(x) = \int \frac{d^3\vec{p}}{(2\pi)^3} \frac{1}{\sqrt{2E_p}} a_p \exp(-ipx)$$
(241a)

$$\phi_I^-(x) = \int \frac{d^3 \vec{p}}{(2\pi)^3} \frac{1}{\sqrt{2E_p}} a_p^{\dagger} \exp(ipx)$$
 (241b)

so dass $\phi_I^+(x) \mid 0 \rangle = 0$, $\langle 0 \mid \phi_I^-(x) = 0$. Für $x^0 > y^0$:

$$\mathbf{T} \left[\phi_I(x) \, \phi_I(y) \right] = \left(\phi_I^+(x) + \phi_I^-(x) \right) \left(\phi_I^+(y) + \phi_I^-(y) \right)$$

$$= \phi_I^+(x) \phi_I^+(y) + \phi_I^-(y) \phi_I^+(x) + \phi_I^-(x) \phi_I^+(y) + \phi_I^-(x) \phi_I^-(y) + [\phi_I^+(x), \phi_I^-(y)]$$
 (242)

Für $x^0 < y^0$ erhält man das gleiche mit

$$[\phi_I^+(x), \phi_I^-(y)] \to [\phi_I^+(y), \phi_I^-(x)]$$

$$\mathbf{T}\left[\phi_{I}(x)\,\phi_{I}(y)\right] = \phi_{I}^{+}(x)\phi_{I}^{+}(y) + \phi_{I}^{-}(y)\phi_{I}^{+}(x) + \phi_{I}^{-}(x)\phi_{I}^{+}(y) + \phi_{I}^{-}(x)\phi_{I}^{-}(y) + \phi_{I}(x)\phi_{I}(y) \quad (243)$$

mit der Kontraktion

$$\phi_I(\underline{x})\phi_I(y) := \left\{ \begin{array}{l} [\phi_I^+(x), \phi_I^-(y)] \text{ für } x^0 > y^0 \\ [\phi_I^+(y), \phi_I^-(x)] \text{ für } x^0 < y^0 \end{array} \right.$$

Einsetzen von (241) zeigt:

$$\phi_I(x)\phi_I(y) = D_F(x-y)\mathbf{1}$$
(244)

In (243) stehen alle Erzeuger links von allen Vernichtern \Rightarrow Normalordnung

$$\mathbf{T}\left[\phi_I(x)\,\phi_I(y)\right] = :\phi(x)_I\,\phi(y)_I: +\phi_I(x)\phi_I(y) \tag{245}$$

(Man schreibt auch $\mathbf{N} \left[\phi_I(x), \phi_I(y) \right] = : \phi_I(x) \phi_I(y) :$) Mit (245) vereinfacht sich z.B.

$$\langle 0 \mid \mathbf{T} \left[\phi_I(x) \phi_I(y) \right] \mid 0 \rangle = D_F(x - y)$$

weil $\langle 0 \mid : \phi_I(x) \phi_I(y) : \mid 0 \rangle = 0$

Die Verallgemeinerung von (245) zu mehreren Feldern heißt Wick'sches Theorem:

$$\mathbf{T}\left[\phi_I(x_1)\dots\phi_I(x_N)\right] = : \{\phi_I(x_1)\dots\phi_I(x_N) + \text{alle m\"{o}glichen Kontraktionen}\}:$$
 (246)

Dabei bedeutet "alle möglichen Kontraktionen", dass über alle Terme summiert wird, die N-2M normalgeordnete Felder und M Propagatoren $D_F(x_i-x_j)=\phi(\underline{x_i})\phi(\underline{x_j})$ enthalten $(M=0,1,\dots \left \lceil \frac{N}{2} \right \rceil)$ z.B.

$$\mathbf{T} [\phi_I(x_1) \phi_I(x_2) \phi_I(x_3)] = :\phi_I(x_1) \phi_I(x_2) \phi_I(x_3) : + :\phi_I(x_1) :\phi_I(\underline{x_2}) \phi_I(x_3) + :\phi_I(x_2) :\phi_I(x_1) \phi_I(x_3) + :\phi_I(x_3) :\phi_I(x_1) \phi_I(x_2)$$

Formal:

Mit $J_{2M} := \{j_1, \dots, j_{2M}\}, \ J'_{2M} := \{j_{2M+1}, \dots, j_N\}, \ K_M := \{k_1, \dots, k_M\}, \ L_M := \{l_1, \dots, l_M\}$:

$$\mathbf{T}\left[\phi_{I}(x_{1})\dots\phi_{I}(x_{N})\right] = \sum_{M=0}^{\left[\frac{N}{2}\right]} \sum_{\substack{J_{2M}\cup J'_{2M} \\ =\{1,\dots,N\}}} :\phi_{I}(x_{j_{2M+1}})\cdots\phi_{I}(x_{j_{N}}): \sum_{\substack{K_{M}\cup L_{M}=J_{2M} \\ k_{m}< l_{m}}} \prod_{m=1}^{M} \underbrace{\phi_{I}(x_{k_{m}})\phi_{I}(x_{l_{m}})}_{\phi_{I}(x_{k_{m}})\phi_{I}(x_{l_{m}})}$$
(247)

Dabei ist vereinbart, dass gilt := 1.

Beispiel: N = 4:

•
$$M = 0$$

$$:\phi_I(x_1) \phi_I(x_2) \phi_I(x_3) \phi_I(x_4):$$

graphisch:

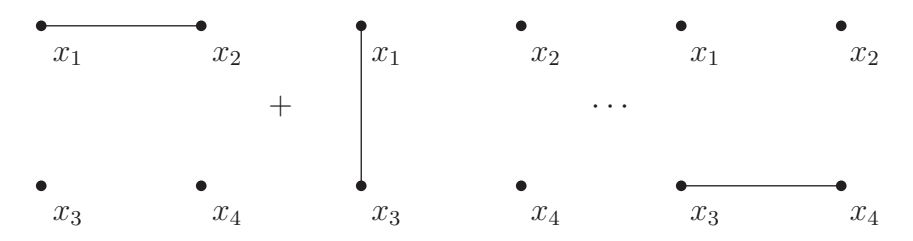




• M = 1Summe über $\binom{4}{2} = 6$ Terme

$$J_{2M} \cup J'_{2M} = \{1,2\} \cup \{3,4\}, \{1,3\} \cup \{2,4\}, \{1,4\} \cup \{2,3\}, \{2,3\} \cup \{1,4\}, \{2,4\} \cup \{1,3\}, \{3,4\} \cup \{1,2\}$$

 $:\phi_I(x_3)\phi_I(x_4):\phi_I(\underline{x_1})\phi_I(\underline{x_2})+:\phi_I(x_2)\phi_I(x_4):\phi_I(\underline{x_1})\phi_I(\underline{x_3})+\cdots+:\phi_I(x_1)\phi_I(\underline{x_2}):\phi_I(\underline{x_3})\phi_I(\underline{x_4})$ graphisch:



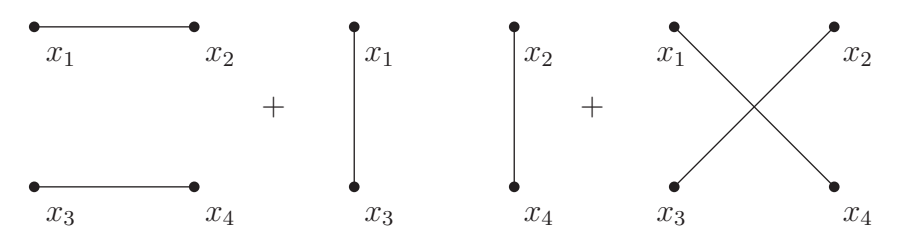
• M = 2Letzte Summe in (247):

$$J_{2M} = \{j_1, \dots, j_{2M}\} = \{1, \dots, 4\}$$

Es gibt dabei drei Summanden zu $(k_1, k_2, k_3, k_4) = (1, 2, 3, 4), (1, 3, 2, 4)$ und (1, 3, 2, 4)Der M = 2-Term ist also

$$\phi_I(\underline{x_1})\phi_I(\underline{x_2})\phi_I(\underline{x_3})\phi_I(\underline{x_4}) + \phi_I(\underline{x_1})\phi_I(\underline{x_3})\phi_I(\underline{x_2})\phi_I(\underline{x_4}) + \phi_I(\underline{x_1})\phi_I(\underline{x_4})\phi_I(\underline{x_2})\phi_I(\underline{x_3})$$

graphisch:



Beweis des Wickschen-Theorems (246) / (247):

Beide Seiten der Gleichung sind symmetrisch unter Permutationen der x_1, \ldots, x_N . Wähle o.B.d.A.

$$x_1^0 > x_2^0 > \dots > x_N^0 \Rightarrow \mathbf{T} [\phi_I(x_1) \dots \phi_I(x_N)] = \phi_I(x_1) \dots \phi_I(x_N)$$

Induktionsanfang:

$$N = 1 : \mathbf{T} [\phi_I(x_1)] = :\phi_I(x_1):$$

Induktionsannahme: (246) / (247) gelten für N-1 Felder Induktionsschluss:

$$\mathbf{T} \left[\phi_{I}(x_{1}) \dots \phi_{I}(x_{N}) \right]$$

$$= \phi_{I}(x_{1}) \dots \phi_{I}(x_{N}) \stackrel{\text{Ind.-Annahme}}{=} \phi_{I}(x_{1}) : \{ \phi_{I}(x_{2}) \dots \phi_{I}(x_{N}) + \text{alle Kontraktionen} \} :$$

$$= \sum_{M=0}^{\left[\frac{N-1}{2}\right]} \sum_{\substack{J_{2M} \cup J'_{2M} \\ = \{2, \dots, M\}}} \phi_{I}(x_{1}) : \phi_{I}(x_{j_{2M+1}}) \dots \phi_{I}(x_{j_{N}}) : \sum_{\substack{K_{M} \cup L_{M} \\ k_{M} < l_{M}}} \prod_{m=1}^{M} \phi_{I}(\underline{x_{k_{m}}}) \phi_{I}(\underline{x_{l_{m}}})$$

$$(248)$$

Mit $\phi_I(x_1) = \phi_I^+(x_1) + \phi_I^-(x_1)$ finden wir, dass ϕ_I^- bereits in Normalordnung zu den anderen Feldern steht:

$$\phi_I^-(x_1):\phi_I(x_{i_{2M+1}})\ldots\phi_I(x_{i_N}):=:\phi_I^-(x_1)\ldots\phi_I(x_{i_N}):$$

 $\phi_I^+(x_1)$ müssen wir hingegen an allen Feldern vorbei nach rechtes durchtauschen: $\phi_I^+(x_1)$ vertauscht mit $\phi_I^+(x_{j_k})$ und $[\phi_I^+(x_1), \phi_I^-(x_{j_k})] = \phi_I(\underline{x_1})\phi_I(\underline{x_{j_k}})$ wegen $x_1^0 > x_{j_k}^0$. Also

$$\phi_{I}(x_{1}):\phi_{I}(x_{j_{2M+1}})\ldots\phi_{I}(x_{j_{N}}): = :\phi_{I}(x_{1})\phi_{I}(x_{j_{2M+1}})\ldots\phi_{I}(x_{j_{N}}):$$

$$+ \sum_{l\in J'_{2M}}:\phi_{I}(x_{j_{2M+1}})\ldots\widehat{\phi_{I}(x_{l})}\ldots\phi_{I}(x_{j_{N}}):\phi_{I}(\underline{x_{1}})\phi_{I}(\underline{x_{l}}) \tag{249}$$

Die Schreibweise $\widehat{\phi_I(x_l)}$ bedeutet, dass $\phi_I(x_l)$ nicht mehr vorkommt. Nun folgt Einsetzen von (249) in (248) und Koeffizientenvergleich mit (247). Betrachte ein bestimmtes J'_{2M} in (247):

1. Fall: $x_1 \in J'_{2M}$

$$:\phi_I(x_{j_{2M+1}})\dots\phi_I(x_{j_N}):=:\phi_I(x_1)\underbrace{\phi_I(x_{j_{2M+1}})\dots\phi_I(x_{j_N})}_{\text{entspricht genau einem Term in (248) mit dem ersten Term (249)}:$$

2. Fall: $x_1 \notin J'_{2M}$ (247) enthält:

$$: \phi_{I}(x_{j_{2M+1}}) \cdots \phi_{I}(x_{j_{N}}) : \sum_{\substack{K_{M} \cup L_{M} = J_{2M} \\ k_{m} < l_{m}}} \prod_{m=1}^{M} \phi_{I}(\underline{x_{k_{m}}}) \phi_{I}(\underline{x_{l_{m}}})$$

$$= : \phi_{I}(x_{j_{2M+1}}) \cdots \phi_{I}(x_{j_{N}}) : \left[\sum_{\substack{l=2 \\ l < k_{m} < l_{m} \\ k_{m} \neq l \neq l_{m}}} \prod_{m=2}^{N} \phi_{I}(\underline{x_{k_{m}}}) \phi_{I}(\underline{x_{l_{m}}}) \right]$$

Das entspricht dem Term in (248) / (249) mit $J'_{2M} \to J'_{2M} \cup \{l\}, J_{2M} \to J_{2M} \setminus \{l\}$ Normalgeordnete Produkte vereinfachen die Berechnung von Matrixelementen, weil alle Vernichter rechts stehen. Wegen $\phi_I^+(y)$ $|0\rangle = 0$ ist z.B.

Kontraktionen mit Zuständen

$$\phi_I^+(x) |\vec{p}\rangle = \int \frac{d^3\vec{k}}{(2\pi)^3 \sqrt{2E_k}} a_k \exp(-ikx) \underbrace{\sqrt{2E_p} a_p^{\dagger} |0\rangle}_{|\vec{p}\rangle} \stackrel{[a_p, a_k^{\dagger}] = (2\pi)^3 \delta(\vec{k} - \vec{p})}{=} \exp(-ipx)|_{p^0 = E_p} |0\rangle$$
(250)

Die $\phi_I^-(x)$ stehen links in normalgeordneten Produkten und $\langle \vec{p} | \phi_I^-(x) = \langle 0 | \exp(ipx) |_{p^0 = E_n}$. Definiert man

$$\phi_I(x)|\vec{p}\rangle = \exp(-ipx)|_{p^0 = E_p} |0\rangle, \qquad \langle \vec{p}|\phi_I(x) = \langle 0|\exp(ipx)|_{p^0 = E_p}$$
 (251)

und

$$\phi_I(\underline{x})|\vec{p_1}\dots\vec{p_j}\dots\vec{p_N}\rangle = \exp(-ipx)|_{p^0=E_p}|\vec{p_1}\dots\widehat{\vec{p_j}}\dots\vec{p_N}\rangle$$

usw., so findet man:

$$\langle \vec{k}_1 \dots \vec{k}_N | : \phi_I(x_1) \dots \phi_I(x_N) : | \vec{p}_1 \dots \vec{p}_i \dots \vec{p}_N \rangle$$

ist die Summe der Kontraktionen der Felder untereinander und mit den Impulsen der Zustände gegeben. Bleibt ein Feld unkontrahiert, so verschwindet das Matrixelement. Beispiel:

$$\langle \vec{k}_1 \vec{k}_2 | : \phi_I(x_1) \phi_I(x_2) \phi_I(x_3) \phi_I(x_4) : | \vec{p}_1 \vec{p}_2 \rangle$$

$$= \langle \vec{k}_1 \vec{k}_2 | : \phi_I(x_1) \phi_I(x_2) \phi_I(x_3) \phi_I(x_4) : | \vec{p}_1 \vec{p}_2 \rangle + \langle \vec{k}_1 \vec{k}_2 | : \phi_I(x_1) \phi_I(x_2) \phi_I(x_3) \phi_I(x_4) : | \vec{p}_1 \vec{p}_2 \rangle$$

$$+ \text{ alle anderen Kontraktionen } (4! = 24 \text{ insgesamt})$$

$$= \exp\left(i(k_1x_1 + k_2x_2 - p_1x_3 - p_2x_4)\right)|_{on-shell}$$

+ alle Permutationen von (x_1, x_2, x_3, x_4)

Mit dem Wickschen Theorem finden wir also die Feynman-Regeln.

 $\langle \vec{p}_1 \dots \vec{p}_M | \mathbf{T} \phi_I(x_1) \dots \phi_I(x_n) | \vec{k}_1 \dots \vec{k}_N \rangle$ ist also durch Summe aller Kontraktionen der Felder untereinander und mit den Impulsen der Zustände gegeben. Die analytischen Ausdrücke für die Kontraktionen sind in (244) und (251) gegeben.

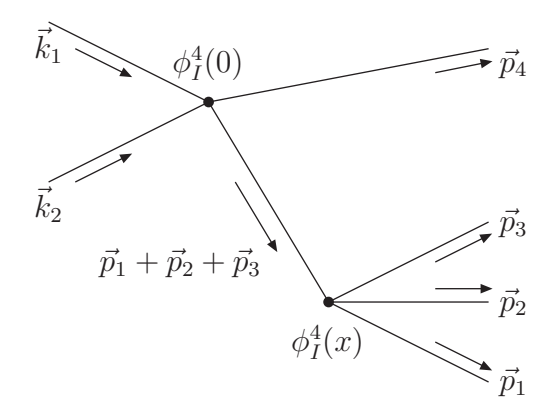
Beispiel der ϕ^4 -Theorie:

$$S_{\beta\alpha}^{(2)} = -\frac{\lambda^2}{2(4!)^2} (2\pi)^4 \delta^{(4)}(\vec{p}_1 + \vec{p}_2 + \vec{p}_3 + \vec{p}_4 - \vec{k}_1 - \vec{k}_2) \int d^4x \, \langle \, \vec{p}_1 \, \vec{p}_2 \, \vec{p}_3 \, \vec{p}_4 \, | \mathbf{T} \phi_I^4(x) \, \phi_I^4(0) | \vec{k}_1 \, \vec{k}_2 \, \rangle$$

Das Matrixelement $\langle \vec{p_1} \vec{p_2} \vec{p_3} \vec{p_4} | \mathbf{T} \phi_I^4(x) \phi_I^4(0) | \vec{k_1} \vec{k_2} \rangle$ kann mit den Feynman-Regeln berechnet werden: Exemplarische Wick-Kontraktion:

$$K_1 = -\frac{\lambda^2}{2(4!)^2} \int d^4\vec{x} \langle \vec{p_1} \, \vec{p_2} \, \vec{p_3} \, \vec{p_4} | \mathbf{T} \phi_I^4(\vec{x}) \phi_I^4(0) | \vec{k_1} \vec{k_2} \rangle$$

entspricht dem Diagramm 1:



Jede Kontraktion eines Matrixelements entspricht einem Feynman-Diagramm. Mehrere Kontraktionen können dem selben Diagramm entsprechen. Die internen Linien ergeben:

$$\phi_I(\underline{x})\phi_I(0) = D_F(x)$$

Externe Linien ergeben $\exp(ip_1x)$ etc.

Nummerieren wir die Wick-Kontraktionen K_j mit j durch, so können wir schreiben:

$$S_{\beta\alpha}^{(2)} = (2\pi)^4 \delta^{(4)}(p_1 + p_2 + p_3 + p_4 - k_1 - k_2) \sum_j K_j$$
 (252)

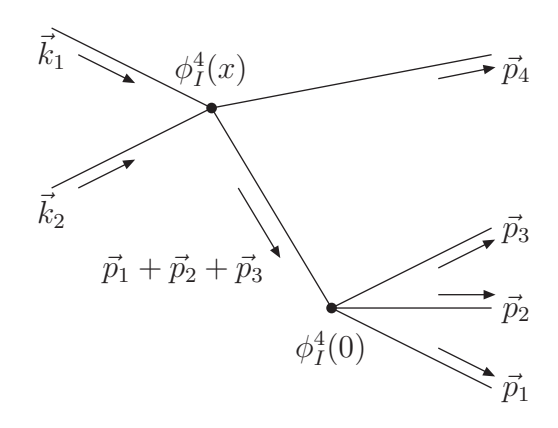
Unser Beispieldiagramm berechnen sich zu

$$K_1 = -\frac{\lambda^2}{2(4!)^2} \underbrace{\int d^4x \, \exp\left(i\left(p_1x + p_2x + p_3x\right)\right) D_F(x)}_{\text{Equrier-Bijektransformation}}$$

Feynman-Propagator im Impulsraum:

$$\tilde{D}_{F}(p) := \int d^{4}x \exp(ipx) D_{F}(x) \stackrel{(166)}{=} \int d^{4}x \int \frac{d^{4}k}{(2\pi)^{4}} \frac{i}{k^{2} - m^{2} + i\delta} \exp(i(p - k)x)
= \underbrace{\frac{i}{p^{2} - m^{2} + i\delta}}_{\text{Achtung! Hier ist nicht } p^{0} = E_{p}}, \quad \text{denn } \int d^{4}x \exp(i(p - k)x) = (2\pi)^{4} \delta^{(4)}(p - k)
K_{1} = -\frac{\lambda^{2}}{2(4!)^{2}} \tilde{D}_{F}(p_{1} + p_{2} + p_{3}) = -\frac{\lambda^{2}}{2(4!)^{2}} \frac{i}{(p_{1} + p_{2} + p_{3})^{2} - m^{2} + i\delta} \tag{253}$$

Die Kontraktion K_2 liefert:



$$K_{2} = -\frac{\lambda^{2}}{2(4!)^{2}} \frac{i}{(p_{4} - k_{1} - k_{2})^{2} - m^{2} + i\delta}$$

$$= K_{1}, \quad \text{da } p_{1} + p_{2} + p_{3} + p_{4} \stackrel{(252)}{=} k_{1} + k_{2}$$

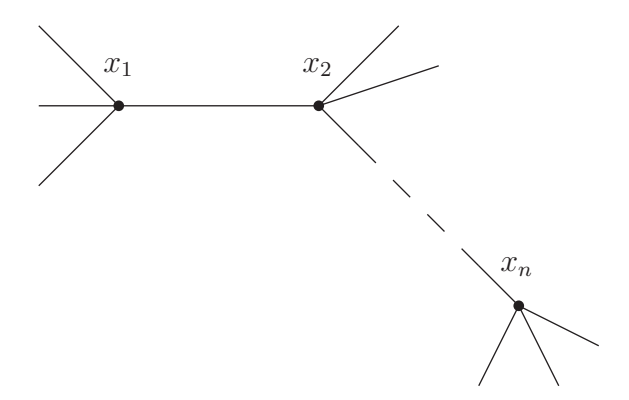
$$(254)$$

Aus (240):

$$S_{\beta\alpha}^{(2)} = -\left(\frac{\lambda}{4!}\right)^2 \frac{1}{2} \langle \vec{p}_1 \, \vec{p}_2 \, \vec{p}_3 \, \vec{p}_4 \, | \int d^4x \int d^4y \mathbf{T} \phi_I^4(x) \, \phi_I^4(y) | \vec{k}_1 \, \vec{k}_2 \, \rangle$$

ist offensichtlich, dass zwei Kontraktionen mit $\phi_I^4(x) \leftrightarrow \phi_I^4(y)$ das selbe Ergebnis liefern. Allgemein:

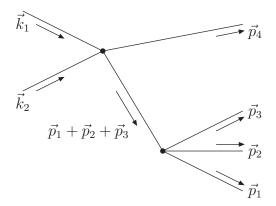
Ein Diagramm mit n Vertizes einer ϕ^m -Wechselwirkung



dass aus $\frac{1}{n!} \int d^4x_1 \cdots d^4x_n \, \phi^m(x_1) \cdots \phi^m(x_n)$ stammt, entspricht den n! Kontraktionen die sich durch Permutationen $x_1, \dots x_n$ auseinander gewinnen lassen. Alle ergeben dasselbe Ergebnis und der Vorfaktor $\frac{1}{n!}$ wird kompensiert.

⇒ In Feynman-Diagrammen muss man Vertizes nicht unterscheiden.

Es kommt bei Feynman-Diagrammen nur auf die Topologie an. Weiter bemerken wir an (253) und (254), dass wir der internen Linie unseres Diagramms 1 einen Impulsfluss zuordnen können.



D.h. die Integrationen $\int d^4x \int d^4y$ in (240) bewirken Impulserhaltung an jedem Vertex. Offensichtlich ändern Permutationen der Felder in einem Wechselwirkungsterm das Ergebnis nicht:

Ist der Vertex eines Diagrammes einer ϕ^m -Theorie mit m verschiedenen anderen Vertizes oder Impulsen in Zuständen verbunden, so entsprechen diesem Diagramm alle m! Kontraktionen, die sich durch Permutation der m Felder gewinnen lassen.

 \Rightarrow Der Faktor $\frac{1}{m!}$ aus der Kopplung $\frac{\lambda}{m!}$ wird aufgehoben. Diese Aufhebung ist nicht vollständig, wenn

1. zwei Vertizes mit mehr als einer Kontraktion verbunden sind, z.B.:



2. ein Vertex mit sich selbst verbunden ist, z.B.:

$$\vec{k}_1$$
 \vec{p}_1

Im ersten Fall finden wir für

$$: \qquad ... \phi_I(x)\phi_I(x)\phi_I(x)\phi_I(x)\phi_I(y)\phi_I(y)\phi_I(y)\phi_I(y)...$$

dass die simultane Vertauschung

$$\phi_I(x) \smallfrown \phi_I(x) \phi_I(y) \smallfrown \phi_I(y)$$

zur selben Kontraktion führt.

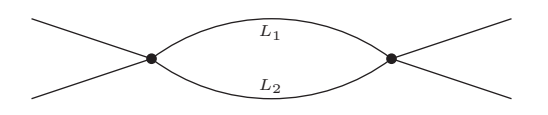
 \Rightarrow Zum Diagramm gehören nur $\frac{4!4!}{2}$ Kontraktionen.

Man spricht von einem "Symmetriefaktor $\frac{1}{2}$ ".

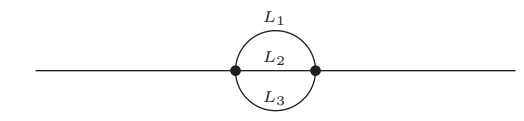
Den Symmetriefaktor kann man aus dem Diagramm ablesen: Unterscheidet man die Linien L_1, \ldots, L_n (aber nicht die Vertizes) eines Diagramms und ist das Diagramm invariant unter R Permutationen von Linien $L_{i_1}, \ldots L_{i_R}$, so trägt diese Symmetriegruppe einen Faktor $\frac{1}{R}$ zum Symmetriefaktor S bei. Gibt es mehrere solcher Permutationssymmetrische Untergraphen, dann ist der Symmetriefaktor das Produkt:

$$S = \frac{1}{R_1} \cdots \frac{1}{R_N}$$

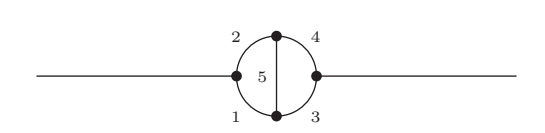
für N Untergraphen mit Anzahl R_n von Symmetrieoperationen. Beispiele:



Symmetrie bezüglich $L_1 \leftrightarrow L_2 \Rightarrow$ Symmetriefaktor $S = \frac{1}{2}$



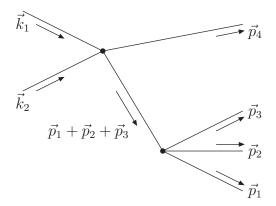
$$S = \frac{1}{3!} = \frac{1}{6}$$



Symmetrie unter der simultanen Vertauschung von $(1,3) \leftrightarrow (2,4)$ (und der zwei inneren Vertizes) \Rightarrow $S = \frac{1}{2}$

Im zweiten Fall findet man im Beispiel:

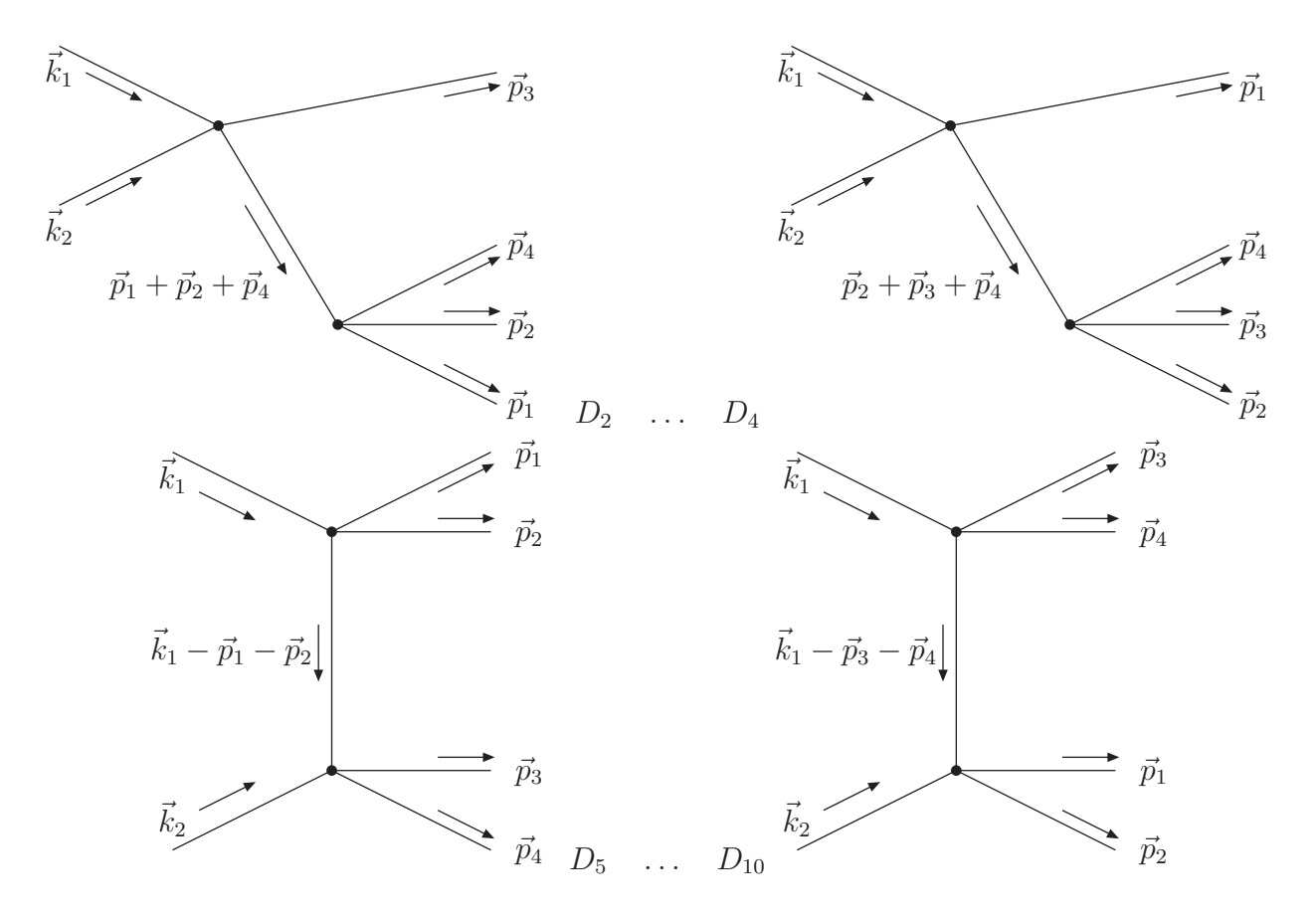
Die Vertauschung der kontraktierten Felder führt zur selben Kontraktion, es gibt also nur $\frac{1}{2} \cdot 4!$ unterschiedliche Kontraktionen zu diesem Diagramm \Rightarrow Symmetriefaktor $\frac{1}{2}$ \Rightarrow Ist ein Vertex durch n Linien mit sich selbst verbunden, so ist der Beitrag zum Symmetriefaktor S gleich $\frac{1}{2^n}$. Unserem Diagramm 1



entsprechen also $2 \cdot 4! \cdot 4! = 1152$ Kontraktionen. Ihre Summe ist

$$D_1 = 2(4!)^2 K_1 \stackrel{(254)}{=} -\lambda^2 \frac{i}{(k_1 + k_2 - p_4)^2 - m^2 + i\delta}$$
 (255)

Andere zusammenhängende Diagramme sind:



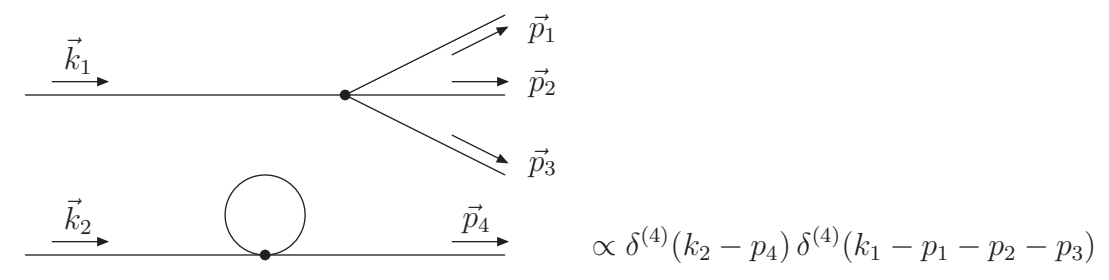
wobei sich D_1,\dots,D_4 bzw. D_5,\dots,D_{10} untereinander nur durch die Permutationen von $\vec{p}_1,\dots,\vec{p}_4$ unterscheiden

$$D_{5} = -\lambda^{2} \frac{i}{(k_{1} - p_{1} - p_{2})^{2} - m^{2} + i\delta}$$

$$D_{6} = -\lambda^{2} \frac{i}{(k_{1} - p_{1} - p_{3})^{2} - m^{2} + i\delta}$$

$$\vdots \quad \text{usw.}$$
(256)

Was ist mit unzusammenhängenden Graphen? Beispiel:



Dieser Graph ergibt 0, denn

$$\delta^{(4)}(k_1 - p_1 - p_2 - p_3) = \delta(E_{k_1} - E_{p_1} - E_{p_2} - E_{p_3}) \, \delta^{(3)}(\vec{k}_1 - \vec{p}_1 - \vec{p}_2 - \vec{p}_3)$$

und im Ruhesystem des Teilchens mit Impuls k_1 finden wir:

$$E_{k_1} = m, E_{p_i} = \sqrt{m^2 + \vec{p}_i^2} \ge m$$

$$\Rightarrow E_{k_1} - E_{p_1} - E_{p_2} - E_{p_3} \le -2m < 0$$

$$\Rightarrow \delta(E_{k_1} - E_{p_1} - E_{p_2} - E_{p_3}) = 0$$
(257)

Physikalisch beschreibt das Diagramm Teilchen, die sich verfehlen. Der Zerfall — ist wegen (257) **kinematisch verboten**. Damit können wir aus (255),(256) unser Endergebnis kompakt zusammenfassen:

$$S_{\beta\alpha}^{(2)} = -\lambda^{2} (2\pi)^{4} \delta^{(4)}(p_{1} + p_{2} + p_{3} + p_{4} - k_{1} - k_{2})$$

$$\cdot \left\{ \sum_{j=1}^{4} \frac{i}{(k_{1} + k_{2} - p_{j})^{2} - m^{2} + i\delta} + \sum_{\substack{i,j=1\\i < j}}^{4} \frac{i}{(k_{1} - p_{i} - p_{j})^{2} - m^{2} + i\delta} \right\}$$
(258)

Für einen 2 \rightarrow 2-Streuprozess sind unzusammenhängende Graphen wie

$$\vec{k_1}$$
 $\vec{p_1}$ $\vec{k_2}$ $\vec{p_2}$

nicht kinematisch verboten. Sie tragen aber nur für $\{k_1, k_2\} = \{p_1, p_2\}$ bei, also für die Vorwärtsstreuung (bei der sich die Teilchen verfehlen). Wir betrachten ab jetzt nur noch echte Streuprozesse mit $\{k_1, k_2\} \neq \{p_1, p_2\}$, in denen die unzusammenhängenden Graphen wegen $\delta^{(4)}(k_{1,2} - p_{1,2}) = 0$ verschwinden.

Zusammenfassung: Wir fassen die bisher gefundenen Feynman-Regeln für reelle KG-Felder mit $\mathcal{L}_I = -\frac{\lambda}{p!}\phi_I^p$ -Wechselwirkung zusammen:

Um

$$\langle p_1, \dots, p_N | S | k_1, \dots, k_M \rangle = \langle p_1, \dots, p_N | \mathbf{T} \exp \left(i \int d^4 x \, \mathcal{L}_I(x) \right) | k_1, \dots, k_M \rangle$$

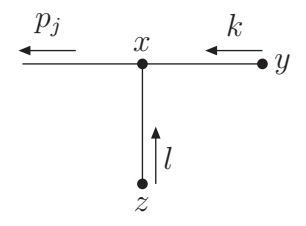
zur Ordnung λ^n zu berechnen, muss man folgende 3 Schritte durcharbeiten:

- 1. Zeichne alle Feynman-Graphen mit N+M externen Linien und n Vertizes mit jeweils p Linien und kennzeichne alle externen Linien mit einlaufenden $\vec{k}_1, \ldots, \vec{k}_M$ und auslaufenden $\vec{p}_1, \ldots, \vec{p}_N$.
- 2. Ordne jedem Vertex einen Raumzeitpunkt x, einen Term $-i\lambda\int d^4x$ und
 - jeder internen Linie zwischen Vertizes x und y einen Propagator $\overset{x}{\bullet}$ $\overset{y}{\bullet}$ $D_F(x-y)$ zu und
 - jeder mit Vertex x verbundenen, externen Linie einen Faktor $\exp(ip_jx)$ bzw. $\exp(-ik_jx)$ mit $p_j^0 = E_{p_j}, k_j^0 = E_{k_j}$ zu.
- 3. Multipliziere jedes Diagram mit seinem Symmetriefaktor.

Dies sind die "Ortsraum-Feynman-Regeln".

Einfacher: Impulsraum-Feynman-Regeln

Vertex:



x-abhängige Terme:

$$\int d^4x \exp(ip_j x) D_F(x-y) D_F(x-z)
\stackrel{(253)}{=} \int d^4x \exp(ip_j x) \int \frac{d^4k}{(2\pi)^4} \tilde{D}_F(k) \exp(-ikx) \int \frac{d^4l}{(2\pi)^4} \tilde{D}_F(l) \exp(-ilx)
= \int \frac{d^4k}{(2\pi)^8} (2\pi)^4 \delta^{(4)}(k+l-p_j) \tilde{D}_F(k) \tilde{D}_F(l) \quad \text{und mit } \tilde{D}_F(k) \stackrel{(253)}{=} \frac{i}{k^2 - m^2 + i\delta}
= \int \frac{d^4k}{(2\pi)^4} \frac{i}{k^2 - m^2 + i\delta} \frac{i}{(k-p_j)^2 - m^2 + i\delta}$$
(259)

D.h. die Feynman-Regel für unseren Vertex x und die anhängenden Propagatoren lautet:

$$p_{j}$$

$$p_{j} - k - i\lambda \int \frac{d^{4}k}{(2\pi)^{4}} \tilde{D}_{F}(k) \tilde{D}_{F}(p_{j} - k)$$

Die Impulse k und $l = p_j - k$ heißen innere Impulse. Damit finden wir die "Impulsraum-Feynman-Regeln":

- 1. Wie bei den Ortsraum-Feynman-Regeln
- 2. Ordne jedem Diagram einen Impulsfluss zu mit Impulserhaltung an jedem Vertex. Ordne
 - jedem Vertex einen Faktor $-i\lambda$ und
 - \bullet jeder internen Linie $\bullet \hspace{-1em} \stackrel{\overrightarrow{q}}{-\hspace{-1em}} \hspace{-1em} \bullet$ einen Propagator

$$\tilde{D}_F(q) = \frac{i}{q^2 - m^2 + i\delta}$$

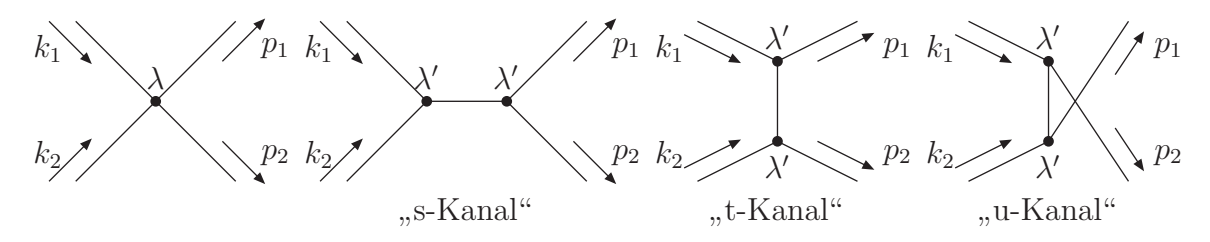
zu. Integriere mit $\int \frac{d^4k_j}{(2\pi)^4}$ über die verbleibenden inneren Impulse.

3. Wie bei Ortsraum-Feynman-Regeln

In unserem Beispielsprozess $S_{\beta\alpha}^{(2)}$ gibt es keine verbleibenden inneren Impulse, über die integriert werden müsste. Die Feynman-Regeln gelten auch, wenn mehrere Wechselwirkungen vorliegen, z.B. beim Higgs-Boson:

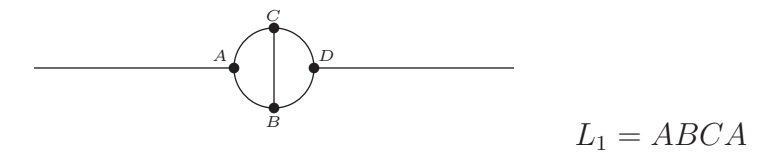
$$\mathcal{L}_I = -\frac{\lambda}{4!} \phi_I^4(x) - \frac{\lambda'}{3!} \phi_I^3(x)$$

 $2 \to 2$ -Prozess in Ordnung λ^1, λ'^2 :



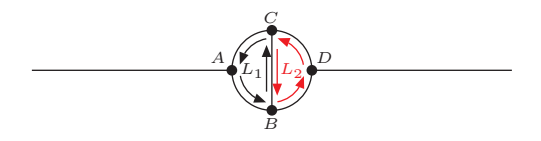
5.1.3 Nützliches aus der Graphentheorie:

Definition: Ein Weg über einen Graphen, der an seinen Ausgangspunkt zurückführt und dabei keine Linie in beiden Richtungen durchläuft, heißt **Schleife** oder **Loop**. Beispiel:



(Auf den Anfangspunkt kommt es nicht an.)

Der Weg ABA ist kein Loop. $(-L_j)$ ist die Schleife mit zu L_j umgekehrter Orientierung. Haben zwei Schleifen L_1, L_2 mindestens einen Vertex gemeinsam, so kann man die Verkettung $L_3 = L_1 \circ L_2$ dadurch definieren, dass L_3 alle Vertizes und Linien von $L_1 \cup L_2$ umfasst, außer denjenigen Linien, die von L_1 und L_2 in entgegengesetzter Richtung durchlaufen. Analog definiert man die Verkettung mehrerer Schleifen. Beispiel:



$$L_2 = BDCB, \ L_1 \cup L_2 = ABDCA$$

Ist für ein Diagramm D $\{L_1, \ldots, L_k\}$ die maximale Menge von Schleifen, so dass kein L_j eine Verkettung der übrigen L_i oder $(-L_i)$ ist, so bezeichnet man D als k-Schleifendiagramm oder sagt, dass D k Schleifen hat.

Das Beispiel hat also 2 Schleifen. Diagramme ohne Schleifen heißen Baumgraphen.

Euler-Theorem: Die Zahl L der Schleifen eines zusammenhängenden Graphen ergibt sich aus der Zahl N der internen Linien und der Zahl V der Vertizes durch:

$$L = N - V + 1 \tag{260}$$

Beispiele:

1.
$$N = 1, V = 2, L \stackrel{(260)}{=} 1 - 2 + 1 = 0$$
 (Baumgraph)

2.
$$N = 5$$
, $V = 4$, $L \stackrel{(260)}{=} 5 - 4 + 1 = 2$

3.
$$N = 5$$
, $V = 4$, $L \stackrel{(260)}{=} 5 - 4 + 1 = 2$

Betrachte Feynman-Graphen mit Anzahl V_n von ϕ^n -Vertizes und E externen Linien \Rightarrow Jeder ϕ^n -Vertex hat n-Linien und jede interne Linie gehört zu zwei Vertizes

$$\Rightarrow N = \frac{\sum_{n} n \cdot V_n - E}{2} \tag{261}$$

Mit obigen Beispielen:

1.
$$V_4 = 2$$
, $E = 6$, $N \stackrel{(261)}{=} \frac{4 \cdot 2 - 6}{2} = 1$

2.
$$V_3 = 4$$
, $E = 2$, $N \stackrel{(261)}{=} \frac{3 \cdot 4 - 2}{2} = 5$

3.
$$V_3 = 3$$
, $V_4 = 1$, $E = 3$, $N \stackrel{(261)}{=} \frac{3 \cdot 3 + 4 \cdot 1 - 3}{2} = 5$

Einsetzen von (261) in (260) liefert:

$$L = \frac{\sum_{n} n \cdot V_n - E}{2} - \sum_{n} V_n + 1 = \sum_{n} \left(\frac{n}{2} - 1\right) V_n - \frac{E}{2} + 1$$
 (262)

Für unsere Beispiele:

1.
$$L \stackrel{(262)}{=} 1 \cdot 2 - \frac{6}{2} + 1 = 0$$

2.
$$L \stackrel{(262)}{=} \frac{1}{2} \cdot 4 - \frac{2}{2} + 1 = 2$$

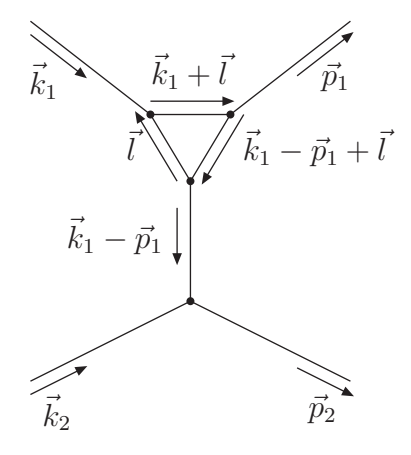
3.
$$L \stackrel{(262)}{=} \frac{1}{2} \cdot 3 + 1 \cdot 1 - \frac{3}{2} + 1 = 2$$

An (262) erkennt man: höhere Ordnungen λ^n der Störungstheorie entsprechen einer größeren Zahl von Loops. Für z.B. einen $2 \to 4$ -Prozess in einer ϕ^4 -Theorie ist $L = V_4 - 2$. Wegen $L \ge 0$ ist also λ^2 die niedrigste Ordnung Störungstheorie und λ^{2+n} entspricht n-Schleifendiagrammen. Impulsraum-Feynmanregeln: Von N inneren Impulsen lassen sich V durch die Impulserhaltung an den Vertizes eliminieren. Wegen der Gesamtimpulserhaltung ist eine der V Relationen redundant.

Mit (260) findet man: Es verbleiben Integrationen über $N-(V-1)\stackrel{(260)}{=}L$ innere Impulse, die man **Schleifen-** oder **Loop-Impulse** nennt.

Beispiel:

Einschleifen-Vertex-Korrektur in $2 \to 2$ -Streuung in einer ϕ^3 -Theorie.

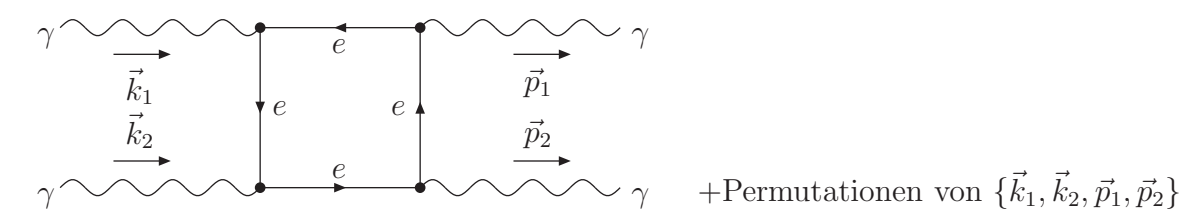


$$D_{V} = (-i\lambda^{4}) \frac{i}{(k_{1} - p_{1})^{2} - m^{2} + i\delta} \cdot \int \frac{d^{4}l}{(2\pi)^{4}} \frac{i}{l^{2} - m^{2} + i\delta} \frac{i}{(k_{1} - p_{1} + l)^{2} - m^{2} + i\delta} \frac{i}{(k_{1} + l)^{2} - m^{2} + i\delta}$$
(263)

Die Lösung aller Einschleifen-Integrale ist bekannt. Bei Zwei- und Mehrschleifen-Integralen kennt man nur Lösungen für Fälle mit wenigen kinematischen Variablen $(k_1 \cdot p_1, k_1 \cdot k_2, \dots)$ bzw. Massen. Die Ordnung Störungstheorie mit L = 0 nennt man **Born'sche Näherung**. Beiträge mit $L \ge 1$ nennt man **Strahlungskorrekturen**.

Es gibt auch Prozesse, die schon in niedrigster nichtverschwindender Ordnung $L \geq 1$ Schleifen haben.

Beispiel: Licht-Licht-Streuung



5.1.4 Komplexes KG-Feld:

 $(Teilchen \neq Antiteilchen!)$

$$\mathcal{L} = \partial_{\mu} \phi^* \partial^{\mu} \phi - m^2 \phi^* \phi - \frac{\lambda}{4} (\phi^* \phi)^2$$

Hier steht kein 4!, denn die Symmetriegruppe von $\phi \phi \phi^* \phi^* = \int_{\phi^*}^{\phi^*} \operatorname{ist} S_2 \times S_2$, mit nur $2! \cdot 2! = 4$ Elementen.

Propagator

$$\dot{y} \stackrel{\cdot}{x} \qquad D_F(x-y) = D_F(y-x) = \langle 0 \mid \mathbf{T}\phi(y)\phi^*(x) \mid 0 \rangle = \phi(\underline{y})\phi^*(x)
= \int \frac{d^4k}{(2\pi)^4} \exp(-ikx) \frac{i}{k^2 - m^2 + i\delta}$$
(264)

Für $y^0 > x^0$: Teilchen werden bei \vec{x} erzeugt und bei \vec{y} vernichtet. Für $x^0 > y^0$: Antiteilchen werden bei \vec{y} erzeugt und bei \vec{x} vernichtet.

Feynman-Regeln: Unterschiede zum reellen Klein-Gordon-Feld:

- 1. Linien haben einen Pfeil, dessen Orientierung den Fluss der erhaltenen Ladung aus der U(1)-Symmetrie angibt. Jede Wick-Kontraktion umfasst genau ein ϕ und ϕ^*
- 2. Als Folge von 1) ändern sich die Symmetriefaktoren, denn die Symmetrieoperation muss jetzt auch die Orientierung erhalten.

Beispiel:

- Reelles Klein-Gordon-Feld: Symmetrie-Operation $1 \leftrightarrow 2$ lässt Graph invariant $\Rightarrow S = 1/2$.
- Komplexes Klein-Gordon-Feld: keine Invarianz $\Rightarrow S = 1$



$$\dots \phi^{*2}(x)\phi^{2}(x)\phi^{*2}(y)\phi^{2}(y)\dots$$

5.2 Feynman Regeln für Dirac-Felder:

Propagator:
$$[S_{F}(x-y)]_{\alpha\beta} = \langle 0 \mid \mathbf{T}\psi_{\alpha}(x)\bar{\psi}_{\beta}(y) \mid 0 \rangle =: \psi_{\alpha}(x)\bar{\psi}_{\beta}(y)$$

$$= \int \frac{d^{4}p}{(2\pi)^{4}} \exp\left(-ip(x-y)\right) [\tilde{S}_{F}(p)]_{\alpha\beta} \qquad (265)$$

$$[\tilde{S}_{F}(p)]_{\alpha\beta} = \frac{i(p'_{\alpha\beta} + m\delta_{\alpha\beta})}{p^{2} - m^{2} + i\delta}, \qquad (266)$$

$$\text{und Spinorindex } \alpha, \beta \in \{1 \dots 4\}$$

$$y, \beta \xrightarrow{x}, \alpha \text{ bzw.} \qquad \beta \xrightarrow{\vec{p}} \alpha$$

Der Propagator $[S_F(x-y)]_{\alpha\beta}$ transportiert eine U(1)-Quantenzahl, die Fermionzahl und die in α und β enthaltene Information über Spin (und Teilchen-/Antiteilchencharakter) von y nach x.

Erinnerung: $\mathbf{T}\left[\psi_{\alpha}(x), \bar{\psi}_{\beta}(y)\right] = \theta(x^0 - y^0)\psi_{\alpha}(x)\bar{\psi}_{\beta}(y) - \theta(y^0 - x^0)\bar{\psi}_{\beta}(y)\psi_{\alpha}(x)$ Die zu (245) analoge Formel ist:

$$\mathbf{T}\left[\psi_{\alpha}(x), \bar{\psi}_{\beta}(y)\right] = :\psi_{\alpha}(x)\bar{\psi}_{\beta}(y): + \psi_{\alpha}(x)\bar{\psi}_{\beta}(y) \tag{267}$$

mit

$$\psi_{\alpha}(\underline{x})\bar{\psi}_{\beta}(y) = [S_F(x-y)]_{\alpha\beta} = \begin{cases} \{\psi_{\alpha}^+(x), \bar{\psi}_{\beta}^-(y)\} & \text{für } x^0 > y^0 \\ -\{\bar{\psi}_{\beta}^+(y), \bar{\psi}_{\alpha}^-(x)\} & \text{für } x^0 < y^0 \end{cases}$$
(268)

und

$$\psi_{\alpha}^{+}(x) = \int \frac{d^{3}\vec{p}}{(2\pi)^{3}} \frac{1}{\sqrt{2E_{p}}} \sum_{s} u_{\alpha}^{s}(\vec{p}) a_{p}^{s} \exp(-ipx) \big|_{p^{0}=E_{p}} \quad \text{vernichtet Fermion}$$

$$\psi_{\alpha}^{-}(x) = \int \frac{d^{3}\vec{p}}{(2\pi)^{3}} \frac{1}{\sqrt{2E_{p}}} \sum_{s} v_{\alpha}^{s}(\vec{p}) b_{p}^{s\dagger} \exp(ipx) \big|_{p^{0}=E_{p}} \quad \text{erzeugt Antifermion}$$

$$\bar{\psi}_{\beta}^{+}(y) = \int \frac{d^{3}\vec{p}}{(2\pi)^{3}} \frac{1}{\sqrt{2E_{p}}} \sum_{s} \bar{v}_{\beta}^{s}(\vec{p}) b_{p}^{s} \exp(-ipy) \big|_{p^{0}=E_{p}} \quad \text{vernichtet Antifermion}$$

$$\bar{\psi}_{\beta}^{-}(y) = \int \frac{d^{3}\vec{p}}{(2\pi)^{3}} \frac{1}{\sqrt{2E_{p}}} \sum_{s} \bar{u}_{\beta}^{s}(\vec{p}) a_{p}^{s\dagger} \exp(ipy) \big|_{p^{0}=E_{p}} \quad \text{erzeugt Fermion}$$

$$(269)$$

so dass (vgl. (176))

$$\psi(x) = \psi^{+}(x) + \psi^{-}(x) \tag{270a}$$

$$\bar{\psi}(y) = \bar{\psi}^+(y) + \bar{\psi}^-(y)$$
 (270b)

Ein-Teilchen-Zustände:

$$|\vec{p}s\rangle = \sqrt{2E_p} \, a_p^{s\dagger} |0\rangle$$
 Fermion (271a)

$$|\vec{p}\,\bar{s}\,\rangle = \sqrt{2E_p}\,b_p^{s\dagger}\,|\,0\,\rangle$$
 Antifermion (271b)

Vielteilchenzustände:

$$|\vec{p}_1 s_1 \dots \vec{p}_n s_n\rangle = \prod_{j=1}^n \sqrt{2E_{p_j}} a_{p_1}^{s_1 \dagger} |0\rangle$$
 (272)

Aus (269) und (272) findet man die Feynman-Regel für die Kontraktion mit Zuständen:

$$\psi_{\alpha}^{+}(x)|\vec{p}s\rangle = u_{\alpha}^{s}(\vec{p})\exp(-ipx)|0\rangle$$
(273)

entsprechend zu (273)

$$\langle \vec{p} \underline{s} | \overline{\psi_{\beta}}(y) = \bar{u}_{\beta}^{s}(\vec{p}) \exp(ipy) \langle 0 |$$

Und für Vielteilchenzustände

$$\psi_{\alpha}(x)|\vec{p}_1 s_1 \dots \vec{p}_j s_j \dots \vec{p}_n s_n\rangle = u_{\alpha}^{s_j}(\vec{p}_j) \exp(-ip_j x) |\vec{p}_1 s_1 \dots \widehat{\vec{p}_j s_j} \dots \vec{p}_n s_n\rangle$$
 (274)

Speziell für 2 Fermion-Zustand:

$$|\vec{p}_1 s_1, \vec{p}_2 s_2\rangle = \sqrt{2E_{p_1}} \sqrt{2E_{p_2}} a_{p_1}^{s_1 \dagger} a_{p_2}^{s_2 \dagger} |0\rangle$$
 (275)

(beachte gleiche Reihenfolge)

Fermion-Antifermion-Zustand:

$$|\vec{p}_{1}s_{1}, \vec{p}_{2}s_{2}\rangle := \sqrt{2E_{p_{1}}}\sqrt{2E_{p_{2}}}b_{p_{1}}^{s_{1}\dagger}a_{p_{2}}^{s_{2}\dagger}|0\rangle$$

$$\text{und } \langle \vec{p}_{1}s_{1}, \vec{p}_{2}s_{2}| := |\vec{p}_{1}s_{1}, \vec{p}_{2}s_{2}\rangle^{\dagger}$$

$$= \langle 0|a_{p_{2}}^{s_{2}}b_{p_{1}}^{s_{1}}\sqrt{2E_{p_{1}}}\sqrt{2E_{p_{2}}}$$

$$(276)$$

(anders definiert als in [Peskin, 4.118])

Das globale Vorzeichen einer Wick-Kontraktion

$$\langle \vec{p}_{1}s'_{1} \ \vec{p}_{2}s'_{2} | \mathbf{T} \phi \overline{\psi}\psi(x) \phi \overline{\psi}\psi(y) | \vec{k}_{1}s_{1} \ \vec{k}_{2}s_{2} \rangle \propto \langle 0 | \mathbf{T} a_{p_{1}}^{s'_{1}} a_{p_{2}}^{s'_{2}} \phi \overline{\psi}\psi(x) \phi \overline{\psi}\psi(y) a_{k_{1}}^{s_{1}\dagger} a_{k_{2}}^{s_{2}\dagger} | 0 \rangle$$
 (277)

Graphisch:

$$\vec{k}_1, s_1(3)$$
 \xrightarrow{y} $\vec{p}_2, s_2'(2)$ $\vec{k}_2, s_2(4)$ $\xrightarrow{\vec{k}_1, s_2(4)}$ $\vec{p}_1, s_1'(1)$

ist durch die Zahl der Permutationen gegeben, um die kontrahierten Operatoren in eine Standardreihenfolge $(\psi \bar{\psi})$ zu bringen:

$$\mathbf{T} \underbrace{a_{p_1}^{s_1'} \bar{\psi} \, \psi(x) a_{k_2}^{s_2\dagger}}_{\text{untere}} \underbrace{a_{p_2}^{s_2'} \bar{\psi} \, \psi(y) a_{k_1}^{s_1\dagger}}_{\text{obere}}$$
(278)

Ist die Fermionlinie nicht geschlossen, so kommt es auf die inneren Vertizes $\bar{\psi}\psi(x)$, $\bar{\psi}\psi(y)$ nicht an, denn z.B.

$$\mathbf{T} a_{\underline{p_2}}^{s_2'} \bar{\psi} \psi(x) = + \mathbf{T} \bar{\psi} \psi(x) a_{\underline{p_2}}^{s_2'}$$

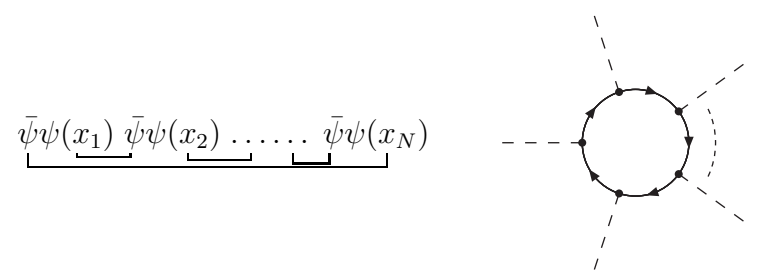
D.h. wir können anstelle von (278) einfach

$$a_{p_1}^{s_1'} a_{k_2}^{s_2\dagger} \ a_{p_2}^{s_2'} a_{k_1}^{s_1\dagger}$$

betrachten. Es ist eine gerade Permutation der ursprünglichen Reihenfolge in (277):

$$a_{p_1}^{s_1'} a_{p_2}^{s_2'} a_{k_1}^{s_1\dagger} a_{k_2}^{s_2\dagger}$$

d.h. das Vorzeichen ist+1. Weiter führen die Antivertauschungsrelationen zu Minuszeichen z.B. in Schleifen aus WW-Vertizes.



Die Felder der letzten Wick-Kontraktion stehen in der falschen Reihenfolge. (Man muss an 2N-1 Feldern vorbeitauschen.)

 $\bar{\psi}_{\beta}(x)\psi_{\alpha}(y) = -\psi_{\alpha}(y)\bar{\psi}_{\beta}(x) \Rightarrow \text{Faktor } -1 \text{ für jede Fermion-Schleife.}$

Man kann das Vorzeichen eines Feynman-Diagramms direkt ablesen:

1. Nummerierung der Fermionen wie in der Amplitude:

$$\langle \vec{p}_1 s_1', \vec{p}_2 s_2' | \dots | \vec{k}_1 s_1, \vec{k}_2 s_2 \rangle$$

Hinschreiben in der Reihenfolge, wie Fermionen kontrahiert sind, dabei *entgegen* der Fermionlinie lesen.

In unserem Beispiel: 23 14 (oder 14 23): gerade Permutation \Rightarrow Faktor +1 "Vorzeichen der Fermionkontraktion"

2. Faktor -1 für jede Fermion-Schleife

Beispiel zu 1.)

$$(3) \xrightarrow{\vec{k}_1} (2)$$

$$(4) \xrightarrow{\vec{k}_2} (1)$$

$$(3) \xrightarrow{\vec{k}_1} (2)$$

$$(4) \xrightarrow{\vec{k}_2} (2)$$

$$(4) \xrightarrow{\vec{k}_2} (2)$$

$$(4) \xrightarrow{\vec{k}_2} (2)$$

liefert Faktor $\operatorname{sgn}(1423) = +1$ bzw. $\operatorname{sgn}(1324) = -1$ \Rightarrow "Relatives Minuszeichen für gekreuzte Fermionlinien" (geht via $1 \leftrightarrow 2$ aus anderem Diagramm hervor)

Da physikalische Observablen proportional zu $\left| \langle \vec{p}_1 s_1', \vec{p}_2 s_2' | \mathbf{S} | \vec{k}_1 s_1, \vec{k}_2 s_2 \rangle \right|^2$ sind, kommt es nur auf das relative Vorzeichen an.

5.2.1 Feynmanregeln für Dirac-Fermionen mit Yukawa-Wechselwirkung

$$\mathcal{L}_I = -y\,\bar{\psi}(x)\psi(x)\,\phi(x)$$

mit der Yukawa-Kopplung yund einem reellen KG-Feld ϕ (z.B. Higgsfeld), Fermionmasse m, Bosonmasse M

• Fermion-Propagator:

$$\frac{\vec{p}}{\alpha \beta} \qquad \frac{i \left[p + m \right]_{\alpha\beta}}{p^2 - m^2 + i\delta}$$

• Skalarer Propagator:

$$\frac{\vec{p}}{p^2 - M^2 + i\delta}$$

• Fermion-Boson Vertex:

$$\alpha$$
 $-iy\delta_{\alpha\beta}$

• Externe Fermionen:

	Fermion	Antifermion
einlaufendes	$\beta, s \\ \vec{p} \\ u_{\beta}^{s}(\vec{p})$	$\vec{v}_{\alpha}^{s}(\vec{p})$
	\vec{p}	$ec{p}$, s
auslaufendes	$ / \bar{u}_{\alpha}^{s}(\vec{p}) $	$\sim v_{\beta}^{s}(\vec{p})$

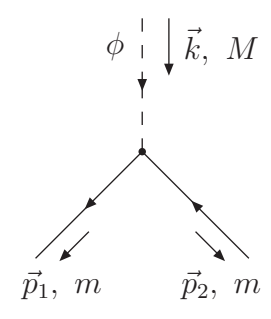
• Externe skalare Bosonen:

- Faktor –1 für Fermionschleife
- \bullet Globaler Vorfaktor -1 abhängig von Kontraktion der externen Fermionen
- Symmetriefaktor

Baumgraphen: immer = 1 in allen Theorien 1-Loop: immer = 1 in Yukawa-Theorie

5.3 Zerfallsrate und Streuquerschnitt

Ein massives Teilchen, das an hinreichend leichte Teilchen koppelt, ist instabil und kann zerfallen:



Für M > 2m ist der Zerfall kinematisch erlaubt.

Erweiterung des Konzepts der asymptotischen Zustände auf instabile Teilchen:

$$|\vec{k},t\rangle_{in} \stackrel{t \to -\infty}{\longrightarrow} |\vec{k}\rangle \in \mathcal{F}$$

macht keinen Sinn, weil ein instabiles Teilchen nur eine endliche Zeit lebt. Jedoch war wegen der Lorentzinvarianz ohnehin

$$|\vec{k}\rangle_{in} = |\vec{k}\rangle_{out} = |\vec{k}\rangle \in \mathcal{F}$$

D.h. ein Zustand mit *einem* instabilen Teilchen ist einfach durch $|\vec{k}\rangle_{in} = |\vec{k}\rangle \in \mathcal{F}$ gegeben. Man definiert:

$$S = 1 + i T$$

(mit der T-Matrix für "transition") und nutzt die Impulserhaltung aus

$$\langle \vec{p}_1 \dots \vec{p}_N \mid \mathbf{T} \mid \vec{p}_A \rangle =: (2\pi)^4 \delta^{(4)} (\vec{p}_A - \vec{p}_1 - \dots - \vec{p}_N) \mathcal{M}_{A \to B_1 \dots B_N} (\vec{p}_1 \dots \vec{p}_N)$$
 (279)

 $\mathcal{M}_{A \to B_1 \dots B_N}$ heißt **Matrixelement** zum Prozess $A \to B_1 \dots B_N$ **Zerfallsrate**:

$$\Gamma(A \to B_1 \dots B_N) :=$$
 Zahl der Zerfälle pro Zeiteinheit des Teilchens A in den Endzustand $f = \{B_1 \dots B_N\}$

(Γ ist zeitunabhängig wegen Poincaré-Invarianz)

Totale Zerfallsrate

$$\Gamma_{tot} = \sum_{f} \Gamma \left(A \to f \right)$$

wobei über *alle* erlaubten Endzustände summiert wird. Beispiel:

$$A = \text{Z-Boson}, f = e\bar{e}, \mu\bar{\mu}, \dots, b\bar{b}, e\bar{e}\gamma, \dots$$

$$N(t)$$
 = Zahl der instabilen Teilchen zur Zeit t

$$N\left(t\right) = N\left(0\right) \exp\left(-\Gamma_{tot}t\right), \qquad \tau = \frac{1}{\Gamma_{tot}} \text{ heißt Lebensdauer von } A$$

Differentielle Zerfallsrate für Impulse der B_i im Volumenelement $d^3\vec{p}_1, \dots d^3\vec{p}_N$ um $(\vec{p}_1, \dots \vec{p}_N)$

$$d\Gamma = \frac{1}{2E_A} \left(\prod_f \frac{d^3 \vec{p_f}}{(2\pi)^3} \frac{1}{2E_f} \right) |\mathcal{M}_{A \to B_1 \dots B_N} (\vec{p_1} \dots \vec{p_N})|^2 (2\pi)^4 \delta^{(4)} (\vec{p_A} - \sum_{i=1}^N \vec{p_i}) \quad (280)$$

 $d\,\Gamma \ = \ {\rm Wahrscheinlichkeit}$ für den Zerfall $A \to B_1 \dots B_N$

Der Vorfaktor in (280) ist eine Konsequenz der Normierung in (131):

$$\langle \vec{q} \mid \vec{p} \rangle = 2E_p (2\pi)^3 \delta^{(3)} (\vec{q} - \vec{p})$$

(280) ist die übliche Wahrscheinlichkeitsinterpretation von QM Amplituden

$$\prod_{f} \frac{d^{3}\vec{p_{f}}}{(2\pi)^{3}} \frac{1}{2E_{f}} =: d LIPS \text{ heißt differentielles Lorentzinvariantes Phasenraumelement}$$

"Lorentz-invariant phase space" (Phasenraum = Impulsraum \mathbb{R}^3)

$$\Gamma(A \to B_1 \dots B_N) = \int \dots \int d\Gamma \frac{1}{n_1!} \dots \frac{1}{n_l!}$$
(281)

wenn es jeweils $n_1 \dots n_l$ identische Teilchen unter den $B_1 \dots B_n$ gibt.

Beispiel: $Z \to e^- e^- e^+ e^+$: $n_1 = 2, n_2 = 2$

Begründung:

 $a^\dagger_{p_1}a^\dagger_{p_2}|0\>\rangle=|\vec{p_1},\vec{p_2}\>\rangle$ ist derselbe Zustand wie $|\vec{p_2},\vec{p_1}\>\rangle$

Gleichung (280) und (281) beziehen sich auf den Fall, dass die Spins der (Anti-)Fermionen im Endzustand festgelegt sind. In der Praxis interessiert man sich meist für den Fall, dass die Spins nicht gemessen werden, d.h. es ist über alle Spin-Einstellungen zu summieren. Ebenso ist in der Regel der Spin eines zerfallenden (Anti-)Fermions oder Spin-1-Bosons unbekannt, und die gemessene Zerfallsrate impliziert eine Mittelung über die Spin-Einstellungen des Anfangzustands. D.h. beim Zerfall eines Skalars in Fermionen und Antifermionen misst man:

$$\bar{\Gamma}(A \to B_1 \dots B_N) := \sum_{s_1 = -1/2}^{1/2} \dots \sum_{s_N = -1/2}^{1/2} \Gamma(A \to B_1 \dots B_N)$$
(282)

Insbesondere ist die totale Zerfallsrate als $\bar{\Gamma}_{tot}$ zu lesen.

5.3.1 Feynman-Regeln für massive Vektorbosonen

$$\begin{bmatrix} u^{\alpha}(x) \\ \tilde{u}^{\alpha}(k) \end{bmatrix}$$
 Proca-Feld im $\left\{ \begin{array}{c} \text{Ortsraum} \\ \text{Impulsraum} \end{array} \right.$

Proca-Gleichung (beschreibt freies, massives Spin-1-Teilchen) (74)

$$(74) \Rightarrow \begin{bmatrix} \Box g^{\beta\alpha} - \partial^{\beta}\partial^{\alpha} + M^{2}g^{\beta\alpha} \end{bmatrix} u_{\alpha}(x) = 0 \\ \left[(k^{2} - M^{2}) g^{\beta\alpha} - k^{\beta}k^{\alpha} \right] \tilde{u}_{\alpha}(k) = 0 \end{bmatrix}$$

$$(283)$$

Propagator $\tilde{D}^{\alpha\beta}(k)$ ist Green-Funktion zu (283) (vgl. (165) für Skalarfeld).

$$\left[(k^2 - M^2) g^{\beta}_{\alpha} - k^{\beta} k_{\alpha} \right] \tilde{D}^{\alpha \beta'}(k) = -i g^{\beta \beta'}$$
(284)

Der Ansatz $\tilde{D}^{\alpha\beta'}(k) = iak^{\alpha}k^{\beta'} + ibg^{\alpha\beta'}$ liefert in (284)

$$(k^{2} - M^{2})(ak^{\beta}k^{\beta'} + bg^{\beta\beta'}) - ak^{2}k^{\beta}k^{\beta'} - bk^{\beta}k^{\beta'} = -g^{\beta\beta'}$$

$$g^{\beta\beta'}((k^{2} - M^{2})b + 1) + k^{\beta}k^{\beta'}((k^{2} - M^{2})a - ak^{2} - b) = 0$$

$$b = -\frac{1}{k^{2} - M^{2}}, \quad -aM^{2} - b = 0 \Rightarrow a = \frac{1}{M^{2}}\frac{1}{k^{2} - M^{2}}$$

$$\Rightarrow \tilde{D}^{\alpha\beta'}(k) = -\frac{i}{k^{2} - M^{2}}\left[g^{\alpha\beta'} - \frac{k^{\alpha}k^{\beta'}}{M^{2}}\right]$$
(285)

Um das richtige Vorzeichen zu bestimmen, muss man $\langle 0 \mid \mathbf{T} u^{\alpha}(x) u^{\beta}(y) \mid 0 \rangle = D^{\alpha\beta}(x-y)$ betrachten.

$$\begin{array}{ccc}
& & & \\
\alpha & & \beta & -\frac{i}{k^2 - M^2 + i\delta} \left[g^{\alpha\beta} - \frac{k^{\alpha}k^{\beta}}{M^2} \right]
\end{array} (286)$$

Zerlegung nach ebenen Wellen:

$$u_{\mu}(x) = \int \frac{d^{3}\vec{p}}{(2\pi)^{3}} \frac{1}{\sqrt{2E_{p}}} \sum_{r} \left[\epsilon_{\mu}^{(r)} a_{p}^{(r)} \exp(-ipx) + \epsilon_{\mu}^{(r)*} a_{p}^{(r)\dagger} \exp(ipx) \right] \Big|_{p^{0} = E_{p}}$$
(287a)

mit
$$\left[a_p^{(r)}, a_{p'}^{(s)}\right] = 0, \qquad \left[a_p^{(r)}, a_{p'}^{(s)\dagger}\right] = (2\pi)^3 \,\delta^{(3)}(\vec{p} - \vec{p'})\,\delta_{rs}$$
 (287b)

Man erwartet naiv 4 mögliche Polarisationsvektoren $\epsilon_{\mu}^{(r)}$ für das massive Vektorboson, jedoch ist die Matrix $\left[g^{\alpha\beta}-k^{\alpha}k^{\beta}\ /\ M^{2}\right]$ in (285),(286) singulär wegen

$$\left(g^{\alpha\beta} - \frac{k^{\alpha}k^{\beta}}{M^2}\right)k_{\beta} = 0$$
(288)

für $k^2=M^2$. Koppelt (286) an einen Strom j_β (z.B. $j_\beta=\bar{\psi}\gamma_\beta\psi$) und zerlegen wir

$$j_{\beta} = a_0 \epsilon_{\beta}^{(0)} + a_1 \epsilon_{\beta}^{(1)} + a_2 \epsilon_{\beta}^{(2)} + a_3 \epsilon_{\beta}^{(3)}$$
(289)

mit $\epsilon_{\beta}^{(0)} \propto k_{\beta}$, so ist $\tilde{D}^{\alpha\beta} \epsilon_{\beta}^{(0)} \stackrel{(286)}{=} a^{\alpha}$

und die a_0 – Komponente trägt nicht zur Amplitude bei.

Klassische Physik:

Die Lösung von

$$\left[\left(k^{2}-M^{2}\right)g^{\beta\alpha}-k^{\beta}k^{\alpha}\right]u_{\alpha}^{inh}\left(x\right)=j^{\beta}\left(x\right)$$

ist

$$u_{\alpha}^{inh} = \int i D_{\alpha}^{\beta} (x - y) j_{\beta}(y) d^{4}y$$

und die a_0- Komponente von $j^{\beta}\left(y\right)$ trägt nicht bei wegen (288).

 \Rightarrow Das massive Vektorfeld hat (wie aus der Darstellungstheorie der SO(3) erwartet) nur drei physikalische Komponenten.

$$\text{Polarisations vektoren für } k^{\mu} = \begin{pmatrix} E \\ 0 \\ 0 \\ \mid \vec{k} \mid \end{pmatrix}$$

$$\epsilon^{(1)\beta} = \epsilon^{(+)\beta} = \frac{1}{\sqrt{2}} \begin{pmatrix} 0 \\ 1 \\ i \\ 0 \end{pmatrix} \quad \epsilon^{(2)\beta} = \epsilon^{(-)\beta} = \frac{1}{\sqrt{2}} \begin{pmatrix} 0 \\ 1 \\ -i \\ 0 \end{pmatrix} \quad \epsilon^{(3)\beta} = \epsilon^{(L)\beta} = \frac{1}{M} \begin{pmatrix} \mid \vec{k} \mid \\ 0 \\ 0 \\ E \end{pmatrix}$$
 transporatel residucing transporate links bindig.

transversal rechtshändig transversal linkshändig Sie erfüllen für i, j = 1, 2, 3:

$$\epsilon_{\mu}^{(i)} \epsilon^{*(j)\mu} = -\delta_{ij}$$

$$\text{und } k^{\mu} \epsilon_{\mu}^{(i)} = 0$$

$$(290)$$

(Insbesondere sind Re $\epsilon_{\mu}^{(i)}$, Im $\epsilon_{\mu}^{(i)}$ raumartig). Damit findet man die **Polarisationssumme**:

$$\sum_{j=1}^{3} \epsilon^{(j)\alpha*} \epsilon^{(j)\beta}
= \frac{1}{2} \begin{pmatrix} 0 \\ 1 \\ -i \\ 0 \end{pmatrix} \begin{pmatrix} 0 & 1 & i & 0 \end{pmatrix} + \frac{1}{2} \begin{pmatrix} 0 \\ 1 \\ i \\ 0 \end{pmatrix} \begin{pmatrix} 0 & 1 & -i & 0 \end{pmatrix} + \frac{1}{M^{2}} \begin{pmatrix} |\vec{k}| \\ 0 \\ 0 \\ E \end{pmatrix} \begin{pmatrix} |\vec{k}| & 0 & 0 & E \end{pmatrix}
= \begin{pmatrix} \frac{\vec{k}^{2}}{M^{2}} & 0 & 0 & \frac{|\vec{k}| E}{M^{2}} \\ 0 & 1 & 0 & 0 \\ 0 & 0 & 1 & 0 \\ \frac{|\vec{k}| E}{M^{2}} & 0 & 0 & \frac{E^{2}}{M^{2}} \end{pmatrix} = \frac{k^{\alpha}k^{\beta}}{M^{2}} - g^{\alpha\beta}$$
(291)

Hätten wir $D^{\alpha\beta}\left(x-y\right)=\left\langle \left.0\right.\right|\mathbf{T}\left.u^{\alpha}\left(x\right)u^{\beta}\left(y\right)\left.\left.\right|\left.0\right.\right\rangle$ mit (287a) bezeichnet, so wären wir auf

$$\left[-g^{\alpha\beta} + \frac{k^{\alpha}k^{\beta}}{M^2}\right] = \sum_{j=1}^{3} \epsilon^{(j)\alpha*} \epsilon^{(j)\beta}$$

gestoßen. Wir können also oBdA. $\epsilon_{\mu}^{(0)}$ in (287a) weglassen.

$$\sum_{r} \to \sum_{r=1}^{3} \Rightarrow k_{\mu} \tilde{u}^{\mu}(k) = 0 \tag{292}$$

bzw.
$$\partial_{\mu}u^{\mu}(x) = 0$$
(Lorentz-Bedingung) (293)

Feynman-Regeln für

• $g_V \bar{\psi} \gamma^{\mu} \psi + g_A \bar{\psi} \gamma^{\mu} \gamma_5 \psi$ Vertex

$$\sum_{k}^{j} ig_{V} \left[\gamma^{\mu}\right]_{jk} + ig_{A} \left[\gamma^{\mu}\gamma_{5}\right]_{jk}$$
(294)

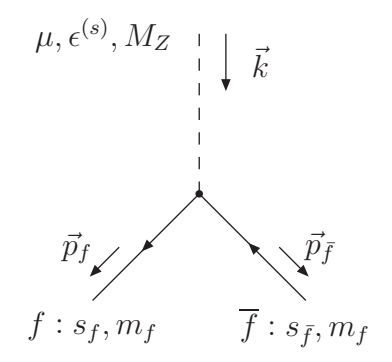
• externe Bosonlinien (folgt aus (287a))

einlaufend
$$\frac{\epsilon_{\mu}(p)}{\mu} = \epsilon_{\mu}(p)$$
auslaufend
$$\frac{\epsilon_{\mu}(p)}{p} = \epsilon_{\mu}^{*}(p)$$

 \Rightarrow Mit diesen Feyman-Regeln können wir nun auch W- und Z-Bosonen behandeln: W-Bosonen sind komplexe Felder mit $(W^{-\mu})^{\dagger} = W^{+\mu}$. Die Feynman-Regeln für ein komplexes

Vektorfeld sind identisch, die W^- - Linie hat jedoch einen Pfeil.

5.3.2 Z-Zerfall in Fermion-Antifermion-Paar



Ist kinematisch durch $\delta^{(4)}$ ($k-p_f-p_{\bar{f}}$) festgelegt. $k=\begin{pmatrix} M_Z & 0 & 0 & 0 \end{pmatrix}$, $E_f+E_{\bar{f}}=M_Z$, $\vec{k}_f=-\vec{k}_{\bar{f}}\Rightarrow E_f=E_{\bar{f}}=\frac{M_Z}{2}$ und $|\vec{p}_f|^2=|\vec{p}_{\bar{f}}|^2=E_f^2-m_f^2$ $\mathcal{M}=g_V\mathcal{M}_V+g_A\mathcal{M}_A$

Vektor-Anteil:

$$i\mathcal{M}_{V} = i \epsilon_{\mu}^{(s)}(k) \, \bar{u}(p_{f}, s_{f}) \, \gamma^{\mu} \, v(p_{\bar{f}}, s_{\bar{f}})$$

$$\sum_{s_{f}, s_{\bar{f}}} |\mathcal{M}_{V}|^{2} = \sum_{s_{f}, s_{\bar{f}}} \mathcal{M}_{V}^{*} \mathcal{M}_{V}, \qquad \mathcal{M}_{V}^{*} = -i \, \epsilon_{\nu}^{(s)*}(k) \, v^{\dagger}(p_{\bar{f}}, s_{\bar{f}}) \, \gamma^{\nu\dagger} \gamma^{0} \, u(p_{f}, s_{f})$$

$$= \sum_{s_{f}, s_{\bar{f}}} \epsilon_{\mu}^{(s)}(k) \, \epsilon_{\nu}^{(s)*}(k) \, \bar{v}(p_{\bar{f}}, s_{\bar{f}}) \, \gamma^{\nu} \, u(p_{f}, s_{f}) \, \bar{u}(p_{f}, s_{f}) \, \gamma^{\mu} \, v(p_{\bar{f}}, s_{\bar{f}}) \qquad (296)$$

Polarisationssumme für Fermionen:

$$\sum_{s_f} u(p_f, s_f) \bar{u}(p_f, s_f) = p_f' + m$$
 (297a)

$$\sum_{s_{\bar{f}}} v(p_{\bar{f}}, s_{\bar{f}}) \bar{v}(p_{\bar{f}}, s_{\bar{f}}) = \not p_{\bar{f}} - m$$
 (297b)

$$\Rightarrow \sum_{s_f, s_{\bar{f}}} |\mathcal{M}_V|^2 = \epsilon_{\mu}^{(s)}(k) \; \epsilon_{\nu}^{(s)*}(k) \, \text{tr} \left[\gamma^{\nu} \left(p_f' + m \right) \gamma^{\mu} \left(p_{\bar{f}}' - m \right) \right]$$

$$= 4 \epsilon_{\mu}^{(s)}(k) \; \epsilon_{\nu}^{(s)*}(k) \left[p_f^{\mu} p_{\bar{f}}' + p_f^{\nu} p_{\bar{f}}'' - g^{\mu\nu} \left(p_f p_{\bar{f}} + m^2 \right) \right]$$
(298)

Für die totale Zerfallsrate mittlen wir über alle 3 Polarisationen des Z-Bosons

$$\sum_{s_f, s_{\bar{f}}} \overline{\left| \mathcal{M}_V \right|^2} := \frac{1}{3} \sum_{s=1}^3 \sum_{s_f, s_{\bar{f}}} \left| \mathcal{M}_V \right|^2$$

Alle 3 Polarisationen tragen dasselbe zu $\bar{\Gamma}_{tot}$ bei, weil im Ruhesystem des Z-Bosons keine z-Richtung ausgezeichnet ist und die Definitionen "transversal" und "longitudinal" keinen Sinn macht.

Polarisationssumme (291):

$$\sum_{s=1}^{3} \epsilon_{\mu}^{(s)*} \epsilon_{\nu}^{(s)} = \frac{k_{\mu} k_{\nu}}{M^{2}} - g_{\mu\nu}$$

Damit folgt aus (298) (mit $\epsilon_{\mu}^{(s)} \epsilon_{\nu}^{(s)*} g^{\mu\nu} \stackrel{(290)}{=} -1$)

$$\sum_{s_f, s_{\bar{f}}} \overline{|\mathcal{M}_V|^2} = \frac{1}{3} \left[8 \frac{(p_f \, k)(p_{\bar{f}} \, k)}{M_Z^2} - 8p_f \, p_{\bar{f}} \right] + 4(p_f \, p_{\bar{f}} + m^2) = \frac{8}{3} \frac{(p_f \, k)(p_{\bar{f}} \, k)}{M_Z^2} + \frac{4}{3} p_f \, p_{\bar{f}} + 4m^2 \quad (299)$$

Alle Skalarprodukte in (299) lassen sich durch Massen ausdrücken:

$$2(p_f \ p_{\bar{f}}) = \underbrace{(p_f + p_{\bar{f}})^2}_{k^2 = M_z^2} - \underbrace{p_f^2}_{m^2} - \underbrace{p_{\bar{f}}^2}_{m^2} = M_Z^2 - 2m^2$$

$$2(p_f \ k) = p_f^2 + k^2 - \underbrace{(k - p_f)^2}_{p_{\bar{f}}^2} = M_Z^2$$

$$(299): \sum_{s_f, s_{\bar{f}}} \overline{|\mathcal{M}_V|^2} = \frac{2}{3} M_Z^2 + \frac{2}{3} (M_Z^2 - 2m^2) + 4m^2 = \frac{4}{3} M_Z^2 + \frac{8}{3} m^2 = \frac{4}{3} (M_Z^2 + 2m^2)$$
 (300)

⇒ keine Richtungsabhängigkeit, isotrop

Analog zu \mathcal{M}_V in (298) findet man für \mathcal{M}_A :

$$\Rightarrow \sum_{s_f, s_{\bar{f}}} |\mathcal{M}_A|^2 = \epsilon_{\mu}^{(s)}(k) \, \epsilon_{\nu}^{(s)*}(k) \operatorname{tr} \left[\gamma^{\nu} \gamma_5 \left(p_f' + m \right) \gamma^{\mu} \gamma_5 \left(p_{\bar{f}}' - m \right) \right]$$

$$= 4 \epsilon_{\mu}^{(s)}(k) \, \epsilon_{\nu}^{(s)*}(k) \left[p_f^{\mu} p_{\bar{f}}^{\nu} + p_f^{\nu} p_{\bar{f}}^{\mu} - g^{\mu\nu} \left(p_f p_{\bar{f}} - m^2 \right) \right]$$

$$\Rightarrow \sum_{s_f, s_{\bar{f}}} \overline{|\mathcal{M}_A|^2} = \frac{8}{3} \frac{(p_f \, k)(p_{\bar{f}} \, k)}{M_Z^2} + \frac{4}{3} p_f \, p_{\bar{f}} - 4 m^2 = \frac{4}{3} (M_Z^2 - 4 m^2)$$

Der Interferenzterm zwischen \mathcal{M}_V und \mathcal{M}_A verschwindet, wenn (zur Berechnung von Γ_{tot}) über die Impulse $d^3\vec{p_f}$ $d^3\vec{p_f}$ integriert wird. Damit wird die Spin-summierte differentielle Zerfallsrate

(siehe (280)) im Ruhesystem ($E_Z = M_Z$) zu:

$$\begin{split} d \; \bar{\Gamma} &:= & \frac{1}{3} \sum_{s=1}^{3} \sum_{s_f, s_{\bar{f}}} d \; \Gamma \\ &\stackrel{(300)}{=} & \frac{1}{2M_Z} \frac{d^3 \vec{p_f} \; d^3 \vec{p_{\bar{f}}}}{(2\pi)^6 2E_f 2E_{\bar{f}}} (2\pi)^4 \delta^{(4)} (k - p_f - p_{\bar{f}}) \frac{4}{3} \left[M_Z^2 (g_V^2 + g_A^2) + 2m^2 (g_V^2 - 2g_A^2) \right] 301) \end{split}$$

Die Totale Zerfallsrate ist also:

$$\bar{\Gamma} = \frac{M_Z^2(g_V^2 + g_A^2) + 2m^2(g_V^2 - 2g_A^2)}{6\pi^2 M_Z} \underbrace{\int \frac{d^3 \vec{p}_f}{2E_f} \frac{d^3 \vec{p}_{\bar{f}}}{2E_{\bar{f}}} \delta^{(4)}(k - p_f - p_{\bar{f}})}_{\text{Phasenraumintegral}}$$
(302)

Trick für das Phasenraumintegral:

$$\int \frac{d^3 \vec{p}_{\bar{f}}}{2E_{\bar{f}}} = \int d^4 p_{\bar{f}} \ \delta(p_{\bar{f}}^2 - m^2) \ \theta(p_{\bar{f}}^0)$$

$$\begin{split} I &= \int \frac{d^{3}\vec{p_{f}}}{2E_{f}} \frac{d^{3}\vec{p_{f}}}{2E_{f}} \delta^{(4)}(k - p_{f} - p_{\bar{f}}) = \int \frac{d^{3}\vec{p_{f}}}{2E_{f}} d^{4}p_{\bar{f}} \; \delta(p_{\bar{f}}^{2} - m^{2}) \; \theta(p_{\bar{f}}^{0}) \; \delta^{(4)}(k - p_{f} - p_{\bar{f}}) \\ &= \int \frac{d^{3}\vec{p_{f}}}{2E_{f}} \; \delta((k - p_{f})^{2} - m^{2}) \; \theta(k^{0} - p_{f}^{0}) = \int \frac{d^{3}\vec{p_{f}}}{2E_{f}} \; \delta(M_{Z}^{2} - 2k \; p_{f}) \; \theta(k^{0} - p_{f}^{0}) \\ &\text{Lorentzinvariant} \Rightarrow \text{Wähle Bezugssystem} \\ &k = \left(M_{Z} \quad 0 \quad 0 \quad 0\right)^{\top} \Rightarrow k \; p_{f} = M_{Z} \sqrt{\vec{p_{f}}^{2} + m^{2}} \\ &I = \int \frac{d^{3}\vec{p_{f}}}{2E_{f}} \; \delta(M_{Z}^{2} - 2M_{Z} \sqrt{\vec{p_{f}}^{2} + m^{2}}) \; \theta(k^{0} - p_{f}^{0}) \\ &\text{Polarkoordinaten} \; d^{3}\vec{p_{f}} = |\vec{p_{f}}|^{2} \; d \; |\vec{p_{f}}| \; d\varphi \; d \cos \vartheta \\ &I = 4\pi \int_{0}^{\infty} \frac{|\vec{p_{f}}|^{2} \; d \; |\vec{p_{f}}|}{2\sqrt{|\vec{p_{f}}|^{2} + m^{2}}} \; \delta(M_{Z}^{2} - 2M_{Z} \sqrt{|\vec{p_{f}}|^{2} + m^{2}}) \; \theta \left(M_{Z} - \sqrt{|\vec{p_{f}}|^{2} + m^{2}}\right) \\ &= 2\pi \left[\frac{|\vec{p_{f}}|^{2}}{\sqrt{|\vec{p_{f}}|^{2} + m^{2}}} \left(2M_{Z} \frac{2\; |\vec{p_{f}}|}{2\sqrt{|\vec{p_{f}}|^{2} + m^{2}}}\right)^{-1}\right] \bigg|_{|\vec{p_{f}}| = \sqrt{\frac{M_{Z}^{2}}{4} - m^{2}}} \; \theta \; \left(\frac{M_{Z}^{2}}{4} - m^{2}\right) \\ &= \frac{\pi}{2M_{Z}} \sqrt{M_{Z}^{2} - 4m^{2}\theta} \left(\frac{M_{Z}^{2}}{4} - m^{2}\right) \end{split} \tag{303}$$

Einsetzen in (302) (Betrachte $M_Z > 2m$)

$$\bar{\Gamma}(Z \to f \,\bar{f}) = \frac{M_Z^2(g_V^2 + g_A^2) + 2m^2(g_V^2 - 2g_A^2)}{12\pi M_Z^2} \sqrt{M_Z^2 - 4m^2}$$
(304)

Fermionen, in die das Z zerfallen kann:

Quarks	g_V	g_A	
b,s,d	-0,13	0, 19	
u,c	0,071	-0,19	(305)
Leptonen	g_V	g_A	(303)
Leptonen e, μ, τ	$g_V = -0,014$	$\begin{array}{c} g_A \\ 0, 19 \end{array}$	(509)

Quarks tragen einen inneren Freiheitsgrad, die zugehörige Quantenzahl heißt **Farbe**. Sie gehört zu einer SU(3)-Symmetrie mit fundamentalem Triplett

$$\begin{pmatrix} q_R \\ q_G \\ q_B \end{pmatrix}$$

wobei q=u,d,c,s,b,t ein Quarkflavor ist und R,G,B für "rot", "grün" und "blau" steht. \Rightarrow Faktor 3 für jedes Quark aus Summe über R,G,B.

Die Zerfallsraten in $\gamma\gamma$, gg sind klein, ebenso wie die in 3-Körper-Endzustände. Alle Fermionenmassen sind vernachlässigbar (m=0). Partielle Zerfallsraten:

$$\Gamma(Z \to f \bar{f}) = \frac{M_Z}{12\pi} (g_V^2 + g_A^2), \quad M_Z = 91, 2 \,\text{GeV}$$
 (306)

Quarks:

$$\Gamma(Z \to q \,\bar{q}) = \sum_{j=r,g,b} \Gamma(Z \to q_j \,\bar{q}_j) = 3\Gamma(Z \to q_R \,\bar{q}_R)$$

$$q = d, s, b : \Gamma(Z \to q \bar{q}) = \frac{M_Z}{4\pi} \cdot 0,051 = 371 \,\text{MeV}$$
 (307a)

$$q = u, c : \Gamma(Z \to q \,\bar{q}) = \frac{M_Z}{4\pi} \cdot 0,040 = 288 \,\text{MeV}$$
 (307b)

Leptonen:

$$l = e, \mu, \tau : \Gamma(Z \to l^+ l^-) = \frac{M_Z}{12\pi} \cdot 0,035 = 84 \,\text{MeV}$$
 (308a)

$$\nu = \nu_e, \nu_\mu, \nu_\tau : \Gamma(Z \to \nu \bar{\nu}) = \frac{M_Z}{12\pi} \cdot 0,069 = 167 \,\text{MeV}$$
 (308b)

Experiment (siehe [PDT, S. 374])

$$\Gamma_{exp}(Z \to \text{Hadronen}) = 1744 \pm 2 \,\text{MeV}$$
 (309)

(Hadronen := stark wechselwirkende Teilchen)

Vergleich mit Theorie:

$$\sum_{q=u,d,c,s,b} \Gamma(Z \to q \,\bar{q}) = (3 \cdot 371 + 2 \cdot 288) \,\text{MeV} = 1689 \,\text{MeV}$$
 (310)

$$\Gamma_{exp}(Z \to e^+e^-) = 83,9 \pm 0,1 \,\text{MeV}$$
 (311a)

$$\Gamma_{exp}(Z \to \mu^+ \mu^-) = 84, 0 \pm 0, 2 \,\text{MeV}$$
 (311b)

$$\Gamma_{exp}(Z \to \tau^+ \tau^-) = 84, 0 \pm 0, 2 \,\text{MeV}$$
 (311c)

Die unsichtbare Z-Zerfallsrate stimmt mit (308) überein:

$$\Gamma_{exp}^{inv}(Z) = 499 \pm 1,5 \,\text{MeV} \tag{312}$$

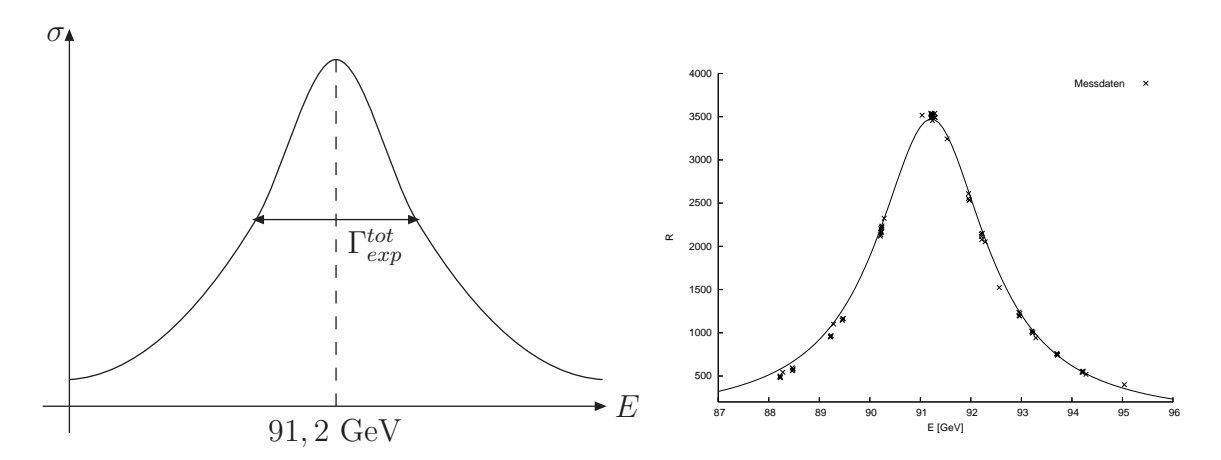
Vergleich:

$$\sum_{\nu=\nu_e,\nu_\mu,\nu_\tau} \Gamma(Z \to \nu \,\bar{\nu}) = 3 \cdot 167 \,\text{MeV} = 501 \,\text{MeV}$$
(313)

 \Rightarrow Direkter Nachweis (am LEP-1 Experiment am CERN), dass es 3 leichte Neutrinos gibt! Wie misst man es?

$$\Gamma_{exp}^{inv} := \Gamma_{exp}^{tot} - \Gamma_{exp}^{vis}$$

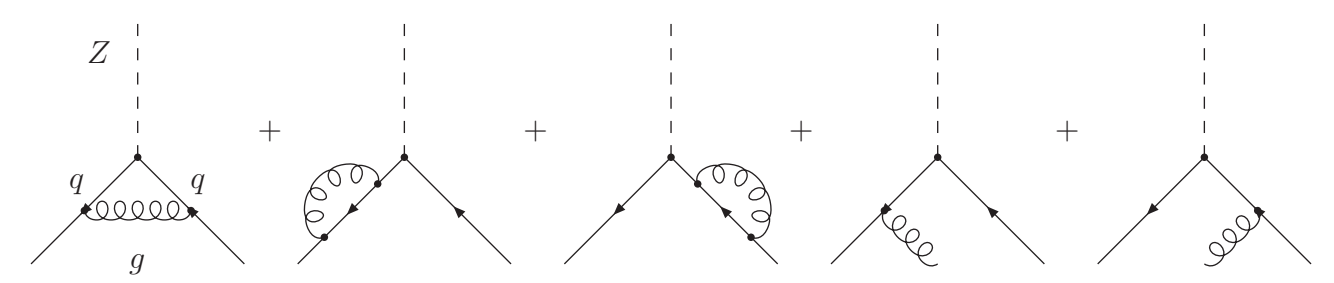
 $(\Gamma^{vis}_{exp} = \mathbf{sichtbare} \ \mathbf{Zerfallsbreite} \)$



E = Energie im Schwerpunktsystem von $e^+e^- \to Z^{(*)} \to f \bar{f}$ Totale Z-Breite:

$$\Gamma_{exp}^{tot}(Z) = 2495, 2 \pm 2, 3 \,\text{MeV}$$
(314)

Ursache für Diskrepanz zwischen (309) und (310): QCD-Strahlungskorrekturen 1-Loop:



Effekt: $(g_S = QCD-Strahlungskonstante)$

$$\alpha_S = \frac{g_S^2}{4\pi} = 0, 12$$

$$\Gamma(Z \to q \bar{q}) = \underbrace{\Gamma^{(0)}(Z \to q \bar{q})}_{\text{Baumgraphresultat}} \underbrace{\left[1 + \frac{\alpha_S}{\pi}\right]}_{\approx 1.038}$$
(315)

Mit (310) finden wir also:

$$\Gamma(Z \to \text{Hadronen}) = 1689 \,\text{MeV} \cdot 1,038 = 1753 \,\text{MeV}$$
 (316)

Dies stimmt mit (309) auf 0,5% Genauigkeit überein. $d\Gamma$ ohne Mittelung über Z-Polarisation:

Nutze aus:

•
$$p_{\bar{f}} = k - p_f \Rightarrow \epsilon_{\nu}^{(s)*}(k) \ p_{\bar{f}}^{\nu} = \underbrace{\epsilon_{\nu}^{(s)*}(k) \ k^{\nu}}_{=0 \ (290)} - \epsilon_{\nu}^{(s)*}(k) \ p_f^{\nu} \ \text{und} \ \epsilon_{\mu}^{(s)}(k) \ p_{\bar{f}}^{\mu} = -\epsilon_{\mu}^{(s)}(k) \ p_f^{\mu}$$

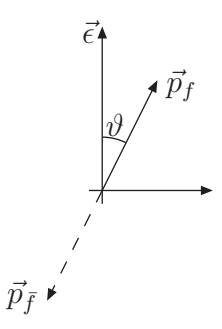
•
$$\epsilon_{\mu}^{(s)}(k) \, \epsilon_{\nu}^{(s)*}(k) \, g^{\mu\nu} \stackrel{(290)}{=} -1$$

•
$$2p_f p_{\bar{f}} = M_Z^2 - 2m^2$$

Damit wird (298) zu:

$$\sum_{s_f, s_{\bar{f}}} |\mathcal{M}_V|^2 = 4 \left[-2 \left| \epsilon^{(s)}(k) \, p_f \right|^2 + p_f \, p_{\bar{f}} + m^2 \right] \stackrel{(317)}{=} -8 \left| \epsilon^{(s)}(k) \, p_f \right|^2 + 2M_Z^2 \tag{317}$$

Wählen wir $\epsilon^{(s)}$ reell, z.B. $\epsilon^{(s)} = \begin{pmatrix} 0 & 0 & 0 & 1 \end{pmatrix}^{\top}$ und definieren $\epsilon^{(s)}$ $p_f = |\vec{p_f}| \cos \vartheta$ im Ruhesystem,



so ist mit $|\vec{p_f}|=\sqrt{E_f^2-m^2}=\sqrt{\frac{M_Z^2}{4}-m^2}$ (317) gleich:

$$\sum_{s_f, s_{\bar{f}}} |\mathcal{M}_V|^2 = -2(M_Z^2 - 4m^2)\cos^2\vartheta + 2M_Z^2 = 2M_Z^2\sin^2\vartheta + 8m^2\cos^2\vartheta \tag{318}$$

Analog zu (317) und (318) erhält man:

$$\sum_{s_f, s_{\bar{f}}} |\mathcal{M}_A|^2 = 4 \left[-2 \left| \epsilon^{(s)}(k) \, p_f \right|^2 + p_f \, p_{\bar{f}} - m^2 \right] = \sum_{s_f, s_{\bar{f}}} |\mathcal{M}_A|^2 - 8m^2 = 2(M_Z^2 - 4m^2) \sin^2 \vartheta$$

Mit (280) können wir die differentielle Zerfallsrate für ein polarisiertes Z-Boson ausrechnen. Vektoranteil:

$$d\Gamma_V(Z \to f \bar{f}) = \frac{1}{8\pi^2 M_Z} g_V^2 \frac{d^3 \vec{p}_f}{2E_f} \frac{d^3 \vec{p}_{\bar{f}}}{2E_{\bar{f}}} \delta^{(4)}(k - p_f - p_{\bar{f}}) (2M_Z^2 \sin^2 \vartheta + 8m^2 \cos^2 \vartheta)$$
(319)

Wir setzen $d^3\vec{p}_f = |\vec{p}_f|^2 d |\vec{p}_f| d\varphi d \cos \vartheta$ und integrieren über \vec{p}_f und über φ und $|\vec{p}_f|$, analog zur Berechnung von (303)

$$\frac{d \Gamma_V(Z \to f \bar{f})}{d \cos \vartheta} := \int d^3 \vec{p}_f \int_0^\infty |\vec{p}_f|^2 d |\vec{p}_f| \int_0^{2\pi} d\varphi d \Gamma_V(Z \to f \bar{f})$$

$$= \frac{1}{16\pi M_Z^2} \sqrt{M_Z^2 - 4m^2} g_V^2 (M_Z^2 \sin^2 \vartheta + 4m^2 \cos^2 \vartheta) \tag{320}$$

Integration über $d\cos\theta$ reproduziert $\bar{\Gamma}$ in (304)

$$\frac{d\Gamma_A(Z \to f\bar{f})}{d\cos\vartheta} = \frac{1}{16\pi M_Z^2} \sqrt{M_Z^2 - 4m^2} g_A^2 (M_Z^2 - 4m^2) \sin^2\vartheta$$

Für m=0 ist also:

$$\frac{d\Gamma(Z \to f\bar{f})}{d\cos\vartheta} = \frac{M_Z}{16\pi} (g_A^2 + g_V^2) (1 - \cos^2\vartheta)$$
(321)

(321) bedeutet, dass es für (m = 0) keinen Zerfall in Richtung des Z-Spins gibt:

$$\frac{d\Gamma}{d\cos\vartheta} = 0 \quad \text{für } \vartheta = 0, \ \pi$$

Die bevorzugte Richtung ist transversal. Beim LEP-I Experiment wurden Z-Bosonen über $e^+e^- \to Z$ produziert, sie waren bevorzugt transversal polarisiert.

$$e^+$$
 $\epsilon^{(s)}$ e^-

5.3.3 Dreikörperzerfälle

Lorentz-Invarianter n-Teilchen-Phasenraum: (Notation aus [PDT, Kap 38.4])

$$E_{j} = \sqrt{\vec{p}_{j}^{2} + m^{2}}, \qquad P^{2} = M^{2}$$

$$d\phi_{n}(P; p_{1}, \dots p_{n}) = \delta^{(4)} \left(P - \sum_{j=1}^{n} p_{j}\right) \prod_{j=1}^{n} \frac{d^{3} \vec{p}_{j}}{(2\pi)^{3} 2E_{j}}$$
(322)

$$n = 3: q := p_1 + p_2 = P - p_3$$

$$d\phi_3 = \delta^{(4)} (P - p_1 - p_2 - p_3) \frac{d^3 \vec{p_1} \ d^3 \vec{p_2} \ d^3 \vec{p_3}}{(2\pi)^9 2E_1 2E_2 2E_3}$$

$$(323)$$

Nun ist $\delta^{(4)}(P - p_1 - p_2 - p_3) = \int d^4q \ \delta^{(4)}(P - q - p_3) \ \delta^{(4)}(q - p_1 - p_2), \ (p_1^0 + p_2^0 > 0 \Rightarrow q^0 > 0)$ und

$$\delta^{(4)}(q - p_1 - p_2) \frac{d^3 \vec{p}_1}{(2\pi)^6 2E_1 2E_2} = d\phi_2(q; p_1, p_2)$$

Mit $s := q_0^2 - \vec{q}^2$ ist $q_0 = \sqrt{s + \vec{q}^2}$ und

$$\int_{0}^{\infty} dq^{0} \delta^{(4)}(P - q - p_{3}) \underbrace{f(q; p_{3})}_{\text{beliebige Funktion}} = \int_{0}^{\infty} \frac{ds}{2\sqrt{s + \vec{q}^{2}}} \delta^{(4)}(P - q - p_{3}) f(q; p_{3}) \bigg|_{q^{0} = \sqrt{s + \vec{q}^{2}}}$$

$$\Rightarrow \int_{q^{0} > 0} d^{4}q \frac{d^{3}\vec{p}_{3}}{(2\pi)^{3} 2E_{3}} = \int ds \int \frac{d^{3}\vec{q} d^{3}\vec{p}_{3}}{2\sqrt{s + \vec{q}^{2}}(2\pi)^{3} 2E_{3}}$$

$$\int_{q^0>0} d^4q \frac{d^3\vec{p}_3}{(2\pi)^3 2E_3} \delta^{(4)}(P-q-p_3) = \int_{\underbrace{0}}^{\infty} ds (2\pi)^3 \int_{\underbrace{\vec{q}}} d\phi_2(P;q,p_3) \quad \text{mit } q^2 = s$$
 (324)

{1}: Integration über alle fiktiven Massen

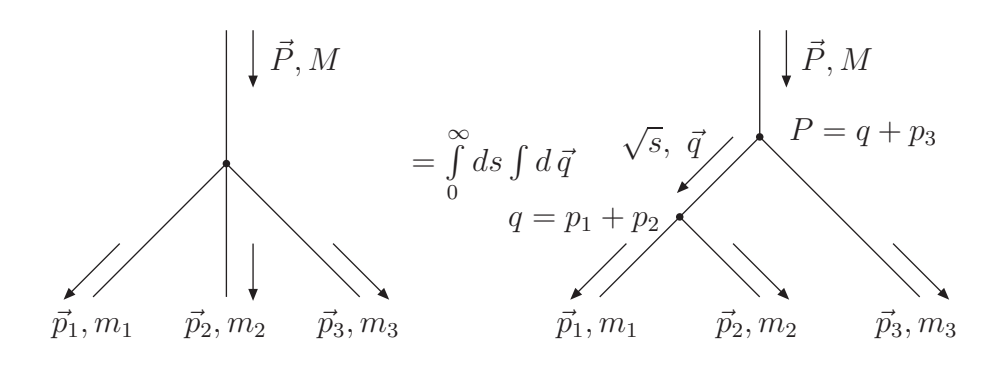
{2}: Zwei-Teilchen-Phasenraum eines Zerfalls eines Teilchens mit Masse M in Teilchen 3 und ein fiktives Teilchen mit Masse \sqrt{s} und Impuls q. (Integration über \vec{q} , nicht \vec{p}_3 .) Mit (324) wird (323) zu

$$d\phi_3(P; p_1, p_2, p_3) = (2\pi)^3 \int_{s_{\min}}^{s_{\max}} ds \int_{\vec{q}} d\phi_2(P; q, p_3) \, d\phi_2(q; p_1, p_2)$$
(325)

"Faktorisierung des Phasenraums" (ist eigentlich eine Faltung)

$$d\phi_3(P; p_1, p_2, p_3) = (2\pi)^3 \int_0^\infty ds \int_{\vec{q}} d\phi_2(P; q, p_3) d\phi_2(q; p_1, p_2)$$

Graphisch:



 \sqrt{s} heißt die **invariante Masse** des Teilchenpaars (1,2)

Beispiel:

$$B = \int d\phi_3(P, p_1, p_2, p_3) f(p_1 p_2) = (2\pi)^{-9} \int_0^\infty ds \int \frac{d^3 \vec{q}}{2\sqrt{s + \vec{q}^2}} \int \frac{d^3 \vec{p}_3}{2E_3} \delta^{(4)}(P - q - p_3)$$

$$\int \frac{d^3 \vec{p}_1}{2E_1} \int \frac{d^3 \vec{p}_2}{2E_2} \delta^{(4)}(q - p_1 - p_2) f(p_1 p_2)$$

$$\text{Nun ist } p_1 p_2 = \frac{q^2 - p_1^2 - p_2^2}{2} = \frac{s - m_1^2 - m_2^2}{2}$$

$$B = (2\pi)^{-9} \int_0^\infty ds \int \frac{d^3 \vec{q}}{2\sqrt{s + \vec{q}^2}} \int \frac{d^3 \vec{p}_3}{2E_3} \delta^{(4)}(P - q - p_3) f\left(\frac{s - m_1^2 - m_2^2}{2}\right)$$

$$\underbrace{\int \frac{d^3 \vec{p}_1}{2E_1} \int \frac{d^3 \vec{p}_2}{2E_2} \delta^{(4)}(q - p_1 - p_2)}_{=:I(q^2, m_1^2, m_2^2) \text{ aus } (303)}$$

 $I(q^2, m_1^2, m_2^2)$ ist das 2-Teilchen-Phasenraumintegral aus (303) lediglich mit verschiedenen Massen.

$$I(M^{2}, m_{a}^{2}, m_{b}^{2}) = \frac{\pi}{2M^{2}} \lambda(M^{2}, m_{a}^{2}, m_{b}^{2}) \theta(M - m_{a} - m_{b})$$

$$\text{mit } \lambda(a, b, c) := \sqrt{a^{2} + b^{2} + c^{2} - 2ab - 2ac - 2bc} = \left[(a + b - c)^{2} - 4ab \right]^{1/2}$$
 (326)

 λ^2 heißt Källén-Funktion. Das $\vec{q}, \vec{p_3}-$ Integral ist *ebenfalls* das 2-Teilchen-Phasenraumintegral aus (303)! $\frac{I}{(2\pi)^2}$ heißt **2-Körper-Phasenraumelement** (setze M=1). Also:

$$B = (2\pi)^{-9} \int_{0}^{\infty} ds \, f\left(\frac{s - m_{1}^{2} - m_{2}^{2}}{2}\right) \, I(P^{2}, q^{2}, m_{3}^{2}) \, I(q^{2}, m_{1}^{2}, m_{2}^{2})$$

$$= (2\pi)^{-9} \int_{0}^{\infty} ds \, f\left(\frac{s - m_{1}^{2} - m_{2}^{2}}{2}\right) \, \theta(M - \sqrt{s} - m_{3}) \, \theta(\sqrt{s} - m_{1} - m_{2})$$

$$= \frac{\pi^{2}}{4M^{2}s} \lambda(M^{2}, s, m_{3}^{2}) \, \lambda(s, m_{1}^{2}, m_{2}^{2})$$

$$= \frac{(2\pi)^{-7}}{16M^{2}} \int_{(m_{1} + m_{2})^{2}}^{(M - m_{3})^{2}} \frac{ds}{s} \, f\left(\frac{s - m_{1}^{2} - m_{2}^{2}}{2}\right) \, \lambda(M^{2}, s, m_{3}^{2}) \, \lambda(s, m_{1}^{2}, m_{2}^{2})$$

$$(327)$$

(Referenz zum Thema Phasenraum: H. Pietschmann)

Das Dreikörperphasenraumvolumen erhält man aus B mit $f(...) = (2\pi)^4$. (327) ist selbst für f = 1 nicht elementar lösbar, es ist ein elliptisches Integral. Eigenschaften der Källén-Funktion:

• $\lambda(a,b,c)$ ist symmetrisch in a,b,c

$$\lambda(M^2, m_a^2, m_b^2) = \sqrt{(M^2 - (m_a + m_b)^2)(M^2 - (m_a - m_b)^2)}$$
(328)

$$\lambda(a,b,0) \stackrel{(326)}{=} |a-b| \tag{329a}$$

$$\lambda((p_1 + p_2)^2, p_1^2, p_2^2) = 2\sqrt{(p_1 \cdot p_2)^2 - p_1^2 \cdot p_2^2}$$
(329b)

Wir lösen B in (327) für $m_2 = m_3 = 0$, $m_1 = m$, M > m und $f(x) = (2\pi)^4$:

$$B = \frac{(2\pi)^{-7}}{16M^2} \int_{m^2}^{M^2} \frac{ds}{s} (2\pi)^4 \underbrace{(M^2 - s)}_{(329a)} \underbrace{(s - m^2)}_{(329a)} = \frac{(2\pi)^{-3}}{16M^2} \int_{m^2}^{M^2} ds \left[-s + M^2 + m^2 - \frac{m^2 M^2}{s} \right]$$

$$= \frac{(2\pi)^{-3}}{16M^2} \left[\frac{1}{2} (M^4 - m^4) - m^2 M^2 \ln \left(\frac{M^2}{m^2} \right) \right]$$

$$= 3\text{-K\"{o}rper-Phasenraumelement f\"{u}r } m_2 = m_3 = 0$$

$$(330)$$

Für m = M verschwindet B.

Für m = 0 findet man:

$$B = M^2 \frac{1}{32(2\pi)^3} = M^2 \frac{\pi}{(4\pi)^4}$$
 (331)

Vergleich mit 2-Körper-Phasenraumvolumen in (303) für m=0

$$\frac{I(M^2, 0, 0)}{(2\pi)^2} = 2\frac{\pi}{(4\pi)^2} \tag{332}$$

Faustregel: Jedes zusätzliche Teilchen im Endzustand kostet einen Faktor $\frac{1}{16\pi^2} \approx \frac{1}{150}$ \Rightarrow Vielteilchenzerfälle sind im allgemeinen unterdrückt.

Eine wichtige Anwendung von (325) ist der **Dalitz-Plot**.

Überlegung: Führen 4 Impulsintegrationen über $d\phi_3$ in (323) aus, so dass $\delta^{(4)}(P-p_1-p_2-p_3)$ verschwindet, es verbleiben 9-4=5 Variablen des Phasenraums. Davon sind 3 nur Eulerwinkel, die die Lage der Zerfallsebene im Raum beschreiben. Die physikalische Dynamik der Zerfalls eines unpolarisierten Teilchens häng also nur von 5-3=2 Variablen ab. Man wählt

$$s_{12} = (p_1 + p_2)^2 = (P - p_3)^2$$
 (333a)

$$s_{23} = (p_2 + p_3)^2 = (P - p_1)^2$$
 (333b)

Im Ruhesystem $P = \begin{pmatrix} M & 0 & 0 & 0 \end{pmatrix}^{\top}$ ist gerade:

$$s_{12} = P^2 - 2P p_3 + p_3^2 = M^2 + m_3^2 - 2ME_3$$
 (334a)

$$s_{23} = M^2 + m_1^2 - 2ME_1 (334b)$$

d.h. die Variablen s_{12} , s_{23} hängen mit den Energien E_3 , E_1 zusammen, die im Experiment gemessen werden. Die differentielle, unpolarisierte Zerfallsrate ist (siehe (280)):

$$d\bar{\Gamma} = \frac{1}{2M} \left(\prod_{f} \frac{d^{3}\vec{p_{f}}}{(2\pi)^{3}} \frac{1}{2E_{f}} \right) \overline{|\mathcal{M}|^{2}} (2\pi)^{4} \delta^{(4)} (P - p_{1} - p_{2} - p_{3}) = \frac{(2\pi)^{4}}{2M} d\phi_{3} (P; p_{1}, p_{2}, p_{3}) \overline{|\mathcal{M}|^{2}}$$
(335)

Nun hängt $\overline{|\mathcal{M}|^2}$ von den Skalarprodukten $p_1 p_2, p_2 p_3$ und $p_1 p_3$ (und deren Massen) ab. Es ist

$$2p_{1} p_{2} = s_{12} - m_{1}^{2} - m_{2}^{2}$$

$$2p_{2} p_{3} = s_{23} - m_{2}^{2} - m_{3}^{2}$$

$$\text{und } 2p_{1} p_{3} = (p_{1} + p_{3})^{2} - m_{1}^{2} - m_{3}^{2} = (P - p_{2})^{2} - m_{1}^{2} - m_{3}^{2}$$

$$= M^{2} - m_{1}^{2} + m_{2}^{2} - m_{3}^{2} - 2 \underbrace{P}_{=p_{1} + p_{2} + p_{3}} p_{2} = -s_{12} - s_{23} + M^{2} + m_{2}^{2}$$
(336)

D.h. $\overline{|\mathcal{M}|^2}$ hängt nur von den Massen und s_{12}, s_{23} ab. Die differentielle Zerfallsrate

$$\frac{d\bar{\Gamma}}{ds_{12}\,ds_{23}} := \frac{(2\pi)^4}{2M} \int \delta(s_{12} - (p_1 + p_2)^2) \,\delta(s_{23} - (p_2 + p_3)^2) \,d\phi_3(P; p_1, p_2, p_3) \,\overline{|\mathcal{M}|^2}$$

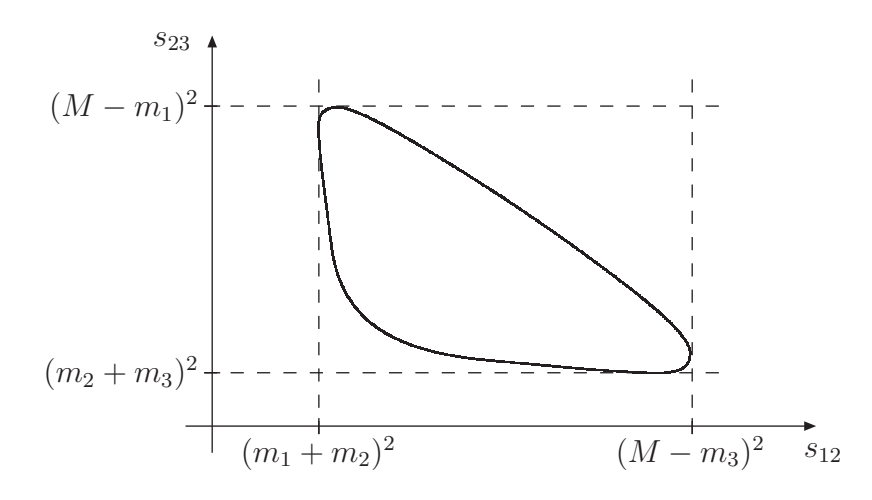
ist also einfach zu berechnen, weil $\overline{|\mathcal{M}|^2}$ vor das Phasenraumintregral gezogen werden kann:

$$\frac{d\bar{\Gamma}}{ds_{12}ds_{23}} = \frac{(2\pi)^4}{2M} \overline{|\mathcal{M}|^2} (s_{12}, s_{23}) \int \delta(s_{12} - (p_1 + p_2)^2) \, \delta(s_{23} - (p_2 + p_3)^2) \, d\phi_3(P; p_1, p_2, p_3)$$
(337)

Integriert man über $d^3\vec{p_1}d^3\vec{p_2}d^3\vec{p_3}$, so findet man

$$\frac{d\bar{\Gamma}}{ds_{12} ds_{23}} = \frac{1}{(2\pi)^3} \frac{M}{64} |\overline{\mathcal{M}}|^2 = \frac{1}{(2\pi)^3} \frac{1}{32\pi^3} |\overline{\mathcal{M}}|^2$$
(338)

wobei s_{12} und s_{23} so gewählt sind, dass der Zerfall kinematisch erlaubt ist $((m_1 + m_2)^2 \le s_{12} \le (M - m_3)^2$, usw.). Die Auftragung von $\frac{d\bar{\Gamma}}{ds_{12} ds_{23}}$ gegen s_{12}, s_{23} nennt man **Dalitz-Plot**.



Konstantes $\overline{|\mathcal{M}|^2}$ bedeutet, dass $\frac{d \bar{\Gamma}}{ds_{12} ds_{23}}$ im markierten Bereich konstant ist und außerhalb verschwindet.

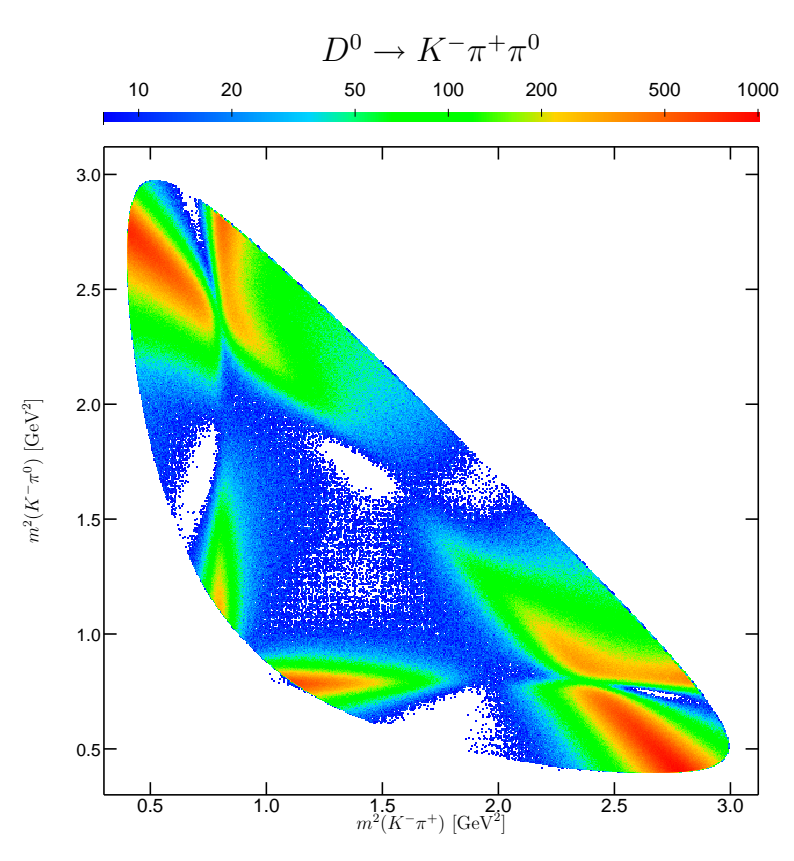
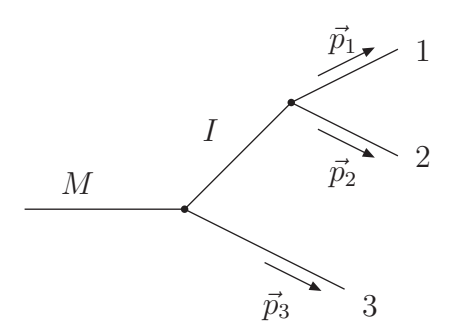


Abbildung 1: Monte-Carlo Simulation des Zerfalls D^0 nach $K^-\pi^+\pi^0$ (Erzeugt mit EvtGen, 10 Mio. Zerfälle, Binning: $0,005~{\rm GeV}^2$)

 \Rightarrow Experimentell verrät der Dalitz-Plot etwas über $\overline{|\mathcal{M}|^2}$. Z.B. bedeutet ein instabiles Teilchen I in der Zerfallskette



eine Häufung von Zerfällen im Dalitz-Plot bei $s_{12}=M_I^2$. Die Grenzen des Dalitz-Plot ergeben sich aus den $\theta-$ Funktionen aus der Integration in (337). Das Resultat ist, dass $\frac{d\bar{\Gamma}}{ds_{12}\,ds_{23}}\neq 0$ impliziert:

$$(m_1 + m_2)^2 \le s_{12} \le (M - m_3)^2$$

 $s_{23}^{\min} \le s_{23} \le s_{23}^{\max}$

mit

$$s_{23}^{\min/\max} = \frac{\left(M^2 + m_2^2 - m_1^2 - m_3^2\right)^2 - \left[\lambda(s_{12}, m_1^2, m_2^2) \pm \lambda(M^2, s_{12}, m_3^2)\right]^2}{4s_{12}}$$
(339)

Für festes s_{12} ist s_{23}^{\min} bzw. s_{23}^{\max} durch die Impulskonfigurationen bestimmt, bei der \vec{p}_2 und \vec{p}_3 parallel bzw. antiparallel sind.

Die auftretenden Källén-Funktionen sind von der Form $\lambda^2((p\pm q)^2, p^2, q^2)$ mit zeitartigen Vektoren $p, q. \lambda^2$ ist dann immer positiv, so dass die Wurzeln reell sind. Es ist für $\lambda((p\pm q)^2, p^2, q^2) \geq 0$ sogar hinreichend, dass nur einer der Vektoren p, q oder p+q zeitartig ist, denn

$$\lambda^2((p \pm q)^2, p^2, q^2) \stackrel{(329b)}{=} 4((pq)^2 - p^2 q^2)$$

Sei $p^2 > 0$: dann gilt im Ruhesystem von $p = \begin{pmatrix} m_p & 0 & 0 \end{pmatrix}^{\top}$

$$\lambda^{2}((p \pm q)^{2}, p^{2}, q^{2}) = 4(m_{p}^{2}E_{q}^{2} - m_{p}^{2}m_{q}^{2}) = 4m_{p}^{2}(E_{q}^{2} - m_{q}^{2}) = 4m_{p}^{2}|\vec{q}|^{2} > 0$$
 (340)

Da λ symmetrisch in den Argumenten ist, gilt: (340) auch für die Fälle $q^2 > 0$ oder $(p+q)^2 > 0$ (Impulskonfigurationen p, q, p+q mit $\lambda^2((p\pm q)^2, p^2, q^2) < 0$ nennt man **euklidisch**)

5.3.4 Streuguerschnitt

Teilchen-Bunches



Der Überlapp der Stirnflächen der beiden Teilchen-Bunches sei A. Die Zahl der Streuereignisse ist proportional zu $A, \rho_A, \rho_B, l_A, l_B$. Der **totale Streuquerschnitt** ist

$$\sigma = \frac{\text{Zahl der Streuereignisse}}{\rho_A l_A \rho_B l_B A} \tag{341a}$$

Man definiert prozess-spezifische Streuquerschnitte, z.B.:

$$\sigma(e^+e^- \to \mu^+\mu^-) = \frac{\text{Zahl der } e^+e^- \to \mu^+\mu^-\text{-Ereignisse}}{\rho_A l_A \rho_B l_B A}$$

Differentielle Streuguerschnitt, z.B.

$$\frac{d\,\sigma}{d\,\Omega} = \frac{d\sigma}{d\varphi\,d\cos\vartheta} = \frac{\text{Zahl der unter Winkel }\varphi,\theta\text{ gestreuten Teilchen}}{\rho_A l_A \rho_B l_B A}$$

für Endzustände aus 2-Teilchen oder

$$d\sigma = \frac{\text{Zahl der Streuungen in }N - \text{Teilchen mit Impulsen im Volumenelement }d^3\vec{p}_1\dots d^3\vec{p}_N}{\rho_A l_A \rho_B l_B A}$$
(341b)

Skalare Theorie: Wellenpackete für einlaufende Teilchen

$$|\phi_A\phi_B\rangle = \int \frac{d^3k_A}{(2\pi)^3} \frac{d^3k_B}{(2\pi)^3} \frac{1}{\sqrt{2E_A 2E_B}} \phi_A(\vec{k}_A) \phi_B(\vec{k}_A) \exp(-i\vec{b}\,\vec{k}_B) |\vec{k}_A\vec{k}_B\rangle$$
 (342)

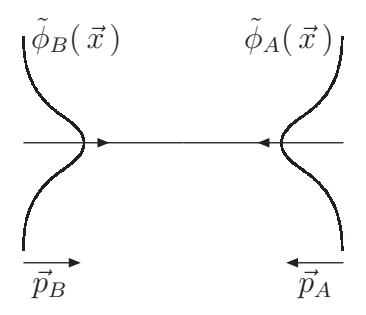
 $(\phi_{A,B} \text{ sind hierbei Wellenpackete}, keine Feldoperatoren!)$ Die Normierungsbedingung ist so gewählt, dass die Normierungsbedingung (147) für $|\vec{k}_A \vec{k}_B\rangle_{in}$ und $\langle \phi_A \phi_B | \phi_A \phi_B \rangle = 1$ gerade

$$\int \frac{d^3\vec{k}}{(2\pi)^3} \left| \phi_{A,B}(\vec{k}) \right|^2 = 1 \tag{343}$$

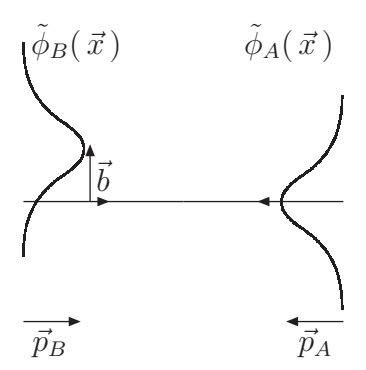
entspricht. Aus $\phi_B(\vec{k}_B)$ wurde ein Faktor $\exp(-i\vec{b}\ \vec{k}_B)$ herausdefiniert. Im Ortsraum seien

$$\tilde{\phi}_{A,B}(\vec{x}) := \int \frac{d^3 \vec{k}}{(2\pi)^3} \exp(-i\vec{k} \ \vec{x}) \ \phi_{A,B}(\vec{k})$$
(344)

um die Strahlachse des Beschleunigers zentriert



 $\exp(-i\vec{b}\,\vec{k}_B)\,\phi_B(\,\vec{k}\,)$ entspricht dann wegen (344) $\tilde{\phi}_B(\,\vec{x}\!+\!\vec{b}\,)$, also einem um den **Stoßparameter** \vec{b} versetzen Wellenpacket.



Wir wählen weiter $\phi_{A,B}(\vec{k})$ so, dass sie stark um die Impulse \vec{p}_A, \vec{p}_B zentriert sind und \vec{p}_A und \vec{p}_B antiparallel sind. \vec{b} ist so definiert, dass \vec{p}_B $\vec{b} = \vec{p}_A$ $\vec{b} = 0$ Übergangswahrscheinlichkeit für

$$|\phi_{A}\phi_{B}\rangle_{in} \rightarrow |\vec{p}_{1}\dots\vec{p}_{N}\rangle_{out}$$
ist $dP(\vec{b}) = \underbrace{\prod_{f=1}^{N} \frac{d^{3}\vec{p}_{f}}{(2\pi)^{3}2E_{f}}}_{\text{vgl. (280) aus Normierung}} |\langle \vec{p}_{1}\dots\vec{p}_{N} | \phi_{A}\phi_{B} \rangle|^{2}$
(345)

Die Zahl der Streuereignisse im Flächenelement $d^2\vec{b} = db^x db^y$:

$$N = \rho_A l_A \, \rho_B l_B \, d^2 \vec{b} \, dP(\vec{b}) \tag{346}$$

 $(\rho_X l_X$: Teilchendichten pro Querschnittsfläche, $d^2 \vec{b}$: Überlapp der Stirnfächen), wobei $\vec{p}_{A,B} = \begin{pmatrix} 0 & 0 & p_{A,B}^z \end{pmatrix}^\top$ gewählt ist und somit $\vec{b} = \begin{pmatrix} b^x & b^y & 0 \end{pmatrix}^\top$. Vergleich von (346) mit (341b):

$$d\sigma = d\sigma(\phi_{A,B}) = \int d^{2}\vec{b} \, dP(\vec{b})$$

$$\stackrel{(345)}{=} \int d^{2}\vec{b} \prod_{f=1}^{N} \frac{d^{3}\vec{p}_{f}}{(2\pi)^{3}2E_{f}} |\langle \vec{p}_{1} \dots \vec{p}_{N} | \phi_{A}\phi_{B} \rangle|^{2}$$

$$\stackrel{(342)}{=} \prod_{f=1}^{N} \frac{d^{3}\vec{p}_{f}}{(2\pi)^{3}2E_{f}} \int d^{2}\vec{b} \prod_{i=A,B} \int \frac{d^{3}\vec{k}_{i}}{(2\pi)^{3}} \frac{\phi_{i}(\vec{k}_{i})}{\sqrt{2E_{k_{i}}}} \int \frac{d^{3}\vec{l}_{i}}{(2\pi)^{3}} \frac{\phi_{i}^{*}(\vec{l}_{i})}{\sqrt{2E_{l_{i}}}} \exp(i\vec{b}(\vec{l}_{i} - \vec{k}_{i}))$$

$$= \int d^{2}\vec{b} \, dP(\vec{b}) \int d^{3}\vec{p}_{f} \, d$$

Nun ist

$$\int d^2\vec{b} \exp(i\vec{b}(\vec{l_i} - \vec{k_i})) = (2\pi)^2 \delta^{(2)}(k_i^{\perp} - l_i^{\perp}) = (2\pi)^2 \delta(k_i^x - l_i^x) \,\delta(k_i^y - l_i^y)$$

Mit $\mathbf{S} = 1 + i \mathbf{T}$ und

$$out \langle \vec{p}_{1} \dots \vec{p}_{N} | \vec{k}_{A} \vec{k}_{B} \rangle_{in} = \langle \vec{p}_{1} \dots \vec{p}_{N} | \mathbf{S} | \vec{k}_{A} \vec{k}_{B} \rangle = i \langle \vec{p}_{1} \dots \vec{p}_{N} | \mathbf{T} | \vec{k}_{A} \vec{k}_{B} \rangle$$

$$=: i(2\pi)^{4} \delta^{(4)} (k_{A} + k_{B} - \sum_{i=1}^{N} p_{i}) \mathcal{M}(\vec{k}_{A}, \vec{k}_{B}, \vec{p}_{1}, \dots \vec{p}_{N}) \quad (349)$$

finden wir in (348)

$$d\sigma(\phi_{A,B}) = \prod_{f=1}^{N} \frac{d^{3}\vec{p}_{f}}{(2\pi)^{3}2E_{f}} \prod_{i=A,B} \int \frac{d^{3}\vec{k}_{i}d^{3}\vec{l}_{i}}{(2\pi)^{6}\sqrt{2E_{k_{i}}2E_{l_{i}}}} \phi_{i}(\vec{k}_{i}) \phi_{i}^{*}(\vec{l}_{i}) (2\pi)^{2}\delta^{(2)}(k_{i}^{\perp} - l_{i}^{\perp})$$

$$(2\pi)^{4}\delta^{(4)}(k_{A} + k_{B} - \sum_{j=1}^{N} p_{j}) (2\pi)^{4}\delta^{(4)}(l_{A} + l_{B} - \sum_{j=1}^{N} p_{j})$$

$$\mathcal{M}(\vec{k}_{A}, \vec{k}_{B}, \vec{p}_{1}, \dots \vec{p}_{N}) \mathcal{M}^{*}(\vec{l}_{A}, \vec{l}_{B}, \vec{p}_{1}, \dots \vec{p}_{N})$$

$$(350)$$

Die Integration über l_i^x und l_i^y ersetzt $l_i^{x,y} \to k_i^{x,y}$ wegen $\delta^{(2)}(k_i^{\perp} - l_i^{\perp})$. Die Integration über l_A^z, l_B^z ist von der Form:

$$\int dl_A^z dl_B^z \, \delta(l_A^z + l_B^z - \sum_{f=1}^N p_f^z) \, \delta(E_A + E_B - \sum_{f=1}^N p_f^0)$$

$$= \int dl_A^z \, \delta(\sqrt{l_A^2 + m_A^2} + \sqrt{l_B^2 + m_B^2} - \sum_{f=1}^N E_f) \Big|_{l_B^z = \sum_{f=1}^N p_f^z - l_A^z}$$

$$= \frac{1}{\left|\frac{l_A^z}{E_A} - \frac{l_B^z}{E_B}\right|} = \frac{1}{|\vec{v}_A - \vec{v}_B|} \quad \text{mit } \vec{v}_{A,B} := \frac{\vec{l}_A}{E_A} \tag{351}$$

wobei $v_{A,B} = |\vec{v}_{A,B}|$ die Geschwindigkeiten der beiden Teilchenstrahlen im Schwerpunktsystem sind.

Mit (351) wird (350) zu

$$d\sigma(\phi_{A,B}) = \prod_{f=1}^{N} \frac{d^{3}\vec{p}_{f}}{(2\pi)^{3}2E_{f}} \int \frac{d^{3}\vec{k}_{A}d^{3}\vec{k}_{B}}{(2\pi)^{3}(2\pi)^{3}} \left|\phi_{A}(\vec{k}_{A})\right|^{2} \left|\phi_{B}(\vec{k}_{B})\right|^{2} \frac{1}{2E_{A}2E_{B}|\vec{v}_{A} - \vec{v}_{B}|}$$

$$(2\pi)^{4}\delta^{(4)}(k_{A} + k_{B} - \sum_{j=1}^{N} p_{j}) \left|\mathcal{M}(\vec{k}_{A}, \vec{k}_{B}, \vec{p}_{1}, \dots, \vec{p}_{N})\right|^{2}$$

$$(352)$$

 $d\sigma(\phi_{A,B})$ in (352) hängt noch von der Wahl der ϕ_A, ϕ_B ab. Je stärker $\phi_{A,B}$ um \vec{p}_A, \vec{p}_B zentriert sind, desto schwächer ist die Abhängigkeit. Mit

$$d\sigma(k_A, k_B, p_1 \dots p_N) = \prod_{f=1}^{N} \frac{d^3 \vec{p}_f}{(2\pi)^3 2E_f} \frac{(2\pi)^4 \delta^{(4)}(k_A + k_B - \sum_{f=1}^{N} p_f)}{2E_A 2E_B |\vec{v}_A - \vec{v}_B|} \left| \mathcal{M}(\vec{k}_A, \vec{k}_B, \vec{p}_1, \dots \vec{p}_N) \right|^2$$
(353)

ist

$$d\,\sigma(\phi_{A,B}) = \int \frac{d\vec{k}_A d\vec{k}_B}{(2\pi)^3 (2\pi)^3} \left| \phi_A(\vec{k}_A) \right|^2 \left| \phi_B(\vec{k}_B) \right|^2 d\,\sigma(k_A, k_B, p_1 \dots p_N)$$

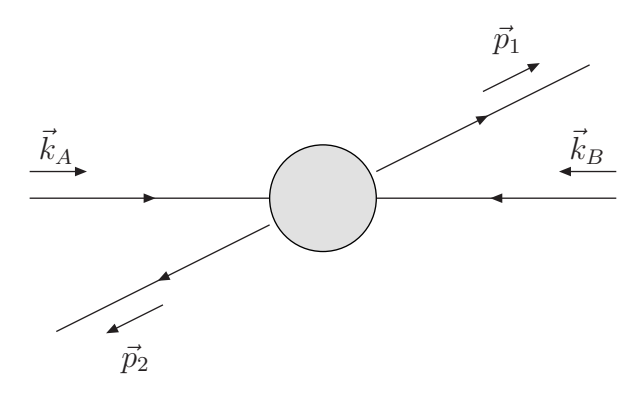
Es ist weiter:

$$\frac{1}{E_A E_B |\vec{v}_A - \vec{v}_B|} = \frac{1}{|E_B p_A^z - E_A p_B^z|} = \frac{1}{|\varepsilon_{\mu 1 2\nu} p_A^\mu p_B^\nu|}$$
(354)

invariant bezüglich Boost in z-Richtung, gilt also auch im Laborsystem bei asymmetrischer Strahlenenergie ($E_A \neq E_B$) (z.B. HERA, PeP-II (BaBar), KEK B (BELLE))

(353) gilt auch für Teilchen mit Spin im Anfangszustand, z.B. Elektronen / Positronen. Wichtiger Spezialfall: 2 \to 2 Streuung

Im Schwerpunktssystem:



 $\vec{p}_2 = -\vec{p}_1$, $\vec{q} = \vec{p}_1 + \vec{p}_2 = \vec{k}_A + \vec{k}_B$, $q^0 = E_{CM}$ = Energie im Schwerpunktssystem. (Für zwei Strahlenergien E_A, E_B ist $E_{CM} = 2\sqrt{E_A E_B}$)

$$\int d\phi_{2}(q; p_{1}, p_{2}) = \int \frac{d^{3}\vec{p}_{1}}{(2\pi)^{3}2E_{1}} \frac{d^{3}\vec{p}_{2}}{(2\pi)^{3}2E_{2}} \delta^{(4)}(q - p_{1} - p_{2})$$

$$= \int \frac{d^{3}\vec{p}_{1}}{(2\pi)^{6}2E_{1}2E_{2}} \delta(E_{CM} - E_{1} - E_{2}) \text{ mit } |\vec{p}_{2}| \to |\vec{p}_{1}|$$

$$= \int \frac{d|\vec{p}_{1}||\vec{p}_{1}|^{2} d\Omega}{(2\pi)^{6}2E_{1}2E_{2}} \delta(E_{CM} - \sqrt{|\vec{p}_{1}|^{2} + m_{1}^{2}} - \sqrt{|\vec{p}_{1}|^{2} + m_{2}^{2}}) \quad (355a)$$

Die Nullstelle der δ - Funktion ist:

$$|\vec{p}_1| = \frac{\lambda(E_{CM}^2, m_1^2, m_2^2)}{2E_{CM}} \Rightarrow E_{1,2} = \sqrt{|\vec{p}_1|^2 + m_{1,2}^2} = \frac{E_{CM}^2 \pm (m_1^2 - m_2^2)}{2E_{CM}}$$
 (355b)

und nur positiv für $E_{CM} > m_1 + m_2$

$$\int d\phi_{2}(q; p_{1}, p_{2}) = \frac{1}{(2\pi)^{6}} \int d\Omega \frac{|\vec{p}_{1}|^{2}}{4E_{1}E_{2}} \left(\frac{|\vec{p}_{1}|}{E_{1}} + \frac{|\vec{p}_{1}|}{E_{2}}\right)^{-1} \theta(E_{CM} - m_{1} - m_{2})$$
mit $|\vec{p}_{1}|$ wie in (355b)
$$= \frac{1}{(2\pi)^{6}} \int d\Omega \frac{1}{4} \frac{|\vec{p}_{1}|}{E_{CM}} \theta(E_{CM} - m_{1} - m_{2})$$
(356)
(gilt für beliebige Bereiche des Raumwinkels)

Um den differentiellen Streuquerschnitt $\left(\frac{d\sigma}{d\Omega}\right)_{CM}$ zu erhalten, müssen wir auf die Integration über $d\Omega$ verzichten. Mit (353) finden wir

$$\left(\frac{d\,\sigma}{d\,\Omega}\right)_{CM} = \frac{1}{2E_A 2E_B |\vec{v}_A - \vec{v}_B|} \frac{|\vec{p}_1|}{(2\pi)^2 4E_{CM}} |\mathcal{M}|^2 \tag{357a}$$

wobei überall

$$\vec{p}_2 = -\vec{p}_1, \quad |\vec{p}_1| = \frac{\lambda(E_{CM}^2, m_1^2, m_2^2)}{2E_{CM}}, \quad E_1 = \frac{E_{CM}^2 + m_1^2 - m_2^2}{2E_{CM}}$$

gesetzt werden muss.

In vielen Experimenten ist der Strahl unpolarisiert, d.h. man muss über die Polarisationen im Anfangszustand mitteln. Beobachtet man außerdem nicht die Polarisationen im Endzustand, so ist über sie zu summieren, d.h.

$$|\mathcal{M}|^2 \to \overline{|\mathcal{M}|^2}$$

Speziell für

$$m_{A} = m_{B} \Rightarrow E_{A} = E_{B} = \frac{E_{CM}}{2}, \quad v_{A}^{z} = -v_{B}^{z} = \frac{k_{A}^{z}}{E_{A}} = \frac{2k_{A}^{z}}{E_{CM}}$$

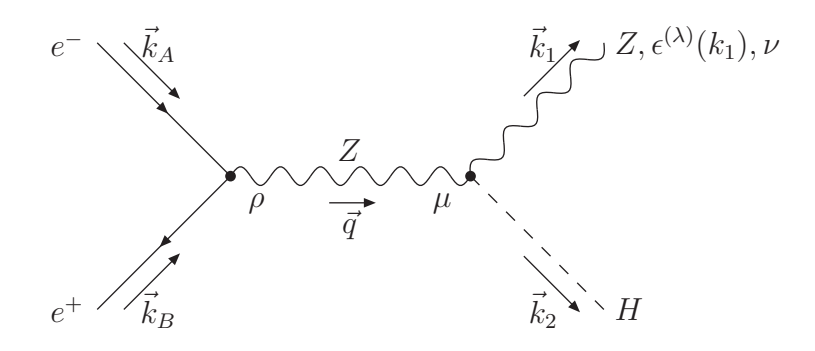
$$\left(\frac{d\sigma}{d\Omega}\right)_{CM} = \frac{|\mathcal{M}|^{2}}{64\pi^{2}E_{CM}^{2}} \frac{|\vec{p}_{1}|}{|\vec{k}_{A}|}$$
(357b)

Noch spezieller: Alle 4 Massen sind gleich, zusätzlich

$$E_{1} = E_{2} = \frac{E_{CM}}{2} \Rightarrow |\vec{p}_{1}| = |\vec{k}_{A}| = |\vec{k}_{B}|$$

$$\left(\frac{d\sigma}{d\Omega}\right)_{CM} = \frac{|\mathcal{M}|^{2}}{64\pi^{2}E_{CM}^{2}}$$
(358)

Anwendung: Higgs-Suche bei LEP-II. LEP-II: e^+e^- Kollider mit $\sqrt{s}\approx 200\,\mathrm{GeV}$ Problem: Higgs-Kopplung an leichte Teilchen sind klein. Dominanter Prozess bei LEP-II:



$$q = k_A + k_B = k_1 + k_2, \qquad q^2 = s$$

Feynman-Regel:

$$Z \sim Z \sim ig^{\mu\nu} g_H M_Z, \quad [g_H] = 0$$

$$H \qquad (359)$$

Wir setzen vorraus, dass $\sqrt{s} \ge M_H + M_Z$, so dass die Z/Higgs-Produktion kinematisch erlaubt ist. Mit den Feynman-Regeln (286),(294),(295) und

$$i\mathcal{M} = ig_A \mathcal{M}_A + ig_V \mathcal{M}_V$$

sowie Vernachlässigung der Elektronenmasse

$$i\mathcal{M}_{V} \atop i\mathcal{M}_{A}$$
 = $\bar{v}(k_{B}, s_{B}) \gamma_{\rho} \left\{ \begin{array}{c} 1 \\ \gamma_{5} \end{array} \right\} u(k_{A}, s_{A}) i \frac{-i \left[g^{\rho\mu} - \frac{q^{\rho}q^{\mu}}{M_{Z}^{2}} \right]}{q^{2} - M_{Z}^{2}} i g_{\mu\nu} g_{H} M_{Z} \epsilon^{\nu(\lambda)*}(k_{1})$ (360)
= $i g_{H} \frac{M_{Z}}{s - M_{Z}^{2}} \bar{v}(k_{B}, s_{B}) \gamma_{\mu} \left\{ \begin{array}{c} 1 \\ \gamma_{5} \end{array} \right\} u(k_{A}, s_{A}) \epsilon^{\mu(\lambda)*}(k_{1})$ (361)
denn $q^{\rho} \bar{v}(k_{B}, s_{B}) \gamma_{\rho} \left\{ \begin{array}{c} 1 \\ \gamma_{5} \end{array} \right\} u(k_{A}, s_{A}) \stackrel{q=k_{A}+k_{B}}{=} \underbrace{\bar{v}}_{e} \underbrace{\bar{v}}_{e} \left\{ \begin{array}{c} 1 \\ \gamma_{5} \end{array} \right\} u + \bar{v} \left\{ \begin{array}{c} 1 \\ -\gamma_{5} \end{array} \right\} \underbrace{\psi_{A} u}_{=m_{e}\bar{u} \to 0}$

$$\overline{|\mathcal{M}_{V}|^{2}} = g_{H}^{2} \frac{M_{Z}^{2}}{(s - M_{Z}^{2})^{2}} \underbrace{\frac{1}{4}}_{\text{Mittelwert über } s_{A}, s_{B}} \epsilon^{\mu(\lambda)*}(k_{1}) \underbrace{\operatorname{tr}(\gamma_{\mu} \not k_{A} \gamma_{\nu} \not k_{B})}_{=4[k_{A\mu}k_{B\nu} + k_{B\mu}k_{A\nu} - k_{A}k_{B}g_{\mu\nu}]} \operatorname{siehe} (298)$$

$$= g_{H}^{2} \frac{M_{Z}^{2}}{(s - M_{Z}^{2})^{2}} \epsilon^{\mu(\lambda)*}(k_{1}) \epsilon^{\nu(\lambda)}(k_{1}) [k_{A\mu}k_{B\nu} + k_{B\mu}k_{A\nu} - k_{A}k_{B}g_{\mu\nu}]$$
(362)

Die Summation über die Polarisationen des Z im Endzustand, siehe (291)

$$\sum_{\lambda=1}^{3} \epsilon^{\mu(\lambda)*}(k_1) \, \epsilon^{\nu(\lambda)}(k_1) = \frac{k_1^{\mu} k_1^{\nu}}{M_Z^2} - g^{\mu\nu}$$

liefert:

$$\sum_{\lambda=1}^{3} \overline{|\mathcal{M}_{V}|^{2}} = g_{H}^{2} \frac{M_{Z}^{2}}{(s-M_{Z}^{2})^{2}} \left[\frac{k_{1}^{\mu} k_{1}^{\nu}}{M_{Z}^{2}} - g^{\mu\nu} \right] \left[k_{A\mu} k_{B\nu} + k_{B\mu} k_{A\nu} - k_{A} k_{B} g_{\mu\nu} \right]
= g_{H}^{2} \frac{M_{Z}^{2}}{(s-M_{Z}^{2})^{2}} \left[2 \frac{(k_{1} k_{A})(k_{1} k_{B})}{M_{Z}^{2}} - 2 k_{A} k_{B} - \frac{k_{1}^{2}}{M_{Z}^{2}} k_{A} k_{B} + 4 k_{A} k_{B} \right], \quad k_{1}^{2} = M_{Z}^{2}
\sum_{\lambda=1}^{3} \overline{|\mathcal{M}_{V}|^{2}} = g_{H}^{2} \frac{1}{(s-M_{Z}^{2})^{2}} \left[2 (k_{1} k_{A})(k_{1} k_{B}) + M_{Z}^{2} k_{A} k_{B} \right]$$
(363)

Man findet: $\overline{|\mathcal{M}_V|^2} = \overline{|\mathcal{M}_A|^2}$ und $\sum_{\lambda=1}^3 \overline{|\mathcal{M}_A \mathcal{M}_V|} = 0$ Im Schwerpunktssystem schreiben wir:

$$\begin{pmatrix} \frac{d\sigma}{d\Omega} \end{pmatrix}_{CM} = g_V^2 \frac{d\sigma_V}{d\Omega} + g_A^2 \frac{d\sigma_A}{d\Omega}$$

$$E_A = E_B = \frac{E_{CM}}{2} = \frac{\sqrt{s}}{2}, \qquad |\vec{k}_{A,B}| = E_{A,B}$$

$$\vec{k}_A \qquad \vec{k}_B \qquad \vec{k}_B$$

und definieren:

$$k_1 k_A = E_1 E_A - \vec{k}_1 \vec{k}_A = : E_1 E_A - |\vec{k}_1| \underbrace{|\vec{k}_A|}_{=E_A} \cos \vartheta = \frac{\sqrt{s}}{2} \left(E_1 - |\vec{k}_1| \cos \vartheta \right)$$
 (364a)

mit
$$E_1 \stackrel{(355b)}{=} \frac{s + M_Z^2 - M_H^2}{2\sqrt{s}}, \qquad |\vec{k}_1| \stackrel{(355b)}{=} \frac{\lambda(s, M_Z^2, M_H^2)}{2\sqrt{s}}$$
 (364b)

$$k_1 k_B = E_1 E_B - |\vec{k}_1| E_B \cos(\pi - \vartheta) = \frac{\sqrt{s}}{2} \left(E_1 + |\vec{k}_1| \cos \vartheta \right)$$
 (365)

und
$$k_A k_B = \frac{(k_A + k_B)^2 - k_A^2 - k_B^2}{2} = \frac{s}{2}$$
 (366)

Einsetzen von (364), (365) und (366) in (363):

$$\sum_{\lambda=1}^{3} \overline{|\mathcal{M}_{V}|^{2}}_{CM} = \frac{g_{H}^{2}}{2} \frac{s}{(s - M_{Z}^{2})^{2}} \left[E_{1}^{2} - |\vec{k}_{1}|^{2} \cos^{2} \vartheta + M_{Z}^{2} \right]$$

Schließlich: $E_1^2 = |\vec{k}_1|^2 + M_Z^2$ und

$$\sum_{\lambda=1}^{3} \overline{|\mathcal{M}_V|^2}_{CM} = \frac{g_H^2}{2} \frac{s}{(s - M_Z^2)^2} \left(|\vec{k}_1|^2 \sin^2 \vartheta + 2M_Z^2 \right)$$
 (367)

Mit (357b) (und $|\vec{k}_A| = \frac{\sqrt{s}}{2}$) also:

$$\left(\frac{d\sigma}{d\Omega}\right)_{CM} = \frac{g_H^2}{64\pi^2(s - M_Z^2)^2} \frac{|\vec{k}_1|}{\sqrt{s}} \left(|\vec{k}_1|^2 \sin^2 \vartheta + 2M_Z^2\right)
= \frac{g_H^2}{128\pi^2(s - M_Z^2)^2} \frac{\lambda(s, M_Z^2, M_H^2)}{s} \left[\frac{\lambda(s, M_Z^2, M_H^2)^2}{4s} \sin^2 \vartheta + 2M_Z^2\right]$$
(368)

und

$$\frac{d\sigma}{d\Omega} = g_V^2 \frac{d\sigma_V}{d\Omega} + g_A^2 \underbrace{\frac{d\sigma_A}{d\Omega}}_{=\frac{d\sigma_V}{d\Omega}} = \left(g_V^2 + g_A^2\right) \frac{d\sigma_V}{d\Omega}$$

5.4 Quantenelektrodynamik

Die Lagrangedichte der freien Dirac-Gleichung hat eine globale U(1)-Symmetrie (parametrisiert durch $\varphi \in [0, 2\pi]$)

$$\psi \to \psi' = \exp(-ie\varphi)\,\psi\tag{369}$$

 $\mathcal{L} = \bar{\psi} [i\partial \!\!\!/ - m] \psi$ ist invariant bezüglich (369)

Noether-Ladung:

$$Q \stackrel{(104b)}{=} -e \int d^3 \vec{x} \, \psi^{\dagger}(x) \, \psi(x)$$

 $e \in \mathbb{R}$ ist die U(1)-Kopplung von ψ . (369) beschreibt eine innere Symmetrie, denn x wird nicht transformiert. Idee: φ abhängig von x (immernoch innere Symmetrie)

$$\psi \to \psi' = \exp(-ie\varphi(x))\,\psi\tag{370}$$

Jedoch mit $\psi' = \exp(-ie\varphi(x)) \psi$:

$$\mathcal{L}' = \bar{\psi}' [i\partial - m] \psi' = \bar{\psi} \exp(ie\varphi(x)) [i\partial - m] \exp(-ie\varphi(x)) \psi = \bar{\psi} [i\partial + e(\partial \varphi) - m] \psi \neq \mathcal{L}$$
(371)

 \Rightarrow (370) ist keine Symmetrie der freien Dirac-Gleichung.

Wir können jedoch \mathcal{L} so erweitern, dass (370) zur Symmetrie von \mathcal{L} wird:

Reelles Feld $A^{\mu}(x)$ und

$$\partial_{\mu} \to D_{\mu} = \partial_{\mu} + ieA_{\mu}(x)$$
 (372)

Dann ist:

$$\mathcal{L}' = \bar{\psi}' \left[i \mathcal{D}' - m \right] \psi' = \bar{\psi}' \left[i \partial - e \mathcal{A}' - m \right] \psi' = \bar{\psi} \left[i \partial - e \gamma_{\mu} (A'^{\mu} - \partial^{\mu} \varphi) - m \right] \psi \stackrel{!}{=} \mathcal{L}$$

invariant, sofern

$$A^{\prime\mu} = A^{\mu} + \partial^{\mu}\varphi \tag{373}$$

gilt. Die Lagrangedichte

$$\mathcal{L} = \bar{\psi} \left[i \not\!\!D - m \right] \psi \tag{374}$$

ist also invariant unter der simultanen Transformation (370), (373). (370) heißt **lokale U(1)-Transformation** oder **U(1)-Eichtransformation**. (374) ist aus der freien Dirac-Gleichung abgeleitet worden mit dem so genannten **Eichprinzip** (= Invarianz bezüglich (370)) und der Minimalität (Erweiterung nur um *ein* Feld).

Kinetischer Term für A^{μ} :

$$\partial^{\nu} A^{\mu} \stackrel{(373)}{\to} \partial^{\nu} A^{\mu} + \partial^{\nu} \partial^{\mu} \varphi$$

$$\Rightarrow F^{\mu\nu} := \partial^{\mu} A^{\nu} - \partial^{\nu} A^{\mu} \stackrel{(373)}{\to} \partial^{\mu} A^{\nu} - \partial^{\nu} A^{\mu}$$
(375)

ist U(1)-eichinvariant.

$$\mathcal{L}_A = -\frac{1}{4} F_{\mu\nu} F^{\mu\nu} \tag{376}$$

ist also ein U(1)-eichinvarianter kinetischer Term:

$$\mathcal{L}_{A} = -\frac{1}{4} F_{\mu\nu} F^{\mu\nu} = -\frac{1}{4} (\partial_{\mu} A_{\nu} - \partial_{\nu} A_{\mu}) (\partial^{\mu} A^{\nu} - \partial^{\nu} A^{\mu}) = \frac{1}{2} (\partial_{\nu} A_{\mu}) (\partial^{\mu} A^{\nu}) - \frac{1}{2} (\partial_{\mu} A_{\nu}) (\partial^{\mu} A^{\nu})$$
(377)

(Mit dem Faktor $\frac{1}{2}$ wie beim reellen KG-Feld; Eindeutig: da z.B. $F_{\mu\nu}g^{\mu\nu}=0$) Lagrangedichte der QED:

$$\mathcal{L}_{QED} = \bar{\psi} \left[i \not\!\!\!D - m \right] \psi - \frac{1}{4} F_{\mu\nu} F^{\mu\nu} \tag{378}$$

mit A^{μ} = Photonfeld und der elektromagnetischen Kopplungskonstanten e. Felder mit (373) heißen **Eichfelder**. e in (372) heißt **Eichkopplung**.

Man kann Fermionfelder ψ_q mit unterschiedlicher Kopplung $e\,q$ an das Eichfeld definieren. Dazu definiert man den Ladungsoperator Q durch

$$Q\psi_a = q\psi_a \tag{379a}$$

und erweitert (372) zu

$$D_{\mu} = \partial_{\mu} - ieQA_{\mu} \tag{379b}$$

und (370) zu

$$\psi_q \to \exp(-ieQ\varphi(x))\psi_q = \exp(-ieq\varphi(x))\psi_q$$
 (380)

Dabei ist der reelle Faktor e überflüssig, aber hilfreich, um einfache Ladungsquantenzahlen q zu erhalten:

$$q = 0$$
 für Neutrinos
 $q = -1$ für Elektronen
 $q = -1/3$ für d,s,b - Quarks
 $q = +2/3$ für u,c,t - Quarks
$$(381)$$

Dann erweitert sich \mathcal{L}_{QED} zu

$$\mathcal{L}_{QED} = \sum_{\psi_q} \bar{\psi}_q \left[i \not\!\!D - m_q \right] \psi_q - \frac{1}{4} F_{\mu\nu} F^{\mu\nu}$$
(382)

Das Eichprinzip schränkt die erlaubten Terme in \mathcal{L} stark ein. Zunächst erzwingt es, dass Eichfelder Vektorfelder sind (wegen Lorentzkovarianz von D_{μ} in (372)). Eichsymmetrie verbietet weiter einen Massenterm für das Eichfeld: $m^2A_{\mu}A^{\mu}$ ist nicht eichinvariant unter (373). Auch ist $\bar{\psi}\psi A_{\mu}A^{\mu}$ nicht eichinvariant, jedoch $\bar{\psi}D^2\psi = \bar{\psi}D_{\mu}D^{\mu}\psi = \bar{\psi}\left[\partial_{\mu} + ieA_{\mu}\right]\left[\partial^{\mu} + ieA^{\mu}\right]\psi \supset$

 $-e^2\bar{\psi}\psi A_{\mu}A^{\mu}$, d.h. eine hypothetische $\bar{\psi}\psi A_{\mu}A^{\mu}$ - Kopplung.



ist mit anderen Kopplungen verknüpft. Experimentelle Grenze an die Photonmasse $m_{\gamma} < 6 \cdot 10^{-17} eV$

Ebenso erzwingt die U(1)-Eichinvarianz, dass A_{μ} reell ist, mithin das Photon also keine U(1)-Ladung trägt. Experimentelle Grenze an die Photonladung $|q_{\gamma}| < 5 \cdot 10^{-30}$ Kommutator:

$$[D_{\mu}, D_{\nu}]\psi = [\partial_{\mu} + ieA_{\mu}, \partial_{\nu} + ieA_{\nu}]\psi = ie[\underbrace{\partial_{\mu}A_{\nu}}_{=(\partial_{\mu}A_{\nu}) + A_{\nu}\partial_{\mu}} - A_{\nu}\partial_{\mu} + A_{\mu}\partial_{\nu} - \partial_{\nu}A_{\mu}]\psi$$

$$= ie[(\partial_{\mu}A_{\nu}) - (\partial_{\nu}A_{\mu})]\psi = ieF_{\mu\nu}\psi, \quad \text{(kein Ableitungsoperator wirkt auf } \psi)$$
Salopp :
$$[D_{\mu}, D_{\nu}] = ieF_{\mu\nu}$$
(383)

In (75) hatten wir die Bewegungsgleichung des Photonfeldes berechnet (nun $j_{\mu}=-e\bar{\psi}\gamma_{\mu}\psi$) und mit

$$\partial_{\alpha} F^{\alpha\beta} = j^{\beta} \tag{384}$$

die Maxwell-Gleichungen gefunden. Die Euler-Lagrange-Gleichung fürs Dirac-Feld ergeben aus (374)

$$[i\mathcal{D} - m]\psi = 0 \tag{385}$$

Aus (384) folgt allgemein:

$$0 = \int_{F^{\alpha\beta} = -F^{\beta\alpha}} \partial_{\beta} \partial_{\alpha} F^{\alpha\beta} = \partial_{\beta} j^{\beta}$$

d.h. wir können A_{μ} nur an sogenannte *erhaltene Ströme*, die $\partial_{\beta}j^{\beta}=0$ erfüllen, koppeln. Im Falle der QED ist

$$\partial_{\mu}j^{\mu} = -e\partial_{\mu}\bar{\psi}\gamma^{\mu}\psi = -e\bar{\psi}[\overleftarrow{\partial} + \overrightarrow{\partial}]\psi = -e\bar{\psi}[\overleftarrow{\mathcal{D}} + \overrightarrow{\mathcal{D}}]\psi \quad \text{mit } \overleftarrow{D^{\mu}} := \overleftarrow{\partial}^{\mu} - ieA^{\mu}$$
 (386)

(385) impliziert:

$$\bar{\psi}[i\overleftarrow{\mathcal{D}} + m] = 0 \tag{387}$$

Mit (385) und (387) folgt also aus (386):

$$\partial_{\mu}j^{\mu} = -e\bar{\psi}[-im + im]\psi = 0 \Rightarrow \text{Konsistenztest bestanden}$$

Ein beliebiges $j^{\beta} = \partial_{\alpha}(\partial^{\alpha}A^{\beta} - \partial^{\beta}A^{\alpha})$ (75) mit $\partial_{\beta}j^{\beta} = 0$ ist im Impulsraum:

$$\tilde{j}^{\beta} = -k_{\sigma}k^{\sigma}\tilde{A}^{\beta} + k_{\alpha}k^{\beta}\tilde{A}^{\alpha}
= -\underbrace{[k_{\sigma}k^{\sigma}g^{\beta}_{\alpha} - k_{\alpha}k^{\beta}]}_{\text{singular}}\tilde{A}^{\alpha}$$
(388)

 $k_{\sigma}k^{\sigma}g^{\beta}{}_{\alpha}-k_{\alpha}k^{\beta}$ ist wie erwartet singulär, denn \tilde{A}^{α} hat ja 2 unphysikalische Freiheitsgrade:

$$k_{\beta}[k^2 g^{\beta}_{\alpha} - k_{\alpha} k^{\beta}] = 0$$

 \Rightarrow aus (388) ist kein Propagator zu gewinnen.

Einen unphysikalischen Freiheitsgrad können wir identifizieren und eleminieren, indem wir beobachten, dass wir A^{μ} der **Lorentz-Bedingung**

$$\partial_{\mu}A^{\mu} = 0 \tag{389}$$

unterwerfen können.

Mit (389) wird (75) zu

$$\Box A^{\beta} = j^{\beta} \tag{390}$$

Was wegen $\partial_{\beta} j^{\beta} = 0$

$$\Box \,\partial_{\beta} A^{\beta} = 0 \tag{391}$$

impliziert und mit (389) verträglich ist.

Insbesondere folgt aus (391): Ist(389) als Anfangsbedingung für $t = t_0$ erfüllt, (auf einer raumartigen Hyperfläche), so auch für alle anderen Zeiten t. Im Impulsraum bedeutet (389):

$$k_{\mu}\,\tilde{A}^{\mu} = 0\tag{392}$$

d.h. \tilde{A}^{μ} hat nur Komponenten mit Polarisationen $\epsilon_{\mu}^{(\lambda)}k^{\mu}=0$, also keine **skalare Polarisation** (die $\epsilon_{\mu}k^{\mu}\neq 0$ erfüllt)

5.4.1 Eichfixierung

Wir bauen die Bedingung $\partial_{\mu}A^{\mu}=0$ mit dem Lagrange-Multiplikator $\frac{1}{2\xi}$ in die Lagrangedichte ein.

$$\mathcal{L} = \mathcal{L}_A + \mathcal{L}_{fix} = -\frac{1}{4} F_{\mu\nu} F^{\mu\nu} - \frac{1}{2\xi} (\partial_{\mu} A^{\mu})^2 \stackrel{(377)}{=} \frac{1}{2} (\partial_{\nu} A_{\mu}) (\partial^{\mu} A^{\nu}) - \frac{1}{2} (\partial_{\mu} A_{\nu}) (\partial^{\mu} A^{\nu}) - \frac{1}{2\xi} (\partial_{\mu} A^{\mu})^2$$
(393)

$$0 = -\partial_{\rho} \frac{\partial \mathcal{L}}{\partial(\partial_{\rho} A^{\lambda})} + \frac{\partial \mathcal{L}}{\partial A^{\lambda}} = -\partial_{\rho} \partial_{\lambda} A^{\rho} + \partial_{\rho} \partial^{\rho} A_{\lambda} + \frac{1}{\xi} g^{\rho}{}_{\lambda} \partial_{\rho} \partial_{\mu} A^{\mu} = \Box A_{\lambda} + \left(\frac{1}{\xi} - 1\right) \partial_{\lambda} \partial_{\mu} A^{\mu}$$

$$0 = \left[\Box g_{\lambda\mu} - \left(1 - \frac{1}{\xi}\right) \partial_{\lambda} \partial_{\mu}\right] A^{\mu}$$
(394)

Impulsraum:

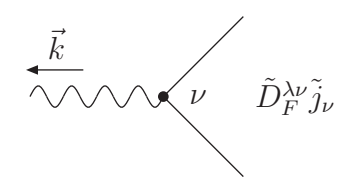
$$\left[-k^2 g_{\lambda\mu} + \left(1 - \frac{1}{\xi} \right) k_{\lambda} k_{\mu} \right] \tilde{A}^{\lambda} = 0 \quad \text{freies Feld}$$
 (395)

$$\left[-k^2 g_{\lambda\mu} + \left(1 - \frac{1}{\xi}\right) k_{\lambda} k_{\mu}\right] \tilde{D}_F^{\lambda\nu}(k) = i\delta_{\mu}^{\nu} \quad \text{Propagator}$$
 (396)

$$\Rightarrow \frac{-i}{k^2 + i\delta} \left[g^{\lambda\mu} - (1 - \xi) \frac{k^{\lambda}k^{\mu}}{k^2} \right] = \tilde{D}_F^{\lambda\nu}(k)$$
 (397)

 $(\xi: Eichparameter)$

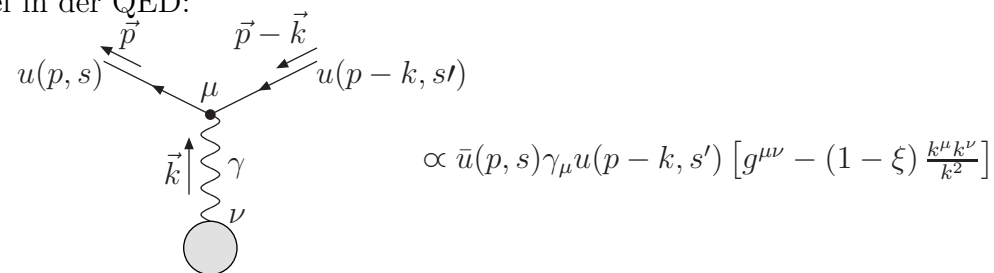
Im Impulsraum bedeutet $\partial_{\beta}j^{\beta} = 0$ gerade $k_{\beta}\tilde{j}^{\beta} = 0$. Koppeln wir also $\tilde{D}_{F}^{\lambda\nu}(k)$ an einen erhaltenen Strom,



so trägt der Term $\propto (1 - \xi)$ wegen $k_{\beta}\tilde{j}^{\beta} = 0$ nicht bei.

In der Praxis benutzt man gerade diese Bedingung, dass physikalische Amplituden nicht von ξ abhängen (**Eichunabhängigkeit**) dürfen als Check einer aufwendigen Berechnung eines Matrixelements.

Beispiel in der QED:



und

$$\bar{u}(p,s)\gamma_{\mu}u(p-k,s')k^{\mu}=\underbrace{\bar{u}(p,s)[\not p}_{m\bar{u}(p,s)}-\underbrace{(\not p-\not k)]u(p-k,s')}_{mu(p-k,s')}$$

Analog zu (287a) definieren wir

$$A_{\mu} = \int \frac{d^{3}\vec{p}}{(2\pi)^{3}} \frac{1}{\sqrt{2E_{p}}} \sum_{\lambda} \left[\epsilon_{\mu}^{(\lambda)}(\vec{p}) a_{p}^{(\lambda)} \exp(-ipx) + \epsilon_{\mu}^{(\lambda)*}(\vec{p}) a_{p}^{(\lambda)\dagger} \exp(ipx) \right] \Big|_{p^{0} = E_{p}}$$
(398)

Hier kann über reelle Polarisationen $\varepsilon^{(1)}, \varepsilon^{(2)}$ (transversal) und $\varepsilon^{(3)}$ (longitudinal) summiert werden oder über $\lambda = +, -, 3$ mit

$$\epsilon^{(\pm)} = \frac{1}{\sqrt{2}} \left(\epsilon^{(1)} \pm i \epsilon^{(2)} \right)$$

$$\vec{\epsilon}^{(1)}(\vec{p})\vec{p} = \vec{\epsilon}^{(2)}\vec{p} = 0 \qquad \epsilon_0^{(1)}(\vec{p}) = \epsilon_0^{(2)} = 0 \qquad \Rightarrow \text{transversal}$$

$$(\epsilon^{(1,2)})^2 = -(\vec{\epsilon}^{(1,2)})^2 = -1$$

$$p_{\mu} \qquad \text{logarity discal}$$
(400)

$$\epsilon_{\mu}^{(3)}(\vec{p}) = \frac{p_{\mu}}{\sqrt{2}p_{0}} \Rightarrow \text{longitudinal}$$
(400)

$$(\epsilon_{\mu}^{(3)}(\vec{p}))^2 = 0$$
, (anders als beim Proca-Feld)

Alle erfüllen: $p^{\mu} \epsilon_{\mu}^{(1,2,3)} = 0$, d.h. (398) erfüllt (389).

Wir müssen noch $\epsilon_{\mu}^{(3)}$ loswerden:

Wenn man die Summe in (398) auf $\lambda=1,2$ beschränkt, erzeugt A^{μ} nur transversale Photonen. Diese Wahl heißt **Strahlungseichung**, sie ist jedoch nicht kovariant. Bei einer Lorentz-Transformation $\epsilon_{\mu}^{(1,2)'}=\Lambda_{\mu}{}^{\nu}\epsilon_{\nu}^{(1,2)}$ hat der transformierte Polarisationsvektor im allgemeinen eine longitudinale Komponente! Um eine kovariante Quantisierungsvorschrift zu finden, führen wir die vierte Polarisation in (398) wieder ein. Zunächst wählen wir paarweise orthogonale Polarisationsvektoren $\bar{\epsilon}_{\mu}^{(\lambda)}$, $\lambda=0,1,2,3$ z.B.

$$\bar{\epsilon}_{\mu}^{(0)} = \begin{pmatrix} 1 \\ 0 \\ 0 \\ 0 \end{pmatrix}, \qquad \bar{\epsilon}_{\mu}^{(1)} = \begin{pmatrix} 0 \\ 1 \\ 0 \\ 0 \end{pmatrix}, \qquad \bar{\epsilon}_{\mu}^{(2)} = \begin{pmatrix} 0 \\ 0 \\ 1 \\ 0 \end{pmatrix}, \qquad \bar{\epsilon}_{\mu}^{(3)} = \begin{pmatrix} 0 \\ 0 \\ 0 \\ 1 \end{pmatrix}$$

und bezeichnen die Erzeuger / Vernichter mit $\bar{a}_p^{(\lambda)}, \bar{a}_p^{(\lambda)\dagger}$. Die kanonischen Vertauschungsrelationen sind:

$$[\bar{a}_{p}^{(\lambda)}, \bar{a}_{p'}^{(\lambda')}] = 0, \qquad [\bar{a}_{p}^{(\lambda)\dagger}, \bar{a}_{p'}^{(\lambda')\dagger}] = 0$$
 (401)

Für die letzten Vertauschungsrelationen haben wir zwei Möglichkeiten

$$\sum_{\lambda \lambda'=0}^{3} \left[\bar{\epsilon}_{\mu}^{(\lambda)} \bar{a}_{p}^{(\lambda)}, \bar{\epsilon}_{\nu}^{(\lambda')} \bar{a}_{p'}^{(\lambda')\dagger} \right] = -g_{\mu\nu} (2\pi)^{3} 2E_{p} \delta(\vec{p} - \vec{p}')$$
(402)

und die gleiche Beziehung mit umgekehrtem Vorzeichen rechts. Lorentz-Kovarianz erzwingt das Auftreten von $g_{\mu\nu}$ rechts. (402) impliziert nun (Kontraktion $\bar{\epsilon}^{\mu(s)}\bar{\epsilon}^{\nu(s')}$):

$$[\bar{a}_p^{(\lambda)}, \bar{a}_{p'}^{(\lambda')\dagger}] = \left\{ \begin{array}{c} -1\\ +1 \end{array} \right\} (2\pi)^3 2E_p \delta^{(3)}(\vec{p} - \vec{p}') \delta_{\lambda\lambda'} \qquad \text{für } \left\{ \begin{array}{c} \lambda = 0\\ \lambda = 1, 2, 3 \end{array} \right\}$$
(403)

weil $\bar{\epsilon}_{\mu}^{(0)}\bar{\epsilon}^{(0)\mu}=1, \epsilon_{\mu}^{(j)}\epsilon^{(j)\mu}=-1, j=1,2,3$. Wir rotieren nun in ein Bezugssystem mit

$$p^{\mu} = \begin{pmatrix} p^{0} = E_{p} \\ 0 \\ 0 \\ p^{0} \end{pmatrix} : \qquad \begin{array}{c} \epsilon^{(1)}(\vec{p}) = \bar{\epsilon}^{(1)}(\vec{p}) \\ \epsilon^{(2)}(\vec{p}) = \bar{\epsilon}^{(2)}(\vec{p}) \end{array} \right\}$$

$$(404)$$

$$\epsilon^{(3)\mu}(\vec{p}) = \frac{p^{\mu}}{\sqrt{2}p^0} = \frac{1}{\sqrt{2}}(\bar{\epsilon}^{(0)\mu} + \bar{\epsilon}^{(3)\mu}) \tag{405}$$

Der Polarisationsvektor mit skalarer Polarisation ist

$$\epsilon^{(0)\mu}(\vec{p}) = \frac{1}{\sqrt{2}} (\bar{\epsilon}^{(0)\mu} - \bar{\epsilon}^{(3)\mu}) \tag{406}$$

Achtung: $\epsilon_{\mu}^{(0)} \epsilon^{(3)\mu} = 1$ (siehe [2]). Aus $\sum_{\lambda=0}^{3} \bar{\epsilon}_{\mu}^{(\lambda)} \bar{a}_{p}^{(\lambda)} = \sum_{\lambda=0}^{3} \epsilon_{\mu}^{(\lambda)} a_{p}^{(\lambda)}$ folgt mit (404),(405) und (406): $\bar{a}_{p}^{(1,2)} = a_{p}^{(1,2)}$ und

$$\bar{a}_p^{(0)} = \frac{1}{\sqrt{2}} (a_p^{(3)} - a_p^{(0)})$$
 (407a)

$$\bar{a}_p^{(3)} = \frac{1}{\sqrt{2}} (a_p^{(3)} - a_p^{(0)})$$
 (407b)

Also:

$$a_p^{(0)} = \frac{1}{\sqrt{2}} (\bar{a}_p^{(0)} - \bar{a}_p^{(3)})$$
 (408a)

$$a_p^{(3)} = \frac{1}{\sqrt{2}} (\bar{a}_p^{(0)} + \bar{a}_p^{(3)})$$
 (408b)

Die Kommutatoren der neuen $a_p^{(\lambda)}$ sind:

$$[a_p^{(1)}, a_{p'}^{(1)\dagger}] = [a_p^{(2)}, a_{p'}^{(2)\dagger}] = (2\pi)^3 2E_p \delta^{(3)}(\vec{p} - \vec{p}')$$
 (409a)

$$[a_p^{(0)}, a_{p'}^{(0)\dagger}] = [a_p^{(3)}, a_{p'}^{(3)\dagger}] = 0$$
 (409b)

$$[a_p^{(0)}, a_{p'}^{(3)\dagger}] = [a_p^{(3)}, a_{p'}^{(0)\dagger}] = -(2\pi)^3 2E_p \delta^{(3)}(\vec{p} - \vec{p'})$$
(409c)

Alle anderen Kommutatoren verschwinden. Die Vertauschungsregeln für $a_p^{(1,2)}$ sind also wie die von $\bar{a}_p^{(1,2)}, \bar{a}_p^{(1,2)\dagger}$ in (403). (409) ist Lorentz-Invariant und gilt in jedem Bezugssystem. Da wir $\epsilon_{\mu}^{(0)}a_{p}^{(0)}$ in unserer Fourierdarstellung (398) beibehalten, können wir die Bedingung $\partial_{\mu}A^{\mu}=0$ bzw. $k_{\mu}\tilde{A}^{\mu}(k) = 0$ nicht mehr stellen. Lösung:

Gupta-Bleuler-Formalismus

• Für physikalische Zustände $| phys \rangle$ muss gelten:

$$a_p^{(0)}|phys\rangle = 0 \tag{410}$$

D.h. zum Photonen-Fockraum gehören nur Zustände ohne skalare Polarisation. Wegen

$$\partial_{\mu}A^{\mu} \stackrel{(398)}{=} \int \frac{d^{3}\vec{p}}{(2\pi)^{3}} \frac{i}{\sqrt{2E_{p}}} \left[-(p\epsilon^{(0)}(p))a_{p}^{(0)} \exp(-ipx) + (p\epsilon^{(0)*}(p))a_{p}^{(0)\dagger} \exp(ipx) \right] \Big|_{p^{0}=E_{p}}$$

gilt also:

$$\langle phys | \partial_{\mu}A^{\mu} | phys \rangle \stackrel{(410)}{=} 0$$
 (411)

D.h. alle Matrixelemente erfüllen die Lorentz-Bedingung. Mögliche physikalische Ein-Teilchen-Zustände sind:

$$a_p^{(1)\dagger} | 0 \rangle, \quad a_p^{(2)\dagger} | 0 \rangle, \quad a_p^{(0)\dagger} | 0 \rangle$$
 (412a)

denn alle erfüllen (410), z.B.

$$a_{p'}^{(0)} a_{p}^{(0)\dagger} | 0 \rangle \stackrel{(409)}{=} a_{p}^{(0)\dagger} \underbrace{a_{p'}^{(0)} | 0 \rangle}_{=0} = 0$$

nicht jedoch $a_p^{(3)\dagger}|0\rangle$, denn

$$a_p^{(0)} a_p^{(3)\dagger} | \, 0 \, \rangle \stackrel{(409)}{=} - (2\pi)^3 2 E_p \delta^{(3)} (\vec{p} - \vec{p}') | \, 0 \, \rangle \Rightarrow a_p^{(3)\dagger} | \, 0 \, \rangle \text{ wäre skalares Photon}$$

Physikalsche Vielteilchenzustände sind alle Zustände

$$a_{p_1}^{(j_1)\dagger} \cdots a_{p_n}^{(j_n)\dagger} | 0 \rangle$$
 (412b)

in denen kein $a_{p_i}^{(3)\dagger}$ vorkommt. Wir haben immer noch eine Polarisation zuviel und ein weiteres Problem: Die Normen der Einteilchenzustände sind wegen

$$\langle 0 | a_{p'}^{(1,2)} a_p^{(1,2)\dagger} | 0 \rangle \stackrel{(409)}{=} (2\pi)^3 2E_p \delta^{(3)}(\vec{p} - \vec{p'})$$

$$\langle 0 | a_{p'}^{(0)} a_p^{(0)\dagger} | 0 \rangle \stackrel{(409)}{=} 0$$

$$(414)$$

$$\langle 0 | a_{p'}^{(0)} a_p^{(0)\dagger} | 0 \rangle \stackrel{(409)}{=} 0$$
 (414)

nicht positiv definit. (413) stellt zwar sicher, dass Wellenpakete $|f\rangle$ aus transversalen Photonen $\langle f | f \rangle > 0$ erfüllen (wir also das richtige Vorzeichen in (402) gewählt haben), solche aus longitudinal polarisierten Photonen haben wegen (414) jedoch eine indefinite Norm. (Wegen $a_p^{(3)} a_p^{(0)\dagger} | 0 \rangle \neq 0$ ist also $a_p^{(0)\dagger} | 0 \rangle$ longitudinal polarisiert)

Der zweite Punkt des Gupta-Bleuler-Formalismus ist:

• Physikalische Zustände entsprechen Äquivalenzklassen von Vektoren des Fockraums, wobei zwei Zustände $|1\rangle$, $|2\rangle$ als äquivalent definiert werden $(|1\rangle \sim |2\rangle)$, wenn gilt:

$$\||1\rangle - |2\rangle\|^2 = (\langle 2|-\langle 1|)(|1\rangle - |2\rangle) = 0 \tag{415}$$

Man verifiziert mit (414) die Transitivität, also dass $|1\rangle \sim |2\rangle$ und $|2\rangle \sim |3\rangle$ auch $|1\rangle \sim |3\rangle$ impliziert. Einfacher: Die zu (412b) äquivalenten Zustände erhält man durch alle Substitutionen $a_p^{(j)\dagger} \to a_p^{(j)\dagger} + \lambda a_{p'}^{(0)\dagger}$ und mithin gilt: $a_{p_1}^{(j_1)\dagger} \cdots a_{p_j}^{(0)\dagger} \cdots a_{p_n}^{(j_n)\dagger} |0\rangle \sim 0$ und der so definierte Hilbertraum ist positiv definit, denn aus $|||f\rangle|| = 0$ folgt $|f\rangle \sim 0$ Beispiel:

$$j = 1, 2 : |\vec{p} \epsilon^{(j)}\rangle = a_p^{(j)\dagger} |0\rangle \sim (a_p^{(j)\dagger} + a_p^{(0)\dagger}) |0\rangle$$

• Norm:

$$\langle \, 0 \, | (a_{p'}^{(j)} + a_{p'}^{(0)}) (a_p^{(j)\dagger} + a_p^{(0)\dagger}) | \, 0 \, \rangle = \langle \, 0 \, | a_{p'}^{(j)} a_p^{(j)\dagger} + a_{p'}^{(0)} a_p^{(j)\dagger} + a_{p'}^{(j)} a_p^{(0)\dagger} + \underbrace{a_{p'}^{(0)} a_p^{(0)\dagger} | \, 0 \, \rangle}_{\text{vertauschen und } a_{p'}^{(0,j)} | \, 0 \, \rangle = 0$$

$$= \langle \, 0 \, | a_{p'}^{(j)} a_p^{(j)\dagger} | \, 0 \, \rangle$$

• Lorentz-Kovarianz:

$$k'^{\mu} = \Lambda^{\mu}{}_{\nu}k^{\nu}, \qquad \epsilon^{\mu} = \begin{pmatrix} 0 \\ \vec{\epsilon} \end{pmatrix} \text{ mit } \vec{\epsilon}\vec{k} = 0 \text{ (also transversal)}.$$

Ansatz:

$$\epsilon^{\mu\prime} = \begin{pmatrix} 0 \\ \vec{\epsilon}' \end{pmatrix} + \begin{pmatrix} \eta^0 \\ \vec{\eta} \end{pmatrix} \text{ mit } \vec{\epsilon}' \vec{k}' = 0, \vec{\eta}' \uparrow \uparrow \vec{k}'$$

Nun ist:

$$\epsilon^{\mu'} k'_{\mu} = \epsilon^{\mu} k_{\mu} = 0 \Rightarrow 0 = \eta^{0} E'_{k} - \vec{\eta} \, \vec{k}' = \eta^{0} E'_{k} - |\vec{\eta}| \underbrace{|\vec{k}'|}_{E'_{k}}$$

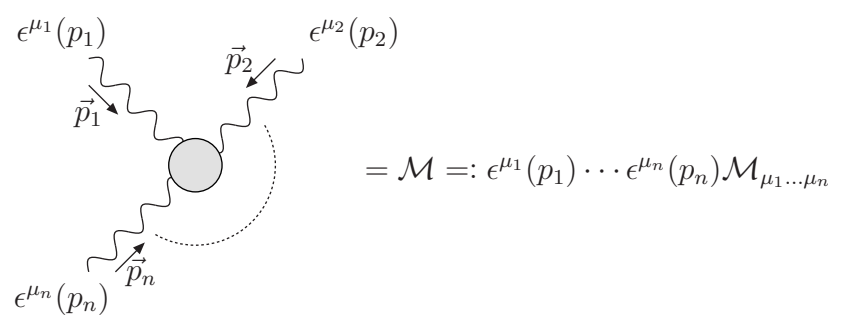
$$= E'_{k} (\eta^{0} - |\vec{\eta}|) \Rightarrow \eta^{0} = |\vec{\eta}| \text{ und } \vec{\eta} = \frac{\eta^{0}}{E'_{k}} \vec{k}'$$

 $\Rightarrow \epsilon^{\mu\prime}$ ist nicht transversal, der Zusatzterm ist (im Bezugssystem mit $\vec{k}' = \begin{pmatrix} 0 & 0 & E_k' \end{pmatrix}^{\top}$) gerade:

$$\begin{pmatrix} \eta^0 \\ \frac{\eta^0}{E_k'} \vec{k'} \end{pmatrix} = \eta^0 \begin{pmatrix} 1 \\ 0 \\ 0 \\ 1 \end{pmatrix} = \sqrt{2} \eta^0 \epsilon^{(3)\mu} (\vec{k'})$$

und $|p(\epsilon'^{\mu} + \eta^0 \sqrt{2} \epsilon^{(3)\mu})\rangle = |p\epsilon'^{\mu}\rangle + \eta^0 \sqrt{2} \epsilon^{(3)\mu} a_p^{(0)\dagger} |0\rangle \sim |p\epsilon'^{\mu}\rangle$ \Rightarrow Die Äquivalenzklassen sind wirklich Lorentzinvariant (für Einteilchenzustände gezeigt)

Um die Konsistenz des Gupta-Bleuler-Formalismus zu beweisen, muss weiter gezeigt werden, dass die Ersetzung $\epsilon^{\mu} \to \epsilon^{\mu} + \lambda \epsilon^{(3)\mu}$ auch die Matrixelemente nicht verändert:



Invarianz unter $\epsilon^{\mu_j}(p_j) \to \epsilon^{\mu_j}(p_j) + \lambda \epsilon^{(3)\mu_j}(p_j)$ erfordert:

$$\epsilon^{(3)\mu_j}(p_j)\mathcal{M}_{\mu_1\dots\mu_n} = 0 \text{ für } j = 1\dots n$$
(416)

Wegen $\varepsilon^{(3)\mu} \propto p_i^{\mu}$ ist hinreichend, dass gilt:

$$p^{\mu_j} \mathcal{M}_{\mu_1 \dots \mu_n} = 0 \tag{417}$$

Dies ist auch tatsächlich erfüllt. (417) heißt (QED-)Ward-Identität, die wir später beweisen werden.

5.4.2 Feynman-Regeln der QED

• Photon-Propagator (siehe (397)):

$$\frac{-i}{\alpha} \sqrt{\sum_{\beta} \frac{-i}{k^2 + i\delta}} \left[g^{\alpha\beta} - (1 - \xi) \frac{k^{\alpha} k^{\beta}}{k^2} \right]$$
(418)

• Fermion-Propagator (siehe 5.2):

$$\frac{\vec{p}}{\alpha} \qquad \beta \qquad \frac{i \left[p' + m \right]_{\alpha\beta}}{p^2 - m^2 + i\delta} \tag{419}$$

• Fermion-Photon Vertex:

$$\downarrow^{j} \mu \qquad iq_{f}e[\gamma_{\mu}]_{jk} \tag{420}$$

 q_f : Fermionladung, $q_f=-1$ für das Elektron, e=0,3=elektromagnetische Kopplungskonstante $\frac{e^2}{4\pi}=\alpha_{QED}=\frac{1}{137}$

• Externe Photonen (siehe (295)):

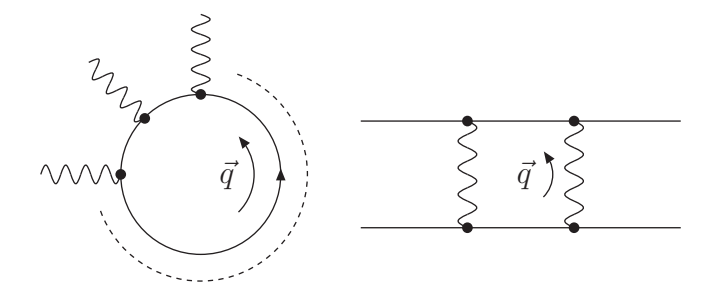
einlaufend
$$\frac{\vec{p}}{\vec{p}} \epsilon_{\mu}(p)$$
auslaufend
$$\frac{\vec{p}}{\vec{p}} \epsilon_{\mu}^{*}(p)$$

(mit transversalen ϵ_{μ} , Addition von $\epsilon_{\mu} \propto p_{\mu}$ erlaubt)

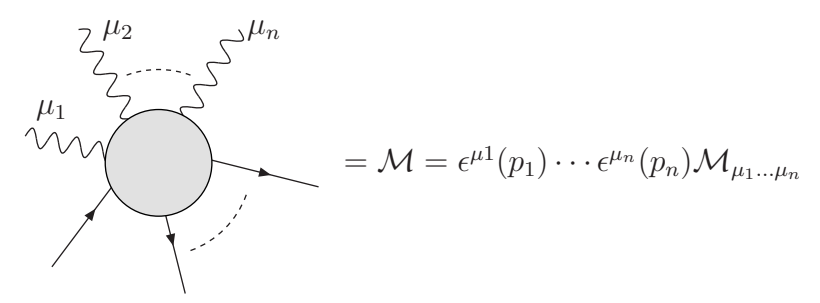
• Externe Fermionen (siehe 5.2):

	Fermion	Antifermion	
einlaufendes	β, s \vec{p} $u_{\beta}^{s}(\vec{p})$	$\vec{v}_{\alpha}^{s}(\vec{p})$	(422)
auslaufendes	\vec{p} , $\vec{u}_{\alpha}^{s}(\vec{p})$	\vec{p}, s $v_{\beta}^{s}(\vec{p})$	

• Die Regeln für das globale Vorzeichen und der Faktor -1 für geschlossene Fermionlinien gelten natürlich wie bei der Yukawa-Theorie. Ebenso: $\int \frac{d^4q}{(2\pi)^4}$ für jede Schleife.



5.4.3 Diagrammatischer Beweis der Ward-Identität



Wir betrachten ein externes Photon mit (μ, P) . Jedes Photon endet an einer Fermionlinie. Es treten 4 Fälle auf:

1.

$$\vec{k}_{j} + \vec{P} = \vec{k}_{j+1}$$

$$\vec{k}_{j}$$

$$\vec{k}_{j}$$

$$\vec{k}_{j-1}$$

$$\vec{k}_{j-1}$$

$$\vec{k}_{j}$$

$$\vec{k}_{j}$$

$$\vec{k}_{j-1}$$

$$\vec{k}_{j}$$

$$\vec{k}_{j}$$

$$\vec{k}_{j-1}$$

$$\vec{k}_{j}$$

$$\vec{k}_{j}$$

$$\vec{k}_{j-1}$$

$$\vec{k}_{j}$$

$$\vec{k}_{N} + \vec{P} = \vec{k}_{N+1} \\
\vec{u}(\vec{k}_{N+1}, s) \\
\vec{k}_{N} \quad \vec{k}_{N-1} \\
\vec{k}_{N} \quad \vec{k}_{N-1} \\
(424)$$

3.

$$\vec{k}_1 + \vec{P} = \vec{k}_2$$

$$\vec{k}_1$$

$$u(\vec{k}_1, s')$$

$$(425)$$

4.

$$\bar{u}(\vec{k}_1 + \vec{P}, s) \xrightarrow{\vec{k}_1 + \vec{P}} \xrightarrow{\vec{k}_1} u(\vec{k}_1, s')$$

$$(426)$$

Zu \mathcal{M} tragen alle unterschiedlichen Feynman-Diagramme mit gleicher Zahl externer Photonen bei. $p^{\mu}\mathcal{M}_{\mu_1...\mu_n}$ umfasst also für 1 < j < N-1 außer

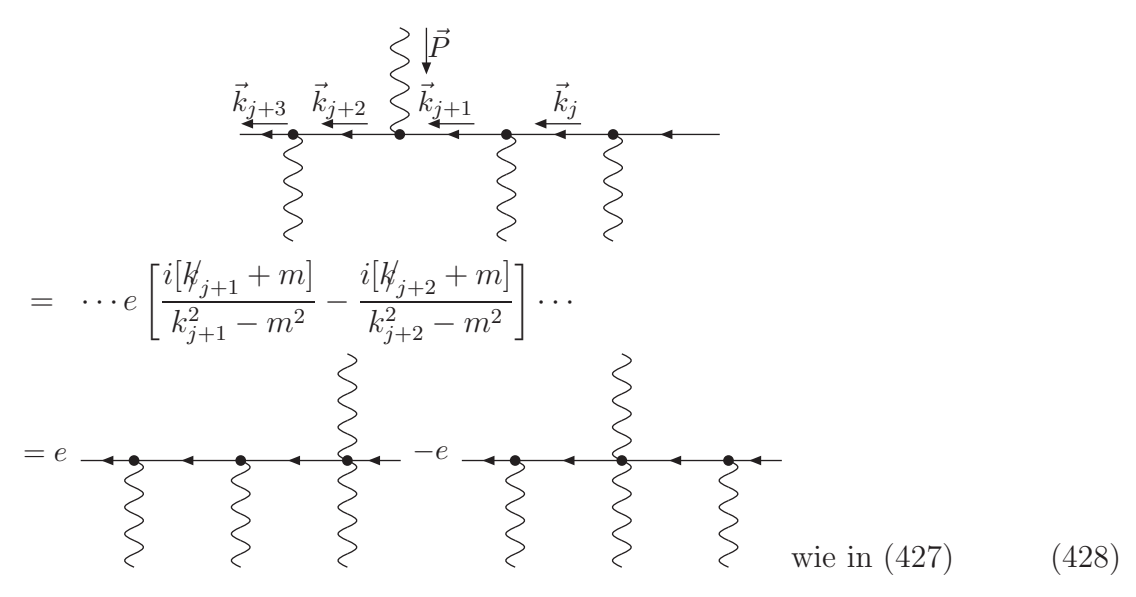
$$\frac{\vec{k}_{j+3} \quad \vec{k}_{j+2}}{\underbrace{\vec{k}_{j}}_{j+1} = \vec{k}_{j} + \vec{P}} \underbrace{\vec{k}_{j}}_{k_{j+1}} = \vec{k}_{j} + \vec{P}} = \underbrace{\vec{k}_{j+1} - m - (\vec{k}_{j} - m)}_{i[\vec{k}_{j} + m]} e \left[\frac{i[\vec{k}_{j} + m]}{k_{j}^{2} - m^{2}} - \frac{i[\vec{k}_{j+1} + m]}{k_{j+1}^{2} - m^{2}} \right] \cdots = e$$

$$= e \underbrace{\vec{k}_{j+1} - m^{2}}_{mit \text{ fiktivem}} \underbrace{\vec{k}_{j} - m^{2} - \frac{i[\vec{k}_{j+1} + m]}{k_{j+1}^{2} - m^{2}}} \cdot \cdots \right] \cdots$$

$$= e \underbrace{\vec{k}_{j+1} - m^{2}}_{mit \text{ fiktivem}} \underbrace{\vec{k}_{j} - m^{2} - \frac{i[\vec{k}_{j+1} + m]}{k_{j+1}^{2} - m^{2}}} \cdot \cdots \right] \cdots$$

$$= e \underbrace{\vec{k}_{j+1} - m^{2}}_{mit \text{ fiktivem}} \underbrace{\vec{k}_{j} - m^{2} - \frac{i[\vec{k}_{j+1} + m]}{k_{j+1}^{2} - m^{2}}} \cdot \cdots \right] \cdots$$

auch die Diagrammklasse:



Aus der Summe aus (427) und (428) fällt der Propagator

$$\frac{i[k_{j+1} + m]}{k_{j+1}^2 - m^2}$$

heraus. Summieren wir für den Fall einer offenen Fermionlinie mit N Vertizes alle Diagrammklassen für $j=2,\ldots N-2,$ so findet man

$$\bar{u}(\vec{k}_{N+1},s) \xrightarrow{\vec{k}_{N+1}} \vec{k}_{N-1} \cdots \cdots \xrightarrow{\vec{k}_3} \vec{k}_1 u(\vec{k}_1,s')$$

$$(429)$$

Die Diagrammklasse (424) gibt gerade:

$$\bar{u}(\vec{k}_{N+1},s) \xrightarrow{\vec{k}_{N+1}} \underbrace{\vec{k}_{N}}_{\vec{k}_{N}}$$

$$= \bar{u}(k_{N+1},s) (-ie) \gamma_{\mu} \frac{i[\not k_{N}+m]}{k_{N}^{2}-m^{2}} p^{\mu} \cdots$$

$$p = \not k_{N+1} - m - (\not k_{N}-m) \\
= e \bar{u}(k_{N+1},s) [\not k_{N+1}-m] \frac{i[\not k_{N}+m]}{k_{N}^{2}-m^{2}} \cdots - e \bar{u}(k_{N+1},s) \cdots$$

$$= -e \bar{u}(\vec{k}_{N+1},s) \xrightarrow{\vec{k}_{N+1}} \underbrace{\vec{k}_{N-1}}_{\vec{k}_{N}-1}$$

$$\downarrow \vec{p}$$

$$\vec{k}_{N+1},s = -e \bar{u}(\vec{k}_{N+1},s) \xrightarrow{\vec{k}_{N+1}} \underbrace{\vec{k}_{N+1}}_{\vec{k}_{N}-1}$$

$$\downarrow \vec{p}$$

$$\downarrow \vec{k}_{N-1}$$

$$\downarrow \vec{k}_{N-1}$$

$$\downarrow \vec{k}_{N-1}$$

$$\downarrow \vec{k}_{N-1}$$

$$\downarrow \vec{k}_{N}$$

Analog liefert (425) gerade:



und die Summe aus (429),(430),(431) ist gleich 0. Der Beweis galt für $N \ge 2$. Der Fall N = 1 wird durch (426) trivial abgedeckt.

Damit haben wir $p^{\mu}\mathcal{M}_{\mu_1...\mu_n}=0$ für die Diagrammklasse bewiesen, in der unser Photon (μ, P) mit einer offenen Fermionlinie verbunden ist.

Für den Fall einer geschlossenen Linie mit $N \geq 3$ findet man:

$$p^{\mu} \cdot \begin{pmatrix} \begin{pmatrix} \vec{k}_{j+1}\vec{k}_{j} \end{pmatrix} & \begin{pmatrix} 427 \end{pmatrix} & \begin{pmatrix} \vec{k}_{j+2} & \vec{k}_{j} \end{pmatrix} & - \begin{pmatrix} \vec{k}_{j+1}\vec{k}_{j-1} \end{pmatrix} & \begin{pmatrix} \vec{k}_{j+1}\vec{k}_{j-1} \end{pmatrix}$$

Summiert man über alle Diagrammklassen, so findet man wieder 0. Für N=2 sind die beiden Diagrammklassen, die man durch Vertauschen der Photonen auseinander gewinnt, gleich. Doch auch hier ist:

$$p^{\mu} \cdot \bigvee \bigvee = \bigvee \bigvee - \bigvee \bigvee = 0 \tag{432}$$

Damit haben wir die **QED-Ward-Identität** gezeigt:

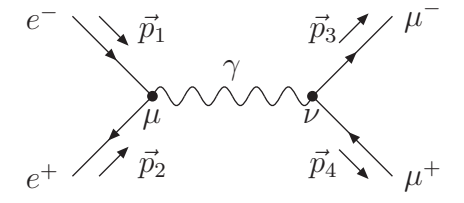
$$\mathcal{M} = \epsilon^{\mu_1}(p_1) \cdots \epsilon^{\mu_N}(p_N) \mathcal{M}_{\mu_1 \dots \mu_N} \Rightarrow p_i^{\mu_j} \mathcal{M}_{\mu_1 \dots \mu_j \dots \mu_N}$$
(433)

In jedem Feynman-Diagramm dürfen wir also $\epsilon^{\mu_j}(p_j)$ durch $\epsilon^{\mu_j}(p_j) + \epsilon^{(3)\mu_j}(p_j)$ (wegen $\epsilon^{(3)\mu_j}(p_j) \propto p_j^{\mu_j}$) ersetzen.

⇒ Gupta-Bleuler-Formalismus ist konsistent.

5.4.4 Anwendung: Myon-Paarproduktion in e^+e^- Kollisionen

QED-Prozess:



Wir berechnen den unpolarisierten Streuquerschnitt. Nützliche Abkürzung:

Elektron-Spinor
$$e(k, s) \equiv u(k, s)$$
 (434a)

Positron-Spinor
$$e(-k, s) \equiv v(k, s)$$
 (434b)

D.h. e(k, s) beschreibt ein Elektron mit Impuls \vec{k} , wenn $k^0 = E_k > 0$ und ein Positron mit Impuls $-\vec{k}$, wenn $k^0 = -E_k < 0$:

Vorteil: \vec{k} fließt immer mit der Fermionzahl, und

$$\frac{k\!/e(k,s) = me(k,s)}{\bar{e}(k,s)k\!/e = m\bar{e}(k,s)}$$
 für e^+ und e^-

Polarisationssumme:

$$\sum_{s} e(k,s)\bar{e}(k,s) = \operatorname{sgn} k^{0} \cdot [k+m]$$
(435)

Vernachlässige m_e und m_{μ} : Mit (418) bis (422) erhält man:

$$i\mathcal{M} = \bar{e}(-p_2, s_2)(-ie)\gamma^{\mu}e(p_1, s_1)$$

$$-\frac{i}{(p_1 + p_2)^2} \left[g_{\mu\nu} - (1 - \xi) \frac{(p_1 + p_2)_{\mu}(p_1 + p_2)_{\nu}}{(p_1 + p_2)^2} \right]$$

$$\bar{\mu}(p_3, s_3)(-ie)\gamma^{\nu}\mu(-p_4, s_4)$$

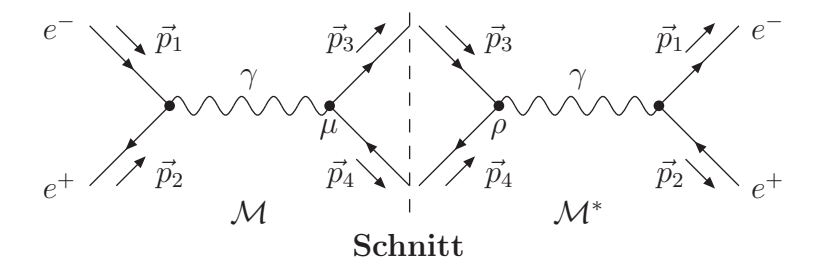
$$= \frac{ie^2}{s} \bar{e}(-p_2, s_2)\gamma^{\mu}e(p_1, s_1)\bar{\mu}(p_3, s_3)\gamma_{\mu}\mu(-p_4, s_4)$$

mit $s = (p_1 + p_2)^2$. Der Term $\propto 1 - \xi$ verschwindet wegen

$$\underbrace{\bar{e}(y_2')}_{=0} + \underbrace{y_1')e}_{=0} = 0$$

$$\mathcal{M}\mathcal{M}^* = \frac{e^4}{s^2} \bar{e}(-p_2, s_2) \gamma^{\mu} e(p_1, s_1) \bar{\mu}(p_3, s_3) \gamma_{\mu} \mu(-p_4, s_4) \bar{\mu}(-p_4, s_4) \gamma_{\rho} \mu(p_3, s_3) \bar{e}(p_1, s_1) \gamma^{\rho} e(-p_2, s_2)$$
(436)

graphisch:



Der Schnitt kennzeichnet den Endzustand.

 \mathcal{M}^* : gespiegeltes Feynman-Diagramm + Fermionzahlfluss und Impulsfluss umgedreht. $\Rightarrow \mathcal{M}\mathcal{M}^* = \text{erlaubtes Diagramm (Endzustandslinien verbunden)}$

Feynman-Regel für M: (gilt immer, nicht nur für die QED)

Das Diagramm zu \mathcal{MM}^* wird mit den üblichen Feynman-Regeln berechnet (jedoch wird bei den geschnittenen Propagatoren kein Faktor $\frac{i}{p^2-m^2+i\varepsilon}$ mitgegeben. Die Polarisationssumme über s_3, s_4 in (436) ergibt gerade: $(m_\mu \neq 0)$:

$$\operatorname{tr}(\gamma_{\mu}(-p_{4}^{\prime}+m_{\mu})\gamma_{\rho}(p_{3}^{\prime}+m_{\mu}))\underbrace{(-1)}_{\text{wegen (435)}}$$

Die Feynman-Regel für Fermionschleifen liefert auch den Faktor (-1) und die Spur (437). Jedoch ist der volle Feynman-Propagator $\frac{p'_{+m_{\mu}}}{p^{2}-m^{2}+i\varepsilon}$ für $p=p_{3},-p_{4}$. Damit finden wir $\overline{|\mathcal{M}|^{2}}$ viel schneller (nun für $m_{\mu}=m_{e}=0$):

$$\sum_{s_3, s_4} |\mathcal{M}|^2 = \frac{e^4}{s^2} (-1) \operatorname{tr}(\gamma_{\mu}(-p_4)\gamma_{\rho}p_3) \bar{e}(-p_2, s_2) \gamma^{\mu} e(p_1, s_1) \bar{e}(p_1, s_1) \gamma^{\rho} e(-p_2, s_2)
\operatorname{und} |\overline{\mathcal{M}}|^2 = \frac{1}{4} \sum_{s_1, s_2} \sum_{s_3, s_4} |\mathcal{M}|^2 = \frac{e^4}{4s^2} \operatorname{tr}(\gamma_{\mu} p_4 \gamma_{\rho} p_3) \operatorname{tr}(\gamma^{\mu} p_2 \gamma^{\rho} p_1)$$
(438)

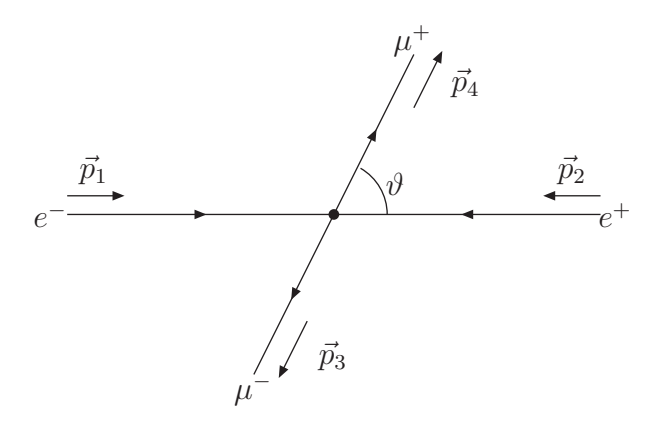
denn

$$\sum_{s_1, s_2} \bar{e}(-p_2, s_2) \gamma^{\mu} e(p_1, s_1) \, \bar{e}(p_1, s_1) \gamma^{\rho} e(-p_2, s_2) = \operatorname{tr}(\gamma^{\rho} p_2 \gamma^{\mu} p_1) = \operatorname{tr}(\gamma^{\mu} p_2 \gamma^{\rho} p_1)$$

Die Spuren berechnen sich zu

$$\mathcal{T} = \operatorname{tr}(\gamma_{\mu} p_{4}^{\prime} \gamma_{\rho} p_{3}^{\prime}) \operatorname{tr}(\gamma^{\mu} p_{2}^{\prime} \gamma^{\rho} p_{1}^{\prime}) = 32 \left[(p_{1} p_{4}) (p_{2} p_{3}) + (p_{1} p_{3}) (p_{2} p_{4}) \right]$$
(439)

Schwerpunktssystem:



$$p_1 = \begin{pmatrix} E \\ 0 \\ 0 \\ E \end{pmatrix} \qquad p_2 = \begin{pmatrix} E \\ 0 \\ 0 \\ -E \end{pmatrix} \qquad p_3 = \begin{pmatrix} E \\ E \sin \vartheta \\ 0 \\ -E \cos \vartheta \end{pmatrix} \qquad p_4 = \begin{pmatrix} E \\ -E \sin \vartheta \\ 0 \\ E \cos \vartheta \end{pmatrix}, \qquad s = 4E^2$$

$$\mathcal{T} = 2s^{2} \left[(1 - \cos \theta)^{2} + (1 + \cos \theta)^{2} \right] = 4s^{2} (1 + \cos^{2} \theta)$$
 (440)

Einsetzen in (438)

$$\sum_{83.84} \overline{|\mathcal{M}|^2} = e^4 (1 + \cos^2 \theta) \tag{441}$$

Mit (358) finden wir für den unpolarisierten Streuquerschnitt)

$$\left(\frac{d\,\sigma}{d\,\Omega}\right)_{CM} = \frac{\overline{|\mathcal{M}|^2}}{64\pi^2 s} = \frac{e^4}{64\pi^2 s} (1 + \cos^2 \vartheta) = \frac{\alpha^2}{4} \frac{1 + \cos^2 \vartheta}{s} \qquad \text{mit } \alpha = \frac{e^2}{4\pi} \tag{442}$$

Die Integration über φ liefert:

$$\left(\frac{d\,\sigma}{d\cos\vartheta}\right)_{CM} = \int_{0}^{2\pi} d\varphi \left(\frac{d\,\sigma}{d\,\Omega}\right)_{CM} = \frac{\alpha^2\pi}{2} \frac{1+\cos^2\vartheta}{s} \tag{443}$$

Wir können uns die Winkelverteilung auch in Form von Kugelflächenfunktionen ansehen: Winkelverteilung in (443)

$$1 + \cos^2 \vartheta = 4\pi \underbrace{\left| Y_0^0(\vartheta, \varphi) \right|^2}_{l=0, \text{ s-Welle}} + \frac{4\pi}{3} \underbrace{\left| Y_1^0(\vartheta, \varphi) \right|^2}_{l=1, \text{ p-Welle}}$$

Virtuelles Photon: Spin $1 \Rightarrow \mu^+\mu^-$ Paar in j=1 Zustand ergibt zwei Möglichkeiten:

- l = 0 und s = 1
- l = 1 und s = 0

(s: Gesamtspin des $\mu^+\mu^-$ – Systems)

Beim Austausch eines skalaren Teilchens (Higgs,...) würde man keine ϑ Abhängigkeit finden, den j=0 impliziert s=0, l=0 und das $\mu^+\mu^-$ Paar ist in einer s-Welle:

$$\mathcal{T} \to \operatorname{tr}(y_1 y_3) \operatorname{tr}(y_2 y_1) = 16(p_1 p_2) (p_3 p_4) = 4s^2 \Rightarrow \operatorname{isotrop}$$

5.4.5 Crossing-Symmetrie

Beispiel:

$$e^{-}\mu^{-} \rightarrow e^{-}\mu^{-}$$

$$e^{-} \overrightarrow{\vec{p_{1}}} \qquad \overrightarrow{\vec{p_{2}}} \qquad e^{-}$$

$$\mu^{-} \qquad \overrightarrow{\vec{p_{4}}} \qquad \overrightarrow{\vec{p_{3}}} \qquad \mu^{-}$$

$$(444)$$

Einziger Unterschied zu $e^+e^- \to \mu^+\mu^-$ ist $p_2 \to -p_2$, $p_3 \to -p_3$ wobei auch $\bar{e}(-p_2,s_2) \to \bar{e}(p_2,s_2)$ und $\bar{\mu}(-p_4,s_4) \to \bar{\mu}(p_4,s_4)$ ersetzt wird (vgl. 434). Die Polarisationssumme (435) hat wegen $\operatorname{sgn} p_1^0 = \operatorname{sgn} p_2^0 = \operatorname{sgn} p_3^0 = \operatorname{sgn} p_4^0 = 1$ nun keinen Faktor (-1). Die Berechnung eines Prozesses, bei dem Teilchen im Anfangszustand durch Teilchen im Endzustand ausgetauscht werden, z.B. $A\bar{C} \to \bar{B}D$ oder $A \to \bar{B}CD$ aus $AB \to CD$ (\bar{C}, \bar{B} Antiteilchen zu C, B) heißt Crossing.

Crossing-Symmetrie

$$\mathcal{M}(A_1 \dots A_n \to B_1 \dots B_m) = (-1)^f \mathcal{M}(A_1 \dots A_k \to \bar{A}_{k+1}, \dots \bar{A}_n, B_1 \dots B_m)$$
(445)

wobei f die Zahl der (Anti-)Fermionen ist, die vom Anfangs- in den Endzustand gekreuzt wurden. (445) ist so zu verstehen, dass die Impulsrichtungen in beiden Matrixelementen gleich sind.

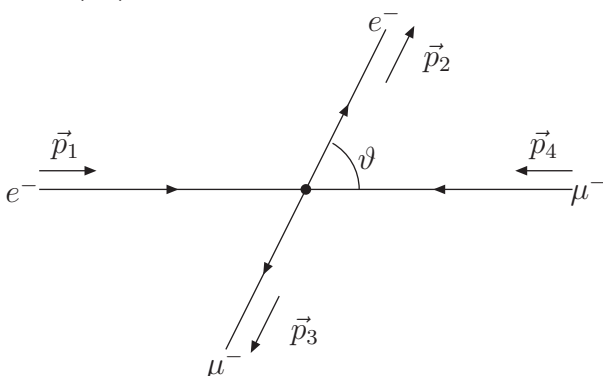
 $A_1 \qquad B_1 \qquad A_1 \qquad A_2 \qquad B_2 \qquad B_2 \qquad B_3 \qquad B_4 \qquad B_5 \qquad B_6 \qquad B_6 \qquad B_7 \qquad B_8 \qquad B_8$

D.h. der physikalische Impuls eines gekreuzten Teilchens mit Impuls p ist -p. Also impliziert (445) die analytische Fortsetzung von $p^0 < 0$ nach $p^0 > 0$.

Das Matrixelement zu $e^-\mu^- \to e^-\mu^-$ kann man also aus (438),(439) ablesen:

$$\sum_{s} \overline{|\mathcal{M}|^2} = \sum_{s} \overline{|\mathcal{M}(e^+e^- \to \mu^+\mu^-)|^2} = \frac{e^4}{t^2} \frac{1}{4} 32 \left[(p_1p_4)(p_2p_3) + (p_1p_3)(p_2p_4) \right]$$
(446)

wobei $t := (p_2 - p_1)^2$ nun den Impulsübertrag vom e^- auf das μ^- bezeichnet. Die Kinematik ist nun anders als bei $e^+e^- \to \mu^+\mu^-$:



 p_1 und p_3 wie in $e^+e^- \to \mu^+\mu^-$. Aber p_2 ist mit p_4 vertauscht:

$$p_{1} = \begin{pmatrix} E \\ 0 \\ 0 \\ E \end{pmatrix} \qquad p_{2} = \begin{pmatrix} E \\ -E\sin\vartheta \\ 0 \\ E\cos\vartheta \end{pmatrix} \qquad p_{3} = \begin{pmatrix} E \\ E\sin\vartheta \\ 0 \\ -E\cos\vartheta \end{pmatrix} \qquad p_{4} = \begin{pmatrix} E \\ 0 \\ 0 \\ -E \end{pmatrix}$$

z.B.

$$t = (p_2 - p_1)^2 = (E_2 - E_1)^2 - (\vec{p_2} - \vec{p_1})^2 = -E^2[\sin^2 \vartheta + (\cos \vartheta - 1)^2] = -2E^2(1 - \cos \vartheta)$$

Setzt man alle Skalarprodukte ein, so findet man (mit $s = (p_1 + p_2)^2$)

$$\left(\frac{d\sigma}{d\Omega}\right)_{CM} = \frac{\alpha^2}{2s(1-\cos\vartheta)^2}(4+(1+\cos\vartheta)^2) \tag{447}$$

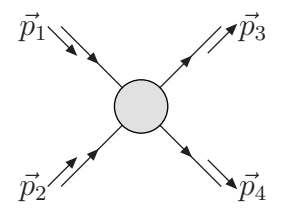
$$\left(\frac{d\,\sigma}{d\cos\vartheta}\right)_{CM} = \frac{\pi\alpha^2}{s(1-\cos\vartheta)^2}(4+(1+\cos\vartheta)^2) \tag{448}$$

 \Rightarrow andere Winkelverteilung als in (443) $\left(\frac{d\sigma}{d\cos\vartheta}\right)_{CM}$ wird singulär für $\vartheta \to 0$ wie

$$\frac{d\,\sigma}{d\,\cos\vartheta} \stackrel{\vartheta\to 0}{\simeq} \frac{1}{\vartheta^4} \tag{449}$$

(Nennt man auch collineare Divergenz)

D.h. Streuprozesse, bei denen sich die Teilchen fast verfehlen (schleifende Kollisionen, "glancing collisions") sind begünstigt. "Beliebig kleine Impulsüberträge passieren beliebig oft". Das Verhalten in (449) ist Folge der Massenlosigkeit des Photons, also der Langreichweitigkeit der elektromagnetischen Wechselwirkung (- dem Coulomb-Potential kann man nicht entkommen). In einer $2 \rightarrow 2$ Streuung



heißen

$$s = s_{12} = (p_1 + p_2)^2 = (p_3 + p_4)^2$$
 (450a)

$$t = s_{13} = (p_1 - p_3)^2 = (p_2 - p_4)^2$$
 (450b)

und
$$u = s_{23} = (p_2 - p_3)^2 = (p_1 - p_4)^2$$
 (450c)

Mandelstam-Variablen (vgl (333)). Drücken wir die unpolarisierten Matrixelemente durch s, t, u aus, so bedeutet die Crossing-Symmetrie gerade

$$\overline{|\mathcal{M}|^2}(s,t,u) = \overline{|\mathcal{M}|^2}(t,u,s) = \overline{|\mathcal{M}|^2}(u,s,t) = \dots \text{ usw.}$$
(451)

was man an (438)/(439) und (446) überprüfen kann.

Für beliebige Teilchenmassen $m_1, \ldots m_4$ gilt:

$$s + t + u \stackrel{(336)}{=} m_1^2 + m_2^2 + m_3^2 + m_4^2 \tag{452}$$

Dabei ist immer s > 0

Für
$$m_1 = m_3$$
 (oder $m_2 = m_4$) ist $t < 0$

und für
$$m_1 = m_4$$
 (oder $m_2 = m_3$) ist $u < 0$

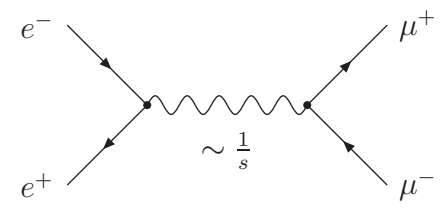
In realistischen Hochenergiekollisionen ist t < 0 und u < 0: Im Ruhesystem von Teilchen 1:

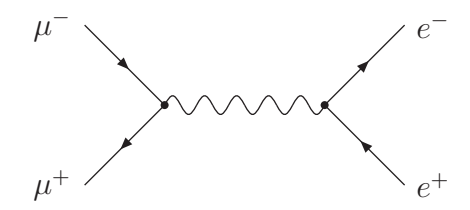
$$t = (p_1 - p_3)^2 = m_1^2 + m_3^2 - 2p_1p_3 \stackrel{RS}{=} (m_1^2 + m_3^2) - 2m_1E_1 = (m_1 - m_2)^2 + 2m_1(m_3 - E_3) < 0$$

Für sehr kleine $|\vec{p}_3|$ geht $E_3 \simeq m_3 + O(|\vec{p}_3|^2)$ gegen m_3 und t kann positiv werden, sofern $m_1 \neq m_3$ (und $m_2 \neq m_4$), d.h. der Impulsübertrag $|\vec{p}_3|$ muss klein sein, damit t > 0 ist. Kollisionen mit kleinem Impulsübertrag sind jedoch uninteressant.

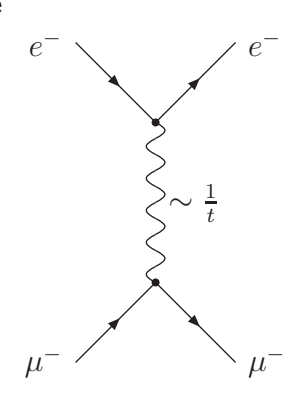
Die durch Crossing aus $e^+e^- \to \mu^+\mu^-$ gewonnenen Prozesse klassifiziert man auch als

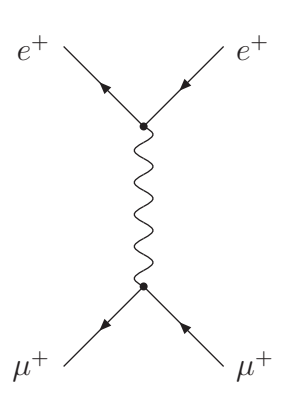
s - Kanal Prozesse



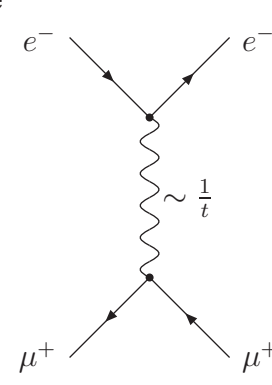


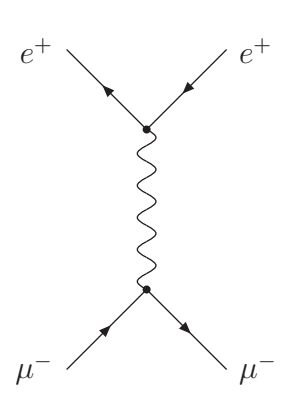
t - Kanal Prozesse



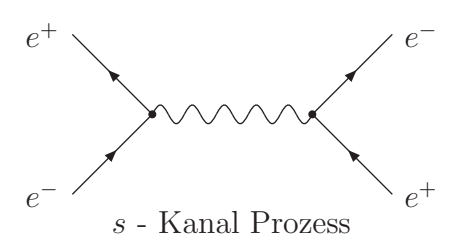


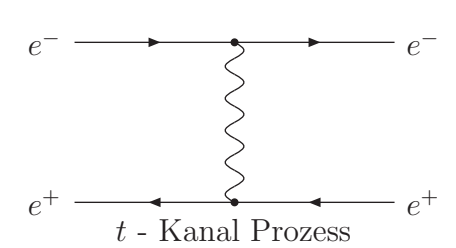
u - Kanal Prozesse





Beispiel: $e^+e^- \rightarrow e^+e^-$





(siehe auch [2])

6 Das Standardmodell

Elektroschwache Wechselwirkung (Glashow-)Salam-Weinberg-Modell

Stephen Weinberg: "A Modell of Leptons" (Phys. Rev. Lett. 19, 1264 (1967))

Abdus Salam: "Weak and electromagnetic interactions" (1968)

Vorläufer:

Sheldon Lee Glashow: "Partial symmetries of weak interactions" (Nucl. Phys 22, 579-91, (1961)) Nobelpreis 1979: Weinberg, Salam, Glashow

Starke Wechselwirkung Quantenchromodynamik (QCD)

Harald Fritzsch, Murray Gell-Mann: "Current Algebra: Quarks and What Else?" (1972)

David J. Gross, Frank Wilczek: "Ultraviolet Behavior of Non-Abelian Gauge Theories" (Phys. Rev. Lett. 30, 1343 - 1346 (1973))

H. David Politzer: "Reliable Perturbative Results for Strong Interactions?" (Phys. Rev. Lett. 30, 1346 - 1349 (1973))

Nobelpreis 2004: Gross, Wilczek, Politzer

Das GSW-Modell und die QCD sind **nichtabelsche Eichtheorien**. Das solche Theorien sinnvolle Quantenfeldtheorien sind, wurde gezeigt in:

Gerard 't Hooft, Martinus J. G. Veltman: "Regularization and renormalization of gauge fields" (Nucl. Phys. B44: 189-213 (1972)) (Nobelpreis 1999)

6.1 Nichtabelsche Eichtheorien

Die **Lie-Gruppe** SU(N), $N \ge 2$ ist definiert als:

$$SU(N) = \{ U \in \mathbb{C}^{N \times N} : U^{\dagger}U = 1 \land \det U = 1 \}$$

Jede $U \in SU(N)$ lässt sich schreiben als:

$$U = \exp(i\lambda_a T^a) \text{ mit } \lambda_a \in \mathbb{R}, \ T^a = T^{a\dagger} \text{ und } \text{tr } T^a = 0$$
 (453)

Die Generatoren T^a bilden die Lie-Algebra SU(N)

$$[T^a, T^b] = if^{abc}T^c (454a)$$

Die f^{abc} heißen **Strukturkonstanten**. Die Zahl der linear unabhängigen T^a ist die **Dimension** der Lie-Algebra bzw. Lie-Gruppe und ist gleich

$$N^2 - 1$$
 (454b)

Eine Lie-Gruppe ist **nichtabelsch** (= **nichtkommutativ**), wenn mindestens ein $f^{abc} \neq 0$ ist. SU(N) ist daher nichtabelsch!

Die Normierung der SU(N)-Generatoren kann man so wählen, dass gilt:

$$\operatorname{tr}(T^a T^b) \propto \delta^{ab}$$
 (454c)

Aus $[T^a,[T^b,T^c]]+[T^b,[T^c,T^a]]+[T^c,[T^a,T^b]]=0$ und (454a) folgt die **Jacobi-Identität**

$$f^{ade}f^{bcd} + f^{bde}f^{cad} + f^{cde}f^{abd} = 0 (455)$$

Jeder Satz von $N^2 - 1$ $M \times M$ Matrizen T_r^a , der (454a) erfüllt, bildet eine **Darstellung** von SU(N). Für jede Darstellung der SU(N) kann durch unitäre Transformation der T_r^a erzielt werden, dass alle T_r^a Blockdiagonalgestalt haben:

$$T_r^a = \begin{pmatrix} T_r^{a(1)} & 0 & \cdots & 0 \\ 0 & T_r^{a(2)} & \ddots & \vdots \\ \vdots & \ddots & \ddots & 0 \\ 0 & \cdots & 0 & T_r^{a(n)} \end{pmatrix}$$

Gibt es nur einen solchen Block, so heißt die Darstellung **irreduzibel**. Mit $U^{\dagger}U=1$ bilden $T^{a\prime}=U^{\dagger}T^{a}U$ eine Darstellung der SU(N). $T^{a\prime}$ und T^{a} heißen äquivalent.

$$\operatorname{tr}(T_r^a T_r^b) =: C(r)\delta^{ab} \tag{456}$$

definiert den **Dynkin-Index** C(r). Aus (454a) folgt

$$[T_r^a, T_r^b] T_r^c = i f^{abd} T_r^d T_r^c \stackrel{(456)}{\Rightarrow} i f^{abc} C(r) = \text{tr}([T_r^a, T_r^b] T_r^c)$$

$$\Rightarrow f^{abc} = -\frac{i}{C(r)} \text{tr}([T_r^a, T_r^b] T_r^c) = -\frac{i}{C(r)} \left(\text{tr}(T_r^a T_r^b T_r^c) - \text{tr}(T_r^b T_r^a T_r^c) \right)$$
(457a)

 $\Rightarrow f^{abc}$ ist total antisymmetrisch

Für die definierende Darstellung r = N der SU(N) wählt man:

$$C(N) = \frac{1}{2} \tag{457b}$$

Eine Darstellung hat die Dimension d(r) = M, wenn sie aus $M \times M$ Matrizen besteht. Die definierende Darstellung der SU(N) hat Dimension N. Die **adjungierte Darstellung** wird mit r = G bezeichnet und ist durch die Matrizen

$$[T_G^b]_{ac} = if^{abc} \tag{458}$$

gegeben. Das die T_G^a eine Darstellung bilden, folgt aus der Jacobi-Identität (455) und $f^{abc}=-f^{bac}$

$$[T_{G}^{b}, T_{G}^{c}]_{ae} = T_{Gad}^{b} T_{Gde}^{c} - T_{Gad}^{c} T_{Gde}^{b} \stackrel{(458)}{=} - f^{abd} f^{dce} + f^{acd} f^{dbe}$$

$$= f^{cde} f^{abd} + f^{bde} f^{cad} \stackrel{(455)}{=} - f^{ade} f^{bcd} = i f^{bcd} i f^{ade} = i f^{bcd} T_{Gae}^{d}$$

$$\Rightarrow [T_{G}^{b}, T_{G}^{c}] = i f^{bcd} T_{G}^{d}$$

$$(459)$$

Es ist

$$d(G) = N^2 - 1 (460)$$

Die Matrix T^aT^a vertauscht mit allen Generatoren:

$$[T^b, T^a T^a] = T^a [T^b, T^a] + [T^b, T^a] T^a = i f^{bac} T^a T^c + i f^{bac} T^c T^a = 0$$

Matrizen, die diese Eigenschaft haben, heißen Casimir-Operatoren. Das Schursches Lemma besagt, dass für eine irreduzible Darstellung jeder Casimir-Operator proportional zur Einheitsmatrix ist:

$$T_r^a T_r^a =: C_2(r) \mathbf{1}_{r \times r} \tag{461}$$

Beispiel: Drehimpuls $[J^2, J_i] = 0 \Rightarrow J^2 = j(j+1) \mathbf{1}$ für irreduzible Darstellungen Die Zahl $C_2(r)$ wird wie $T_r^a T_r^a$ als quadratischer Casimir-Operator bezeichnet. Aus (456) folgt

$$C_{2}(r)d(r) = C_{2}(r) \operatorname{tr} \mathbf{1}_{r \times r} \stackrel{(461)}{=} \operatorname{tr}(T_{r}^{a} T_{r}^{a}) \stackrel{(456)}{=} C(r) \delta^{ab} \delta^{ab} \stackrel{(454b)}{=} C(r) (N^{2} - 1) \stackrel{(460)}{=} C(r) d(G)$$

$$\Rightarrow C_{2}(r) = \frac{d(G)}{d(r)} C(r)$$

$$(462)$$

womit wir $C_2(r)$ für alle Darstellungen aus dem Dynkin-Index C(r) ausrechnen können.

SU(2): Definierende Darstellung zu j=1/2

$$T^a = \frac{\sigma^a}{2} (\sigma^a: \text{Pauli-Matrizen})$$
 (463)

$$[T^a, T^b] = \frac{1}{4} [\sigma^a, \sigma^b] = \frac{2i}{4} \varepsilon^{abc} \sigma^c = i \varepsilon^{abc} \frac{\sigma^c}{2}$$
(464)

 \Rightarrow Strukturkonstanten sind ε_{abc}

$$\begin{split} \operatorname{tr}(T^a T^b) &= \frac{1}{4} \operatorname{tr}(\sigma^a \sigma^b) = \frac{1}{2} \delta^{ab} \\ &\Rightarrow C(2) = \frac{1}{2} \text{ (Dynkin-Index)} \end{split}$$

Adjungierte Darstellung:

$$T_{Gac}^b = i\varepsilon^{abc} \tag{465}$$

$$T_G^1 = i \begin{pmatrix} 0 & 0 & 0 \\ 0 & 0 & -1 \\ 0 & +1 & 0 \end{pmatrix}$$
 usw.
 $d(G) = 3 = \dim SU(2)$

Das ist die j = 1 Darstellung, die ein Vektorfeld beschreibt. Mit (462) finden wir

$$C_2(G) = \frac{31}{22} = \frac{3}{4} \tag{466}$$

6.1.1 Allgemeine Aussagen über SU(N):

$$C(N) = \frac{1}{2}, d(N) = N, d(G) = N^2 - 1$$

$$\stackrel{(462)}{\Rightarrow} C_2(N) = \frac{N^2 - 1}{2N}$$
(467)

Oft bezeichnet man

$$C_f := C_2(N) \tag{468}$$

Nützliche Beziehung für r = N:

$$T_{ij}^a T_{kl}^a = \frac{1}{2} \delta_{il} \delta_{jk} - \frac{1}{2N} \delta_{ij} \delta_{kl} \tag{469}$$

Beweis:

$$X_{kl}^{(ij)} := \frac{1}{2} \delta_{il} \delta_{jk} - \frac{1}{2N} \delta_{ij} \delta_{kl}$$

ist hermitesch mit

$$\operatorname{tr} X^{(ij)} = X_{kk}^{(ij)} = \frac{1}{2} \delta_{ij} - \frac{1}{2N} \delta_{ij} \underbrace{\delta_{kk}}_{=N} = 0$$

 $\Rightarrow X^{(ij)}$ lässt sich schreiben als $X^{(ij)} = \lambda^a T^a$ und

$$\frac{1}{2}\lambda^{a} \stackrel{(456)}{=} \lambda^{b} \operatorname{tr}(T^{b}T^{a}) = \operatorname{tr}(X^{(ij)}T^{a}) = \frac{1}{2}(\delta_{il}\delta_{kj} - \frac{1}{N}\delta_{ij}\delta_{kl})T^{a}_{lk} = \frac{1}{2}T^{a}_{ij} - \frac{1}{2N}\delta_{ij}\operatorname{tr}T^{a} \Rightarrow \lambda^{a} = T^{a}_{ij}$$

Adjungierte Darstellung:

$$C(G) \, \delta^{ab} \stackrel{(456)}{=} \operatorname{tr}(T_G^a T_G^b) \stackrel{(458)}{=} -f^{cad} f^{dbc}$$

$$C_2(G) \, \delta^{ab} \stackrel{(461)}{=} T_{Gad}^c T_{Gdb}^c \stackrel{(458)}{=} -f^{acd} f^{dcb}$$
(470)

 $\Rightarrow C(G) = C_2(G)$ im Einklang mit (462). Berechnung von $C_2(G)$ mit Hilfe von (469):

$$N^{2} - 1 \stackrel{(454b)}{=} d(G) = \delta^{ab}\delta^{ab} = \delta^{aa}$$

$$C_{2}(G)(N^{2} - 1) \stackrel{(470)}{=} -f^{acd}f^{dca} \stackrel{(457a)}{=} 2if^{acd}\left(\operatorname{tr}(T^{d}T^{c}T^{a}) - \operatorname{tr}(T^{c}T^{d}T^{a})\right)$$

$$\stackrel{(454a)}{=} 2\left(\operatorname{tr}([T^{a}, T^{c}]T^{c}T^{a}) - \operatorname{tr}(T^{c}[T^{a}, T^{c}]T^{a})\right)$$

$$= 4\operatorname{tr}(T^{a}\underbrace{T^{c}T^{c}}_{=C_{2}(N)\mathbf{1}_{N\times N}}^{a}) - 4\operatorname{tr}(T^{a}T^{c}T^{a}T^{c})$$

$$\stackrel{(461)}{=} 4(C_{2}(N))^{2}\operatorname{tr}(\mathbf{1}_{N\times N}) - 4T_{ij}^{a}T_{jk}^{c}T_{kl}^{a}T_{li}^{c}$$

$$\stackrel{(469)}{=} 4(C_{2}(N))^{2}N - 2\underbrace{T_{kk}^{c}T_{jj}^{c}}_{=0} + \frac{2}{N}\underbrace{T_{jk}^{c}T_{kj}^{c}}_{=\operatorname{tr}(T^{c}T^{c})}^{(456)} = 4N(C_{2}(N))^{2} + \frac{1}{N}\underbrace{\delta^{cc}}_{=N^{2}-1}$$

$$\Rightarrow C_{2}(G) \stackrel{(467)}{=} 4N\underbrace{N^{2} - 1}_{AN^{2}} + \frac{1}{N} = \underbrace{N^{2} - 1}_{N} + \frac{1}{N} = N (= C(G))$$

$$(471)$$

Komplex konjugierte Darstellung: Die Matrizen

$$T_{\bar{r}}^a := -T_r^{a*} \tag{472}$$

bilden die zu r komplex konjugierte Darstellung \bar{r} , denn aus (454a) folgt

$$[-T_r^{a*}, -T_r^{b*}] = if^{abc}(-T_r^{c*})$$

Die zu r=N komplex konjugierte Darstellung bezeichnet man mit \bar{N} . Sind r und \bar{r} äquivalent (also $T_{\bar{r}}^a=UT_r^aU^\dagger$), so nennt man r reell. Ein Spezialfall einer rellen Darstellung ist eine mit rein imaginären Matrizen, bei denen $T_{\bar{r}}^a=T_r^a$ und U=1 ist. Aus (457a) schließt man leicht, dass f^{abc} reell ist. Damit ist G wegen $T_{Gac}^b=if^{abc}$ eine reelle Darstellung.

Für SU(2) (aber nicht für SU(N) mit $N \geq 3$) ist die definierende Darstellung reell. Denn

$$T^a = \frac{\sigma^a}{2} \text{ und } T^{a*} = \frac{\sigma^{a*}}{2} = -\sigma^2 \frac{\sigma^a}{2} \sigma^2 = \varepsilon \frac{\sigma^a}{2} \varepsilon$$

da σ^2 unitär ist. $\Rightarrow T^a_{\bar{r}} = T^a_r.$

 $\mathrm{SU}(\mathbf{N})\text{-Transformationen lassen das Skalarprodukt}\,\,\xi^\dagger\eta,\,\xi,\eta\in\mathbb{C}^N$ invariant:

$$\xi^{\dagger} \eta = (U\xi)^{\dagger} U \eta$$
 für $U \in SU(N)$

Reelle Darstellungen r haben die Eigenschaft, dass es eine Matrix G gibt, so dass $\xi^{\top}G\eta$ für $\xi, \eta \in \mathbb{C}^{d(r)}$ invariant ist:

$$\xi^{\top} G \eta = (U\xi)^{\top} G U \eta = \xi^{\top} U^{\top} G U \eta$$

für alle $\xi, \eta \in \mathbb{C}^{d(r)}$, also $G = U^{\top}GU$. Im Fall der r = 2 Darstellung der SU(2) ist

$$G = \varepsilon = i\sigma^2 = \begin{pmatrix} 0 & +1 \\ -1 & 0 \end{pmatrix} \text{ mit } \xi = \begin{pmatrix} \xi_1 \\ \xi_2 \end{pmatrix}, \eta = \begin{pmatrix} \eta_1 \\ \eta_2 \end{pmatrix}$$

und damit ist also

$$\xi^{\mathsf{T}} \varepsilon \eta = \xi_1 \eta_2 - \xi_2 \eta_1 \tag{473}$$

SU(2)-invariant! (473) heißt symplektische Form.

Die Transformationsgruppe, die für $\xi, \eta \in \mathbb{C}^{2N}$

$$\xi_1 \eta_{2N} + \xi_2 \eta_{2N-1} + \dots + \xi_N \eta_{N+1} - \xi_{N+1} \eta_N - \xi_{N+2} \eta_{N-1} - \dots - \xi_{2N} \eta_1$$

invariant lässt, heißt Sp(2N). D.h. SU(2) = Sp(2N).

Praktischere Art, (473) zu nutzen:

Mit

$$\tilde{\xi} := \varepsilon \xi^* = \begin{pmatrix} \xi_2^* \\ -\xi_1^* \end{pmatrix} \tag{474}$$

ist neben $\xi^{\dagger}\eta$ auch $\tilde{\xi}^{\dagger}\eta = -\xi^{\top}\varepsilon\eta$ SU(2) invariant. Transformiert sich ein Feld, dass ein Teilchen beschreibt, gemäß r, so transformiert sich das zum Antiteilchen gehörende Feld gemäß \bar{r} . Antiquarks haben also zum Quark entgegengesetze elektrische Ladung und Antifarbe. Dagegen benötigt man nicht das Konzept "Anti-Spin" und "Anti-Isospin", denn alle Darstellungen der SU(2) sind reell!

Teilchen, die ihre eigenen Antiteilchen sind, transformieren sich nach reellen Darstellungen der Symmetriegruppen.

Beispiele:

- 1. Z-Boson: adjungierte Darstellung der $\mathrm{SU}(2)$
- 2. Gluon: adjungierte Darstellung der SU(3)
- 3. rechtshändiges Majorana-Neutrino ist ein Singulett unter allen Eichgruppen
- 4. Supersymmetrie: Gluinos (Majorana-Fermion): adjungierte Darstellung der SU(3)

6.1.2 SU(N) - Eichtheorie

N Dirac-Felder (oder Weyl-Felder) $\psi_1 \dots \psi_N$ werden zu

$$\psi(x) = \begin{pmatrix} \psi_1(x) \\ \vdots \\ \psi_N(x) \end{pmatrix} \tag{475}$$

zusammengefasst. ψ transformiere sich wie N bezüglich SU(N):

$$\psi(x) \to U\psi(x) = \exp(i\lambda_a(x)T^a)\,\psi(x) \tag{476}$$

 λ_a hängt von x ab \Rightarrow Eichtheorie

Ist die Lagrangedichte \mathcal{L} invariant bezüglich (476), so besitzt \mathcal{L} eine **lokale innere** SU(N) - Symmetrie (= SU(N) - Eichsymmetrie). SU(2) - Eichtheorien heißen auch Yang-Mills-Theorien (1954), die vorgeschlagen wurden, um den starken Isospin (Heisenberg 1932) mit

$$\psi = \begin{pmatrix} p \\ n \end{pmatrix}$$

zu eichen. Yukawa hatte 1935 die Pionen (π^{\pm} entdeckt 1947, π^{0} : 1950) als **massive Austauschteilchen** der *starken* Wechselwirkung postuliert. Yang-Mills-Theorien sind jeoch in der *schwachen* Wechselwirkung realisiert, d.h. die zugehörige Quantenzahl ist der **schwache Isospin**. Die starke Wechselwirkung wird durch eine SU(3) - Eichtheorie beschrieben:

$$\psi = \begin{pmatrix} q_R \\ q_G \\ q_B \end{pmatrix} \qquad q_{R,G,B} : \text{Quark-Felder}$$
(477)

mit der Quantenzahl Farbe. Mit (476) ist der eich-kinetische Term:

$$\mathcal{L}_F = \bar{\psi} i \not\!\!\!D \psi \tag{478}$$

eichinvariant, wenn sich die kovariante Ableitung

$$D_{\mu} := \partial_{\mu} \mathbf{1}_{N \times N} - igA_{\mu}^{a} T^{a} \tag{479}$$

mit

$$U = \exp(i\lambda_a(x)T^a) \in SU(N)$$
(480)

wie

$$D_{\mu} \to U D_{\mu} U^{\dagger} \tag{481}$$

transformiert. Also

$$\partial_{\mu} - igA^{a}_{\mu}T^{a} \rightarrow UU^{\dagger}\partial_{\mu} + U(\partial_{\mu}U^{\dagger}) - igA^{a}_{\mu}UT^{a}U^{\dagger}$$

$$\Rightarrow A^{a}_{\mu}T^{a} \rightarrow A^{a}_{\mu}UT^{a}U^{\dagger} + \frac{i}{g}U\partial_{\mu}U^{\dagger}$$
(482)

Was ist UT^aU^{\dagger} , d.h. wie transformiert sich T^a ?

135

Betrachte:

$$U \exp(i\alpha_a T^a) U^{\dagger} \in SU(N)$$

weil Gruppen abgeschlossen sind, d.h. es gibt ein β_b mit

$$U \exp(i\alpha_a T^a) U^{\dagger} = \exp(i\beta_b T^b) \tag{483}$$

also
$$\exp(i\lambda_c T^c) \exp(i\alpha_a T^a) \exp(-i\lambda_d T^d) = \exp(i\beta_b T^b)$$
 (484)

 $\beta_b = \beta_b(\alpha_a, \lambda_a)$ ist eine analytische Funktion von λ_a und α_a (Lie-Gruppe!). Für $\lambda_a \to 0$ finden wir $\beta_b \to \alpha_b$, also

$$\beta_b = \alpha_b(1 + O(\lambda)) + O(\alpha_a^2) \tag{485}$$

und wir können (483) bis zur ersten Ordnung in α_a entwickeln:

$$\alpha_a U T^a U^{\dagger} = \beta_b T^b \tag{486}$$

 β_b ist wegen (485) linear in α , also $\beta_b = M_{ba}\alpha_a$ mit $M_{ba} = M_{ba}(U)$:

$$(485) \Rightarrow M_{ba}(1) = \delta_{ba} \tag{487}$$

$$(486) \Rightarrow UT^a U^{\dagger} = M_{ba}(U)T^b \tag{488}$$

Man sieht leicht, dass die $M_{ab}(U)$ eine Darstellung der Gruppe bilden, siehe z.B. (487) und

$$U_2 \underbrace{U_1 T^a U_1^{\dagger}}_{(488)} U_2^{\dagger} = U_2 M_{ba}(U_1) T^b U_2^{\dagger} \stackrel{(488)}{=} M_{cb}(U_2) M_{ba}(U_1) T^c = [M(U_2) M(U_1)]_{ac} T^c$$

D.h. $M(U_2U_1) = M(U_2) M(U_1)$. Damit ist $M(U(\lambda)) = \exp(i\lambda_c d^c)$ mit $(N^2 - 1) \times (N^2 - 1)$ Matrizen d^c . Eine infinitesimale Transformation in (488) liefert:

$$i\lambda_c \underbrace{[T^c, T^a]}_{=if^{cab}T^b} = i\lambda_c d^c_{ba}T^b \Rightarrow d^c_{ba} = if^{cab} = if^{bca}$$

 \Rightarrow D.h. die M(U) bilden die adjungierte Darstellung

$$M(U(\lambda)) = \exp(i\lambda_c T_G^c) =: U_G(\lambda)$$
(489)

und (488) bedeutet

$$UT^aU^{\dagger} = T^bU_G^{ba} \tag{490}$$

D.h. (482) ist äquivalent zu

$$A^a_\mu T^a \to A^a_\mu T^b U^{ba}_G + \frac{i}{g} U \partial_\mu U^\dagger \tag{491}$$

Multiplikation mit T^c und Spurbildung liefert mit $\operatorname{tr}(T^aT^c) = \frac{1}{2}\delta^{ac}$:

$$A^a_{\mu} \to U^{ab}_G A^b_{\mu} + \frac{2i}{g} \operatorname{tr}(T^a U \partial_{\mu} U^{\dagger}) \tag{492}$$

D.h. (für globale Transformationen, $\partial_{\mu}U=0$) A^{a}_{μ} transformiert sich nach der adjungierten Darstellung. Für infinitesimale Transformationen $U=1+i\lambda_{c}(x)T^{c}$ findet man leicht aus (492)

$$A^a_{\mu} \to A^a_{\mu} - \lambda_c(x) f^{acb} A^b_{\mu} + \frac{2i}{g} \operatorname{tr}(T^a(-i)\partial_{\mu}\lambda_c(x)T^c) = A^a_{\mu} + \lambda_c(x) f^{abc} A^b_{\mu} + \frac{1}{g} \partial_{\mu}\lambda_a(x)$$
 (493)

Wir definieren den Feldstärketensor $F_{\mu\nu}^a$:

$$[D_{\mu}, D_{\nu}] =: \qquad -igF^a_{\mu\nu}T^a \tag{494}$$

$$D_{\mu}, D_{\nu}] =: -igF_{\mu\nu}^{a}T^{a}$$

$$-igF_{\mu\nu}^{a}T^{a} = [D_{\mu}, D_{\nu}] = [\partial_{\mu} - igA_{\mu}^{a}T^{a}, \partial_{\nu} - igA_{\nu}^{b}T^{b}]$$

$$= ig(\partial_{\nu}A_{\mu}^{a})T^{a} - ig(\partial_{\mu}A_{\nu}^{a})T^{a} - g^{2}A_{\mu}^{a}A_{\nu}^{b}[T^{a}, T^{b}]$$

$$= ig(\partial_{\nu}A_{\mu}^{a})T^{a} - ig(\partial_{\mu}A_{\nu}^{a})T^{a} - ig(\partial_{\mu}A_{\nu}^$$

$$\Rightarrow F^a_{\mu\nu} = \partial_\mu A^a_\nu - \partial_\nu A^a_\mu + g f^{abc} A^b_\mu A^c_\nu \tag{496}$$

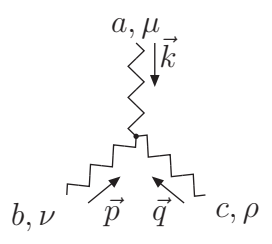
 $(g f^{abc} A^b_{\mu} A^c_{\nu}$: nichtabelscher Term) Aus (494) folgt wegen $[D_{\mu}, D_{\nu}] \rightarrow U[D_{\mu}, D_{\nu}] U^{\dagger}$ (wegen (481)): $F^a_{\mu\nu} T^a \rightarrow U F^a_{\mu\nu} T^a U^{\dagger}$, so dass ${\rm tr}(F^a_{\mu\nu}T^aF^{\mu\nu b}T^b)$ eich invariant ist.

$$\mathcal{L}_{eich} = -\frac{1}{2} \operatorname{tr}(F^{a}_{\mu\nu} T^{a} F^{\mu\nu b} T^{b}) = -\frac{1}{2} F^{a}_{\mu\nu} F^{\mu\nu b} \operatorname{tr}(T^{a} T^{b}) = -\frac{1}{4} F^{a}_{\mu\nu} F^{\mu\nu a}$$
(497)

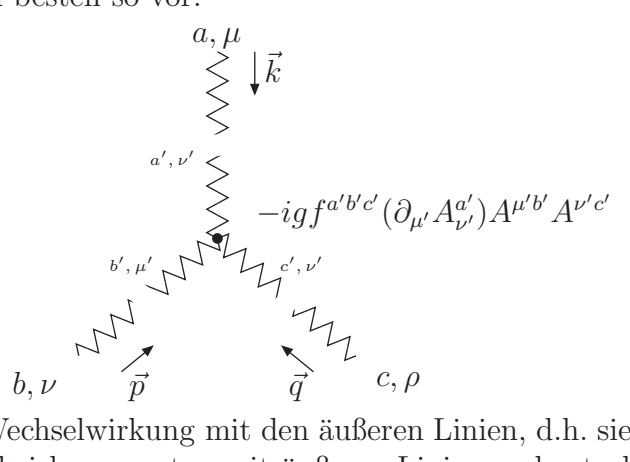
ist der eich-kinetische Term der Eichbosonen. Wegen des dritten Terms in (496) enthält er Eichboson-Selbstkopplungen. Ausgeschrieben:

$$\mathcal{L}_{eich} = -\frac{1}{2} (\partial_{\mu} A^{a}_{\nu})^{2} + \frac{1}{2} (\partial_{\mu} A^{a}_{\nu})(\partial^{\nu} A^{\mu a}) - g f^{abc} (\partial_{\mu} A^{a}_{\nu}) A^{\mu b} A^{\nu c} - g^{2} f^{abc} f^{ade} A^{b}_{\mu} A^{c}_{\nu} A^{\mu d} A^{\nu e} \quad (498)$$

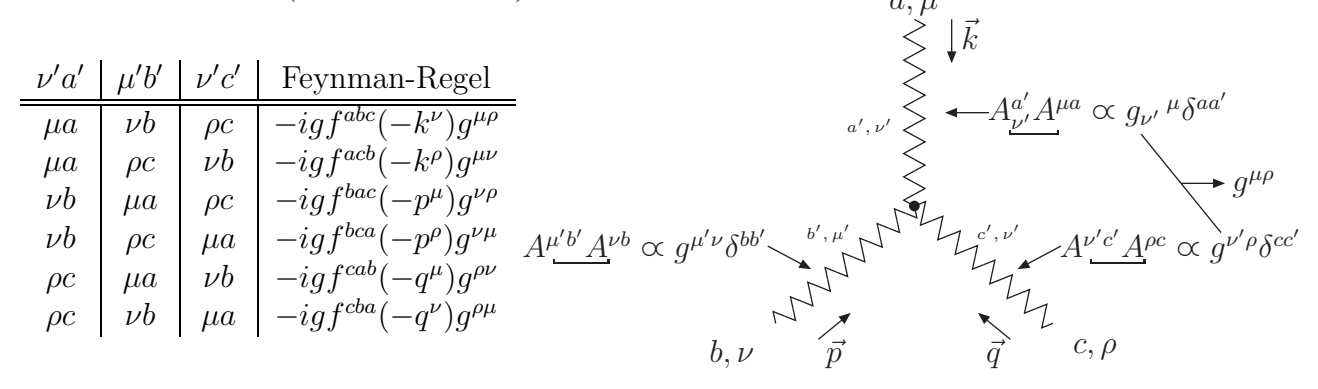
Feynman-Regeln



zunächst: $i\partial_{\mu} \leftrightarrow p_{\mu}$, wobei p_{μ} der einlaufende Impuls ist, der dem abgeleiteten Feld entspricht. Bei vielen Indizes geht man am besten so vor:



Alle Wick-Kontraktionen der Wechselwirkung mit den äußeren Linien, d.h. sie summieren über alle Möglichkeiten, den Wechselwirkungsvertex mit äußeren Linien zu kontrahieren.



also

$$gf^{abc}[g^{\mu\nu}(k-p)^{\rho} + g^{\nu\rho}(p-q)^{\mu} + g^{\rho\mu}(q-k)^{\nu}]$$

$$b, \nu \qquad \overrightarrow{p} \qquad \overrightarrow{q} \qquad c, \rho$$

$$(499)$$

analog:

$$\mathcal{L} = \mathcal{L}_{F} + \mathcal{L}_{eich} + \mathcal{L}_{m} + \mathcal{L}_{fix}$$
mit $\mathcal{L}_{eich} = -\frac{1}{4} F_{\mu\nu}^{a} F^{\mu\nu a} = \dots$ aus (498)
$$\mathcal{L}_{m} = -m\bar{\psi}\psi$$
und $\mathcal{L}_{fix} = -\frac{1}{2\xi} (\partial_{\mu} A^{\mu a})^{2} := -\frac{1}{2\xi} \partial_{\mu} A^{\mu a} \partial_{\nu} A^{\nu a}$

Propagatoren: $(j, k: SU(N) - Index, \alpha, \beta Dirac-Index)$ Fermion-Propagator (in Darstellung N):

$$\frac{j}{\alpha} \xrightarrow{\stackrel{k}{\overrightarrow{p}}} {}_{\beta} \qquad \frac{i[\cancel{p}+m]_{\beta\alpha}}{p^2 - m^2 + i\delta} \delta_{jk} \qquad j, k = 1, \dots N$$
(502)

Eichboson-Propagator:

$$\begin{array}{ccc}
a & b & \frac{-i}{k^2 + i\delta} \left[g_{\alpha\beta} - (1 - \xi) \frac{k_{\alpha} k_{\beta}}{k^2} \right] \delta_{ab} & a, b = 1, \dots N^2 - 1
\end{array} \tag{503}$$

Fermion-Eichboson-Vertex:

$$i \alpha$$

$$\mu a \quad ig\gamma^{\mu}_{\alpha\beta}T^{a}_{ij} \qquad (504)$$

Eigenschaften des Eichfeldes

- 1. Wegen $A^a_\mu \bar{\psi} \gamma^\mu T^a \psi = \bar{\psi} A \psi \stackrel{!}{=} (\bar{\psi} A \psi)^\dagger \Rightarrow A^a_\mu \text{ ist } reell$
- 2. A^a_{μ} beschreibt ein masseloses Teilchen, denn ein Masseterm $\mathcal{L} \supset \frac{m^2}{2} A^a_{\mu} A^{\mu a}$ verletzt die Eichinvarianz, denn mit der infitesimalen Eichtransformation in (493) ist

$$A^{a}_{\mu}A^{\mu a} \rightarrow [A^{a}_{\mu} + f^{abc}A^{b}_{\mu}\lambda_{c} + \frac{1}{g}\partial_{\mu}\lambda_{a}][A^{\mu a} + f^{ade}A^{\mu d}\lambda_{e} + \frac{1}{g}\partial^{\mu}\lambda_{a}]$$

$$= A^{a}_{\mu}A^{\mu a} + \frac{2}{g}A^{\mu a}\partial_{\mu}\lambda_{a} + O(\lambda^{2}_{a})$$

und der Massenterm ist nur invariant unter globalen SU(N) Transformationen mit $\partial_{\mu}\lambda_{a}=0 \Rightarrow$ Eichbosonen sind masselos.

Die schwache Wechselwirkung ist jedoch kurzreichweitig und muss durch den Austausch massiver Bosonen beschreiben werden (Yukawa 1935). Lösung: Higgs-Mechanismus (1964)

6.1.3 Quantenchromodynamik (QCD):

Die QCD ist eine SU(3) Eichtheorie. Mit den Feynmanregeln (499)-(504) können wir direkt QCD-Prozesse in niedrigster Ordnung ausrechnen.

Die Lagrangedichte der QCD ist

$$\mathcal{L} = \mathcal{L}_{eich} + \sum_{q} \bar{q} [\mathcal{D} - m_q] q + \mathcal{L}_{fix}$$
 (505)

 $(\mathcal{L}_{fix}: \text{zur störungstheoretischen Auswertung})$

wobei die Summe über q über die **Quark-Flavours** q = u, d, s, c, b, t läuft. Um Strahlungskorrekturen auszurechnen, müssen wir zu (505) noch einen weiteren Term, der mit \mathcal{L}_{fix} zusammenhängt, addieren). Die Generatoren der definierenden Darstellung der SU(3) werden durch die **Gell-Mann-Matrizen** λ^a ausgedrückt.

$$T^a = \frac{\lambda^a}{2} \tag{506}$$

$$\lambda^{1} = \begin{pmatrix} 0 & 1 & 0 \\ 1 & 0 & 0 \\ 0 & 0 & 0 \end{pmatrix} \quad \lambda^{2} = \begin{pmatrix} 0 & -i & 0 \\ i & 0 & 0 \\ 0 & 0 & 0 \end{pmatrix} \quad \lambda^{3} = \begin{pmatrix} 1 & 0 & 0 \\ 0 & -1 & 0 \\ 0 & 0 & 0 \end{pmatrix} \quad \lambda^{4} = \begin{pmatrix} 0 & 0 & 1 \\ 0 & 0 & 0 \\ 1 & 0 & 0 \end{pmatrix}$$

$$\lambda^{5} = \begin{pmatrix} 0 & 0 & -i \\ 0 & 0 & 0 \\ i & 0 & 0 \end{pmatrix} \quad \lambda^{6} = \begin{pmatrix} 0 & 0 & 0 \\ 0 & 0 & 1 \\ 0 & 1 & 0 \end{pmatrix} \quad \lambda^{7} = \begin{pmatrix} 0 & 0 & 0 \\ 0 & 0 & -i \\ 0 & i & 0 \end{pmatrix} \quad \lambda^{8} = \frac{1}{\sqrt{3}} \begin{pmatrix} 1 & 0 & 0 \\ 0 & 1 & 0 \\ 0 & 0 & -2 \end{pmatrix} (507)$$

Als **Rang** einer Lie-Gruppe bezeichnet man die maximale Anzahl der miteinander vertauschenden, also simultan diagonalisierbaren Generatoren:

Die SU(2) hat Rang 1, die SU(3) hat Rang 2: z.B. $[\lambda^3, \lambda^8] = 0$ also $f^{38a} = 0$

139

Aus (457a) flogt mit (506):

$$f^{abc} = -\frac{i}{4}(\operatorname{tr}(\lambda^a \lambda^b \lambda^c) - \operatorname{tr}(\lambda^b \lambda^a \lambda^c))$$

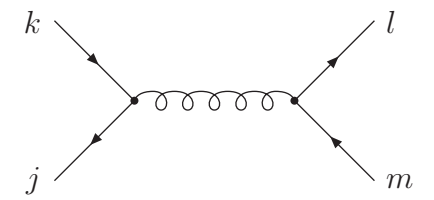
und mit (507) kann man die Strukturkonstanten ausrechnen:

$$f^{123} = 1$$
, $f^{147} = f^{246} = f^{345} = \frac{1}{2}$, $f^{156} = f^{367} = -\frac{1}{2}$, $f^{458} = f^{678} = \frac{\sqrt{3}}{2}$ (508)

Alle anderen f^{abc} erhält man durch Permutation der Indizes aus (508), oder sie sind gleich 0.

Farbfluss-Diagramme: Eine Gluon-Linie kann man auch als Doppellinie gezeichnet werden:

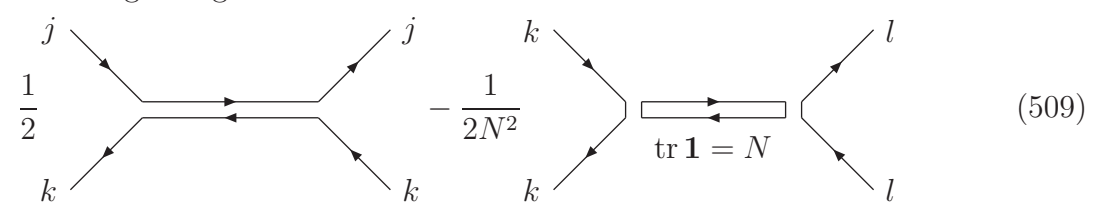
wobei den Doppellinien ein Indexpaar (j,k) mit j,k=1,2,3 (bzw. r,g,b) zugeordnet wird. Denn: Verbindet die Gluon-Linie z.B. zwei Quark-Linien:



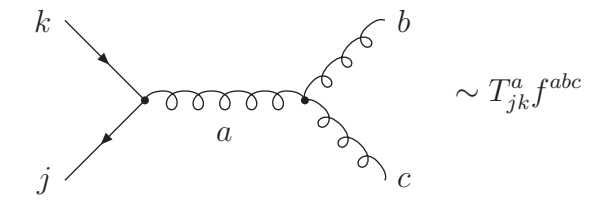
so liefern (504) und (469) den Farbfaktor (mit N=3):

$$T_{jk}^a T_{lm}^a = \frac{1}{2} \delta_{jm} \delta_{kl} - \frac{1}{2N} \delta_{jk} \delta_{lm}$$

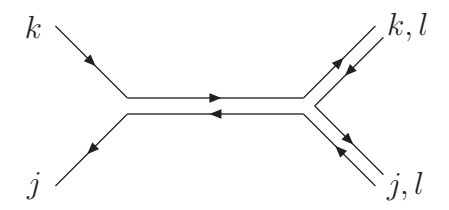
d.h. wir können das obige Diagramm mit



identifizieren. Endet die Gluon-Linie an einem anderen Gluon, z.B.



so verwenden wir zusätzlich (457a). Ein externer Farbindex b wird mit den Paaren (j,k) identifiziert, die zu nichtverschwindenden Elementen von $T^a = \frac{\lambda^a}{2}$ gehören. Damit findet man im Beispiel Diagramme wie:



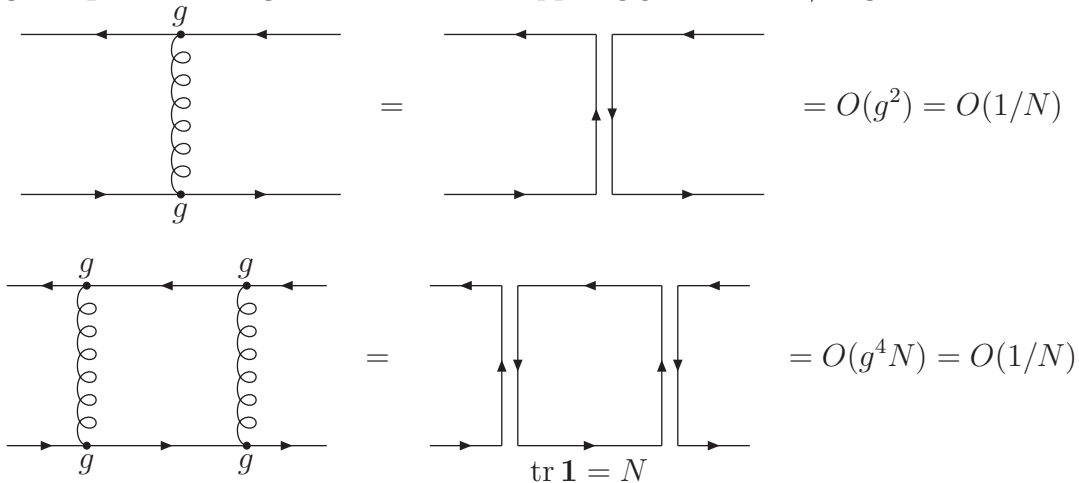
- 1. Farbfluss-Diagramme zeigen die Erhaltung der Quantenzahl Farbe
- 2. Eine beliebte Methode, um die QCD in den Griff zu bekommen, ist die 1/N Entwicklung (large N Expansion) (t'Hooft)

Das rechte Diagramm in (509) ist mit 1/N unterdrückt. Den führenden Term der 1/N - Entwicklung findet man, indem man nur

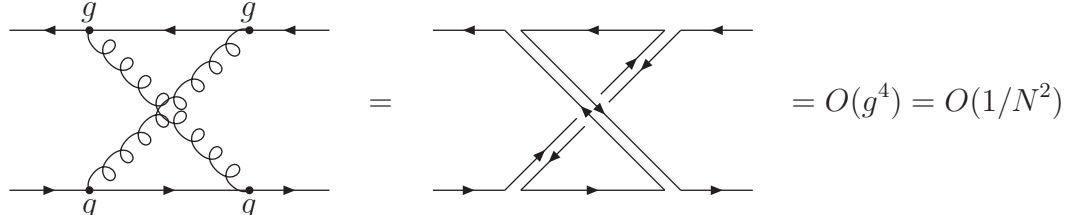


als Quark-Gluon-Kopplung verwendet.

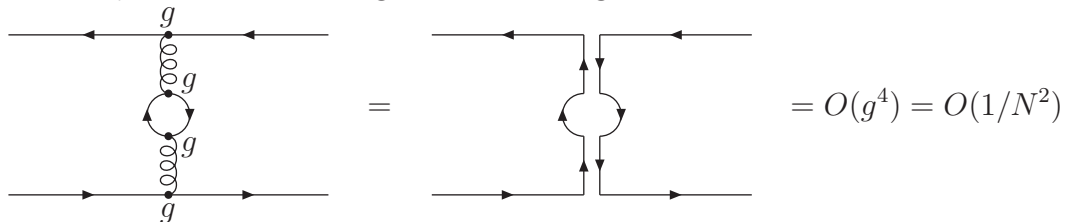
Zeichnet man in einem Vier-Quark-Prozess die Quarklinien gegensinnig, so tragen zur führenden Ordnung nur **planare** Diagramme bei. Die Kopplung g wird wie 1/N gezählt.



 \Rightarrow ein zusätzliches planares Gluon verändert die Ordnung in 1/Nnicht. Jedoch ist

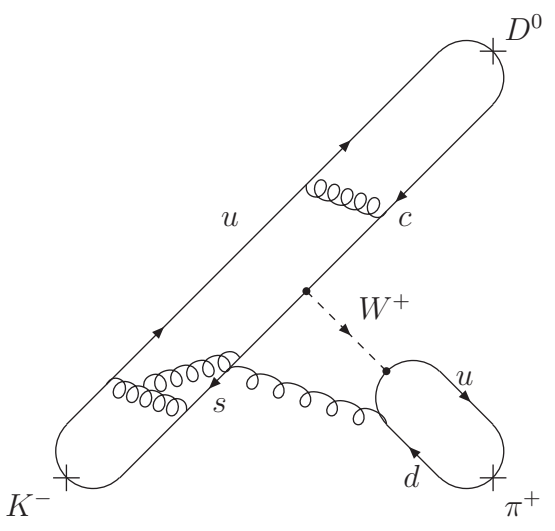


Einfügen einer Quarkschleife verringert die Ordnung:

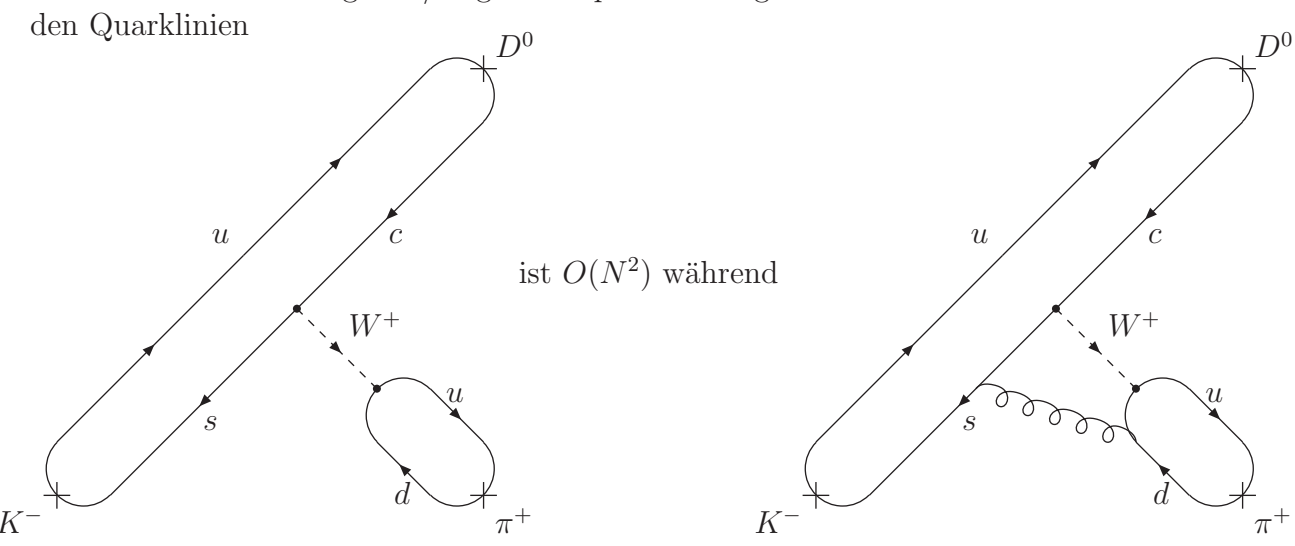


Anwendung der 1/N - **Entwicklung:** Abschätzung von schwachen D-Meson-Zerfällen: Die Zerfallsraten von z.B. $D^0 \to K^-\pi^+$ und $D^0 \to \bar K^0\pi^0$ kann man nicht verlässlich ausrechnen. Man kann jedoch das Verhalten für $N \to \infty$ studieren.

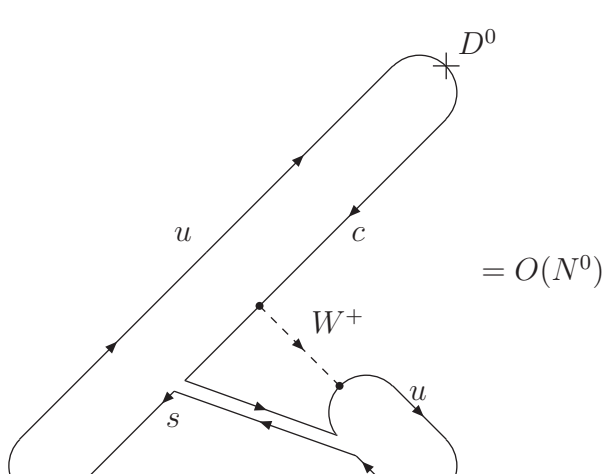
$$D^0 \to K^- \pi^+$$
:



Zur führenden Ordnung in 1/N gehören planare Diagramme ohne Gluon-Austausch zwischen den Quarklinien



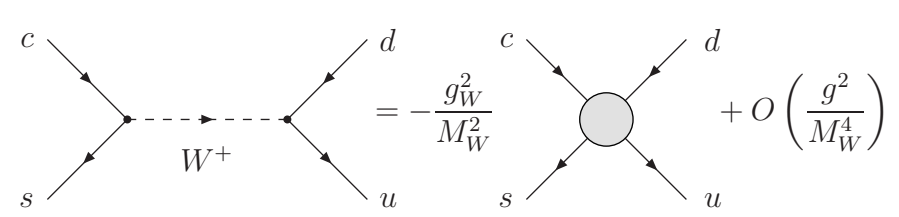
dem Farbfluss-Diagramm



entspricht! Der W-Austausch zwischen den beiden Quarkströmen kann durch eine Vierquark-Kopplung beschrieben werden, weil hier M_W viel größer ist als der Impuls q, der durch den W-Propagator fließt.

$$g_W^2 i \, \bar{s}_L \gamma_\mu c_L \frac{-ig^{\mu\nu}}{q^2 - M_W^2} i \, \bar{u}_L \gamma_\nu d_L = -i \frac{g_W^2}{M_W^2} \bar{s}_L \gamma_\mu c_L \, \bar{u}_L \gamma^\mu d_L + O\left(\frac{q^2}{M_W^4}\right)$$

Graphisch:



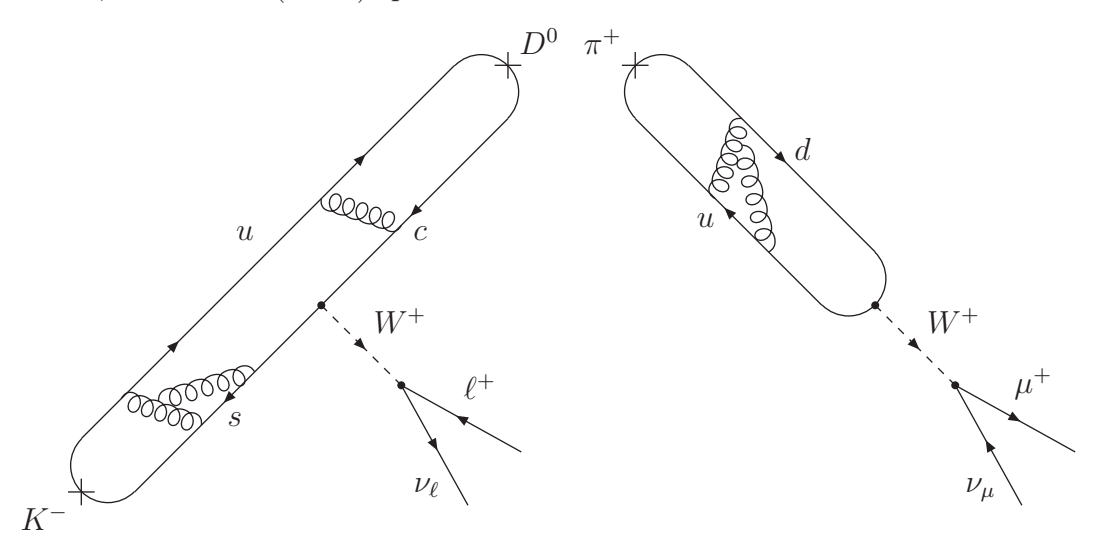
Um die Zerfallsrate von $D^0 \to K^-\pi^+$ zu bestimmen, muss man also

$$\mathcal{M} = \langle K^{-}\pi^{+} \mid \underline{\bar{s}_{L}\gamma_{\mu}c_{L}}\,\bar{u}_{L}\gamma^{\mu}d_{L}} \mid D^{0} \rangle$$
We chselwirk ende QCD-Felder \Rightarrow keine Störungstheori

ausrechnen. Unsere 1/N Betrachtung hat gezeigt, dass

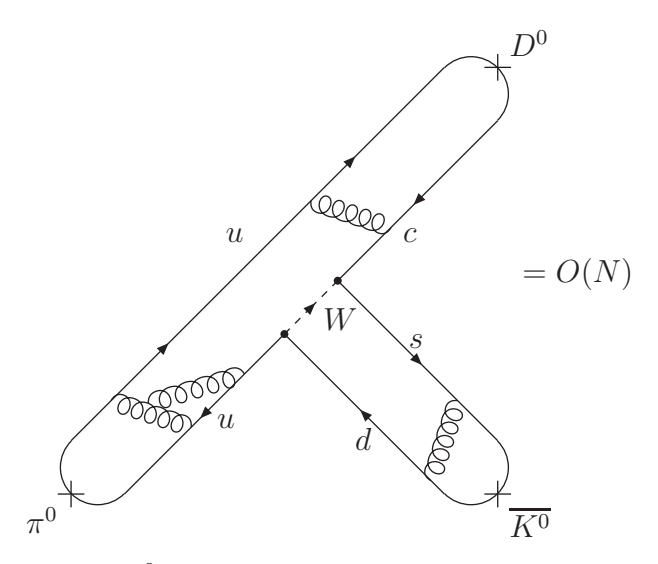
$$\langle K^{-}\pi^{+} | \bar{s}_{L}\gamma_{\mu}c_{L} \bar{u}_{L}\gamma^{\mu}d_{L} | D^{0} \rangle = \langle K^{-}\pi^{+} | \bar{s}_{L}\gamma_{\mu}c_{L} | D^{0} \rangle \langle \pi^{+} | \bar{u}_{L}\gamma^{\mu}d_{L} | 0 \rangle (1 + O(1/N^{2}))$$

D.h. das Matrixelement \mathcal{M} faktorisiert in das Produkt der Matrixelemente zweier Stromoperatoren, die man in (semi-)leptonischen Zerfällen messen kann.



bis auf Korrekturen der Ordnung $1/N^2 \sim 10\%$

$$D^0 o \overline{K^0} \pi^0$$
:



d.h. ein Faktor 1/N relativ zu $D^0 \to K^-\pi^+$ Weil die Zerfallsrate Γ quadratisch im Matrixelement ist, also

$$\frac{\Gamma(D^0 \to \overline{K^0}\pi^0)}{\Gamma(D^0 \to K^-\pi^+)} = O(1/N^2) \sim 0, 1$$

- Man nennt Zerfälle wie $D^0 \to K^-\pi^+$ farb-erlaubt
- und solche wie $D^0 \to \overline{K^0} \pi^0$ farb-unterdrückt.

6.2 Spontane Symmetriebrechung

Besitzt die Lagrangedichte \mathcal{L} eine Symmetrie S, der Grundzustand (das Vakuum) jedoch nicht, so nennt man S eine **spontan gebrochene** Symmetrie. Es können sowohl diskrete, als auch kontinuierliche Symmetrien können spontan gebrochen werden. Wir betrachten hier kontinuierliche Symmetrien. Dazu betrachten wir die infinitesimalen Transformationen

$$\phi_j \to \phi_j + i\alpha_a T_{jk}^a \phi_k \tag{510}$$

mit einer **irreduziblen** Darstellung T_{jk}^a der Symmetriegruppe. Für eine *ungebrochene* Symmetrie gilt:

$$\langle 0 | \phi_j | 0 \rangle \stackrel{!}{=} \langle 0 | \phi_j | 0 \rangle + i \alpha_a T_{jk}^a \langle 0 | \phi_k | 0 \rangle, \text{ also } \langle 0 | \phi_k | 0 \rangle = 0$$
 (511)

denn $\alpha_a T^a$ ist für allgemeine $\alpha_a \neq 0$ nicht singulär in einer irreduziblen Darstellung. Ist Q^a die zu

$$\phi_j \to \phi_j' = \exp(i\alpha_a T^a)_{jk} \phi_k$$
 (512)

gehörende Noether-Ladung, so ist

$$\phi_j' = \exp(i\alpha_a Q^a)\phi_j \exp(-i\alpha_a Q^a)$$
(513)

(vgl. Schaubild nach (142))

Infitesimal bedeuten (512) und (513)

$$i\alpha_a T^a_{ik} \phi_k = i\alpha_a [Q^a, \phi_i] \tag{514}$$

Eine ungebrochene Symmetrie bedeutet

$$Q^a|0\rangle = 0 (515a)$$

d.h. das Vakuum ist ungeladen und (515a) impliziert mit (514) ebenfalls

$$0 \stackrel{(515a)}{=} i\alpha_a \langle 0 | [Q^a, \phi_j] | 0 \rangle \stackrel{(514)}{=} i\alpha_a T_{jk}^a \langle 0 | \phi_k | 0 \rangle$$

also $Q^a | 0 \rangle = 0 \Rightarrow \langle 0 | \phi_k | 0 \rangle = 0$ (515b)

Die Umkehrung gilt nicht, denn es ist z.B. $\langle 0 | W^{\mu} | 0 \rangle = 0$, also auch $\langle 0 | [I_3, W^{\mu}] | 0 \rangle = 0$ aber $I_3 | 0 \rangle \neq 0$ (I_3 : schwacher Isospin)

Besitzt mindestens eine Komponente ϕ_j einen Vakuumserwartungswert (Vacuum Expectation Value = VEV)

$$v_i := \langle 0 | \phi_i | 0 \rangle \neq 0 \tag{516}$$

so impliziert (514) sofort

$$Q^a | 0 \rangle \neq 0 \tag{517}$$

d.h. das Vakuum ist geladen unter der Symmetrie. Auch hier ist es so, dass die Umkehrung nicht gilt, denn im SM haben die meisten Felder keine VEVs. In der QCD haben keine elementaren Felder VEVs, aber z.B. $\bar{\psi}_R\psi_L + h.c.$. Ausserdem sind alle Symmetrien, bezüglich denen sich ϕ_j nichttrivial transformiert, spontan gebrochen.

D.h. ϕ_j und v_j sind Singulett bezüglich aller ungebrochenen Symmetrien

 $\Rightarrow \phi_j$ ist Skalarfeld, denn sonst wäre die Lorentz-Invarianz gebrochen.

 ϕ_j in (516) muss kein elementares Feld sein, es kann auch eine Linearkombination von Produkten von Feldern sein (z.B. bricht $\langle 0 | \bar{u}u + \bar{d}d + \bar{s}s | 0 \rangle$ die so genannte **chirale** SU(3) × SU(3) - Symmetrie der QCD). Ist die Translationsinvarianz ungebrochen, so hängt v nicht von X ab:

$$v_{j} = \langle 0 | \phi_{j}(x) | 0 \rangle \stackrel{\text{(141)}}{=} \underbrace{\langle 0 | \exp(iPx) \phi_{j}(0) \underbrace{\exp(-iPx) | 0 \rangle}_{|0\rangle} = \langle 0 | \phi_{j}(0) | 0 \rangle$$

6.2.1 Goldstone-Theorem

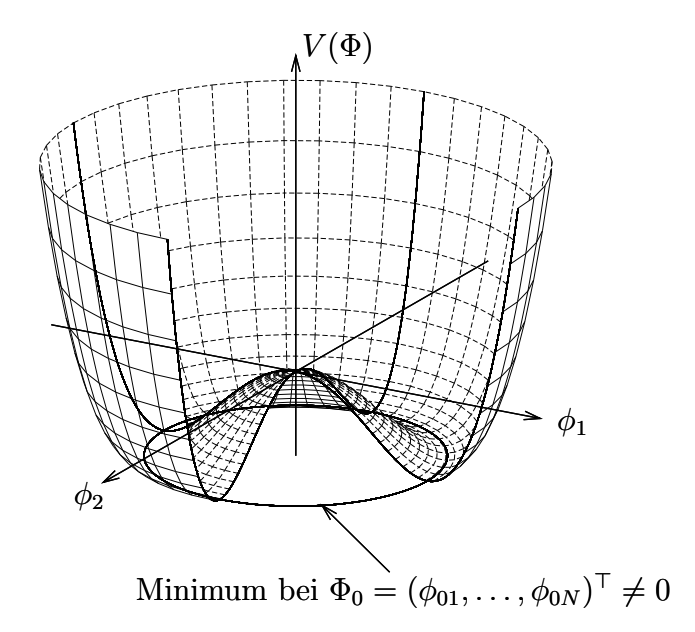
Hat \mathcal{L} die Symmetriegruppe G_1 und $|0\rangle$ die Symmetriegruppe $G_2 \subset G_1$, so ist G_1 zu G_2 spontan gebrochen. Es gibt dann $J := \dim G_1 - \dim G_2$ masselose Bosonen, sogenannte Goldstone-Bosonen. Wir beweisen das Theorem zunächst für klassische Felder

$$\Phi = \begin{pmatrix} \phi_1 \\ \vdots \\ \phi_N \end{pmatrix} \qquad \text{(Symmetrie multiplett)}$$

mit reell gewählten ϕ_j und Potential (Selbstwechselwirkung) $V(\Phi)$:

$$\mathcal{L} = \frac{1}{2} \partial_{\mu} \Phi^{\top} \partial^{\mu} \Phi - V(\Phi)$$
 (518)

Das Potential hat ein



Am Minimum gilt:

$$\left. \frac{\partial V}{\partial \phi_j} \right|_{\phi_j = \phi_{0j}} = 0, \qquad \phi_{0j} = v_j \tag{519}$$

Wir entwickeln das Potential um das Minimum herum:

$$V(\Phi) = V(\Phi_0) + \frac{1}{2}(\Phi - \Phi_0)_j m_{jk}^2 (\Phi - \Phi_0)_k + O(|\Phi - \Phi_0|^3)$$

mit der Massenmatrix

$$M^{2} = [m^{2}]_{jk} = \frac{\partial^{2} V}{\partial \phi_{i} \partial \phi_{k}} \bigg|_{\Phi = \Phi}$$
 (520)

Mit einer orthogonalen Transformation $(R^{\top}R = 1)$

$$R^{\mathsf{T}} M^2 R = \operatorname{diag}(m_1^2, \dots m_N^2) \tag{521}$$

wird M^2 diagonalisiert. Mit $\Phi' = R^{\top}(\Phi - \Phi_0)$ gilt:

$$\frac{1}{2}\partial_{\mu}\Phi^{\top}\partial^{\mu}\Phi = \frac{1}{2}\partial_{\mu}\Phi'^{\top}\partial^{\mu}\Phi' \text{ und}$$

$$\frac{1}{2}(\Phi - \Phi_{0})_{j}m_{jk}^{2}(\Phi - \Phi_{0})_{k} = \frac{1}{2}(\Phi - \Phi_{0})^{\top}M^{2}(\Phi - \Phi_{0})$$

$$\stackrel{(521)}{=} \frac{1}{2}\underbrace{(\Phi - \Phi_{0})^{\top}R}_{=\Phi'^{\top}}\underbrace{R^{\top}M^{2}R}_{\text{diag}(m_{1}^{2},\dots m_{N}^{2})}\underbrace{R^{\top}(\Phi - \Phi_{0})}_{=\Phi'} = \frac{1}{2}\phi'_{j}m_{j}^{2}\phi'_{j} (522)$$

so dass die ϕ'_j den physikalischen Feldern entsprechen. Da \mathcal{L} und $V(\Phi)$ invariant bezüglich (510) ist, gilt:

$$V(\Phi) = V(\Phi + i\alpha_a T^a \Phi) = V(\Phi) + i\alpha_a T^a_{jk} \frac{\partial V}{\partial \phi_j} \phi_k + O(\alpha_a^2)$$

$$\text{also } \frac{\partial V}{\partial \phi_j} T^a_{jk} \phi_k = 0$$
(523)

146

Ableiten nach ϕ_l liefert

$$0 = \frac{\partial^2 V(\Phi)}{\partial \phi_l \partial \phi_j} T_{jk}^a \phi_k + \frac{\partial V(\Phi)}{\partial \phi_j} T_{jl}^a$$
 (524)

Speziell für $\phi_j = \phi_{0j}$ verschwindet der zweite Term wegen (519) und mit (520) folgt aus (524)

$$M^2 T^a \Phi_0 = 0 \tag{525}$$

Wir wählen die Generatoren nun speziell so, dass T^a , $a = 1 \dots J$ die Erzeuger der gebrochenen Symmetrien sind und $a = J + 1 \dots N$ die Erzeuger der ungebrochenen Untergruppe G_2 sind. Für $a = J + 1 \dots N$ folgt (siehe (510))

$$\phi_{0j} = \phi_{0j} + i\alpha_a T^a_{jk} \phi_{0k}$$

also $T^a\Phi_0=0$ und (525) ist erfüllt. Für $a=1\dots J$ ist Φ_0 nicht invariant und somit

$$T^a \Phi_0 \neq 0 \tag{526}$$

(525) impliziert somit, dass alle

$$T^a \Phi_0 \text{ für } a = 1 \dots J \tag{527}$$

Eigenvektoren von M^2 zum Eigenwert 0 sind. Alle diese $T^a\Phi_0$ sind linear unabhängig. Wäre $\alpha_a T^a\Phi_0 = \beta_a T^a\Phi_0$, $a=1\ldots J$ mit $(\alpha_a) \neq (\beta_a)$, dann wäre $(\alpha_a-\beta_a)T^a\Phi_0 = 0$ und die Richtung $(\alpha_a-\beta_a)T^a$ (die durch Basiswechsel in $\alpha_1'T'^1$ gedreht werden könnte) gehören zu mit $a=J+1\ldots N$ indizierten Generatoren der ungebrochenen Symmetrie

 \Rightarrow Es gibt $J = \dim G_1 - \dim G_2$ masselose Bosonen

Quantisiert man die Theorie zu \mathcal{L} in (518), so identifiziert man den Vakuumserwartungswert mit Φ_0 :

$$\langle 0 | \Phi | 0 \rangle = \Phi_0 \tag{528}$$

und die physikalischen Felder $\Phi' = R^{\top}(\Phi - \Phi_0)$ werden wie üblich (Klein-Gordon-Felder) quantisiert. Das Goldstone Theorem gilt allgemeiner: Zum einen bleiben die Goldstone-Bosonen masselos, wenn Φ quantisiert wird. Zum anderen gilt es auch, wenn die Symmetriebrechung nicht "von Hand" durch ein skalares Potential $V(\Phi)$ hervorgerufen wird, sondern durch die quantisierte Wechselwirkung der Teilchen (meist durch nichtpertubative Effekte) man spricht dann von **dynamischer Symmetriebrechung** (Beispiel: BCS-Theorie der Supraleitung)

Beweis des Goldstone-Theorems für beliebige Quantenfeldtheorien:

Der Noether-Strom $j^{\mu,a}$ zu $\exp(i\alpha_a T^a) \in G_1$ ist erhalten:

$$\partial_{\mu}j^{\mu,a} = 0 \tag{529}$$

und die Noether-Ladung Q^a

$$Q^{a}(t) = \int d^{3}\vec{x} \, j^{0a}(\vec{x}, t) \tag{530}$$

ist zeitunabhängig:

$$Q^{a}(t) = Q^{a}(0) = Q^{a} (531)$$

Leider liegt $|0\rangle$ nicht im Definitionsbereich von $Q^a (= Q^{a\dagger})$:

$$||Q^{a}| \, 0 \,\rangle ||^{2} = \langle \, 0 \, |Q^{a2}| \, 0 \,\rangle = \int d^{3}\vec{x} \,\langle \, 0 \, |j^{0a}(x)Q^{a}| \, 0 \,\rangle$$

$$\stackrel{(141)}{=} \int d^{3}\vec{x} \,\langle \, 0 \, | \exp(iPx) \, j^{0a}(0) \, \exp(-iPx) \, Q^{a}| \, 0 \,\rangle$$

$$([P, Q^{a}] = 0 \, \text{für innere Symmetrien})$$

$$= \int d^{3}\vec{x} \,\langle \, 0 \, |j^{0a}(0)Q^{a}| \, 0 \,\rangle = \infty$$
(532)

Man braucht jedoch nur eine schwächere Bedingung für Vakuumserwartungswerte, die Q involvieren soll. Wir nehmen nun an, dass es einen skalaren Operator $\phi(x)$ mit $\langle 0 | \phi(x) | 0 \rangle = v \neq 0$ gibt und v nicht invariant bezüglich G_2 ist. Dabei kann $\phi(x)$ ein elementares Feld (z.B. Higgs-Feld) sein oder ein **zusammengesetzter Operator** (composite operator), das ist ein Produkt elementarer Felder am selben x, z.B. $\phi(x) = \bar{\psi}(x)\psi(x)$, $\phi(x) = V_{\mu}(x)V^{\mu}(x)$ mit Spinorfeld ψ und Vektorfeld (kein Eichfeld) V^{μ} (oder $\phi(x) = G'^{a}_{\mu\nu}G^{\mu\nu a}$)

Mit (513) folgt für die Generatoren a=1...J der gebrochenen Symmetriegruppe G_1/G_2 mit Negation von (515b):

$$v_{j} = \langle 0 | \phi_{j} | 0 \rangle$$

$$\neq \langle 0 | \exp(i\alpha_{a}Q^{a})\phi_{j} \exp(-i\alpha_{a}Q^{a}) | 0 \rangle = \langle 0 | \phi_{j} | 0 \rangle + i\alpha_{a} \langle 0 | [Q^{a}, \phi_{j}] | 0 \rangle + Q(\alpha_{a}^{2})$$

$$\Rightarrow \langle 0 | [Q^{a}, \phi_{j}] | 0 \rangle \neq 0 \text{ für } a = 1 \dots J$$

$$(533)$$

Wegen

$$\langle 0 | [Q^a, \phi_j(0)] | 0 \rangle \stackrel{(514)}{=} T^a_{jk} \underbrace{\langle 0 | \phi_k(0) | 0 \rangle}_{v_k}$$

$$(534)$$

ist $\langle 0 | [Q^a, \phi_j(0)] | 0 \rangle$ definiert (sofern (513) definiert ist). Aus (534) folgt für $a = 1 \dots J$:

$$0 \neq T_{jk}^{a} v_{k} = \langle 0 | [Q^{a}, \phi_{j}(0)] | 0 \rangle \stackrel{(530)}{=} \int d^{3}\vec{x} \langle 0 | [j^{0a}(\vec{x}, t), \phi_{j}(0)] | 0 \rangle$$

In diese Gleichung setzt man ein:

$$\mathbf{1} = |0\rangle\langle 0| + \sum_{\lambda} \int \frac{d^3 \vec{p}}{(2\pi)^3} |\lambda_p\rangle\langle \lambda_p|$$

Dabei läuft die Summe über alle Eigenzustände $|\lambda_p\rangle$ des Hamilton-Operators H. Wegen mit $H|\lambda_p\rangle = E_p^{\lambda}|\lambda_p\rangle$, $\vec{P}|\lambda_p\rangle = \vec{p}_{\lambda}|\lambda_p\rangle$ entsprechen die $|\lambda_p\rangle$ dem physikalischen Teilchenspektrum).

$$0 \neq T_{jk}^{a}v_{k} = \int d^{3}\vec{x} \langle 0 | [j^{0a}(x), \phi_{j}(0)] | 0 \rangle = \int d^{3}\vec{x} \langle 0 | j^{0a}(x) \phi_{j}(0) | 0 \rangle - \langle 0 | \phi_{j}(0) j^{0a}(x) | 0 \rangle$$
$$= \int d^{3}\vec{x} \sum_{\lambda} \int \frac{d^{3}\vec{p}}{(2\pi)^{3}} \left(\langle 0 | j^{0a}(x) | \lambda_{p} \rangle \langle \lambda_{p} | \phi_{j}(0) | 0 \rangle - \langle 0 | \phi_{j}(0) | \lambda_{p} \rangle \langle \lambda_{p} | j^{0a}(x) | 0 \rangle \right)$$
(535)

(Der zweite Term in (535) ist nur für reelle ϕ_j das komplex konjugierte des ersten Terms.)

$$\begin{array}{rcl} \text{Mit (vgl.(141)) } j^{0a}(x) & = & \exp(iPx) \, j^{0a}(0) \exp(-iPx) \\ & \text{und } \exp(-iPx) |\, \lambda_p \, \rangle & = & \exp(-iE_p^\lambda t) \exp(i\vec{p}_\lambda\vec{x}) |\, \lambda_p \, \rangle \\ \\ \text{wird die Integration zu } \int d^3\vec{x} \, \exp(i\vec{p}_\lambda\vec{x}) & = & (2\pi)^3 \delta^{(3)}(\vec{p}_\lambda) \end{array}$$

Damit erhält man dann aus Gleichung (535):

$$0 \neq T_{jk}^{a} v_{k} = \sum_{\lambda} \int d^{3}\vec{p} \,\delta^{(3)}(\vec{p}_{\lambda}) \qquad \left(\langle 0 | j^{0a}(0) | \lambda_{p} \rangle \langle \lambda_{p} | \phi_{j}(0) | 0 \rangle \exp(-iE_{p}^{\lambda}t) \right)$$

$$- \qquad \langle 0 | j^{0a}(0) | \lambda_{p} \rangle^{*} \langle 0 | \phi_{j}(0) | \lambda_{p} \rangle \exp(+iE_{p}^{\lambda}t) \right) \qquad (536)$$

$$0 \neq T_{jk}^{a} v_{k} = \sum_{\lambda} \qquad \left(\langle 0 | j^{0a}(0) | \lambda_{0} \rangle \langle \lambda_{0} | \phi_{j}(0) | 0 \rangle \exp(-iM_{\lambda}t) \right)$$

$$- \qquad \langle 0 | j^{0a}(0) | \lambda_{0} \rangle^{*} \langle 0 | \phi_{j}(0) | \lambda_{0} \rangle \exp(+iM_{\lambda}t) \right) \qquad (537)$$

wobei $M_{\lambda} = E_p^{\lambda}(\vec{p} = 0)$ die Masse des Zustands $|\lambda_p\rangle$ ist. Wegen $\frac{dv_k}{dt} = 0$ folgt aus (537):

$$0 = -i \sum_{\lambda} M_{\lambda} \quad (\langle 0 | j^{0a}(0) | \lambda_0 \rangle \langle \lambda_0 | \phi_j(0) | 0 \rangle \exp(-iM_{\lambda}t)$$

$$+ \quad \langle 0 | j^{0a}(0) | \lambda_0 \rangle^* \langle 0 | \phi_j(0) | \lambda_0 \rangle \exp(+iM_{\lambda}t))$$

$$(538)$$

Weil (538) identisch in t gilt, muss für jeden Koeffizienten entweder M_{λ} oder der Koeffizient

$$a_M := \sum_{\lambda'} \langle 0 | j^{0a}(0) | \lambda'_0 \rangle \langle \lambda'_0 | \phi_j(0) | 0 \rangle$$

(wobei λ' über alle Zustände mit gleicher Masse $M_{\lambda'} = M$ läuft), verschwinden. Gleiches gilt für den Koeffizienten b_M des $\sim \exp(iMt)$ Terms.

Wären alle $a_M = 0$ und $b_M = 0$, so wäre (537) verletzt. Es gibt also zu jedem $a = 1 \dots J$ mindestens einen Zustand λ mit $M_{\lambda} = 0$, was das Goldstone-Theorem beweist.

Für Goldstone-Bosonen λ ist also (siehe (537)) $a_0 \neq 0$ oder $b_0 \neq 0$ bzw.

$$\langle 0 | j^{0a} | \lambda \rangle \neq 0 \text{ und } \begin{cases} \langle 0 | \phi_j(0) | \lambda \rangle \neq 0 \text{ oder} \\ \langle 0 | \phi_j^{\dagger}(0) | \lambda \rangle = \langle \lambda | \phi_j(0) | 0 \rangle^* \neq 0 \end{cases}$$

D.h. j^{0a} hat eine Komponente, die $|\lambda\rangle$ vernichtet und Gleiches gilt für ϕ_j oder ϕ_j^{\dagger} . (Wegen $j^{0a}=j^{0a\dagger}$ erzeugt j^{0a} auch λ - Bosonen.) Ist $\phi_j=\phi_j^{\dagger}$, so sind beide Terme in (537) zueinander komplex konjugiert.

6.2.2 Higgs-Mechanismus

Betrachte $V(\Phi)$ wie in (518): Aus dem Goldstone-Theorem folgt: globale Symmetrie gebrochen \Rightarrow physikalische, masselose Spin 0 Bosonen Bei einer lokalen Symmetrie entsprechen die "flachen Richtungen" $T^a_{ik}\phi_{0k}$

("flach" wegen
$$\left. \frac{\partial^2 V}{\partial \phi_l \partial \phi_k} \right|_{\phi = \phi_0} T^a_{jk} \phi_{0k} \stackrel{(524)}{=} 0$$
)

unphysikalischen Eichfreiheitsgraden \Rightarrow Brechung der Eichsymmetrie, aber keine physikalischen Goldstone-Bosonen. Was passiert mit den $T_{ik}^a \phi_{0k}$?

Im Standardmodell bricht das Higgs-Feld ϕ die elektroschwache

$$SU(2)_L \times U(1)_V \tag{539}$$

Eichsymmetrie zur elektromagnetischen $U(1)_{em}$. $SU(2)_L$ bedeutet, dass linkshändige, aber keine rechtshändigen Fermionfelder der SU(2) - invarianten Wechselwirkung unterliegen. Y, die U(1) - Quantenzahl in (539) heißt **Hyperladung**. Die $SU(2)_L$ - Quantenzahl heißt **schwacher Isospin**.

Um $\mathrm{SU}(2)_L \times \mathrm{U}(1)_Y \to \mathrm{U}(1)_{em}$ vermöge $\langle 0 \mid \Phi \mid 0 \rangle \neq 0$ zu bewirken, darf Φ kein $\mathrm{SU}(2)_L$ - Singulett sein. Die einfachste Möglichkeit hierfür ist ein $\mathrm{SU}(2)$ - Doublett ϕ_i , i=1,2 mit dem Vakuumserwartungswert

$$\langle 0 | \phi_i | 0 \rangle = v_i \in \mathbb{C} \tag{540}$$

Da \mathcal{L} SU(2) - invariant ist, können wir alle Felder SU(2)_L - transformieren, insbesondere:

$$\Phi \to M\Phi, M \in SU(2)$$

mit dem einzigen Effekt, dass sich

$$\begin{pmatrix} v_1 \\ v_2 \end{pmatrix} \to M \begin{pmatrix} v_1 \\ v_2 \end{pmatrix} \tag{541}$$

transformiert. Mit $v := \sqrt{|v_1|^2 + |v_2|^2}$ ist

$$M = \frac{1}{v} \begin{pmatrix} v_2 & -v_1 \\ v_1^* & v_2^* \end{pmatrix} \in SU(2), M^{\dagger}M = 1, \det M = 1$$
$$\begin{pmatrix} v_1 \\ v_2 \end{pmatrix} \to \begin{pmatrix} 0 \\ v \end{pmatrix} \tag{542}$$

D.h. wir haben die gebrochene Symmetrie ausgenutzt, um den VEV auf die Form (542) zu bringen. v ist dabei reell!

• Hyperladung Y:

$$\Phi_y \to \exp(i\varphi Y)\Phi_y \tag{543}$$

mit dem Hyperladungsoperator Y

$$Y \Phi_y = y \Phi_y \tag{544}$$

Für $y \neq 0$ bricht die Transformation (542) auch die U(1)_Y - Symmetrie (543).

• Schwacher Isospin \vec{I}^2 , I_3

$$\vec{I}^2 \Phi_y = \frac{1}{2} \left(\frac{1}{2} + 1 \right) \Phi_y$$

Wir schreiben:

$$\Phi_y(x) = \begin{pmatrix} \phi^+(x) \\ \phi^0(x) \end{pmatrix} \tag{545}$$

so dass

$$I_3 \Phi_y = \frac{1}{2} \sigma_3 \Phi_y(x) = \frac{1}{2} \begin{pmatrix} \phi^+(x) \\ -\phi^0(x) \end{pmatrix}$$
 (546)

Die Normierung von Y ist beliebig, denn mit $Y \to \lambda Y, \ \varphi \to \varphi/\lambda$ erhält man die selbe $\mathrm{U}(1)_Y$ - Transformation, wie in (543). Für unser Higgs-Feld Φ_y wählen wir y=1/2. Die $\mathrm{SU}(2)_L \times \mathrm{U}(1)_Y$ - Transformation

$$\Phi_y \rightarrow \exp(i\varphi Q)\Phi_y$$
 (547)

$$mit Q = Y + I_3 (548)$$

bewirkt

$$\Phi_{1/2}(x) \to \exp(i\varphi(Y+I_3))\Phi_{1/2}(x) = \exp\left(i\frac{\varphi}{2}(\mathbf{1}+\sigma_3)\right)\Phi_{1/2}(x) = \exp\left(i\frac{\varphi}{0} \quad 0\right)\Phi_{1/2}(x)$$

$$= \begin{pmatrix} \exp(i\varphi) \,\phi^+(x) \\ \phi^0(x) \end{pmatrix}$$

Unser VEV $(0, v)^{\top}$ in (542) ist invariant bezüglich $\exp(i\varphi Q)$. Wir identifizieren also (547) mit der ungebrochenen U(1)_{em} und Q in (548) mit dem Operator der **elektrischen Ladung!** Insbesondere ist

$$Q \phi^{+} = (Y + I_3)\phi^{+} = \left(\frac{1}{2} + \frac{1}{2}\right)\phi^{+} = 1 \cdot \phi^{+} \Rightarrow q = +1$$
 (549a)

$$Q \phi^0 = (Y + I_3)\phi^0 = \left(\frac{1}{2} - \frac{1}{2}\right)\phi^0 = 0 \implies q = 0$$
 (549b)

D.h. ϕ^+ bzw ϕ^0 hat die elektrische Ladung +1 bzw 0. Die Gleichung (548) $Q=Y+I_3$ heißt **Gell-Mann-Nishima-Relation**. Ein qualitativ anderes Szenario findet man für den Fall y=0 beim Higgsfeld. Dann wäre $\mathrm{U}(1)_{em}=\mathrm{U}(1)_Y$ und Q=Y und beim β - Zerfall würde sich die elektrische Nukleonladung nicht ändern.

Higgs-Potential Das Higgspotential besitzt diese Form

$$V(\Phi) = -\mu^2 \Phi^{\dagger} \Phi + \lambda (\Phi^{\dagger} \Phi)^2 \qquad \lambda \mu > 0 \tag{550}$$

Mit Minimum bei $\Phi = (0, v)^{\mathsf{T}}$:

$$0 = \frac{\partial V(\Phi)}{\partial \phi_j^{\dagger}} = -\mu^2 \phi_j + 2\lambda (\Phi^{\dagger} \Phi) \phi_j \quad \Rightarrow \quad 0 = (-\mu^2 + 2\lambda v^2) \begin{pmatrix} 0 \\ v \end{pmatrix}$$

$$\text{Minimum } v = \frac{\mu}{\sqrt{2\lambda}}$$
(551)

$$\mathcal{L}_{\phi} = (\partial_{\mu}\Phi^{\dagger})(\partial^{\mu}\Phi) - V(\Phi) \tag{552}$$

Mit
$$\phi^0(x) =: v + \frac{h(x)}{\sqrt{2}} + i \frac{G^0(x)}{\sqrt{2}}$$
 (553a)

$$\phi^{+}(x) =: G^{+}(x)$$
 (553b)

und
$$G^{-}(x) := [G^{+}(x)]^{\dagger}$$
 (553c)

finden wir in G^+ , G^- und G^0 die Goldstone-Bosonen (in bestimmten Linearkombinationen). Hier ist h das physikalische Higgs-Boson-Feld. Die Higgsmasse ergibt sich aus (550) mit (553), indem man nur die h^2 Beiträge betrachtet:

$$\frac{m_h^2}{2}h^2 \stackrel{!}{=} -\mu^2 \left(v + \frac{h}{\sqrt{2}}\right)^2 \bigg|_{h^2 - \text{Term}} + \lambda \left(v + \frac{h}{\sqrt{2}}\right)^4 \bigg|_{h^2 - \text{Term}} = -\mu^2 \frac{h^2}{2} + 6\lambda \frac{h^2}{2}$$

$$\Rightarrow m_h^2 = -\mu^2 + 6\lambda v^2 \tag{554}$$

Mit (551): $\mu = \sqrt{2\lambda}v$ wird (554) zu $m_h^2 = 4\lambda v^2$, also

$$m_h = 2\sqrt{\lambda}v\tag{555}$$

Eichfelder

$$U(1)_V : B^{\mu} \text{ mit Kopplung } g_1 \tag{556a}$$

$$SU(2)_L : W^{\mu a} a = 1, 2, 3 \text{ mit Kopplung } g_2$$
 (556b)

Linkshändige Leptonen der ersten Generation sind $SU(2)_L$ -Doubletts

$$L = \begin{pmatrix} \nu_L \\ e_L \end{pmatrix}_y \tag{557}$$

Aus der Gell-Mann-Nishima-Relation (548) $Q = Y + I_3$, schießen wir mit den beobachteten Ladungen

$$0 = Q(\nu_L) = Y + \frac{1}{2}$$
$$-1 = Q(e_L) = Y - \frac{1}{2}$$

dass y = -1/2 für unser Lepton-Doublett (557). Das Standardmodell liefert keine Vorhersage für die Eigenwerte der Hyperladung Y oder der elektrischen Ladung Q!

Rechtshändige Leptonen der ersten Generation sind $SU(2)_L$ -Singuletts

$$e_R = e_{R,y=-1} (558)$$

Ein rechtshändiges Neutrino ν_R hätte wegen $Q(\nu_R) = 0$, $I_3(\nu_R) = 0$ auch $Y(\nu_R) = 0$, es wäre also Singulett bezüglich $\mathrm{SU}(3) \times \mathrm{SU}(2)_L \times \mathrm{U}(1)_Y$ und unterläge keiner Eichwechselwirkung \Rightarrow Es gibt kein ν_R im Standardmodell

Quarks der ersten Generation

$$Q = \begin{pmatrix} u_L \\ d_L \end{pmatrix}_{y=+\frac{1}{6}}$$

$$u_R = u_{R,y=\frac{2}{3}}$$

$$d_R = d_{R,y=-\frac{1}{3}}$$
(559a)
$$(559b)$$

$$u_R = u_{R,y=\frac{2}{3}}$$
 (559b)

$$d_R = d_{R,y=-\frac{1}{3}} (559c)$$

Kovariante Ableitungen

für rechtshändige Fermionfelder:
$$D_{\mu} = \partial_{\mu} - ig_1 Y B_{\mu}$$
 (560a)

für linkshändige Fermionfelder:
$$D_{\mu} = \partial_{\mu} - ig_1 Y B_{\mu} - ig_2 \frac{\sigma^a}{2} W_{\mu}^a$$
 (560b)

Eichkinetischer Term des Higgs-Feldes (552) wird in Gegenwart der Eichwechselwirkungen in (560) zu

$$\mathcal{L}_{\Phi} = \underbrace{(D_{\mu}\Phi)^{+}(D^{\mu}\Phi)}_{C_{\Phi} \to C_{\Phi}} - V(\Phi)$$
(561)

$$\mathcal{L}_{\Phi,eich} \stackrel{(553)}{=} \left[D_{\mu} \left(\frac{G^{+}}{v + \frac{h}{\sqrt{2}} + i \frac{G^{0}}{\sqrt{2}}} \right) \right]^{+} D^{\mu} \left(\frac{G^{+}}{v + \frac{h}{\sqrt{2}} + i \frac{G^{0}}{\sqrt{2}}} \right)$$
 (562)

In (560) ersetzen wir die reellen Felder W^1_{μ} , W^2_{μ} durch

$$W_{\mu}^{-} := \frac{1}{\sqrt{2}}(W_{\mu}^{1} + iW_{\mu}^{2})$$
 (563a)

$$W_{\mu}^{+} = (W_{\mu}^{-})^{\dagger} = \frac{1}{\sqrt{2}}(W_{\mu}^{1} - iW_{\mu}^{2})$$
 (563b)

Denn:

$$\sigma^{1}W_{\mu}^{1} + \sigma^{2}W_{\mu}^{2} = \sqrt{2}(\sigma^{+}W_{\mu}^{+} + \sigma^{-}W_{\mu}^{-})$$
 (564)

$$\operatorname{mit} \sigma^{+} = \begin{pmatrix} 0 & 1 \\ 0 & 0 \end{pmatrix} \qquad \sigma^{-} = \begin{pmatrix} 0 & 0 \\ 1 & 0 \end{pmatrix}$$

$$\operatorname{also} \sigma^{1} W_{\mu}^{1} + \sigma^{2} W_{\mu}^{2} = \sqrt{2} \begin{pmatrix} 0 & W_{\mu}^{+} \\ W_{\mu}^{-} & 0 \end{pmatrix}$$

$$(565)$$

Vorteil: W_{μ}^+ , W_{μ}^- sind Eigenvektoren zu I_3 . Adjungierte Darstellung der SU(2) (=Isospin - 1 = Isovektor = definierende Darstellung der SO(3)):

$$I_3 = i \begin{pmatrix} 0 & -1 & 0 \\ 1 & 0 & 0 \\ 0 & 0 & 0 \end{pmatrix} \tag{566}$$

(denn $\exp(i\varphi I_3)$ ist Drehung um z-Achse mit Winkel φ)

$$I_3 \cdot \begin{pmatrix} W_{\mu}^1 \\ W_{\mu}^2 \\ W_{\mu}^3 \end{pmatrix} \stackrel{(566)}{=} \begin{pmatrix} -iW_{\mu}^2 \\ iW_{\mu}^1 \\ 0 \end{pmatrix}$$

also
$$I_3 W_{\mu}^{\pm} = \frac{1}{\sqrt{2}} I_3 (W_{\mu}^1 \mp i W_{\mu}^2) = \frac{1}{\sqrt{2}} (\pm W_{\mu}^1 - i W_{\mu}^2) = \pm \frac{1}{\sqrt{2}} (W_{\mu}^1 \mp i W_{\mu}^2))$$

$$\Rightarrow I_3 W_{\mu}^{\pm} = \pm W_{\mu}^{\pm}$$
(567)

Wegen $YW_{\mu}^{a}=0$ sind W_{μ}^{\pm} auch Eigenvektoren zu $Q=Y+I_{3},$ d.h. W_{μ}^{\pm} hat die elektrische Ladung $\pm 1.$

 B_{μ} und W_{μ}^3 sind hingegen ungeladen. B_{μ} ist Singulett bezüglich $SU(2)_L$ und kann damit keinen Isospin tragen und trägt als Eichfeld der abelschen Gruppe $U(1)_Y$ keine Ladung (denn die adjungierte Darstellung einer abelschen Gruppe ist trivial).

$$\Rightarrow QB_{\mu} = (Y + I_3)B_{\mu} = 0$$

 W^3_μ trägt keine Hyperladung und

$$I_3W_{\mu}^3 \stackrel{(566)}{=} 0$$

(äquivalent: z-Achse ist Drehachse zu $\exp(i\varphi I_3)$ und damit gilt:)

$$\exp(i\varphi I_3)W_{\mu}^3 = W_{\mu}^3 \Rightarrow I_3W_{\mu}^3 = 0 \Rightarrow QW_{\mu}^3 = 0$$

Als physikalische Eichfelder der spontan gebrochenen Theorie erwarten wir also W_{μ}^{+} , W_{μ}^{-} und zwei Linearkombinationen aus B_{μ} und W_{μ}^{3} . Mit (563),(564) und (565) wird (560) übersichtlicher:

$$D_{\mu} = \partial_{\mu} - i \begin{pmatrix} g_1 Y B_{\mu} + \frac{1}{2} g_2 W_{\mu}^3 & \frac{1}{\sqrt{2}} g_2 W_{\mu}^+ \\ \frac{1}{\sqrt{2}} g_2 W_{\mu}^- & g_1 Y B_{\mu} - \frac{1}{2} g_2 W_{\mu}^3 \end{pmatrix}$$
 (568)

Das Photonfeld A_{μ} ist eine Linearkombination von B_{μ} und W_{μ}^{3} . Die zu A_{μ} orthogonale Linearkombination nennen wir Z_{μ} . Da wir die Normierung des kinetischen Terms der Eichfelder erhalten müssen:

$$\frac{1}{4}(\partial_{\mu}B_{\nu} - \partial_{\nu}B_{\mu})^{2} + \frac{1}{4}(\partial_{\mu}W_{\nu}^{a} - \partial_{\nu}W_{\mu}^{a})^{2} = \frac{1}{4}(\partial_{\mu}A_{\nu} - \partial_{\nu}A_{\mu})^{2} + \frac{1}{4}(\partial_{\mu}Z_{\nu} - \partial_{\nu}Z_{\mu})^{2} + \dots$$

ist nur eine orthogonale Transformation erlaubt:

$$\begin{pmatrix} A_{\mu} \\ Z_{\mu} \end{pmatrix} = \begin{pmatrix} \cos \vartheta_W & \sin \vartheta_W \\ -\sin \vartheta_W & \cos \vartheta_W \end{pmatrix} \begin{pmatrix} B_{\mu} \\ W_{\mu}^3 \end{pmatrix}$$
 (569)

 ϑ_W heißt **Weinberg-Winkel**. In (549) fanden wir für die beiden Komponenten des Higgs-Feldes die elektrischen Ladungen 0 und +1 für ϕ^0 und ϕ^+ . Also ist die kovarianten Ableitung zur ungebrochenen U(1)_{em}:

$$(\partial_{\mu} - ieA_{\mu})\phi^{+}$$
 und $\partial_{\mu}\phi^{0}$

(mit der elektromagnetischen Kopplungskonstanten e)

Der Vergleich mit (568) zeigt mit y = 1/2:

$$\frac{g_1 B_{\mu} + g_2 W_{\mu}^3}{2} = e A_{\mu} + b Z_{\mu} \tag{570a}$$

$$\frac{g_1 B_{\mu} - g_2 W_{\mu}^3}{2} = c Z_{\mu} \qquad \text{mit } b, c \in \mathbb{R}$$
 (570b)

Einsetzen von (569) in (570) liefert

$$\frac{1}{2} \begin{pmatrix} g_1 & g_2 \\ g_1 & -g_2 \end{pmatrix} \begin{pmatrix} B_{\mu} \\ W_{\mu}^3 \end{pmatrix} \stackrel{(570)}{=} \begin{pmatrix} e & b \\ 0 & c \end{pmatrix} \begin{pmatrix} A_{\mu} \\ Z_{\mu} \end{pmatrix} \stackrel{(569)}{=} \begin{pmatrix} e & b \\ 0 & c \end{pmatrix} \begin{pmatrix} c_W & s_W \\ -s_W & c_W \end{pmatrix} \begin{pmatrix} B_{\mu} \\ W_{\mu}^3 \end{pmatrix} \\
= \begin{pmatrix} ec_W - bs_W & es_W + bc_W \\ -cs_W & cc_W \end{pmatrix} \begin{pmatrix} B_{\mu} \\ W_{\mu}^3 \end{pmatrix} \tag{571}$$

mit $c_W = \cos \vartheta_W$ und $s_W = \sin \vartheta_W$. Untere Zeile von (571):

$$g_1 = -2cs_W, \quad g_2 = -2cc_W \Rightarrow \tan \vartheta_W = \frac{g_1}{g_2} > 0$$
 (572)

(Konvention: $g_1, g_2 > 0$) Wähle $0 < \vartheta_W < \frac{\pi}{2}$

$$\Rightarrow \sin \theta_W = \sqrt{\frac{s_W^2}{s_W^2 + c_W^2}} = \frac{1}{\sqrt{1 + 1/\tan^2 \theta_W}} \stackrel{(572)}{=} \frac{g_1}{\sqrt{g_1^2 + g_2^2}}$$
(573)

also
$$\cos \vartheta_W = \frac{g_2}{\sqrt{g_1^2 + g_2^2}}$$

und $c = -\frac{g_1}{2s_W} = -\frac{1}{2}\sqrt{g_1^2 + g_2^2}$ (574)

Obere Zeile von (571) multipliziert mit $\cos \vartheta_W$ bzw. $\sin \vartheta_W$:

$$\frac{g_1}{2}c_W = ec_W^2 - bs_W c_W (575a)$$

$$\frac{g_2}{2}s_W = es_W^2 + bs_W c_W (575b)$$

Summe von (575)

$$e = \frac{g_1 c_W + g_2 s_W}{2} \stackrel{(573)(574)}{=} \frac{g_1 g_2}{\sqrt{q_1^2 + q_2^2}}$$
 (576)

oder nach nochmaligem Anwenden von (573),(574)

$$e = g_2 \sin \theta_W = g_1 \cos \theta_W \tag{577}$$

Mit (572) sind A_{μ} und Z_{μ} in (569) festgelegt und e, die Kopplungskonstante der U(1)_{em}, ist in (576) aus g_1 und g_2 bestimmt. (568) wird mit (577) zu

$$D_{\mu} = \partial_{\mu} - ie \begin{pmatrix} \left(Y + \frac{1}{2}\right) A_{\mu} - \frac{2Y \tan^{2} \vartheta_{W} - 1}{2 \tan \vartheta_{W}} Z_{\mu} & \frac{1}{\sqrt{2}s_{W}} W_{\mu}^{+} \\ \frac{1}{\sqrt{2}s_{W}} W_{\mu}^{-} & \left(Y - \frac{1}{2}\right) A_{\mu} - \frac{2Y \tan^{2} \vartheta_{W} + 1}{2 \tan \vartheta_{W}} Z_{\mu} \end{pmatrix}$$
 (578)

Einsetzen in (562) liefert mit Y(Z)=1/2 direkt die Massen der Eichbosonen

$$\mathcal{L}_{W,Z\text{-Masse}} = \left[D_{\mu} \begin{pmatrix} 0 \\ v \end{pmatrix} \right]^{\dagger} D^{\mu} \begin{pmatrix} 0 \\ v \end{pmatrix} \Big|_{Massenterme}$$

$$\stackrel{(578)}{=} e^{2}v^{2} \left(\frac{1}{\sqrt{2}s_{W}} W_{\mu}^{-} - \frac{\tan^{2}\vartheta_{W}+1}{2\tan\vartheta_{W}} Z_{\mu} \right) \left(-\frac{\frac{1}{\sqrt{2}s_{W}}}{2\tan\vartheta_{W}} Z^{\mu} \right)$$

$$= \frac{e^{2}v^{2}}{2s_{W}^{2}} W_{\mu}^{-} W^{\mu+} + \frac{e^{2}v^{2}}{4s_{W}^{2}c_{W}^{2}} Z_{\mu} Z^{\mu} \quad \text{mit } \frac{\tan^{2}\vartheta_{W}+1}{2\tan\vartheta_{W}} = \frac{1}{2s_{W}c_{W}}$$

$$\stackrel{!}{=} M_{W}^{2} W_{\mu}^{-} W^{\mu+} + \frac{1}{2} M_{Z}^{2} Z_{\mu} Z^{\mu}$$

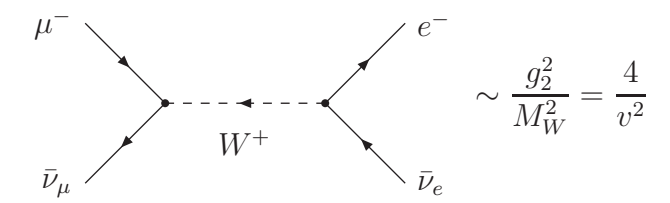
$$M_W^2 = \frac{e^2 v^2}{2s_W^2} \stackrel{(577)}{=} \frac{g_2^2 v^2}{2}$$
 (579a)

$$M_Z^2 = \frac{e^2 v^2}{2s_W^2 c_W^2} = \frac{g_2^2 v^2}{2c_W^2}$$
 (579b)

Insbesondere:

$$\frac{M_W}{M_Z} \stackrel{(579)}{=} \cos \vartheta_W \stackrel{(577)}{=} \frac{e}{g_1} \stackrel{(576)}{=} \frac{g_2}{\sqrt{g_1^2 + g_2^2}}$$
 (580)

 \Rightarrow Spontane Symmetriebrechung impliziert Relationen zwischen M_W, M_Z, e, g_1, g_2 und e. Diese Relationen ermöglichen experimentelle Konsistenztests bzw. Vorhersagen. Beispiel: Myon-Zerfall



Die Fermikonstante G_F ist definiert über die Myon-Zerfall-Lagrangedichte

$$\mathcal{L} = \frac{4G_F}{\sqrt{2}} \bar{\nu}_{\mu L} \gamma_{\mu} \mu_L \bar{e}_L \gamma^{\mu} \nu_{eL}$$

$$\mu^- \qquad e^-$$

$$\bar{\nu}_{e} \qquad \bar{\nu}_{e} \qquad \bar{\nu}_{e} \qquad (581)$$

Die totale Zerfallsrate ist

$$\Gamma = \frac{1}{\tau_{\mu}} = \frac{G_F^2 m_{\mu}^5}{192\pi^3} \left(1 - 8 \frac{m_e^2}{m_{\mu}^2} + O\left(\frac{m_e^4}{m_{\mu}^4}\right) \right) \tag{582}$$

experimentell:

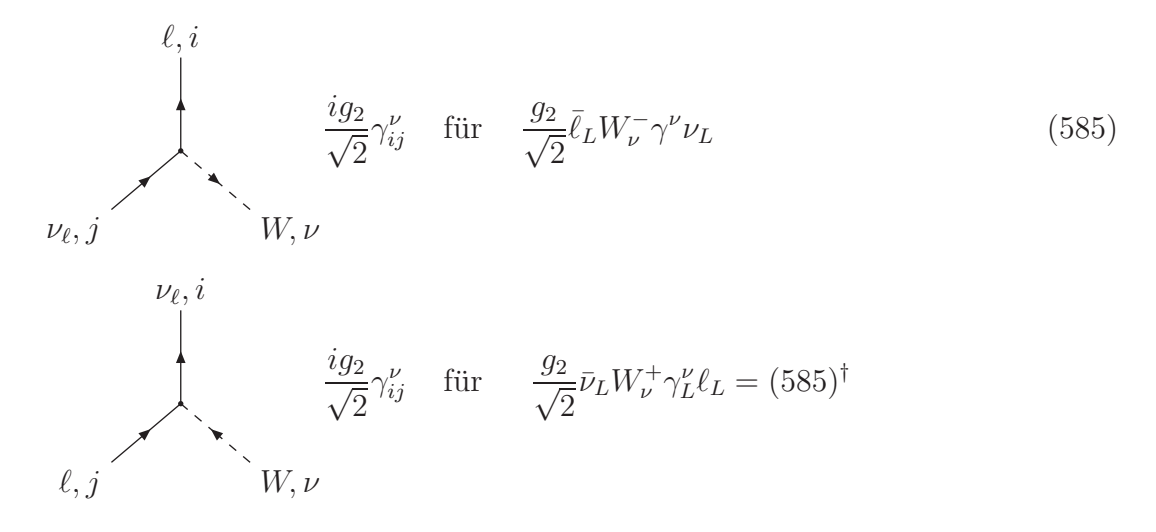
$$\tau_{\mu} \approx (2,19703 \pm 0,00004) \cdot 10^{-6} \,\mathrm{s}$$

 $\Rightarrow G_F = (1,16639 \pm 0,00001) \cdot 10^{-5} \,\mathrm{GeV}^{-2} = (292,8 \,\mathrm{GeV})^{-2}$ (583)

Mit

$$\mathcal{L}_{F} \supset \bar{L}_{1} i \not\!\!\!D L_{1} + \bar{L}_{2} i \not\!\!\!D L_{2} \supset \frac{g_{2}}{\sqrt{2}} \bar{e}_{L} W_{\nu}^{-} \gamma^{\nu} \nu_{eL} + \frac{g_{2}}{\sqrt{2}} \bar{\nu}_{\mu L} W_{\nu}^{+} \gamma^{\nu} \mu_{L} + h.c.$$
 (584)

 $(L_k$ ist das $\mathrm{SU}(2)_L$ -Lepton-Doublett der k-ten Generation) ist die Feynman-Regel für die Lepton-W-Neutrino-Kopplung gerade



Myon-Zerfall (mit $m_{\mu} \ll M_W$ und Propagator aus (286))

$$i\mathcal{M} = \left(\frac{ig_2}{\sqrt{2}}\right)^2 \bar{\nu}_{\mu L} \gamma_{\nu} \mu_L \bar{e}_L \gamma^{\nu} \nu_{eL} \frac{-i}{-M_W^2}$$

$$\mathcal{M} = -\frac{g_2^2}{2M_W^2} \bar{\nu}_{\mu L} \gamma_{\nu} \mu_L \bar{e}_L \gamma^{\nu} \nu_{eL}$$
(586)

Vergleich mit dem Matrixelement der Fermi-Theorie (581):

$$\mathcal{M} = -\frac{4G_F}{\sqrt{2}} \bar{\nu}_{\mu L} \gamma_{\nu} \mu_L \bar{e}_L \gamma^{\nu} \nu_{eL}$$

$$\Rightarrow G_F = \frac{g_2^2}{4\sqrt{2}M_W^2}$$

$$G_F \stackrel{(579)}{=} \frac{1}{2\sqrt{2}v^2}$$

$$(588)$$

Mit (583) finden wir also

$$v = \frac{2^{-3/4}}{\sqrt{G_F}} = 2^{-3/4} \cdot 292, 8 \,\text{GeV} = 174 \,\text{GeV} \Rightarrow \mu/\sqrt{\lambda} \,\text{ist bestimmt}$$
 (589)

$$(555) \Rightarrow m_h = 2\sqrt{\lambda}v < \sqrt{\lambda}348 \,\text{GeV} \tag{590}$$

Störungstheorie = Entwicklung in $\frac{\lambda}{4\pi}$

$$\Rightarrow \lambda \lesssim 10 \Rightarrow m_h \lesssim 1, 1 \,\text{TeV}$$

Die Goldstone Bosonen G^+, G^- und G^0 in (553) sind unphysikalisch: Analog zu (541) nutzen wir nun die lokale SU(2) - Invarianz aus. Zunächst in der unquantisierten Theorie:

$$\Phi(x) \rightarrow \Phi'(x) = M(x)\Phi(x) \text{ mit } M(x) \in SU(2)$$

$$\Phi(x) = \begin{pmatrix} \phi^{+}(x) \\ \phi^{0}(x) \end{pmatrix} \stackrel{(553)}{=} \begin{pmatrix} G^{+}(x) \\ v + \frac{h(x)}{\sqrt{2}} + i \frac{G^{0}(x)}{\sqrt{2}} \end{pmatrix}$$

$$\text{Mit } M(x) = \frac{1}{\sqrt{\Phi^{\dagger}(x)\Phi(x)}} \begin{pmatrix} \phi^{0}(x) & -\phi^{+}(x) \\ \phi^{-}(x) & \phi^{0\dagger}(x) \end{pmatrix}$$

$$\text{ist } \Phi'(x) = \begin{pmatrix} 0 \\ \sqrt{\Phi^{\dagger}(x)\Phi(x)} \end{pmatrix}$$

$$(592)$$

D.h. mit der Wahl in (591) haben wir eine bestimmte Eichung festgelegt, in der $\Phi(x)$ nur eine reelle Komponente hat. Weil $\Phi^{\dagger}(x)\Phi(x)=v^2$ am Minimum des Potentials ist, schreiben wir:

$$\sqrt{\Phi^{\dagger}(x)\Phi(x)} =: v + \frac{h'(x)}{\sqrt{2}} \tag{593}$$

und es gilt
$$\Phi'(x) = \begin{pmatrix} 0 \\ v + \frac{h'(x)}{\sqrt{2}} \end{pmatrix}$$
 (594)

in dieser sogenannten **unitären Eichung**. Alle unphysikalischen Freiheitsgrade sind verschwunden und nur h'(x) wird quantisiert. \mathcal{L}_{Φ} in (561) wird in der unitären Eichung zu

$$\mathcal{L}_{\phi} = \left[D_{\mu} \begin{pmatrix} 0 \\ v + \frac{h(x)}{\sqrt{2}} \end{pmatrix} \right]^{\dagger} D^{\mu} \begin{pmatrix} 0 \\ v + \frac{h(x)}{\sqrt{2}} \end{pmatrix} + \mu^{2} \left(v + \frac{h(x)}{\sqrt{2}} \right)^{2} - \lambda \left(v + \frac{h(x)}{\sqrt{2}} \right)^{4} \\
= \frac{1}{2} \partial_{\mu} h \, \partial^{\mu} h + M_{W}^{2} W_{\mu}^{-} W^{\mu +} + \frac{M_{Z}^{2}}{2} Z_{\mu} Z^{\mu} \quad \text{mit (554), (578) und (579)} \\
+ (h^{2} + 2\sqrt{2}vh) \left[\frac{e^{2}}{4s_{W}^{2}} W_{\mu}^{+} W^{\mu -} + \frac{e^{2}}{8s_{W}^{2} c_{W}^{2}} Z_{\mu} Z^{\mu} \right] \\
- \frac{m_{h}^{2}}{2} h^{2} - \sqrt{2} \lambda v h^{3} - \frac{\lambda}{4} h^{4} + \mu^{2} v^{2} - \lambda v^{4} \tag{595}$$

(mit der irrelevanten Konstanten $\mu^2 v^2 - \lambda v^4$)

Die Higgs-Higgs-Z-Kopplung aus $(D_{\mu}h)^{\dagger}D^{\mu}h$ verschwindet wegen

$$(\partial_{\mu}h)\frac{ie}{2s_{W}c_{W}}Z^{\mu}h - \frac{ie}{2s_{W}c_{W}}Z^{\mu}h\left(\partial^{\mu}h\right) = 0$$

Zusammen mit dem kinetischen Term der W- und Z-Bosonen und des Photons

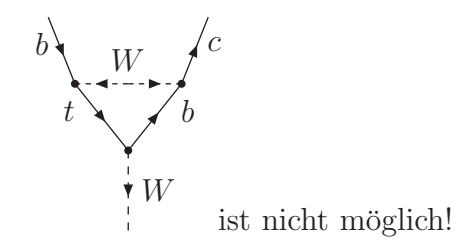
$$\mathcal{L}_{kin} = \frac{1}{4} (\partial_{\mu} W_{\nu}^{a} - \partial_{\nu} W_{\mu}^{a}) (\partial^{\mu} W^{\nu a} - \partial^{\nu} W^{\mu a}) + \frac{1}{4} (\partial_{\mu} B_{\nu} - \partial_{\nu} B_{\mu})^{2}
\stackrel{(563)(569)}{=} \frac{1}{4} (\partial_{\mu} W_{\nu}^{+} - \partial_{\nu} W_{\mu}^{+}) (\partial^{\mu} W^{\nu -} - \partial^{\nu} W^{\mu -})
+ \frac{1}{4} (\partial_{\mu} Z_{\nu} - \partial_{\nu} Z_{\mu})^{2} + \frac{1}{4} (\partial_{\mu} A_{\nu} - \partial_{\nu} A_{\mu})^{2}$$
(596)

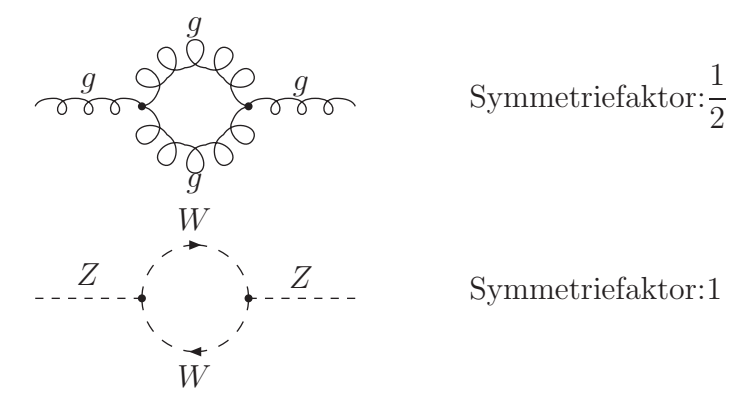
finden wir, dass die W- und Z-Bosonen in der unitären Eichung die Propagatoren aus (286) (der Proca-Gleichung) haben.

Z-Propagator :
$$\frac{-i}{\alpha} \frac{-i}{k^2 - M_Z^2 + i\delta} \left[g^{\alpha\beta} - \frac{k^a k^\beta}{M_Z^2} \right]$$
 (597a)
W-Propagator :
$$\frac{-i}{\alpha} \frac{-i}{k^2 - M_W^2 + i\delta} \left[g^{\alpha\beta} - \frac{k^a k^\beta}{M_W^2} \right]$$
 (597b)

W-Propagator :
$$\frac{-i}{\kappa^2 - M_W^2 + i\delta} \left[g^{\alpha\beta} - \frac{k^a k^\beta}{M_W^2} \right]$$
 (597b)

Die Pfeile am Propagator sind wichtig! (Beachte: Z reell, W komplex ⇒ Pfeile) Beispiele:





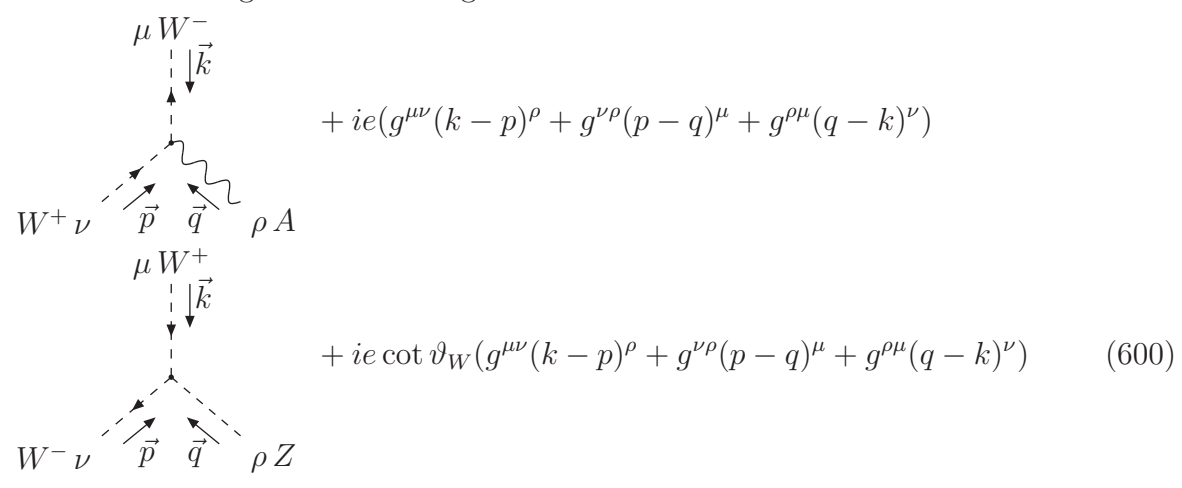
Die Selbstkopplung der $W^1_{\mu}, W^2_{\mu}, W^3_{\mu}$ - Felder finden wir aus (499) und (500) mit $f^{abc} = \varepsilon^{abc}$. Die einzige Dreierkopplung ist:

In der W^+, W^-, Z, A - Basis wird daraus mit (563)(569)

$$\mu W^{+} \\
\downarrow | \vec{k} \\
\uparrow \\
V \\
\rho A$$

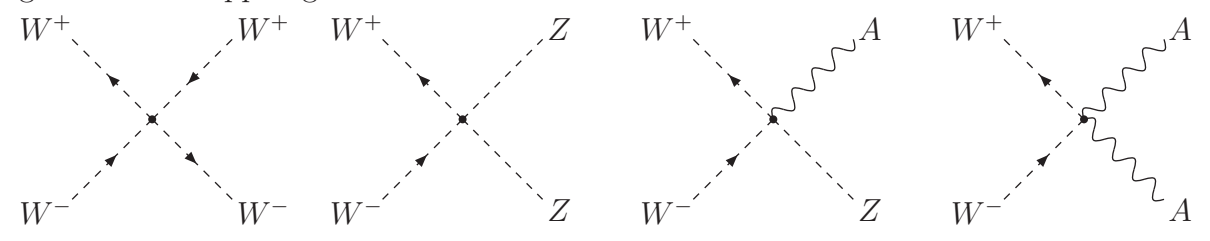
$$-ie(g^{\mu\nu}(k-p)^{\rho} + g^{\nu\rho}(p-q)^{\mu} + g^{\rho\mu}(q-k)^{\nu})$$
(599)

Der Ladungsfluss ist wichtig:



Dreierkopplungen wurden bei LEP-II gemessen

Es gibt 4 Viererkopplungen:



6.2.3 Übersicht über das Standardmodell

Eichgruppe

$$SU_C(3) \times SU_L(2) \times U_Y(1)$$

Quantenzahlen (j = 1, 2, 3 Generationen)

Fermionen

$$L_{j} = \begin{pmatrix} \nu_{e} \\ e_{L} \end{pmatrix}, \begin{pmatrix} \nu_{\mu} \\ \mu_{L} \end{pmatrix}, \begin{pmatrix} \nu_{\tau} \\ \tau_{L} \end{pmatrix} \qquad (1,2,-1/2)$$

$$l_{Rj} = e_{R}, \mu_{R}, \tau_{R} \qquad (1,1,-1)$$

$$Q_{j} = \begin{pmatrix} u_{L} \\ d_{R} \end{pmatrix}, \begin{pmatrix} c_{L} \\ s_{L} \end{pmatrix}, \begin{pmatrix} t_{L} \\ b_{L} \end{pmatrix} \qquad (3,2,1/6)$$

$$u_{Rj} = u_{R}, c_{R}, t_{R} \qquad (3,1,2/3)$$

$$d_{Rj} = d_{R}, s_{R}, b_{R} \qquad (3,1,-1/3)$$

$$(601)$$

160

Eichbosonen

$$B_{\mu}$$
 (1,1,0)
 W_{μ}^{a} $a = 1, 2, 3$ (1,3,0) (602)

Physikalische Felder

$$W_{\mu}^{\pm} \stackrel{(563)}{=} \frac{1}{\sqrt{2}} (W_{\mu}^{1} \mp iW_{\mu}^{2})$$

$$A_{\mu} \stackrel{(569)}{=} + \cos \vartheta_{W} B_{\mu} + \sin \vartheta_{W} W_{\mu}^{3}$$

$$Z_{\mu} \stackrel{(569)}{=} - \sin \vartheta_{W} B_{\mu} + \cos \vartheta_{W} W_{\mu}^{3}$$

Higgs

$$\Phi = \begin{pmatrix} G^+ \\ v + \frac{1}{\sqrt{2}}h + \frac{i}{\sqrt{2}}G^0 \end{pmatrix}$$
 (1,2,1/2)

Physikalisches Feld : h

(Pseudo-)Goldstone Bosonen : G^{\pm}, G^0

(Pseudo, da keine globale Symmetrie gebrochen wird, sondern eine lokale, die den Eichfreiheitsgraden entspricht.)

6.3 Yukawa-Sektor

Fermion-Massen:

$$-m_e \bar{L}_1 e_R$$

mit dem SU(2)-Doublett \bar{L}_1 und dem SU(2)-Singulett e_R ist nicht SU(2) invariant.

 \Rightarrow Higgs-Feld Φ muss auch Fermionmassen generieren

$$\mathcal{L} \supset -y_e \bar{L}_1 \Phi e_R + h.c.$$

$$SU(2)\text{-Singulett}$$

$$U(1)_Y\text{-Singulett}$$

$$(604)$$

mit der dimensionslosen Yukawa-Kopplungskonstanten y_e . $\bar{L}_1 \Phi e_R$ ist also $SU(2)_L$ - invariant und hat Dimension 4.

3 Generationen

$$\mathcal{L} \supset -\sum_{j,k=1}^{3} Y_{jk}^{\ell} \bar{L}_{j} \Phi \ell_{Rk} + h.c. \tag{605}$$

 $Y_{jk}^{\ell}: 3 \times 3\text{-Yukawa-Matrix} \in \mathbb{C}^{3 \times 3}$

Der Eichsektor der Leptonen hat eine globale $U(3) \times U(3)$ -Flavour-Symmetrie.

$$U^L, U^R \in \mathrm{U}(3) : L_j \longmapsto U^L_{jk} L_k$$
 (606a)

$$\ell_j \longmapsto U_{ik}^R \ell_k$$
 (606b)

Denn z.B.

$$\sum_{j=1}^{3} \bar{L}_{j} i \not\!\!D L_{j} \stackrel{(606)}{\longmapsto} \sum_{j,k,k'=1}^{3} \bar{L}_{k} \underbrace{U_{kj}^{L\dagger} i \not\!\!D U_{jk'}^{L}}_{U_{kj}^{L\dagger} U_{jk'}^{L} = \delta_{kk'}} = \sum_{k=1}^{3} \bar{L}_{k} i \not\!\!D L_{k}$$

Unter der Transformation (606) ist (605) nicht invariant, sondern

$$\sum_{j,k=1}^{3} \bar{L}_{j} \Phi Y_{jk}^{\ell} \ell_{Rk} \stackrel{(606)}{\longleftrightarrow} \sum_{j,j,k,k'=1}^{3} \bar{L}_{j'} \Phi \underbrace{U_{j'j}^{L\dagger} Y_{jk}^{\ell} U_{kk'}^{R}}_{\hat{Y}_{j'k'}^{\ell}} \ell_{Rk'}$$

$$(607)$$

d.h. wir können (606) ausnutzen, um Y_{jk}^{ℓ} in eine einfachere Matrix \hat{Y}_{jk}^{ℓ} zu überführen:

$$\hat{Y}^{\ell} = U^{L\dagger} Y^{\ell} U^R \tag{608}$$

Theorem: Mit einer **bi-unitären Transformation** (608) lässt sich jede Matrix $Y \in \mathbb{C}^{N \times N}$ auf Diagonalgestalt $\hat{Y} = \text{diag}(y_1, \dots y_N)$ mit $y_i \geq 0$ bringen.

Jede Matrix hat eine Polarzerlegung:

$$Y = HV, \quad H = H^{\dagger}, \quad V^{\dagger}V = 1 \tag{609}$$

 $\exists U^L \in U(N) : U^{L\dagger} H U^L = \operatorname{diag}(h_1, \dots h_N) = \hat{H} \text{ mit } h_i \in \mathbb{R}$

$$Y = U^{L} \hat{H} U^{L\dagger} V = U^{L} \underbrace{\begin{pmatrix} |h_{1}| & 0 \\ & \ddots & \\ 0 & |h_{N}| \end{pmatrix}}_{\hat{Y}} \underbrace{\begin{pmatrix} \operatorname{sgn} h_{1} & 0 \\ & \ddots & \\ 0 & \operatorname{sgn} h_{N} \end{pmatrix}}_{U^{L\dagger} V} U^{L\dagger} V = U^{L} \hat{Y} U^{R\dagger}$$

qed.

Berechnung von U^L, U^R, \hat{Y}^ℓ in (608):

$$Y^{\ell\dagger}Y^{\ell} \stackrel{(608)}{=} (U^R \hat{Y}^{\ell\dagger}U^{L\dagger})(U^L \hat{Y}^{\ell}U^{R\dagger}) = U^R (\hat{Y}^{\ell})^2 U^{R\dagger}$$

$$Y^{\ell}Y^{\ell\dagger} \stackrel{(608)}{=} (U^L \hat{Y}^{\ell}U^{R\dagger})(U^R \hat{Y}^{\ell\dagger}U^{L\dagger}) = U^L (\hat{Y}^{\ell})^2 U^{L\dagger}$$

$$\Rightarrow (\hat{Y}^{\ell})^2 = \begin{pmatrix} y_1^2 & 0 \\ & \ddots & \\ 0 & y_N^2 \end{pmatrix} = U^{R\dagger} Y^{\ell\dagger} Y^{\ell} U^R$$
 (610)

und
$$(\hat{Y}^{\ell})^2 = U^{L\dagger} Y^{\ell} Y^{\ell\dagger} U^L$$
 (611)

 U^R, U^L erhält man durch diagonalisieren von $Y^{\ell\dagger}Y^\ell$ bzw. $Y^\ell Y^{\ell\dagger}$. Damit können wir für die Yukawa-Kopplungen der Leptonen o.B.d.A

$$\mathcal{L}_Y^{\ell} = -\sum_{\ell=e,\mu,\tau} y_{\ell} \bar{L}_{\ell} \Phi \ell_R + h.c. \tag{612}$$

wählen. \mathcal{L}_Y^{ℓ} ist flavour-diagonal. Mit (553) finden wir die Massenterme

$$-\sum_{\ell=e,\mu,\tau} y_{\ell} v \,\bar{\ell}_L \ell_R + h.c.$$

$$\Rightarrow m_{\ell} = y_{\ell} v \tag{613}$$

$$y_e = \frac{m_e}{v} = \frac{5 \cdot 10^{-4} \,\text{GeV}}{174 \,\text{GeV}} \approx 3 \cdot 10^{-6}$$
 (614a)

$$y_{\mu} = \frac{m_{\mu}}{v} = \frac{0.11 \,\text{GeV}}{174 \,\text{GeV}} \approx 6 \cdot 10^{-4}$$
 (614b)

$$y_{\tau} = \frac{m_{\tau}}{v} = \frac{1,77 \,\text{GeV}}{174 \,\text{GeV}} \approx 10^{-2}$$
 (614c)

Quarks Eichsektor:

$$\mbox{U}(3) \times \mbox{U}(3) \times \mbox{U}(3)$$
 - Flavour
symmetrie $Q_j \qquad d_{Rj} \qquad u_{Rj} \quad j=1,2,3$

6.3.1 Yukawa-Wechselwirkung

$$\mathcal{L}_{Y}^{d} = -\sum_{j,k=1}^{3} \bar{Q}_{j} \Phi Y_{jk}^{d} d_{Rk} + h.c.$$
 (615)

VEV:
$$\Phi \longmapsto \begin{pmatrix} 0 \\ v \end{pmatrix}$$

$$M_{jk}^d := Y_{jk}^d v \tag{616}$$

heißt Down-Massenmatrix.

Mit $S^{dL}, S^{dR} \in U(3)$

$$S^{dL\dagger}Y^dS^{dR} = \hat{Y}^d = \operatorname{diag}(y_d, y_s, y_b) \tag{617}$$

ist also (analog zu (608))

$$S^{dL\dagger}M^dS^{dR} = \hat{M}^d = \operatorname{diag}(m_d, m_s, m_b) \tag{618}$$

Erinnerung: Mit Φ ist auch $\Phi^c := \varepsilon \Phi^* = \begin{pmatrix} \phi^{0*} & -\phi^- \end{pmatrix}^\top$ ein SU(2)-Doublett

$$\mathcal{L}_{Y}^{u} = -\sum_{j,k=1}^{3} \bar{Q}_{j} \Phi^{c} Y_{jk}^{u} u_{Rk} + h.c.$$
 (619)

gibt also den up-artigen Quarks seine Masse

VEV:
$$\Phi^c \longmapsto \begin{pmatrix} v \\ 0 \end{pmatrix}$$

$$M^u_{jk} := Y^u_{jk} v \tag{620}$$

ist die up-Massenmatrix.

$$S^{uL\dagger}M^uS^{uR} = \hat{M}^u = \operatorname{diag}(m_u, m_c, m_t) \tag{621}$$

Jedoch: Die U(3)³-Flavoursymmetrie des Eichsektors erfordert $S^{dL} = S^{uL}$. Mit

$$Q \longmapsto S^{uL}Q: d \longmapsto S^{dR}d_R, \quad u_R \longmapsto S^{uR}u_R$$

finden wir aus (615)

$$\mathcal{L}_{Y}^{d} = -\sum_{j,j',k,k'=1}^{3} \bar{Q}_{j'} \Phi S_{j'j}^{uL\dagger} Y_{jk}^{d} S_{kk'}^{dR} d_{Rk'}$$
(622)

und

$$S^{uL\dagger}Y^dS^{dR} = S^{uL\dagger}S^{dL}S^{dL\dagger}Y^dS^{dR} \stackrel{(617)}{=} S^{uL\dagger}S^{dL}\hat{Y}^d =: V\hat{Y}^d$$

$$(623)$$

mit der Cabbibo-Kobajashi-Maskawa (CKM) - Matrix

$$V = S^{uL\dagger} S^{dL} \in U(3) \tag{624}$$

D.h. o.B.d.A. $Y^u = \hat{Y}^u$ diagonal und

$$Y^d = V\hat{Y}^d \tag{625}$$

Um Y^d zu diagonalisieren, transformieren wir

$$d_{Lj} \longmapsto \sum_{k=1}^{3} V_{jk} d_{Lk} \tag{626}$$

so dass

$$\sum_{j,n=1}^{3} \bar{d}_{Lj} Y_{jn}^{d} d_{Rn} \stackrel{(625)}{=} \sum_{j,k',n=1}^{3} \bar{d}_{Lj} V_{jk'} \hat{Y}_{k'n}^{d} d_{n}^{R} \stackrel{(626)}{\longmapsto} \sum_{j,k,k',n=1}^{3} \bar{d}_{Lk} \underbrace{V_{kj}^{\dagger} V_{jk'}}_{\delta_{kk'}} \hat{Y}_{k'n}^{d} d_{Rn} = \sum_{k,n=1}^{3} \bar{d}_{Lk} \hat{Y}_{kn}^{d} d_{Rn}$$

$$(627)$$

(626) ist nicht $SU(2)_L$ -invariant.

Die Basis für u^L, d^L, u^R, d^R mit diagonalen Yukawa-Matrizen heißt Basis der **Masseneigenzustände** (MEZ). Die Basis mit (625) ist eine von vielen Basen aus (Eich-)**Wechselwirkungs- zuständen** (WEZ). In der Basis der MEZ ist $\begin{pmatrix} u_{Lj} & d_{Lj} \end{pmatrix}^{\top}$ kein $SU(2)_L$ -Doublett und

$$\mathcal{L}_{eich} \supset \frac{g_2}{\sqrt{2}} \sum_{j=1}^{3} \bar{u}_{Lj} \gamma^{\mu} d_{Lj} W_{\mu}^{\dagger} + h.c. \stackrel{(626)}{\longleftrightarrow} \frac{g_2}{\sqrt{2}} \sum_{j=1}^{3} \bar{u}_{Lj} \gamma^{\mu} V_{jk} d_{Lk} W_{\mu}^{\dagger} + h.c.$$
(628)

⇒ Die CKM-Matrix taucht in den W-Kopplungen an Quarks auf.

$$i\frac{g_2}{\sqrt{2}}V_{jk}\gamma^{\mu}P_L \qquad (629)$$

Die CKM-Matrix verschwindet jedoch aus den Kopplungen des Z-Bosons und des Photons $(U_{\mu} = Z_{\mu} \text{ oder } A_{\mu})$ (und des Gluons)

$$\sum_{j=1}^{3} \bar{d}_{Lj} \gamma^{\mu} d_{Lj} U_{\mu} \stackrel{\text{(626)}}{\longleftrightarrow} \sum_{j,k,n=1}^{3} \bar{d}_{Lj} \underbrace{V_{jk}^{\dagger} V_{kn}}_{\delta_{jn}} \gamma^{\mu} d_{Ln} U_{\mu} = \sum_{j=1}^{3} \bar{d}_{Lj} \gamma^{\mu} d_{Lj} U_{\mu}$$

⇒ Es gibt keine **flavour-ändernden neutralen Ströme** (FCNC) auf Baumgraph-Niveau im SM, also:



Diese Konsequenz der Unitarität von V heißt **GIM-Mechanismus** (nach Glashow, Iliopoulos, Maiani)

Historisch: Die beobachtete starke Unterdrückung des Zerfalls $K_L \to \mu^+ \mu^-$ hat GIM zum Postulat des Charm-Quarks veranlasst.

$$|K_L\rangle \approx \frac{1}{\sqrt{2}}(|K^0\rangle - |\bar{K}^0\rangle)$$
 \bar{s}
 \bar{k}^0
 \bar{k}^0

Man schreibt gerne V_{ub} statt V_{13} usw.

$$V = \begin{pmatrix} V_{ud} & V_{us} & V_{ub} \\ V_{cd} & V_{cs} & V_{cb} \\ V_{td} & V_{ts} & V_{tb} \end{pmatrix}$$

$$(630)$$

Gelegentlich bezeichnet man die Wechselwirkungseigenzustände, für die die Yukawa-Matrix die Form (625) hat und manifest $SU(2)_L$ invariant sind, mit

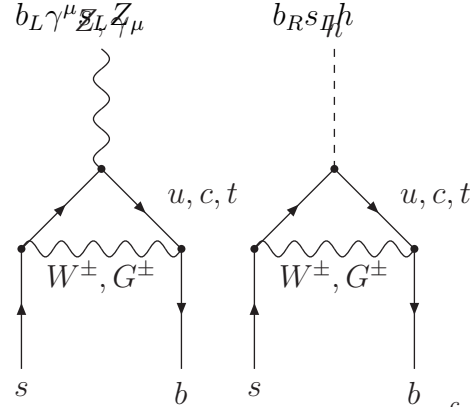
$$\begin{pmatrix} d' \\ s' \\ b' \end{pmatrix}$$

Die G^{\pm} - Kopplungen enthalten V_{ij} wie die W_{μ}^{\pm} - Kopplungen. Die G^0 - und h - Kopplungen sind:

$$\mathcal{L}_{Y}^{d} \supset -\sum_{j,n=1}^{3} \bar{d}_{Lj}^{\prime} Y_{jn}^{d} d_{Rn} \left(v + \frac{h + iG^{0}}{\sqrt{2}} \right) \stackrel{(625)}{=} -\sum_{j,k,n=1}^{3} \bar{d}_{Lj}^{\prime} V_{jk} \hat{Y}_{kn}^{d} d_{Rn} \left(v + \frac{h + iG^{0}}{\sqrt{2}} \right) \\
\stackrel{(626)}{=} -\sum_{k,n=1}^{3} \bar{d}_{Lk} \hat{Y}_{kn}^{d} d_{Rn} \left(v + \frac{h + iG^{0}}{\sqrt{2}} \right) = -\sum_{k=1}^{3} \bar{d}_{Lk} \hat{Y}_{kk}^{d} d_{Rk} \left(v + \frac{h + iG^{0}}{\sqrt{2}} \right) \qquad (631)$$

$$\mathcal{L}_{Y}^{u} \supset -\sum_{k=1}^{3} \bar{u}_{k}^{L} \hat{Y}_{kk}^{u} u_{Rk} \left(v + \frac{h + iG^{0}}{\sqrt{2}} \right) \qquad (632)$$

d.h. die Kopplungen von G^0 und h sind flavour-diagonal! FCNC-Kopplungen von γ, Z, g und h sind über Schleifen möglich: z.B.



Die diagonalen Yukawa-Kopplungen (631), (632) haben eine $U(1)^6$ - Symmetrie

$$u_{L,Rj} \longmapsto \exp(i\varphi_j^u) u_{L,Rj} \qquad j = 1, 2, 3$$

$$d_{L,Rj} \longmapsto \exp(i\varphi_j^d) d_{L,Rj} \qquad j = 1, 2, 3 \qquad (633a)$$

$$d_{L,Rj} \longmapsto \exp(i\varphi_j^d) d_{L,Rj} \qquad j = 1, 2, 3$$
 (633b)

Die W^\pm_μ und G^\pm - Kopplungen haben diese Symmetrie nicht. Wir können (633) ausnutzen, um V zu vereinfachen. Unter (633) transformieren sich V_{ij} wie

$$V_{ij} \longmapsto \exp(i(\varphi_j^d - \varphi_i^u))V_{ij}$$
 (634)

Eine unitäre 3×3 Matrix ist durch 3 Winkel und 6 Phasen charakterisiert.

Die 5 unabhängigen Differenzen $\varphi_j^d - \varphi_i^u$ in (634) erlauben es, 5 Phasen aus V zu eliminieren und bis zu 5 Elemente positiv zu wählen. Die verbleibende Phase γ ist physikalisch und heißt Kobayashi-Maskawa Phase. Man wählt

$$\gamma = \arg\left(-\frac{V_{ub}^* V_{ud}}{V_{cb}^* V_{cd}}\right) \tag{635}$$

Man verifiziert leicht, dass unter (634):

$$V_{ud} \longmapsto \exp(i(\varphi_1^d - \varphi_1^u))V_{ud}$$

$$V_{ub}^* \longmapsto \exp(i(\varphi_3^d - \varphi_1^u))V_{ub}^*$$

$$V_{cd} \longmapsto \exp(i(\varphi_1^d - \varphi_2^u))V_{cd}$$

$$V_{cb}^* \longmapsto \exp(i(\varphi_3^d - \varphi_2^u))V_{cb}^*$$

die KM-Phase γ invariant ist. Die PDG-Konvention ist:

$$V_{ud}, V_{us}, V_{cb}, V_{tb}$$
 positiv

$$\arg V_{ub}^* \stackrel{(635)}{=} \delta_{13} = \gamma + \underbrace{\arg(-V_{cd})}_{O(0,1^\circ)}$$
(636)

(Nur V_{ub} , V_{td} haben große Phasen) Das SM hat eine verbleibende, globale U(1)-Symmetrie mit $\varphi_1^d = \cdots = \varphi_3^u = \varphi_B$, die zur Erhaltungsgröße **Baryonenzahl** gehört. Im Lepton-Sektor (ohne ν - Massen) gibt es 3 U(1)-Quantenzahlen, die den drei **Lepton-Zahlen** L_e , L_{μ} , L_{τ} entsprechen.

 $\mbox{\bf CP-Verletzung:}\ \mbox{ Man betrachtet die Paritätstransformation }P$ und die Ladungskonjugation C

$$P: \psi(x^{\mu}) \longmapsto \exp(i\varphi_P)\gamma^0\psi(x_{\mu})$$
 (637a)

$$C: \psi(x^{\mu}) \longmapsto -i \exp(i\varphi_C) \gamma^2 \psi^*(x^{\mu})$$
 (637b)

mit beliebigen Phasen φ_P, φ_C , die für jedes Fermion-Multiplett verschieden sein können.

P und C transformieren linkshändige in rechtshändige Felder

 \Rightarrow Das SM verletzt P und C.

Jedoch CP verknüpft Felder der gleichen Chiralität:

$$CP: \psi_{L,R} \longmapsto \exp(i\varphi_{CP})(-i\gamma^2\gamma^0)\psi_{L,R}^* = \exp(i\varphi_{CP})(-i\gamma^2)\bar{\psi}_{L,R}^{\top}$$
(638)

Alle Eichwechselwirkungen erhalten CP.

z.B. bleibt

$$\frac{g_2}{\sqrt{2}}\bar{u}_L\gamma^{\mu}d'_LW^{+}_{\mu} + \frac{g_2}{\sqrt{2}}\bar{d}'_L\gamma^{\mu}u_LW^{-}_{\mu} \stackrel{CP}{\longmapsto} \frac{g_2}{\sqrt{2}}\bar{d}'_L\gamma^{\mu}u_LW^{-}_{\mu} + \frac{g_2}{\sqrt{2}}\bar{u}_L\gamma^{\mu}d'_LW^{+}_{\mu}$$

unverändert, weil g_2 reell ist. Für die Yukawa-Wechselwirkung ist hingegen: z.B. (615):

$$\mathcal{L}_{Y}^{d} = -\sum_{j,k=1}^{3} Y_{jk}^{d} \bar{Q}_{j} \Phi d_{k}^{R} - \sum_{j,k=1}^{3} Y_{jk}^{d*} \bar{d}_{k}^{R} \Phi^{\dagger} Q_{j}$$

$$(639)$$

$$\stackrel{CP}{\longmapsto} -\sum_{j,k=1}^3 Y_{jk}^d \exp(i(\varphi_{CP,k}^d - \varphi_{CP,j}^Q)) \bar{d}_k^R \Phi^\dagger Q_j - \sum_{j,k=1}^3 Y_{jk}^{d*} \exp(-i(\varphi_{CP,k}^d - \varphi_{CP,j}^Q)) \bar{Q}_j \Phi Q_k^R Q_j - \sum_{j,k=1}^3 Y_{jk}^{d*} \exp(-i(\varphi_{CP,k}^d - \varphi_{CP,j}^Q)) \bar{Q}_j \Phi Q_k^R Q_j - \sum_{j,k=1}^3 Y_{jk}^{d*} \exp(-i(\varphi_{CP,k}^d - \varphi_{CP,j}^Q)) \bar{Q}_j \Phi Q_k^R Q_j - \sum_{j,k=1}^3 Y_{jk}^{d*} \exp(-i(\varphi_{CP,k}^d - \varphi_{CP,j}^Q)) \bar{Q}_j \Phi Q_k^R Q_j - \sum_{j,k=1}^3 Y_{jk}^{d*} \exp(-i(\varphi_{CP,k}^d - \varphi_{CP,j}^Q)) \bar{Q}_j \Phi Q_k^R Q_j - \sum_{j,k=1}^3 Y_{jk}^{d*} \exp(-i(\varphi_{CP,k}^d - \varphi_{CP,j}^Q)) \bar{Q}_j \Phi Q_k^R Q_j - \sum_{j,k=1}^3 Y_{jk}^{d*} \exp(-i(\varphi_{CP,k}^d - \varphi_{CP,j}^Q)) \bar{Q}_j \Phi Q_k^R Q_j - \sum_{j,k=1}^3 Y_{jk}^{d*} \exp(-i(\varphi_{CP,k}^d - \varphi_{CP,j}^Q)) \bar{Q}_j \Phi Q_k^R Q_j - \sum_{j,k=1}^3 Y_{jk}^d \exp(-i(\varphi_{CP,k}^d - \varphi_{CP,j}^Q)) \bar{Q}_j \Phi Q_k^R Q_j - \sum_{j,k=1}^3 Y_{jk}^d \exp(-i(\varphi_{CP,k}^d - \varphi_{CP,j}^Q)) \bar{Q}_j \Phi Q_k^R Q_j - \sum_{j,k=1}^3 Y_{jk}^d \exp(-i(\varphi_{CP,k}^d - \varphi_{CP,j}^Q)) \bar{Q}_j \Phi Q_k^R Q_j - \sum_{j,k=1}^3 Y_{jk}^d \exp(-i(\varphi_{CP,k}^d - \varphi_{CP,j}^Q)) \bar{Q}_j \Phi Q_k^R Q_j - \sum_{j,k=1}^3 Y_{jk}^d \exp(-i(\varphi_{CP,k}^d - \varphi_{CP,j}^Q)) \bar{Q}_j \Phi Q_k^R Q_j - \sum_{j,k=1}^3 Y_{jk}^d \exp(-i(\varphi_{CP,k}^d - \varphi_{CP,j}^Q)) \bar{Q}_j \Phi Q_j - \sum_{j,k=1}^3 Y_{jk}^d \exp(-i(\varphi_{CP,k}^d - \varphi_{CP,j}^Q)) \bar{Q}_j \Phi Q_j - \sum_{j,k=1}^3 Y_{jk}^d \exp(-i(\varphi_{CP,k}^d - \varphi_{CP,j}^Q)) \bar{Q}_j \Phi Q_j - \sum_{j,k=1}^3 Y_{jk}^d \exp(-i(\varphi_{CP,k}^d - \varphi_{CP,j}^Q)) \bar{Q}_j \Phi Q_j - \sum_{j,k=1}^3 Y_{jk}^d \exp(-i(\varphi_{CP,k}^d - \varphi_{CP,j}^Q)) \bar{Q}_j \Phi Q_j - \sum_{j,k=1}^3 Y_{jk}^d \exp(-i(\varphi_{CP,k}^d - \varphi_{CP,j}^Q)) \bar{Q}_j \Phi Q_j - \sum_{j,k=1}^3 Y_{jk}^d \exp(-i(\varphi_{CP,k}^d - \varphi_{CP,j}^Q)) \bar{Q}_j \Phi Q_j - \sum_{j,k=1}^3 Y_{jk}^d \exp(-i(\varphi_{CP,k}^d - \varphi_{CP,j}^Q)) \bar{Q}_j \Phi Q_j - \sum_{j,k=1}^3 Y_{jk}^d \exp(-i(\varphi_{CP,k}^d - \varphi_{CP,j}^Q)) \bar{Q}_j \Phi Q_j - \sum_{j,k=1}^3 Y_{jk}^d \Phi Q_j - \sum_{j,k=1}^3 Y_{jk}^d - \sum_{j,k=1}^3 Y_$$

Können wir Phasen $\varphi_{CP,k}^d$, $\varphi_{CP,j}^Q$ finden, so dass alle $Y_{jk}^d \exp(i(\varphi_{CP,k}^d - \varphi_{CP,j}^Q))$ reell sind, so ist (639) CP-invariant.

 \ddot{A} quivalent: Können wir mit U(1)-Transformationen in (633) alle Y_{jk}^d reell machen, so ist (639) CP-invariant mit $\varphi_{CP,k}^d = \varphi_{CP,j}^Q = 0$

⇒ Der Yukawa-Sektor verletzt i.A. die CP-Symmetrie

In der Masseneigenzustandsbasis sitzt die CP-Verletzung in den CKM-Matrixelementen, die die W_{μ} -Kopplungen multiplizieren:

$$\frac{g_{2}}{\sqrt{2}}V_{ij}\bar{u}_{i}\gamma_{\mu}P_{L}d_{j}W^{\mu+} + \frac{g_{2}}{\sqrt{2}}V_{ij}^{*}\bar{d}_{j}\gamma_{\mu}P_{L}u_{i}W^{\mu-}$$

$$\stackrel{CP}{\longmapsto} \frac{g_{2}}{\sqrt{2}}V_{ij}\exp(i(\varphi_{CP,j}^{d} - \varphi_{CP,i}^{u}))\bar{d}_{j}\gamma^{\mu}P_{L}u_{i}W_{\mu}^{-} + \frac{g_{2}}{\sqrt{2}}V_{ij}^{*}\exp(-i(\varphi_{CP,j}^{d} - \varphi_{CP,i}^{u}))\bar{u}_{i}\gamma^{\mu}P_{L}d_{j}W_{\mu}^{+}$$

ist nur CP-invariant für $V_{ij} \exp(2i(\varphi^d_{CP,j} - \varphi^u_{CP,i})) = V^*_{ij}$

 \ddot{A} quivalent: Die W_{μ} -Kopplungen an Quarks sind genau dann CP-erhaltend, wenn man geeignete U(1)-Transformationen in (633) wählen kann, so dass V_{ij} reell ist.

 $V_{ij} \notin \mathbb{R}$ bedeutet für γ in (635): $\gamma \neq 0 \lor \gamma \neq \pi$

Aus (638) und (640) ist klar, dass die Phasenkonventionen von V_{ij} und der CP-Transformation verknüpft sind. Wählen wir $V_{ij}(\gamma=0) \in \mathbb{R}$, so kommen nur $\varphi_{CP}=0$ und $\varphi_{CP}=\pi$ in (638) in

In der Standardkonvention $\varphi_{CP,j}^{d,u,Q} = 0$ ist.

$$\bar{u}_L \gamma_\mu d_L \stackrel{CP}{\longmapsto} -\bar{d}_L \gamma^\mu u_L$$
 (641a)

$$\bar{q}_{L,R}\gamma_{\mu}q_{L,R} \longmapsto -\bar{q}_{L,R}\gamma^{\mu}q_{L,R}$$
 (641b)

$$G^{a}_{\mu}T^{a} \stackrel{CP}{\longmapsto} -G^{\mu a}T^{a\top}$$

$$W^{a}_{\mu}T^{a} \longmapsto -W^{\mu a}\sigma^{a\top}$$

$$B_{\mu} \longmapsto -B^{\mu}$$

$$(642a)$$

$$(642b)$$

$$(642c)$$

$$W^a_{\mu}T^a \longmapsto -W^{\mu a}\sigma^{a\top}$$
 (642b)

$$B_{\mu} \longmapsto -B^{\mu}$$
 (642c)

Wegen $\sigma^{1\top} = \sigma^1, \sigma^{3\top} = \sigma^3, \sigma^{2\top} = -\sigma^2$ ist also

$$W_{\mu}^{\pm} \stackrel{CP}{\longmapsto} -W^{\pm\mu} \tag{643}$$

(642) impliziert

$$A^{\mu} \stackrel{CP}{\longmapsto} -A_{\mu}$$
 Photon hat QZ $J^{PC} = 1^{--}$ (644a)
 $Z^{\mu} \longmapsto -Z_{\mu}$ (644b)

$$Z^{\mu} \longmapsto -Z_{\mu}$$
 (644b)

Def:

- Ein Vektor V_{μ} ist P-ungerade (P=-1), wenn er sich wie $V_{\mu} \stackrel{P}{\longmapsto} V^{\mu}$ transformiert
- Ein Vektor V_{μ} ist C-ungerade (C=-1), wenn er sich wie $V_{\mu} \stackrel{C}{\longmapsto} -V_{\mu}$ transformiert

Das Gluon hat wie das Photon P=-1, aber es ist wegen (siehe (642)) $T^{a\top}=T^{a*}\neq T^a$ kein Eigenzustand zu C, genauso wie (wegen $\sigma^{2\top} = -\sigma^2$) W^{\pm}_{μ} kein Eigenzustand zu C ist, sondern $W_{\mu}^+ \stackrel{C}{\longmapsto} -W_{\mu}^-.$ C=-1 wäre auch im Widerspruch zu

$$C = +1 \begin{cases} 2 & 00000 \\ 00000 & C = -1 \end{cases}$$

Aber: Die QCD-Lagrangedichte (505) erhält wie die QCD C, P und T:

$$\bar{q}_i \gamma_\mu T^a_{ij} q_j G^{\mu,a} \stackrel{C}{\longmapsto} \bar{q}_j \gamma_\mu T^a_{ji} q_i G^{\mu,a}$$
 usw.

CKM-Matrix

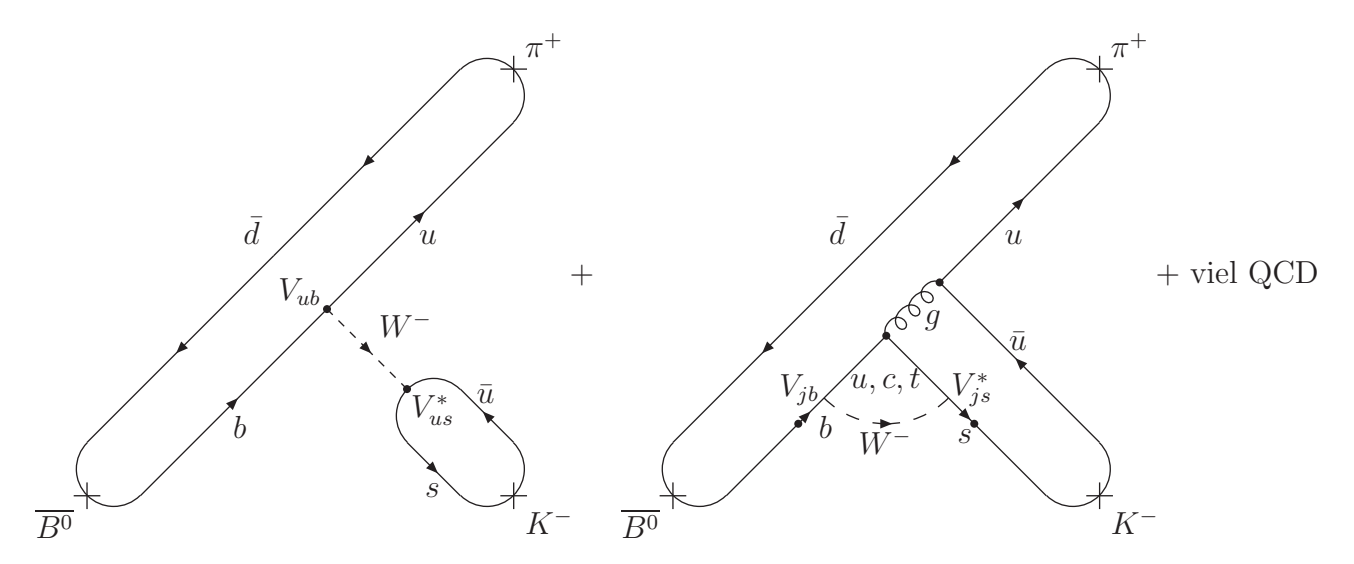
$$V = \begin{pmatrix} \frac{0.98}{-0.22} & \frac{0.22}{0.98} & 4 \cdot 10^{-3} \exp(-i\gamma) \\ 8 \cdot 10^{-3} \exp(-i\beta) & -4 \cdot 10^{-2} & \frac{0.999}{0.999} \end{pmatrix}$$
mit $\delta_{13} \approx \gamma \approx 70^{\circ}, \quad \beta \approx 21^{\circ}$ (645)

Exakt reelle Werte sind unterstichen.

Beispiele für eine CP-Asymmetrie (sogenannte direkte CP-Asymmetrie)

$$A_{CP}^{dir}(\overline{B^0} \to K^- \pi^+) := \frac{\Gamma(\overline{B^0} \to K^- \pi^+) - \Gamma(B^0 \to K^+ \pi^-)}{\Gamma(\overline{B^0} \to K^- \pi^+) + \Gamma(B^0 \to K^+ \pi^-)}$$

$$(646)$$



$$\overline{\mathcal{A}} =: V_{ub} V_{us}^* \underbrace{\tilde{T}}_{\text{,tree"}} + V_{ub} V_{us}^* \underbrace{\tilde{P}^u}_{} + V_{cb} V_{cs}^* \underbrace{\tilde{P}^c}_{\text{,penguin"}} + V_{tb} V_{ts}^* \underbrace{\tilde{P}^t}_{}$$

Nutz man die Unitarität von V aus, $V_{cb}V_{cs}^* = -V_{ub}V_{us}^* - V_{tb}V_{ts}^*$, so ist mit

$$\left. \begin{array}{l} T := \tilde{T} + \tilde{P}^u - \tilde{P}^c \\ P := \tilde{P}^t - \tilde{P}^c \end{array} \right\} \text{ unberechenbar wegen QCD}$$

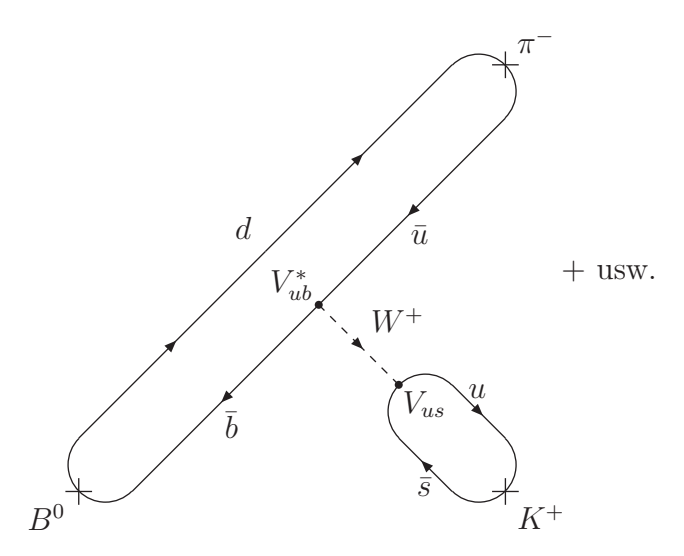
gerade

$$\overline{\mathcal{A}} = V_{ub}V_{us}^*T + V_{tb}V_{ts}^*P =: \lambda_u^*T + \lambda_t^*P$$

$$\text{mit } \lambda_i = V_{ib}^*V_{is}, \quad i = u, c, t$$

$$(647)$$

Im CP-konjugierten Prozess ist also gerade



Das Matrixelement zu $B^0 \to K^+\pi^-$ ist gerade

$$-\mathcal{A} = V_{ub}^* V_{us} T + V_{tb}^* V_{ts} P = \lambda_u T + \lambda_t P$$
(648a)

(Achtung $\overline{A} \neq A^*$) mit den selben T, P wie in (647), denn die QCD ist CP - erhaltend. Ursache des Minuszeichens: Die Konvention:

$$CP \left| B^0 \right\rangle = - \left| \overline{B^0} \right\rangle \tag{648b}$$

Wegen $\Gamma(\overline{B^0} \to K^-\pi^+) \propto |\overline{\mathcal{A}}|^2$, $\Gamma(B^0 \to K^+\pi^-) \propto |\mathcal{A}|^2$ ist also A_{CP}^{dir} in (646):

$$A_{CP}^{dir}(\overline{B^0} \to K^- \pi^+) = \frac{|\overline{\mathcal{A}}|^2 - |\mathcal{A}|^2}{|\overline{\mathcal{A}}|^2 + |\mathcal{A}|^2} \stackrel{(647)(648a)}{=} \frac{|\lambda_0|^2 |T|^2}{|\lambda_0|^2 |T|^2} \cdot \frac{\left|1 + \frac{\lambda_t^* P}{\lambda_u^* T}\right|^2 - \left|1 + \frac{\lambda_t P}{\lambda_u T}\right|^2}{\left|1 + \frac{\lambda_t^* P}{\lambda_u^* T}\right|^2 + \left|1 + \frac{\lambda_t P}{\lambda_u T}\right|^2}$$
(649)

In

$$\frac{P}{T} := r \exp(i\delta), \quad r \approx 0, 11 \pm 0, 05$$

und

$$\frac{\lambda_t}{\lambda_u} \approx \left| \frac{\lambda_t}{\lambda_u} \right| \exp(-i\gamma)$$

aus (645) wenn man $\operatorname{arg}(-V_{ts})$ vernachlässigt, bezeichnet man $\left\{\begin{array}{c}\delta\\\gamma\end{array}\right\}$ als $\left\{\begin{array}{c}\operatorname{starke}\\\operatorname{schwache}\end{array}\right\}$ bzw. $\left\{\begin{array}{c}CP\text{-erhaltende}\\CP\text{-verletzende}\end{array}\right\}$ Phase. (649) wird wegen

$$\left| 1 + \frac{\lambda_t^* P}{\lambda_u^* T} \right|^2 = 1 + 2 \left| \frac{\lambda_t}{\lambda_u} \right| r \cos(\delta + \gamma) + \left| \frac{\lambda_t}{\lambda_u} \right|^2 r^2$$

$$\left| 1 + \frac{\lambda_t P}{\lambda_u T} \right|^2 = 1 + 2 \left| \frac{\lambda_t}{\lambda_u} \right| r \cos(\delta - \gamma) + \left| \frac{\lambda_t}{\lambda_u} \right|^2 r^2$$

zu

$$A_{CP}^{dir}(\overline{B^0} \to K^- \pi^+) = \frac{\left|\frac{\lambda_t}{\lambda_u}\right| r \left[\cos(\delta + \gamma) - \cos(\delta - \gamma)\right]}{1 + \left|\frac{\lambda_t}{\lambda_u}\right| r \left[\cos(\delta + \gamma) + \cos(\delta - \gamma)\right] + \left|\frac{\lambda_t}{\lambda_u}\right|^2 r^2}$$

$$= \frac{2r \left|\frac{\lambda_t}{\lambda_u}\right| \sin\delta\sin\gamma}{1 + 2r \left|\frac{\lambda_t}{\lambda_u}\right| \cos\delta\cos\gamma + \left|\frac{\lambda_t}{\lambda_u}\right|^2 r^2}$$
(650)

wegen $\cos(\delta \pm \gamma) = \cos \delta \cos \gamma \mp \sin \delta \sin \gamma$. Mit (645) finden wir

$$\left| \frac{\lambda_t}{\lambda_u} \right| = \left| \frac{V_{tb}V_{ts}}{V_{ub}V_{us}} \right| \approx 45, \qquad \left| \frac{\lambda_t}{\lambda_u} \right| r \approx 5, 0$$

$$\Rightarrow A_{CP}^{dir}(\overline{B^0} \to K^-\pi^+) \approx 0, 32 \cdot \sin \delta$$
Experimentell : $A_{CP}^{dir}(\overline{B^0} \to K^-\pi^+) = -0, 095 \pm 0, 013$

$$\Rightarrow \delta \approx -17, 2^{\circ} \tag{651}$$

Man findet nur eine kleine starke Phase δ . Die Form (648a) für eine direkte CP-Asymmetrie ist allgemein, lediglich $|\lambda_t/\lambda_u|$, γ , r, δ sind durch andere Werte zu ersetzen. Eine nicht verschwindende, direkte CP-Asymmetrie erfordert zwei interferierende Amplituiden mit unterschiedlichen starken und schwachen Phasen, d.h. $\delta \neq 0$ und $\gamma \neq 0$. Direkte CP-Asymmetrien sind in der Regel nutzlos, um schwache Phasen zu bestimmen.

Am Besten zur Bestimmung von CP-Phasen geeignet:

Mischungsinduzierte *CP*-Asymmetrie.

$$\begin{array}{c} \textbf{Meson-Antimeson-Mischung} \quad \text{Beispiel: } B^0 - \overline{B^0} \text{ Mischung } B^0 \sim \bar{b}d, \overline{B^0} \sim b\bar{d} \\ \\ B^0 \left\{ \begin{array}{c} \bar{b} & & \\ \bar{t}, \bar{c}, \bar{u} & \\ & t, c, u \end{array} \right\} \overline{B^0} \\ \\ \end{array}$$

 $\Delta B = 2$ - Amplitude, $M_{B^0} \approx 5, 2 \,\text{GeV}, M_{B^0} \, \ll M_W, m_W$

Die Schleife wird durch das Top-Quark dominiert

 \Rightarrow langsame Oszillationen zwischen B^0 und B^0 .

Schrödinger-Bild: Zeitentwicklung ohne Oszillationen

Zerfall:

$$|B(t)\rangle = \exp\left(-iMt - \frac{1}{2}\Gamma t\right)|B(0)\rangle$$
 (652)

(M: Masse = Energie im Ruhesystem) denn Wahrscheinlichkeit für ein unzerfallenes B nach Zeit t:

$$P \propto \langle B(t)|B(t)\rangle = \underbrace{\left|\exp\left(-iMt - \frac{1}{2}\Gamma t\right)\right|^{2}}_{\exp(-\Gamma t)} \langle B(0)|B(0)\rangle$$

$$(652) \Rightarrow i\frac{d}{dt}|B(t)\rangle = \left(M - \frac{i}{2}\Gamma\right)|B(t)\rangle$$

$$(653)$$

 $\hat{=}$ Schrödinger-Gleichung mit nicht-hermiteschem "Hamilton-Operator" $M - \frac{i}{2}\Gamma$. Mit $B^0 - \overline{B^0}$ Mischung verallgemeinert sich (653) zu

$$i\frac{d}{dt} \left(\begin{array}{c} \left| \frac{B^{0}(t)}{B^{0}(t)} \right\rangle \\ \left| \frac{B^{0}(t)}{B^{0}(t)} \right\rangle \end{array} \right) = \left(M - \frac{i}{2}\Gamma \right) \left(\begin{array}{c} \left| \frac{B^{0}(t)}{B^{0}(t)} \right\rangle \\ \left| \frac{B^{0}(t)}{B^{0}(t)} \right\rangle \end{array} \right)$$
(654)

mit der Massenmatrix $M=M^{\dagger}$ und der Zerfallsmatrix $\Gamma=\Gamma^{\dagger}$. $|B^{0}(t)\rangle$ bezeichnet ein B-Meson-Ket, der bei t=0 ein $|B^{0}\rangle$ war ("flavour tagging"). Für t>0 ist $|B(t)\rangle$ eine Superposition aus $|B^{0}\rangle$ und $|\overline{B^{0}}(t)\rangle$, die aus (654) berechnet werden kann.

$$CPT$$
-invarianz \Rightarrow $M_{11} = M_{22} (= 5, 2 \text{ GeV})$
 $\Gamma_{11} = \Gamma_{22} \left(= \frac{1}{1, 5 \text{ ps}} = 0, 5 \text{ meV} \right)$

Entartung der Eigenwerte aufgehoben durch $M_{12} - \frac{i}{2}\Gamma_{12} \neq 0$. Eigenkets ($\hat{=}$ Masseneigenzustände)

"B light"
$$|B_L\rangle = p |B^0\rangle + q |\overline{B^0}\rangle$$
 (655a)

"B heavy"
$$|B_H\rangle = p |B^0\rangle - q |\overline{B^0}\rangle$$
 (655b)
mit $|p|^2 + |q|^2 = 1$

Eigenwerte von $M - \frac{i}{2}\Gamma$:

$$M_L - \frac{i}{2}\Gamma_L, \quad M_H - \frac{i}{2}\Gamma_H$$
 (656)

$$|B_{L,H}(t)\rangle = \exp(-(iM_{L,H} + \Gamma_{L,H}/2)t)|B_{L,H}(0)\rangle$$
 (657)

$$M := \frac{M_L + M_H}{2} = M_{11}$$
 $\Gamma := \frac{\Gamma_L + \Gamma_H}{2} = \Gamma_{11}$ (658a)

$$\Delta m := M_H - M_L > 0, \qquad \Delta \Gamma := \Gamma_L - \Gamma_H \tag{658b}$$

Lösung des Eigenwertproblems (Einsetzen von (655),(657) in (654)) liefert:

$$\frac{q}{p} = -\frac{\Delta m + \frac{i}{2}\Delta\Gamma}{2M_{12} - i\Gamma_{12}}, \qquad \frac{p}{q} = -\frac{\Delta m + \frac{i}{2}\Delta\Gamma}{2M_{12} - i\Gamma_{12}^*}$$

$$\Rightarrow (\Delta m)^2 - \frac{1}{4}(\Delta\Gamma)^2 + i\Delta m\Delta\Gamma = 4|M_{12}|^2 - |\Gamma_{12}|^2 - 2iM_{12}^*\Gamma_{12} - 2iM_{12}\Gamma_{12}^*$$

$$\frac{q}{p} = -\frac{\Delta m + \frac{i}{2}\Delta\Gamma}{2M_{12} - i\Gamma_{12}} \tag{659a}$$

$$(\Delta m)^2 - \frac{1}{4} (\Delta \Gamma)^2 = 4|M_{12}|^2 - |\Gamma_{12}|^2$$
 (659b)

$$\Delta m \Delta \Gamma = -4 \operatorname{Re} M_{12} \Gamma_{12}^* \tag{659c}$$

172

Drei Observable in der $B^0 - \overline{B^0}$ Mischung $\Delta m, \Delta \Gamma$ und

$$\phi = \arg\left(-\frac{M_{12}}{\Gamma_{12}}\right) \tag{660}$$

Im B^0 -System: $|\Gamma_{12}| \ll |M_{12}|, \Delta\Gamma \ll \Delta m$

$$(659) \Rightarrow \Delta m = 2|M_{12}| \left[1 + O(|\Gamma_{12}/M_{12}|^2) \right] \tag{661}$$

$$\Delta\Gamma = 2|\Gamma_{12}|\cos\phi \left[1 + O(|\Gamma_{12}/M_{12}|^2)\right]$$
 (662)

$$\frac{q}{p} = -\exp(-i\phi_M) \left[1 - \frac{a}{2} \right] + O(|\Gamma_{12}/M_{12}|)$$
 (663)

$$-\frac{M_{12}}{\Gamma_{12}} \stackrel{(660)}{=} \left| \frac{M_{12}}{\Gamma_{12}} \right| (\cos \phi + i \sin \phi) \Rightarrow i |\Gamma_{12}| \cos \phi = -|M_{12}| \left(a + i \frac{\Gamma_{12}}{M_{12}} \right)$$

$$\frac{q}{p} \stackrel{(659)}{=} -\frac{\Delta m + \frac{i}{2} \Delta \Gamma}{2M_{12} - i\Gamma_{12}} \stackrel{(661)(662)}{\approx} -\frac{2|M_{12}| + i|\Gamma_{12}| \cos \phi}{2M_{12} - i\Gamma_{12}} \left[1 + O(|\Gamma_{12}/M_{12}|^2) \right]$$

$$= -\exp(-i\phi_M) \left[1 - \frac{a}{2} - \frac{i}{2} \frac{\Gamma_{12}}{M_{12}} \right] \left[1 + O(|\Gamma_{12}/M_{12}|^2) \right]$$

wobei

$$M_{12} = |M_{12}| \exp(i\phi_M)$$

 $a = \operatorname{Im} \frac{\Gamma_{12}}{M_{12}} = \left| \frac{\Gamma_{12}}{M_{12}} \right| \sin \phi$

 $(\phi_M$ ist konventionsabhängig und unphysikalisch. $a \approx -5 \cdot 10^{-4}$ ist fast überall vernachlässigbar.) Betrachte: $B^0(t) \to f$ (Literatur: [3, S. 1-67])

Ist $dN(B^0(t) \to f)$ die Zahl der Zerfälle im Intervall [t, t+dt], so definiert man die zeitabhängige Zerfallsrate

$$\Gamma(B^0(t) \to f; t) = \frac{1}{N_B} \frac{dN(B^0(t) \to f)}{dt}$$
(664)

 $N_B={\rm Gesamtzahl}$ der bei t=0 produzierten B^0

$$\Gamma(B^0(t) \to f; t) = N_f |\langle f | B^0(t) \rangle|^2$$
(665a)

$$\Gamma(\overline{B^0}(t) \rightarrow f; t) = N_f |\langle f | \overline{B^0}(t) \rangle|^2$$
 (665b)

mit einer Normierungskonstanten N_f aus der Phasenraumintegration etc. Mit den Zerfallsamplituden $A_f = \langle f | B^0 \rangle, \overline{A_f} = \langle f | \overline{B^0} \rangle$ kann man

$$\lambda_f := \frac{q}{p} \frac{\overline{A_f}}{A_f} \cong -\exp(-i\phi_M) \left[1 - \frac{a}{2} \right] \frac{\overline{A_f}}{A_f}$$
 (666)

definieren (λ_f ist physikalisch).

Vernachlässigen wir $\Delta\Gamma$ und a, so ist

$$\Gamma(B^{0}(t) \to f; t) = N_{f}|A_{f}|^{2} \exp(-\Gamma t) \left\{ \frac{1 + |\lambda_{f}|^{2}}{2} + \frac{1 - |\lambda_{f}|^{2}}{2} \cos(\Delta m t) - \operatorname{Im} \lambda_{f} \sin(\Delta m t) \right\}$$

$$(667)$$

$$\Gamma(\overline{B^{0}}(t) \to f; t) = N_{f}|A_{f}|^{2} \exp(-\Gamma t) \left\{ \frac{1 + |\lambda_{f}|^{2}}{2} - \frac{1 - |\lambda_{f}|^{2}}{2} \cos(\Delta m t) + \operatorname{Im} \lambda_{f} \sin(\Delta m t) \right\}$$

$$(668)$$

Ein flavour-spezifischer Endzustand $f = f_{fs}$ ist durch $A_f \neq 0, \overline{A_f} = 0$ charakterisiert. Beispiel: $f_{fs} = X\ell^+\bar{\nu}_\ell$ (X: irgendwas) Dann ist $\lambda_f = 0$ und (667),(668) wird zu:

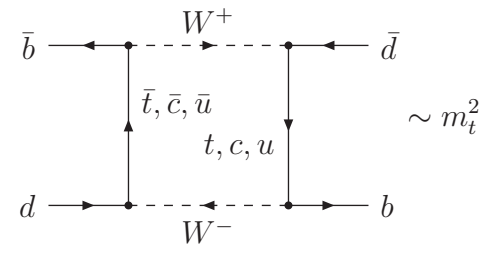
$$\Gamma(B^0 \to f_{fs};t) = N_f |A_f|^2 \exp(-\Gamma t) \frac{1 + \cos(\Delta m t)}{2}$$

$$\Gamma(\overline{B^0} \to f_{fs};t) = N_f |A_f|^2 \exp(-\Gamma t) \frac{1 - \cos(\Delta m t)}{2}$$

Die Mischungsasymmetrie ist dann

$$A_0(t) = \cos(\Delta m t) \tag{669}$$

 \Rightarrow Entdeckung der $B^0-\overline{B^0}$ Mischung beim ARGUS-Experiment am DESY



$$\begin{array}{lcl} \Delta m & = & 0,50\,\mathrm{ps^{-1}} = 0,35\,\mathrm{meV} \\ \frac{\Delta m}{M} & = & \frac{0,35\cdot 10^{-12}\,\mathrm{GeV}}{5,2\,\mathrm{GeV}} = 7\cdot 10^{-14}\,\mathrm{messbar,\,da} \\ \frac{\Delta m}{\Gamma} & = & \Delta m \cdot \tau = 0,75 \end{array}$$

also fast genau eine Oszillation pro Lebensdauer. Ist f ein CP-Eigenzustand,

$$CP \mid f \rangle = \eta_f \mid f \rangle$$

mit $\left\{ \begin{array}{l} \eta_f = 1 \\ \eta_f = -1 \end{array} \right\}$ für einen $\left\{ \begin{array}{l} CP\text{-geraden} \\ CP\text{-ungeraden} \end{array} \right\}$ Endzustand, so kann man **zeitabhängige** CP-Asymmetrie studieren:

$$A_{CP}(\overline{B^0} \to f; t) := \frac{\Gamma(\overline{B^0} \to f; t) - \Gamma(B^0 \to f; t)}{\Gamma(\overline{B^0} \to f; t) + \Gamma(B^0 \to f; t)} \stackrel{(667)(668)}{=} -A_{CP}^{dir} \cos(\Delta m \, t) - A_{CP}^{mix} \sin(\Delta m \, t)$$

$$(670)$$

mit der direkten CP-Asymmetrie:

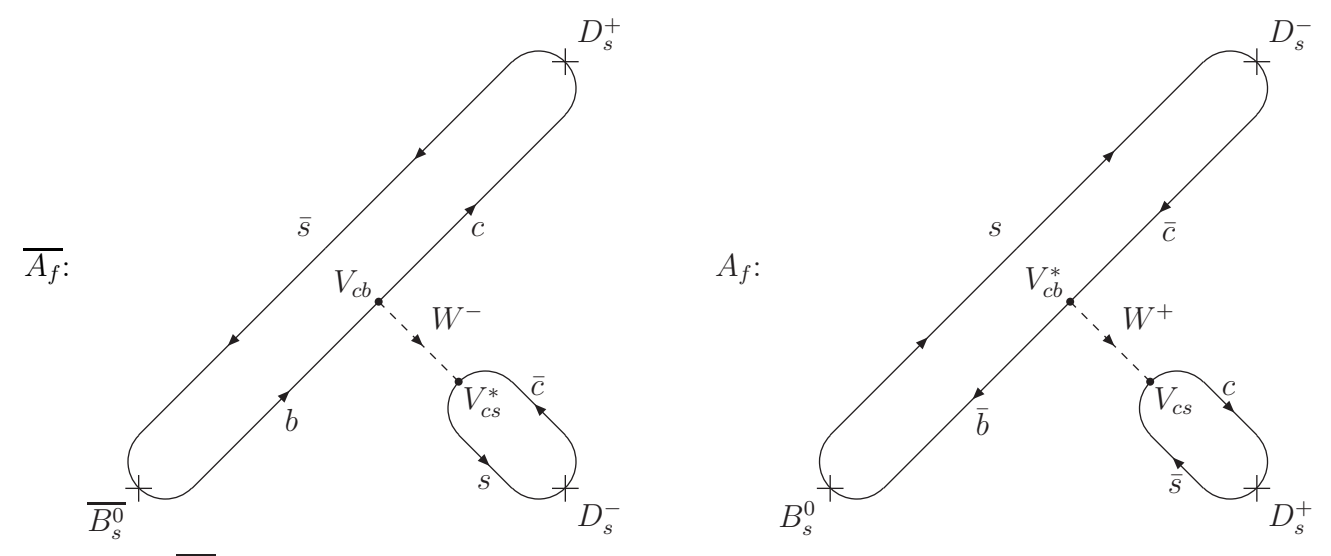
$$A_{CP}^{dir}(\overline{B^0} \to f) = \frac{1 - |\lambda_f|^2}{1 + |\lambda_f|^2} \stackrel{(666)}{=} \frac{|A_f|^2 - |\overline{A_f}|^2}{|A_f|^2 + |\overline{A_f}|^2}$$
(671)

und der mischungsinduzierten CP-Asymmetrie

$$A_{CP}^{mix}(\overline{B^0} \to f) = \frac{-2\operatorname{Im}\lambda_f}{1 + |\lambda_f|^2} \tag{672}$$

Besonders praktisch sind Zerfälle, zu denen nur eine Amplitude (d.h. nur eine schwache Phase) beiträgt, z.B. weil $|P| \ll |T|$. Dann ist (siehe (649)) $|A_f| = |\overline{A_f}|$ und $\arg(\overline{A_f}/A_f)$ ist einfach durch CKM-Elemente gegeben.

Beispiel: $B_s \to D_s^+ D_s^-$



Für $|A_f| = |\overline{A_f}|$ (wie hier)

$$\frac{\overline{A_f}}{A_f} = -\eta_f \exp(2i\varphi_f) \tag{673}$$

mit CP-Phase φ_f ("—" wegen $CP \mid B^0 \rangle = - |\overline{B^0}\rangle$, $CP \mid f \rangle = \eta_f |\overline{f}\rangle$) Im Beispiel ist

$$\frac{f}{A_f} = D_s^+ D_s^- : CP | f \rangle = | f \rangle \Rightarrow \eta_f = +1 \text{ und}$$

$$\frac{\overline{A_f}}{A_f} = -\frac{V_{cb} V_{cs}^*}{V_{cb}^* V_{cs}} \Rightarrow \varphi_f = \arg(V_{cb} V_{cs}^*)$$
(674)

Mit $\phi_M = \arg((V_{tb}V_{ts}^*)^2)$ ist (wegen $\exp(i\arg z^2) = z^2/|z|^2 = z/z^*$):

$$\frac{q}{p} \stackrel{(663)}{=} -\exp(-i\phi_M) = -\frac{V_{tb}^* V_{ts}}{V_{tb} V_{ts}^*} \text{ für } a = 0$$
(675)

und
$$\lambda_f \stackrel{(666)}{=} \frac{q}{p} \frac{\overline{A_f}}{A_f} \stackrel{(674)(675)}{=} \frac{V_{tb}^* V_{ts}}{V_{tb} V_{ts}^*} \frac{V_{cb} V_{cs}^*}{V_{cb}^* V_{cs}} = -\exp(-2i\beta_s)$$
 (676)

wobei
$$\beta_s = \arg\left(-\frac{V_{ts}V_{tb}^*}{V_{cs}V_{cb}^*}\right) \cong \arg(-V_{ts}) \approx 0,02$$

mit der Standard-Phasenkonvention

 $\Rightarrow \operatorname{Im} \lambda_f = \sin(2\beta_s)$ und (672) wird zu

$$A_{CP}^{mix}(\overline{B_s^0} \to D_s^+ D_s^-) = -2\sin(2\beta_s)$$
 (677)

 \Rightarrow LHCb-Experiment

Der Klassiker mischungs-induzierter CP-Asymmetrie ist: $A_{CP}^{mix}(\overline{B_d^0} \to J/\psi K_s)$. J/ψ ist ein $c\bar{c}$ -Bindungszustand

$$|K_{s}\rangle \cong \frac{|K^{0}\rangle - |\bar{K}^{0}\rangle}{\sqrt{2}} = |K_{L}\rangle$$

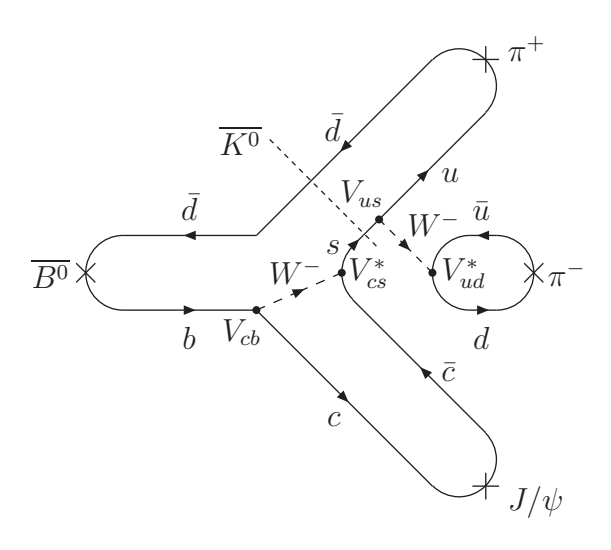
$$, \text{K-short} = , \text{K-Light}$$

$$\text{wobei} \quad CP |K^{0}\rangle = -|K^{0}\rangle$$

$$(678)$$

 $K_s \to \pi\pi$ ist dominant, $K_l = K_H$ zerfällt fast immer in 3 Pionen. $(K^0 \sim \bar{s}d, \overline{K^0} \sim s\bar{d})$ Was gemessen wird, ist $K^0, \overline{K^0} \to \pi^+\pi^-$

$$\overline{A_f} = \underbrace{\langle \pi^+ \pi^- | \overline{K^0} \rangle \langle J/\psi | \overline{B^0} \rangle}_{\sim V_{us} V_{ud}^*} \underbrace{\langle J/\psi | \overline{B^0} \rangle}_{\sim V_{cs}^* V_{cb}}$$



$$\Rightarrow \frac{\overline{A_f}}{A_f} = -\eta_f \frac{V_{us}^* V_{ud}}{V_{us} V_{ud}^*} \frac{V_{cs}^* V_{cb}}{V_{cs} V_{cb}^*}$$

$$\tag{679}$$

Was ist η_f ?

$$J/\psi \text{ hat } J^{PC} = 1^{--} \Rightarrow CP = +1$$

$$(\pi^{+}\pi^{-})_{K_{s}} \text{ hat } J^{PC} = 0^{--} \Rightarrow CP = +1$$

$$Drehimpuls: B^{0}, \overline{B^{0}} \text{ hat Spin } 0 \Rightarrow J = 0 \text{ im Endzustand}$$

$$S_{J/\psi} = 1 \Rightarrow L = 1 \text{ (,,p-Welle ")} \Rightarrow CP = -1$$

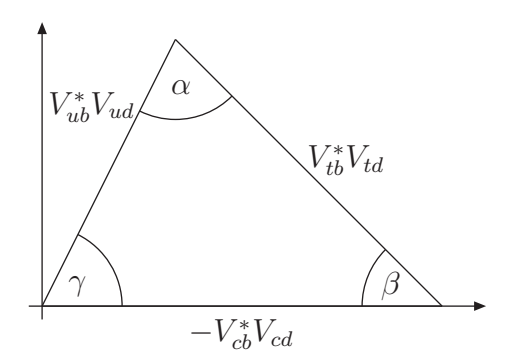
$$\Rightarrow \eta_{f} = (+1)(+1)(-1) = -1$$

$$(666), (679) \Rightarrow \lambda_{f} = \frac{q}{p} \overline{\frac{A_{f}}{A_{f}}} = -\frac{V_{tb}^{*}V_{td}}{V_{tb}V_{td}^{*}} \frac{V_{us}^{*}V_{ud}}{V_{us}V_{ud}^{*}} \frac{V_{cs}^{*}V_{cb}}{V_{cs}V_{cb}^{*}} \approx -\exp(-2i\beta)$$

$$(680)$$

In Standard-Phasenkonvention:

176



$$V_{td} = |V_{td}| \exp(-i\beta)$$

$$V_{ub} = |V_{ub}| \exp(-i\gamma)$$

$$V_{ub}^* V_{ud} + V_{tb}^* V_{td} + V_{cb} V_{cd}^* = 0$$

Mit (672) ist also:

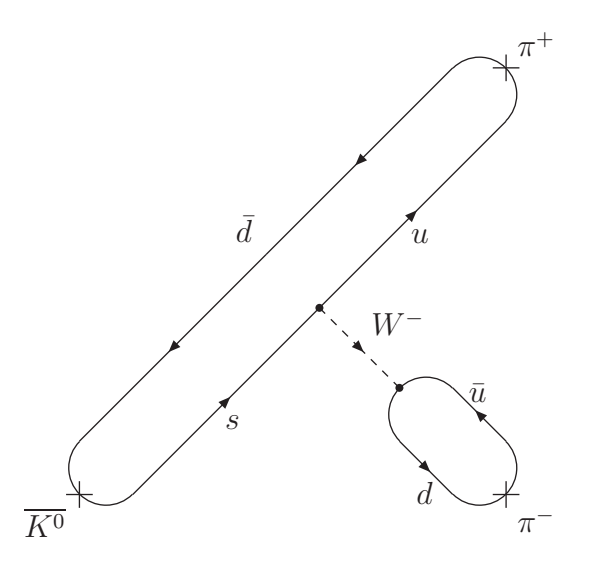
$$A_{CP}^{mix}(\overline{B_d^0} \to J/\psi K_s) = -\sin(2\beta)$$
 (681)
experimentell: $A_{CP}^{mix}(\overline{B_d^0} \to J/\psi K_s) = -0,68 \pm 0,03 \Rightarrow \beta \approx 21^{\circ}$

CP-Verletzung im Kaon-System

Kaon-Mischung

$$\overline{K^{0}} \left\{ \begin{array}{c} \overline{d} \\ \overline{u}, \overline{c}, \overline{t} \\ u, c, t \end{array} \right\} K^{0}$$
"K-short"
$$|K_{s}\rangle = |K_{L}\rangle = p |K^{0}\rangle + q |\overline{K^{0}}\rangle$$
"K-long"
$$|K_{l}\rangle = |K_{H}\rangle = p |K^{0}\rangle - q |\overline{K^{0}}\rangle$$
(682a)
(682b)

- K_s zerfällt dominant in $\pi^+\pi^-$ und $\pi^0\pi^0$
- K_l zerfällt dominant in $\pi^+\pi^-\pi^0$ und $\pi^0\pi^0\pi^0$



Wegen $|V_{ts}V_{td}| \ll |V_{cs}V_{cd}| \approx |V_{us}V_{ud}|$ ist die $K^0 - \overline{K^0}$ Amplitude durch u und c dominiert \Rightarrow keine große CP-Phase in

$$\lambda_f \approx \underbrace{\frac{V_{us}V_{ud}^*}{V_{us}^*V_{ud}} \frac{V_{cs}V_{cd}^*}{V_{cs}^*V_{cd}}}_{-\frac{\bar{A}_f}{A_f}} \approx \text{reell}$$

CP ist fast immer erhalten bei K_s, K_l - Zerfällen in Pionen $\Rightarrow K_s$ und K_l sind fast immer CP-Eigenzustände. Häufig verwendete Konvention:

$$|K_s\rangle = \frac{|K^0\rangle - |\overline{K^0}\rangle}{\sqrt{2(1+|\bar{\varepsilon}|^2)}} + \bar{\varepsilon} \frac{|K^0\rangle + |\overline{K^0}\rangle}{\sqrt{2(1+|\bar{\varepsilon}|^2)}}$$
(683a)

$$|K_{l}\rangle = \frac{|K^{0}\rangle + |\overline{K^{0}}\rangle}{\sqrt{2(1+|\overline{\varepsilon}|^{2})}} + \overline{\varepsilon} \frac{|K^{0}\rangle - |\overline{K^{0}}\rangle}{\sqrt{2(1+|\overline{\varepsilon}|^{2})}}$$
(683b)

also

$$(682), (683) \Rightarrow \bar{\varepsilon} = \frac{1 + q/p}{1 - q/p}$$

Wäre CP eine exakte Symmetrie, so wäre $K_l \to \pi^+\pi^-$ verboten, denn mit $\bar{\varepsilon} = 0$ ist K_l CP-ungerade, aber $\pi\pi$ ist CP-gerade. Nachteil: q/p ist phasenkonventionsabhängig und muss auf die Phasenkonvention $CP \mid K^0 \rangle = \mid \overline{K^0} \rangle$ abgestimmt werden.

Aus der semileptonischen CP-Asymmetrie

$$\delta(l) = \frac{\Gamma(K_l \to \ell^+ \nu_\ell \pi^-) - \Gamma(K_l \to \ell^- \bar{\nu}_\ell \pi^+)}{\Gamma(K_l \to \ell^+ \nu_\ell \pi^-) + \Gamma(K_l \to \ell^- \bar{\nu}_\ell \pi^+)} \stackrel{\text{(682)}}{=} \frac{1 - |q/p|^2}{1 + |q/p|^2} = \frac{2 \operatorname{Re} \bar{\varepsilon}}{1 + |\bar{\varepsilon}|^2}$$

$$\stackrel{\text{(exp)}}{\approx} (3, 27 \pm 0, 12) \cdot 10^{-3}$$

findet man mit (659) und den Messwerten

$$\Delta m_K = 0,53 \cdot 10^{10} \,\mathrm{s}^{-1}$$
 $\Delta \Gamma = 1,12 \cdot 10^{10} \,\mathrm{s}^{-1}$

dass die CP-Phase aus (660),

$$\phi = (6, 6 \pm 0, 2) \cdot 10^{-3} \tag{685}$$

klein ist. (siehe [3, Kapitel 1.6])

3 Arten von CP-Verletzung in Meson-Zerfällen

1. CP-Verletzung in der Mischung = indirekte CP-Verletzung

$$\left|\frac{q}{p}\right| \neq 1\tag{686}$$

 $\delta(l)$ in (684) misst $\mathcal{C}P$ in der Mischung

$$(663) \Rightarrow 1 - \left| \frac{q}{p} \right|^2 = 1 - \left(1 - \frac{a}{2} \right)^2 = a + O(a^2) = \operatorname{Im} \frac{\Gamma_{12}}{M_{12}}$$
 (687)

(686) impliziert, dass

$$\left[M - \frac{i}{2}\Gamma, CP\right] \neq 0$$

ist, die Eigenzustände $|B_L\rangle$, $|B_H\rangle$ bzw. $|K_s\rangle$, $|K_l\rangle$ also keine CP-Eigenzustände sind (vgl. (683)):

$$CP = \begin{pmatrix} 0 & -\exp(i\xi) \\ -\exp(-i\xi) & 0 \end{pmatrix} \qquad \xi \text{ beliebig}$$
 (688)

denn

$$CP\begin{pmatrix} \left| \frac{B^0}{B^0} \right\rangle \\ \left| \frac{B^0}{B^0} \right\rangle \end{pmatrix} = \begin{pmatrix} -\exp(i\xi) \left| \overline{B^0} \right\rangle \\ -\exp(-i\xi) \left| B^0 \right\rangle \end{pmatrix}$$
 (Standardkonvention: $\xi = 0$) (689)

$$\[M - \frac{i}{2}\Gamma, CP\] = 2i \begin{pmatrix} A & 0\\ 0 & -A \end{pmatrix} \tag{690}$$

mit
$$A = \exp(i\xi) \left(M_{12} - \frac{i}{2} \Gamma_{12} \right) - \exp(-i\xi) \left(M_{12}^* - \frac{i}{2} \Gamma_{12}^* \right)$$

 $= 2i \operatorname{Im} \left(\exp(i\xi) M_{12} \right) + \operatorname{Im} \left(\exp(i\xi) \Gamma_{12} \right)$
 $\operatorname{Im} A = 0 \Leftrightarrow \xi + \operatorname{arg}(M_{12}) = 0 \operatorname{mod} \pi$

 $\operatorname{Re} A = 0 \Leftrightarrow \xi + \operatorname{arg}(\Gamma_{12}) = 0 \operatorname{mod} \pi$

(690) = 0 ist also nur erfüllbar für

$$\frac{\Gamma_{12}}{M_{12}} \in \mathbb{R}$$
, also $a = \operatorname{Im} \frac{\Gamma_{12}}{M_{12}} = 0$ bzw. $\left| \frac{q}{p} \right| = 1$

2. Direkte CP-Verletzung Es ist $|\bar{f}\rangle = CP|f\rangle$. Ist nun

$$\left| \frac{\overline{A_f}}{A_f} \right| \neq 1$$

$$\Rightarrow A_{CP}^{dir} \neq 0 \text{ in (649)}$$

3. Mischungsinduzierte CP-Verletzung (= $\mathcal{C}P$ in der Interferenz von Mischung und Zerfall) Für $f = f_{CP}$ mit $CP \mid f_{CP} \rangle = \eta_{CP} \mid f_{CP} \rangle$

$$\operatorname{Im} \lambda_{f} = \operatorname{Im} \frac{q}{p} \frac{\overline{A}_{f_{CP}}}{A_{f_{CP}}} \neq 0$$

$$\Rightarrow A_{CP}^{mix} \neq 0 \text{ in (672)}$$

$$B^{0} \qquad \overline{B^{0}}$$

$$A_{f} \qquad \overline{A}_{f}$$

 $A_{f_{CP}}$ interferiert mit $\frac{q}{p}\overline{A}_{f_{CP}}$

(Funktioniert auch mit nicht CP-Eigenzuständen).

6.4 CP-Verletzung und Baryogenese

Baryogenese = Erzeugung des Überschusses von Materie über Antimaterie im Universum Annahme: Beim Urknall war die Baryonzahl des Universums = 0

 n_b = Teilchendichte der Baryonen

 $n_{\bar{b}}=$ Teilchendichte der Anti-Baryonen

 n_{γ} = Teilchendichte der Photonen

 $n_B = n_b - n_{\bar{b}}$ Baryonenzahldichte

Beobachtung: $n_{\bar{b}} \ll n_b$

6.4.1 Baryonen-Asymmetrie des Universums (BAU)

$$\eta = \frac{n_B}{n_\gamma} \simeq \frac{n_b}{n_\gamma} \sim 10^{-10} \tag{693}$$

Im Jahr 1967 formulierte Andrei Sacharow vier Bedingungen für die Generierung von $\eta \neq 0$ aus einer Anfangsbedingung mit $\eta = 0$:

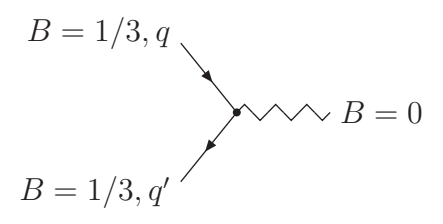
- 1. Baryonenzahlverletzung
- 2. C-Verletzung
- 3. *CP*-Verletzung
- 4. Thermisches Nichtgleichgewicht ("Zeitpfeil")

Erläuterungen:

Sacharow-Bedingung 1): Die elementaren, pertubativen Wechselwirkungen des Standardmodells erhalten die Baryonzahl B:

$$U(1)_{B}: q \mapsto \exp(iB\varphi)q$$

$$B = \frac{1}{3}, \quad q = u, d, s, c, b, t$$
(694)



Ebenso die Leptonenzahl L

$$U(1)_L : \ell \mapsto \exp(iL\varphi)\ell$$
$$\ell = e, \mu, \tau, \nu_e, \nu_\mu, \nu_\tau$$

Störungstheorie untersucht Feldfluktuationen um das Minimum der klassischen Wirkung S, d.h. um $W_{\mu}^{a} \sim 0$. 't Hooft fand 1976, dass Feldkonfigurationen mit $W_{\mu}^{a} \sim \frac{1}{g_{2}}$, sog. **Sphaleronen**

Übergänge zwischen Zuständen mit unterschiedlichen Quantenzahlen B,L erzeugen können. Sie verletzen B+L, erhalten aber B-L

Wirkungsquerschnitt (mit $\alpha_2 = \frac{g_2}{4\pi}$, $g_2 = SU(2)$ -Eichkopplung):

$$\sigma_{B+L} \propto \exp\left(-\frac{4\pi}{\alpha_2}\right) \sim 10^{-164}$$

Taylorreihe um $\alpha_2=0$ ist $\equiv 0$
 \Rightarrow nichtpertubativ

Bisher: Quantenfeldtheorie bei Temperatur T = 0.

Für Kosmologie braucht man QFT für T > 0 (siehe [4])

Die Energiebarriere für Sphaleron-Übergänge ist

$$E_{sph}(T) = \frac{4\pi}{g_2} v_T f\left(\frac{\lambda}{g_2}\right) \tag{695}$$

mit der Higgs-Selbstkopplung λ und

$$v_T = \langle 0 | \phi_0 | 0 \rangle_T = \text{Higgs-VEV}$$
 bei Tempertatur T
 $1,6 \leq f\left(\frac{\lambda}{g_2}\right) \leq 2,7$, denn λ noch unbekannt

Bei hohen Temperaturen ist die elektroschwache Symmetrie ungebrochen, $v_T = 0$

$$\lambda = \frac{m_h^2}{4v_{T=0}^2} \tag{696}$$

(siehe (555))

Der elektroschwache Phasenübergang von $v_T = 0$ zu $v_T \neq 0$ ist im Standardmodell bei $T = T_{EW} \sim 100 \, \text{GeV}$.

In der gebrochenen Phase $(T < T_{EW})$ ist die Übergangsrate pro Volumen V:

$$\frac{\Gamma_{B+L}^{sph}}{V} = \left(\frac{M_W}{\alpha_2 T}\right)^3 M_W^4 \exp\left(-\frac{E_{sph}(T)}{T}\right)$$
Rolymann-Faktor (697)

Für $T > T_{EW}$ ist

$$\frac{\Gamma_{B+L}^{sph}}{V} \simeq 21\alpha_2^5 T^4 \tag{698}$$

Sacharow-Bedingung 2) und 3): Die Noether-Ladungen zu $U(1)_B$ in (694) ist

$$B = \frac{1}{3} \sum_{q} \int d^{3}\vec{x} \, q^{\dagger}(x) q(x) \tag{699}$$

Transformation unter P, C

$$PBP^{-1} = +B (700a)$$

$$CBC^{-1} = -B (700b)$$

$$\Rightarrow (CP)B(CP)^{-1} = -B \tag{700c}$$

Wäre C oder P erhalten, dann wäre der Erwartungswert $\langle B \rangle = -\langle B \rangle \Rightarrow \langle B \rangle = 0$ auch

$$(CPT)B(CPT)^{-1} = -B (701)$$

Sacharow-Bedingung 4): Im thermischen Gleichgewicht wird ein physikalisches System (hier: Universum) durch einen Dichteoperator $\rho = \exp(-H/T)$ beschrieben. Erwartungswert:

$$\langle B(t) \rangle_T = \operatorname{tr}(\rho B(t)) = \operatorname{tr}(\exp(-H/T)B(t)) = \operatorname{tr}(\exp(-H/T)\exp(iHt)B(0)\exp(-iHt))$$

$$= \operatorname{tr}(\underbrace{\exp(-iHt)\exp(-H/T)}_{\text{vertauscht}}\exp(iHt)B(0)) = \operatorname{tr}(\rho B(0)) = \langle B(0) \rangle_T$$
(702)

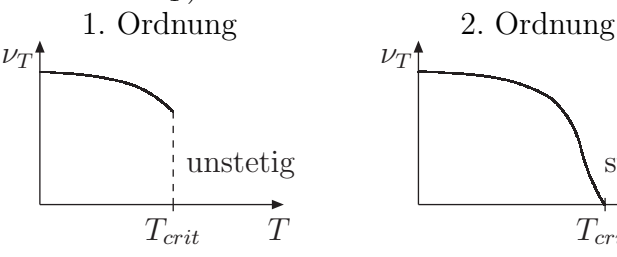
Andererseits:

$$\langle B \rangle_T = \text{tr}(\rho B) = \text{tr}(\exp(-H/T)B) = \text{tr}((CPT)^{-1}(CPT)\exp(-H/T)B)$$

= $\text{tr}(\exp(-H/T)(CPT)B(CPT)^{-1}) \stackrel{(701)}{=} - \text{tr}(\exp(-H/T)B) = -\langle B \rangle_T$

 $\Rightarrow \langle B \rangle_T = 0$ im thermischen Gleichgewicht Mögliche Nichtgleichgewichtsprozesse:

1. Elektroschwache Phasenübergang, sofern es Phasenübergänge 1.Ordnung und hinreichend stark ist. (Ordnungsparameter hier ν_T)



- \Rightarrow Elektoschwache Baryogenese
- 2. Langsame Reaktionsrate Γ_A für Teilchenzerfall $A \to X$: Die Hubble-Konstante H bestimmt die Expansionsrate des Universums:

$$\Gamma_A \gtrsim H \implies$$
 thermisches Gleichgewicht zwischen $A \to X$ und $X \to A$
 $\Gamma_A < H \implies$ Ungleichgewicht, Teilchen A fallen aus dem thermischen
Gleichgewicht mit den anderen Teilchen X

Im Standardmodell könnte nur Mechanismus 1 funktionieren. Für moderat schwere Higgs ist das Higgs-Potential ($\varphi=\operatorname{Re}\Phi^0=v_T+h/\sqrt{2}$)

$$V_{eff}(\varphi, T) = \frac{a}{2} \left(T^2 - T_1^2 \right) \varphi^2 - \frac{b}{3} T \varphi^3 + \frac{\lambda}{4} \varphi^4$$
 (703)

mit
$$a = \frac{3}{16}g_2^2 + \left(\frac{1}{2} + \frac{m_t^2}{m_h^2}\right)\lambda, \qquad b = 9\frac{g_2^3}{32\pi}, \qquad T_1 = \frac{m_h}{2\sqrt{a}}$$
 (704)

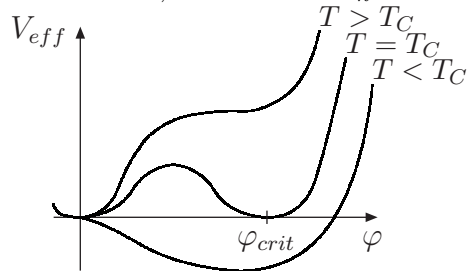
182

kritische Temperatur:

$$T_c := \frac{T_1}{\sqrt{1 - \frac{b^2}{4a\lambda}}} > T_1$$

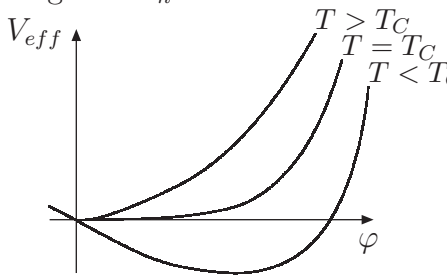
Für $T < T_c$ entwickelt (703) ein Minimum mit $v_T \neq 0$.

Für kleine λ , also kleine m_h :



1.Ordnung

Für große m_h :



keine Barriere, 2. Ordnung

Der Phasenübergang 1. Ordnung muss so beschaffen sein, dass die Sphaleronrate in (697) bei T_c weitgehend abgeschaltet ist, also

$$\frac{v_{T_c}}{T_c} \gtrsim 1 \tag{705}$$

Aus der Minimierung von (703) findet man

$$\frac{v_{T_c}}{T_c} = \frac{2b}{3\lambda} \stackrel{(696)}{\propto} \frac{v_{T=0}^2}{m_h^2} \tag{706}$$

Ist (705) erfüllt, so nennt man den Phasenübergang stark

 $m_h \le 40 \,\mathrm{GeV}$

1. Ordnung, stark

 $40\,\mathrm{GeV} \le m_h \le 73\,\mathrm{GeV}$ 1. Ordnung, schwach

 $m_h \ge 73 \,\mathrm{GeV}$

2. Ordnung

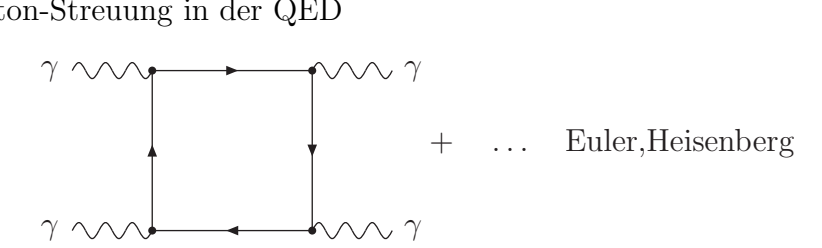
Die Grenze $M_h > 114 \,\mathrm{GeV}$ des LEP-Experiments (für die Formel (703) nicht mehr gilt) ist also inkompatibel mit Baryogenese im Standardmodell \Rightarrow Neue Physik (siehe [4])

6.5 Schleifen / Loops

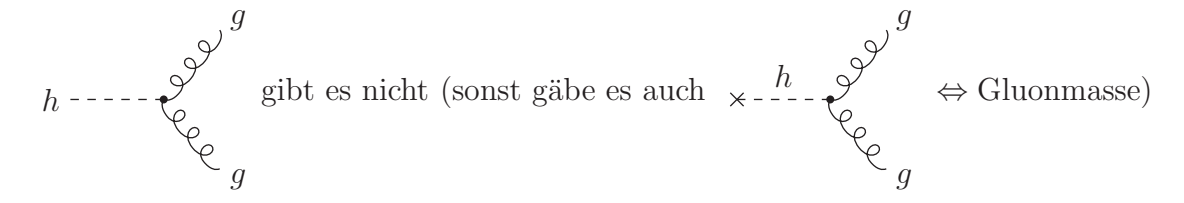
Ein Prozess, der auf Baumgraphniveau verboten ist, heißt schleifeninduziert.

Beispiele:

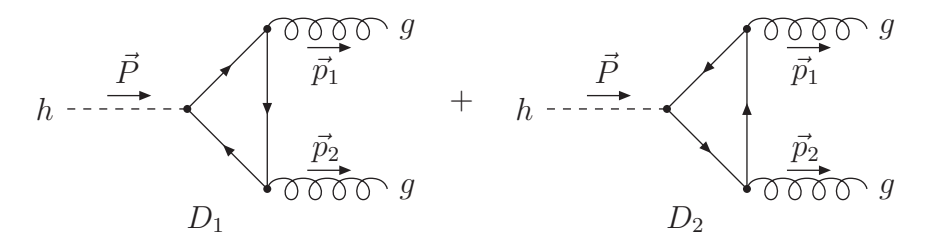
1. Photon-Photon-Streuung in der QED



2. Higgs-Zerfall in 2 Gluonen im Standardmodell

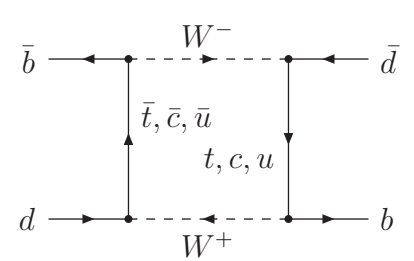


Führende Ordnung:



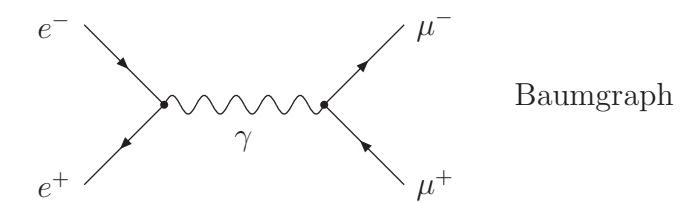
Es ist also $D_2(p_1, p_2) = D_1(p_2, p_1)$

3. $B - \bar{B}$ Mischung



Korrekturen höherer Ordnung in der Kopplungskonstanten heißen Schleifenkorrekturen und werden immer durch Schleifendiagramme beschrieben.

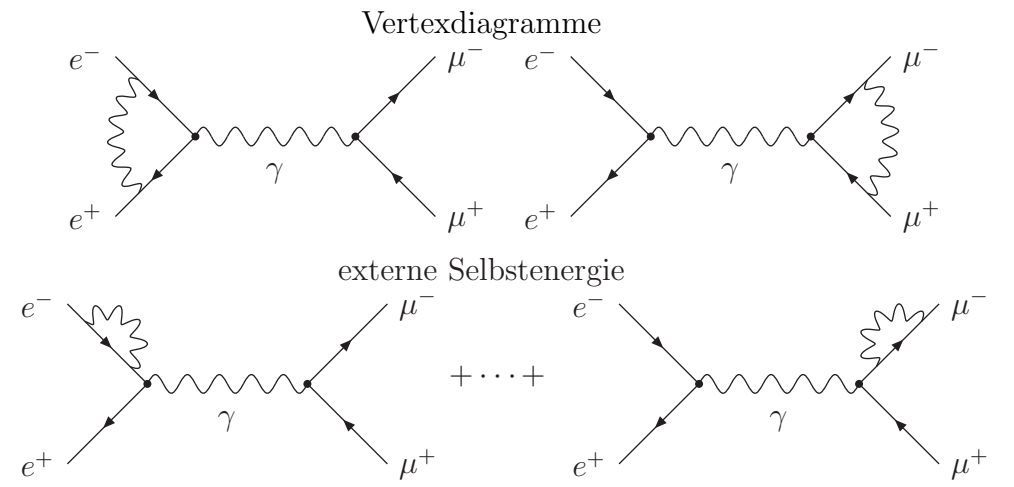
6.5.1 Beispiel: QED-Korrekturen zur μ - Paarproduktion in e^+e^- - Kollisionen



(Baumgraph = Bornsche Näherung)

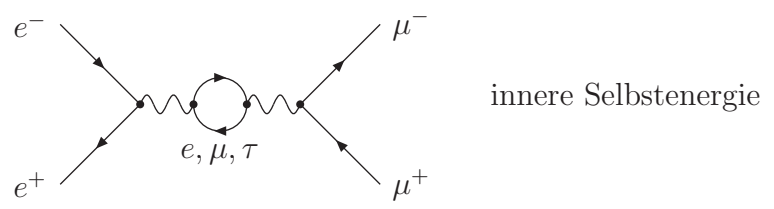
Einschleifen-Korrekturen:

Vertexkorrekturen:

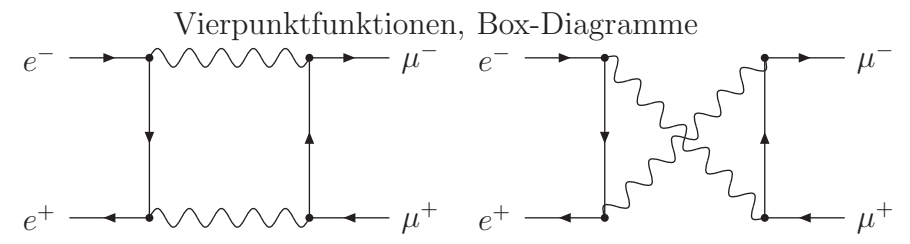


(externe Selbstenergie (4 Diagramme) = Wellenfunktionsrenormierung, Fermion-Selbstenergie)

Weitere Korrekturen:



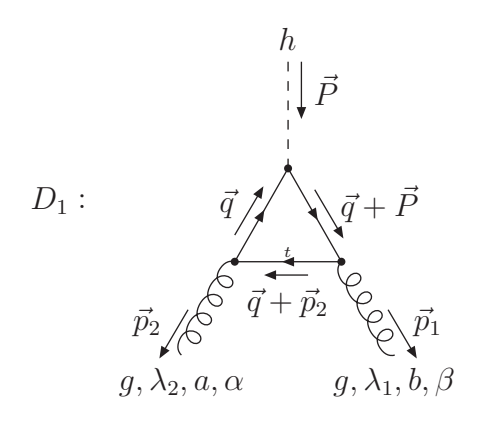
(innere Selbstenergie = Photon-Propagator-Diagramm, Photon-Selbstenergie)



Im Kapitel 5.1 hatten wir gezeigt:

Zu jeder Schleife gehört ein Schleifenimpuls, über den Integriert wird.

 $h \rightarrow gg$:



$$\vec{P} = \vec{p}_1 + \vec{p}_2, \quad y_t = \frac{m_t}{v} = g_2 \frac{m_t}{M_W}$$

Für die Schleife ist nur das Top-Quark relevant.

$$D_{1} = -\int \frac{d^{4}q}{(2\pi)^{4}} \frac{\operatorname{tr}\left[-i(m_{t}+q)iT^{a}g_{s}\gamma^{\alpha}(-i)(m_{t}+q'+p'_{2})\right]}{(m_{t}^{2}-q^{2}-i\delta)(m_{t}^{2}-(q+p_{2})^{2}-i\delta)} \cdot \frac{ig_{s}\gamma^{\beta}T^{b}(-i)(m_{t}+q'+p')iy_{t}}{(m_{t}^{2}-(q+p)^{2}-i\delta)} \epsilon_{\alpha,a}^{(\lambda_{2})*}(p_{2})\epsilon_{\beta,b}^{(\lambda_{1})*}(p_{1})$$

$$(707)$$

Farbfaktor tr $T^aT^b = \frac{1}{2}\delta^{ab}$

Nur Terme mit gerader Anzahl von Dirac-Matrizen tragen bei:

$$D_{1} = -\frac{1}{2} \delta^{ab} \epsilon_{\alpha,a}^{(\lambda_{2})*}(p_{2}) \epsilon_{\beta,b}^{(\lambda_{1})*}(p_{1}) y_{t} g_{s}^{2}$$

$$\cdot \int \frac{d^{4}q}{(2\pi)^{4}} \frac{1}{(m_{t}^{2} - q^{2} - i\delta)(m_{t}^{2} - (q + p_{2})^{2} - i\delta)(m_{t}^{2} - (q + P)^{2} - i\delta)}$$

$$\cdot \left\{ m_{t} \operatorname{tr} \left[q' \gamma^{\alpha} (q' + p'_{2}) \gamma^{\beta} \right] + m_{t} \operatorname{tr} \left[q' \gamma^{\alpha} \gamma^{\beta} (q' + p') \right] + m_{t} \operatorname{tr} \left[\gamma^{\alpha} (q' + p'_{2}) \gamma^{\beta} (q' + p') \right] + m_{t}^{3} \operatorname{tr} \left[\gamma^{\alpha} \gamma^{\beta} \right] \right\}$$

$$(708)$$

Wir schreiben $q=q^{\mu}\gamma_{\mu},\ q+p_2=(q^{\nu}+p_2^{\nu})\gamma_{\nu}$ usw. (708) wird dann zu:

$$D_{1} = -\frac{1}{2} \epsilon_{\alpha,a}^{(\lambda_{2})*}(p_{2}) \epsilon_{\beta,a}^{(\lambda_{1})*}(p_{1}) y_{t} g_{s}^{2} m_{t}$$

$$\cdot \int \frac{d^{4}q}{(2\pi)^{4}} \frac{1}{(m_{t}^{2} - q^{2} - i\delta)(m_{t}^{2} - (q + p_{2})^{2} - i\delta)(m_{t}^{2} - (q + P)^{2} - i\delta)}$$

$$\cdot \left\{ \operatorname{tr} \left[\gamma_{\mu} \gamma^{\alpha} \gamma_{\nu} \gamma^{\beta} \right] q^{\mu} (q^{\nu} + p_{2}^{\nu}) + \operatorname{tr} \left[\gamma_{\mu} \gamma^{\alpha} \gamma^{\beta} \gamma_{\nu} \right] q^{\mu} (q^{\nu} + P^{\nu}) + \operatorname{tr} \left[\gamma^{\alpha} \gamma^{\beta} \gamma_{\nu} \right] q^{\mu} (q^{\nu} + P^{\nu}) \right\}$$

$$+ \operatorname{tr} \left[\gamma^{\alpha} \gamma_{\mu} \gamma^{\beta} \gamma_{\nu} \right] (q^{\mu} + p_{2}^{\mu}) (q^{\nu} + P^{\nu}) + m_{t}^{2} \operatorname{tr} \left[\gamma^{\alpha} \gamma^{\beta} \right] \right\}$$

$$(709)$$

In (709) treten 3 verschiedene Schleifenintegrale auf:

• das **skalare** Integral

$$I(p_2, P) := \int \frac{d^4q}{i\pi^2} \frac{1}{(q^2 - m_t^2 + i\delta)((q + p_2)^2 - m_t^2 + i\delta)((q + P)^2 - m_t^2 + i\delta)}$$
(710)

• das Vektorintegral

$$I^{\mu}(p_2, P) := \int \frac{d^4q}{i\pi^2} \frac{q^{\mu}}{(q^2 - m_t^2 + i\delta)((q + p_2)^2 - m_t^2 + i\delta)((q + P)^2 - m_t^2 + i\delta)}$$
(711)

• und das **Tensorintegral** (2. Stufe)

$$I^{\mu\nu}(p_2, P) := \int \frac{d^D q}{i\pi^{D/2}} \frac{q^{\mu}q^{\nu}}{(q^2 - m_t^2 + i\delta)((q + p_2)^2 - m_t^2 + i\delta)((q + P)^2 - m_t^2 + i\delta)}$$
(712)

 $I^{\mu\nu}(p_2, P)$ ist ultraviolett-divergent.

Die UV-Divergenz ist in (712) regularisiert mit der Methode der dimensionalen Regularisierung:

Man betrachtet zunächst $D \in \mathbb{N}$ und (hier) $D \geq 2 : p_2$ und P in (712) spannen einen maximal 2-dimensionalen Unterraum des \mathbb{R}^D auf.

Unter Ausnutzung der Lorentz-Kovarianz ist für $p_2^2 \ge 0, P^2 > 0$ o.B.d.A.:

$$P^{\rho} = \begin{pmatrix} P^{0} \\ 0 \\ 0 \\ 0 \end{pmatrix}, \qquad p_{2}^{\rho} = \begin{pmatrix} p_{2}^{0} \\ p_{2}^{1} \\ 0 \\ 0 \end{pmatrix}$$

$$\Rightarrow d^{D}q = dq^{0}dq^{1} \underbrace{q_{r}^{D-3}dq_{r}d\Omega}_{\text{Polarkoordinaten im Orthogonal raum}}_{\text{zu } p_{2}^{\rho} \text{ und } P^{\rho}}$$

$$(713)$$

Mit (713) kann in (712) über $dq_r d\Omega$ integriert werden. Für ganzzahliges D' ist (D' = D - 2 im Beispiel):

$$\int d\Omega_{D'} = \Omega_{D'} = \frac{2\pi^{\frac{D'}{2}}}{\Gamma(\frac{D'}{2})} \tag{714}$$

 $\int d\Omega_{D'}$: Raumwinkelelement in D' Dimensionen

mit der bekannten Eulersche Gammafunktion $\Gamma(x)$.

Für
$$D' = 1: \Omega_1 = \frac{2\sqrt{\pi}}{\Gamma(\frac{1}{2})} = 2$$

$$D' = 2: \Omega_2 = \frac{2\pi}{\Gamma(1)} = 2\pi = \int_0^{2\pi} d\varphi$$

$$D' = 3: \Omega_3 = \frac{2\pi^{\frac{3}{2}}}{\Gamma(\frac{3}{2})} = \frac{2\pi^{\frac{3}{2}}}{\frac{1}{2}\Gamma(\frac{1}{2})} = 4\pi = \int_{-1}^1 d\cos\vartheta \int_0^{2\pi} d\varphi$$

$$D' = 4: \Omega_4 = \frac{2\pi^2}{\Gamma(2)} = 2\pi^2$$

Dimensionale Regularisierung: $D' \in \mathbb{C}$ beliebig, (714) ist Definition Erinnerung:

$$\Gamma(z) := \int_{0}^{\infty} t^{z-1} \exp(-t)dt$$
 (715)

$$\Gamma(z+1) = z \cdot \Gamma(z), \quad \Gamma(n+1) = n!, \quad \Gamma\left(\frac{1}{2}\right) = \sqrt{\pi}, \quad \Gamma(z+n) = (z)^{(n)}\Gamma(z)$$
 (716)

mit dem Pochhammer-Symbol $(z)^{(n)} = z(z+1)\cdots(z+n-1)$

z.B. aus
$$(1+x)^{\alpha} = \sum_{n=0}^{\infty} {\alpha \choose n} x^n$$
, ${\alpha \choose n} = \frac{\alpha(\alpha-1)\cdots(\alpha-n+1)}{n!} = \frac{(-1)^n(-\alpha)^{(n)}}{n!}$

Die Gammafunktion hat einfache Pole für $z=0,-1,\ldots$ wie man am Ergänzungssatz der Gammafunktion

$$\Gamma(z)\Gamma(1-z) = \frac{\pi}{\sin(\pi z)} \tag{717}$$

erkennen kann.

$$\Gamma(1+z) = 1 - \gamma z + \left(\frac{\gamma^2}{2} + \frac{\pi^2}{12}\right) z^2 + O(z^3)$$
 (718)

mit der Euler-Mascheroni-Konstanten

$$\gamma = \lim_{n \to \infty} \left[\sum_{k=1}^{n} \frac{1}{k} - \ln k \right] \approx 0,5772156649$$
 (719)

(es ist unbekannt, ob γ rational, irrational, algebraisch oder transzendent ist). Setzt man (713) in Tensorintegrale wie (712) ein, so trifft man weiter auf

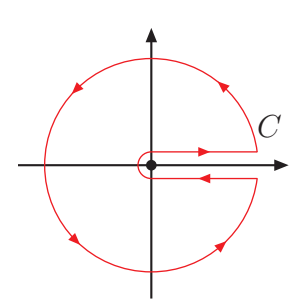
$$I[f] = \int_{0}^{\infty} q_r^{D'-1} f(q_r^2) dq_r \stackrel{x=q_r^2}{=} \frac{1}{2} \int_{0}^{\infty} x^{\frac{D'}{2}-1} f(x) dx$$
 (720)

Ist (wie in unserem Fall) f eine rationale Funktion, so kann I berechnet werden.

$$x^{\frac{D'}{2}-1} = \left[(-x \pm i\delta) \exp(\mp i\pi) \right]^{\frac{D'}{2}-1} = (-x \pm i\delta)^{\frac{D'}{2}-1} \exp\left(\mp i\pi(D'/2 - 1)\right)$$

$$I[f] = \frac{1}{2} \int_{0}^{\infty} x^{\frac{D'}{2}-1} f(x) dx = \frac{1}{2} \int_{0}^{\infty} (-x \pm i\delta)^{\frac{D'}{2}-1} \exp\left(\mp i\pi(D'/2 - 1)\right) f(x) dx$$

Betrachte das Konturintegral:



Konvergiert (720), so verschwindet der Beitrag des Kreises und

$$\int_{C} x^{\frac{D'}{2}-1} f(x) dx = \int_{0}^{\infty} (-x - i\delta)^{\frac{D'}{2}-1} f(x) dx + \int_{\infty}^{0} (-x + i\delta)^{\frac{D'}{2}-1} f(x) dx$$

$$= 2 \left(\exp\left(-i\pi(D'/2 - 1)\right) - \exp\left(i\pi(D'/2 - 1)\right) I[f]$$

$$= -4i \sin\left(\pi(D'/2 - 1)\right) I[f]$$

Für $D'/2 \notin \mathbb{Z}$ impliziert dies

$$I[f] = \frac{i}{4\sin\left(\pi(D'/2-1)\right)} \underbrace{\int_{C} x^{\frac{D'}{2}-1} f(x) dx}_{\text{Residuensatz}}$$

$$= -\frac{\pi}{2\sin\left(\pi\left(\frac{D'}{2}-1\right)\right)} \sum_{x_k \in Pol(f)} \text{Res}\left(f(x_k)(-x_k)^{\frac{D'}{2}-1}\right)$$
(721)

Ein häufig vorkommender Spezialfall von (720) ist $f(x) = (x + m^2)^{-a}$, dann ist

$$I[f] = \frac{1}{2} \int_{0}^{\infty} x^{\frac{D'}{2} - 1} \left(x + m^{2} \right)^{-a} dx \stackrel{x = m^{2}y}{=} \frac{1}{2} \left(m^{2} \right)^{\frac{D'}{2} - a} \int_{0}^{\infty} y^{\frac{D'}{2} - 1} (y + 1)^{-a} dy$$

$$= \frac{1}{2} \left(m^{2} \right)^{\frac{D'}{2} - a} \underbrace{B\left(\frac{D'}{2}, a - \frac{D'}{2} \right)}_{\text{Eulerepho Bota Funktion}} = \frac{1}{2} \left(m^{2} \right)^{\frac{D'}{2} - a} \frac{\Gamma\left(\frac{D'}{2} \right) \Gamma\left(a - \frac{D'}{2} \right)}{\Gamma\left(a \right)}$$
(722)

((722) definiert I[f] für $-a, -\frac{D'}{2}, \frac{D'}{2} - a \notin \mathbb{N}_0$). Speziell für $a = n \in \mathbb{N}$:

$$I[f] = \frac{1}{2} \left(m^2 \right)^{\frac{D'}{2} - n} \frac{\Gamma\left(\frac{D'}{2}\right) \Gamma\left(n - \frac{D'}{2}\right)}{(n-1)!} \tag{723}$$

Mit (714)

$$\Omega_{D'}I[f] = (m^2)^{\frac{D'}{2} - n} \pi^{\frac{D'}{2}} \frac{\Gamma(n - \frac{D'}{2})}{(n-1)!}$$
(724)

Definiere:

$$D = 4 - 2\varepsilon \tag{725}$$

Die UV-Divergenzen erscheinen dann als Pole in ε : Ist a - D'/2 in (722) negativ ganzzahlig oder Null für $\varepsilon = 0$, also

$$a - \frac{D'}{2} = -p + t\varepsilon + O(\varepsilon^2)$$

mit $p \in \mathbb{N}_0$, so ist wegen (716):

$$\Gamma\left(a-\frac{D'}{2}\right)=\Gamma(-p+t\varepsilon+O(\varepsilon^2))=\frac{\Gamma(1+t\varepsilon+O(\varepsilon^2))}{(-p+t\varepsilon+O(\varepsilon^2))^{(p+1)}}$$

Nenner enthält Faktor $t\varepsilon + O(\varepsilon^2) \Rightarrow$ einfacher Pol.

Ein n-Schleifen-Integral hat UV-Pole bis zur Ordnung n.

Entwicklungen von $\Gamma(n-D'/2)$ in (724) (mit (716),(718)):

"log-Divergenz": $n - \frac{D'}{2} = \varepsilon$:

$$\Gamma(\varepsilon) = \frac{\Gamma(1+\varepsilon)}{\varepsilon} = \frac{1-\gamma\varepsilon}{\varepsilon} + O(\varepsilon) = \frac{1}{\varepsilon} - \gamma + O(\varepsilon)$$
 (726)

"lineare-Divergenz": $n - \frac{D'}{2} = -1 + \varepsilon$:

$$\Gamma(-1+\varepsilon) = \frac{\Gamma(\varepsilon)}{-1+\varepsilon} \stackrel{(726)}{=} -(1+\varepsilon)\left(\frac{1}{\varepsilon} - \gamma\right) + O(\varepsilon) = -\frac{1}{\varepsilon} - 1 + \gamma + O(\varepsilon) \tag{727}$$

"quadratische-Divergenz": $n - \frac{D'}{2} = -2 + \varepsilon$:

$$\Gamma(-2+\varepsilon) = \frac{\Gamma(-1+\varepsilon)}{-2+\varepsilon} = \Gamma(-1+\varepsilon) \left(-\frac{1}{2}\right) \left(1+\frac{1}{2}\varepsilon+O\left(\varepsilon^{2}\right)\right)$$

$$\stackrel{(727)}{=} \frac{1}{2} \left(\frac{1}{\varepsilon}+1-\gamma\right) \left(1+\frac{1}{2}\varepsilon\right) + O\left(\varepsilon\right) = \frac{1}{2\varepsilon} + \frac{3}{4} - \frac{\gamma}{2} + O\left(\varepsilon\right)$$

$$(728)$$

6.5.2 Algorithmische Berechnung der Ein-Schleifen-Integrale

Definitionen:

Einpunktfunktionen

$$A_{0}(m_{0}) = \int \frac{d^{D}q}{i\pi^{\frac{D}{2}}} \frac{1}{q^{2} - m_{0}^{2}} \quad \text{(skalares Integral)}$$

$$A^{\mu\nu}(m_{0}) = \int \frac{d^{D}q}{i\pi^{\frac{D}{2}}} \frac{q^{\mu}q^{\nu}}{q^{2} - m_{0}^{2}} =: g^{\mu\nu}A_{00}(m_{0})$$

$$(729)$$

usw. Einpunkt-Integrale mit ungerader Anzahl von Schleifenimpulsen im Zähler verschwinden.

Zweipunktfunktionen

$$B_{0}(p; m_{0}, m_{1}) \equiv B_{0}(p^{2}; m_{0}, m_{1}) := \int \frac{d^{D}q}{i\pi^{\frac{D}{2}}} \frac{1}{(q^{2} - m_{0}^{2})((q + p)^{2} - m_{1}^{2})}$$
(731)
$$B^{\mu}(p; m_{0}, m_{1}) := \int \frac{d^{D}q}{i\pi^{\frac{D}{2}}} \frac{q^{\mu}}{(q^{2} - m_{0}^{2})((q + p)^{2} - m_{1}^{2})} =: p^{\mu}B_{1}(p^{2}; m_{0}, m_{1})$$
(732)
$$B^{\mu\nu}(p; m_{0}, m_{1}) := \int \frac{d^{D}q}{i\pi^{\frac{D}{2}}} \frac{q^{\mu}q^{\nu}}{(q^{2} - m_{0}^{2})((q + p)^{2} - m_{1}^{2})}$$

$$=: g^{\mu\nu}B_{00}(p^{2}; m_{0}, m_{1}) + p^{\mu}p^{\nu}B_{11}(p^{2}; m_{0}, m_{1})$$
(733)

$$B^{\mu\nu\rho}(p; m_0, m_1) := \int \frac{d^D q}{i\pi^{\frac{D}{2}}} \frac{q^{\mu}q^{\nu}q^{\rho}}{(q^2 - m_0^2)((q+p)^2 - m_1^2)}$$

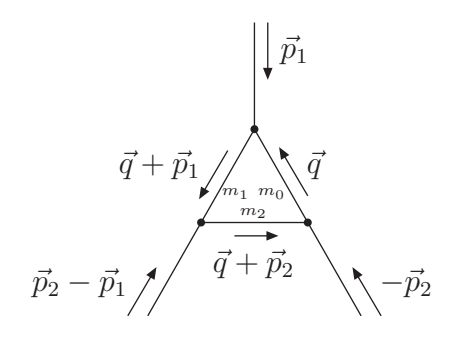
$$=: g^{\{\mu\nu}p^{\rho\}}B_{001}(p^2; m_0, m_1) + p^{\mu}p^{\nu}p^{\rho}B_{111}(p^2; m_0, m_1)$$

$$=: g^{\{\mu\nu}p^{\rho\}} = \{gp\}^{\mu\nu\rho} := g^{\mu\nu}p^{\rho} + g^{\mu\rho}p^{\nu} + g^{\nu\rho}p^{\mu}$$

$$(734)$$

Achtung: Oft wird eine andere Normierung verwendet!

Dreipunktfunktionen Für $H \rightarrow gg$ brauchen wir:



$$C_{0}(p_{1}, p_{2}; m_{0}, m_{1}, m_{2}) \equiv C_{0}(p_{1}^{2}, p_{2}^{2}, (p_{2} - p_{1})^{2}; m_{0}, m_{1}, m_{2})$$

$$:= \int \frac{d^{D}q}{i\pi^{\frac{D}{2}}} \frac{1}{(q^{2} - m_{0}^{2})((q + p_{1})^{2} - m_{1}^{2})((q + p_{2})^{2} - m_{2}^{2})}$$

$$C^{\mu}(p_{1}, p_{2}; m_{0}, m_{1}, m_{2}) := \int \frac{d^{D}q}{i\pi^{\frac{D}{2}}} \frac{q^{\mu}}{(q^{2} - m_{0}^{2})((q + p_{1})^{2} - m_{1}^{2})((q + p_{2})^{2} - m_{2}^{2})}$$

$$=: p_{1}^{\mu}C_{1}(p_{1}^{2}, p_{2}^{2}, (p_{2} - p_{1})^{2}; m_{0}, m_{1}, m_{2}) + p_{2}^{\mu}C_{2}(\dots)$$

$$C^{\mu\nu}(p_{1}, p_{2}; m_{0}, m_{1}, m_{2}) := \int \frac{d^{D}q}{i\pi^{\frac{D}{2}}} \frac{q^{\mu}q^{\nu}}{(q^{2} - m_{0}^{2})((q + p_{1})^{2} - m_{1}^{2})((q + p_{2})^{2} - m_{2}^{2})}$$

$$=: g^{\mu\nu}C_{00}(\dots) + p_{1}^{\mu}p_{1}^{\nu}C_{11}(\dots) + p_{1}^{\mu}p_{2}^{\nu}C_{12}(\dots) + p_{2}^{\mu}p_{2}^{\nu}C_{22}(\dots)$$

$$\text{mit } p_{1}^{\mu}p_{2}^{\nu} = \{p_{1}p_{2}\}^{\mu\nu} = p_{1}^{\mu}p_{2}^{\nu} + p_{1}^{\nu}p_{2}^{\mu}$$

$$(739)$$

 C_0 : UV-endlich $D \to 4$, Symmetrisch unter beliebiger Vertauschung von $(m_1, p_2^2), (m_2, p_1^2)$ und $(m_0, (p_2 - p_1)^2)$ - entspricht Drehung des Diagramms um 120° oder Spiegelung.

 C^{μ} : UV-endlich

 $C^{\mu\nu}$: Symmetrisch bezüglich $1 \leftrightarrow 2$

Vierpunktfunktionen Vierpunktfunktionen werden mit $D_0, D^{\mu}, D^{\mu\nu}$, usw. bezeichnet. Man braucht nur A_0, B_0, C_0, D_0 auszurechnen, alle anderen Schleifenintegrale kann man algebraisch durch diese vier Funktionen ausdrücken (Passarino-Veltman-Methode, Brown, Feynman) Beispiel:

Kontraktion von (737) mit $p_{1\mu}$ oder $p_{2\mu}$:

$$p_{1\mu}: p_1^2 C_1 + p_1 p_2 C_2 = p_{1\mu} C^{\mu} = \int \frac{d^D q}{i\pi^{\frac{D}{2}}} \frac{p_1 q}{(q^2 - m_0^2) \left((q + p_1)^2 - m_1^2 \right) \left((q + p_2)^2 - m_2^2 \right)}$$

Mit

$$p_1 q = \frac{1}{2} \left(-[q^2 - m_0^2] + [(q + p_1)^2 - m_1^2] + m_1^2 - m_0^2 - p_1^2 \right)$$

wird daraus:

$$p_{1}^{2}C_{1} + p_{1}p_{2}C_{2} = \frac{1}{2} \int \frac{d^{D}q}{i\pi^{\frac{D}{2}}} \left[\frac{1}{(q^{2} - m_{0}^{2})((q + p_{2})^{2} - m_{2}^{2})} - \frac{1}{((q + p_{1})^{2} - m_{1}^{2})((q + p_{2})^{2} - m_{2}^{2})} + \frac{m_{1}^{2} - m_{0}^{2} - p_{1}^{2}}{(q^{2} - m_{0}^{2})((q + p_{1})^{2} - m_{1}^{2})((q + p_{2})^{2} - m_{2}^{2})} \right]$$

$$= \frac{1}{2} B_{0}(p_{2}^{2}; m_{0}, m_{2}) - \frac{1}{2} B_{0}((p_{2} - p_{1})^{2}; m_{1}, m_{2})$$

$$+ \frac{1}{2} (m_{1}^{2} - m_{0}^{2} - p_{1}^{2}) C_{0}(p_{1}^{2}, p_{2}^{2}, (p_{2} - p_{1})^{2}; m_{0}, m_{1}, m_{2}) = X_{12}$$

$$(740)$$

Im zweiten Term wurde $q' = q + p_1$ substituiert. Kontraktion mit $p_{2\mu}$ liefert:

$$p_1 p_2 C_1 + p_2^2 C_2 = \frac{1}{2} B_0(p_1^2; m_0, m_1) - \frac{1}{2} B_0((p_2 - p_1)^2; m_1, m_2)$$

$$+ \frac{1}{2} (m_2^2 - m_0^2 - p_2^2) C_0(p_1^2, p_2^2, (p_2 - p_1)^2; m_0, m_1, m_2) = X_{21}$$
 (741)

(740) und (741) kombinieren sich zu

$$\begin{pmatrix} p_1^2 & p_1 p_2 \\ p_1 p_2 & p_2^2 \end{pmatrix} \begin{pmatrix} C_1 \\ C_2 \end{pmatrix} = \begin{pmatrix} X_{12} \\ X_{21} \end{pmatrix}, \text{ also}$$

$$\begin{pmatrix} C_1 \\ C_2 \end{pmatrix} = \frac{1}{p_1^2 p_2^2 - (p_1 p_2)^2} \begin{pmatrix} p_2^2 & -p_1 p_2 \\ -p_1 p_2 & p_1^2 \end{pmatrix} \begin{pmatrix} X_{12} \\ X_{21} \end{pmatrix}$$
(742)

D.h. C^{μ} ist rekursiv auf B_0 und C_0 zurückgeführt. Wenn die **Gram-Determinante**

$$p_1^2 p_2^2 - (p_1 p_2)^2 = \det \begin{pmatrix} p_1^2 & p_1 p_2 \\ p_1 p_2 & p_2^2 \end{pmatrix}$$

verschwindet, bricht der Algorithmus zusammen. In diesem Fall kann man jedoch (einfachere) Rekursionsformeln finden, indem man Tensorintegrale mit einem Index mehr (hier $C^{\mu\nu}$) betrachtet und mit $p_{1\mu}$, $p_{2\mu}$ kontrahiert.

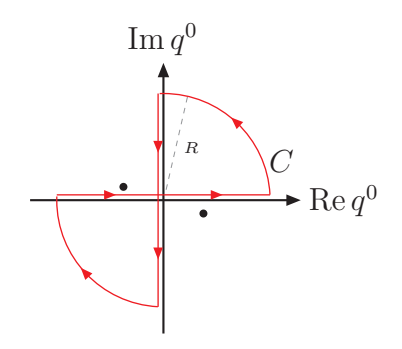
(Literatur: [5, Kapitel 2.3.2.3])

Berechnung der Grundintegrale ('t Hooft, Veltmann):

 $A_0^{(r)}$ -Funktion: Verallgemeinerung von (729):

$$A_0^{(r)}(m_0) = \int \frac{d^D q}{i\pi^{D/2}} \frac{1}{(q^2 - m_0^2 + i\delta)^r}, \quad r \ge 1$$
 (743)

Betrachtet die komplexe q^0 -Ebene:



Pole bei $(q^0)^2 = \vec{q}^2 + m_0^2 - i\delta \Rightarrow q^0 = \pm \sqrt{\vec{q}^2 + m_0^2} \mp i\delta$. Das Integral über C verschwindet wegen des Residuensatzes. Integrale über die Viertelkreise verschwinden für $R \to \infty$, sofern $A_0^{(r)}$ UV-konvergent ist, also D-2r < 0 \Rightarrow Wick-Rotation

$$\int_{-\infty}^{\infty} dq^0 = \int_{-i\infty}^{i\infty} dq^0 \stackrel{q^0 = iq^4}{=} i \int_{-\infty}^{\infty} dq^4$$
 (744)

$$\Rightarrow A_0^{(r)}(m_0) = \int \frac{d^{D-1}\vec{q}}{i\pi^{D/2}} \int dq^0 \frac{1}{(q^2 - m_0^2 + i\delta)^r} \stackrel{(744)}{=} \int \frac{d^D q_E}{\pi^{D/2}} \frac{1}{(-q_E^2 - m_0^2 + i\delta)^r}$$
(745)

mit dem euklidischen Impuls

$$q_E = \begin{pmatrix} q^1 \\ \vdots \\ q^4 \end{pmatrix}$$
 und $q_E^2 = q_1^2 + q_2^2 + q_3^2 + q_4^2$

(745) wird zu

$$A_0^{(r)}(m_0) = \int \frac{d^D q_E}{\pi^{D/2}} (-1 - i\delta)^r \frac{1}{(q_E^2 + m_0^2)^r}$$
(746)

Im Faktor $(-1+i\delta)^r$ ist das $i\delta$ nur für $r \notin \mathbb{Z}$ relevant:

$$(-1 - i\delta)^r = \exp(r\underbrace{\ln(-1 - i\delta)}_{-i\pi}) = \exp(-i\pi r)$$

Polarkoordinaten in (746) ergeben

$$A_0^{(r)}(m_0) = \exp(-i\pi r) \int_0^\infty d|q| \frac{|q|^{D-1}}{(|q|^2 + m_0^2)^r} \int d\Omega_D \frac{1}{\pi^{D/2}} \stackrel{(714)(722)}{=} \exp(-i\pi r) m_0^{D-2r} \frac{\Gamma\left(r - \frac{D}{2}\right)}{\Gamma(r)}$$

$$(747)$$

 B_0 -Funktion: Mit dem Feynman-Parameter x kann man Integrale umschreiben:

$$\frac{1}{D_1} \cdot \frac{1}{D_2} = \int_0^1 \frac{dx}{((1-x)D_1 + xD_2)^2}$$
 (748)

Auf B_0 angewandt ergibt sich:

$$B_{0}(p^{2}; m_{0}, m_{1}) \stackrel{(731)}{=} \int \frac{d^{D}q}{i\pi^{\frac{D}{2}}} \frac{1}{(q^{2} - m_{0}^{2})((q+p)^{2} - m_{1}^{2})}$$

$$= \int \frac{d^{D}q}{i\pi^{\frac{D}{2}}} \int_{0}^{1} dx \frac{1}{(q^{2} + 2xqp + x(p^{2} - m_{1}^{2}) - m_{0}^{2}(1-x))^{2}}$$
Substituiere: $q' = q + xp$

$$= \int_{0}^{1} dx \int \frac{d^{D}q'}{i\pi^{\frac{D}{2}}} \frac{1}{(q'^{2} - A(x) + i\delta)^{2}}$$
mit $A(x) = -p^{2}x(1-x) + xm_{1}^{2} + m_{0}^{2}(1-x) - i\delta$

und (747) liefert mit r=2

$$B_{0}(p^{2}; m_{0}, m_{1}) \stackrel{(747)}{=} \frac{\Gamma\left(2 - \frac{D}{2}\right)}{\Gamma(2)} \int_{0}^{1} dx \left(A(x)\right)^{\frac{D}{2} - 2}$$

$$= \Gamma(\varepsilon) \int_{0}^{1} dx \left(-p^{2}x(1 - x) + xm_{1}^{2} + m_{0}^{2}(1 - x) - i\delta\right)^{-\varepsilon}$$
 (749)

Entwicklung in ε :

$$B_{0}(p^{2}; m_{0}, m_{1}) \stackrel{(726)}{=} \left(\frac{1}{\varepsilon} - \gamma\right) \int_{0}^{1} dx \left(1 - \varepsilon \ln(-p^{2}x(1 - x) + xm_{1}^{2} + m_{0}^{2}(1 - x) - i\delta)\right)$$

$$= \frac{1}{\varepsilon} - \gamma - \int_{0}^{1} dx \ln\left(-p^{2}x(1 - x) + m_{1}^{2}x + m_{0}^{2}(1 - x) - i\delta\right)$$
(750)

Nullstellenzerlegung des Integranden:

$$A(x) = -p^{2}x(1-x) + m_{1}^{2}x + m_{0}^{2}(1-x) - i\delta =: p^{2}(x-x_{1})(x-x_{2})$$

$$\int_{0}^{1} dx \ln(A(x)) = \int_{0}^{1} dx \left[\ln(p^{2}-i\delta) + \ln((x-x_{1})(x-x_{2}))\right]$$
(751)

Erklärung zum " $i\delta$ ": Sei $a, b \in \mathbb{R}$

$$\operatorname{Im} \ln(ab - i\delta) = \begin{cases} 0 & \text{für } a \cdot b > 0 \\ -\pi & \text{für } a \cdot b < 0 \end{cases}$$

Dann gilt:

$$\ln(ab - i\delta) \simeq \ln(a - i\delta) + \ln\left(b - \frac{i\delta}{a}\right)$$
 für $\delta \to 0$

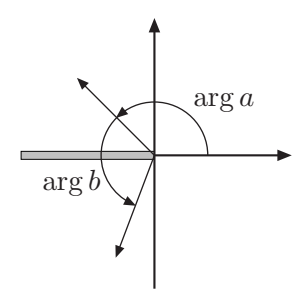
Imaginärteile:

Für $a, b \notin \mathbb{R}$ gilt allgemein

$$\ln|ab| + i\arg(ab) = \ln(ab) =: \ln a + \ln b + \eta(a,b) = \ln|a| + \ln|b| + i\arg a + i\arg b + \eta(a,b)$$
(752)

$$\operatorname{mit} \eta(a,b) = 2\pi i \left(\Theta(-\operatorname{Im} a)\Theta(-\operatorname{Im} b)\Theta(\operatorname{Im}(ab)) - \Theta(\operatorname{Im} a)\Theta(\operatorname{Im} b)\Theta(-\operatorname{Im}(ab))\right)$$
 (753)

194



Wegen

$$x_1 + x_2 = \frac{p^2 + m_0^2 - m_1^2}{p^2} \in \mathbb{R}$$

ist $\operatorname{Im} x_1 \cdot \operatorname{Im} x_2 < 0$, also ist mit (752):

$$\ln((x-x_1)(x-x_2)) = \ln((x_1-x)(x_2-x)) = \ln(x_1-x) + \ln(x_2-x)$$

und (750) wird zu:

$$B_0(\dots) = \frac{1}{\varepsilon} - \gamma - \left[x_1 + x_2 - 2x - (x_1 - x) \ln(x_1 - x) - (x_2 - x) \ln(x_2 - x) + x \ln(p^2 - i\delta) \right]_0^1$$

Die Lösung kann man kompakt durch die Lösung der Gleichung

$$0 = r^{2} + \frac{p^{2} - m_{0}^{2} - m_{1}^{2} + i\delta}{m_{0}m_{1}}r + 1 = (r - r_{1})(r - r_{2})$$

$$r_{1,2} = \frac{-p^{2} + m_{0}^{2} + m_{1}^{2} - i\delta \pm \sqrt{(p^{2} - m_{0}^{2} - m_{1}^{2} + i\delta)^{2} - 4m_{0}^{2}m_{1}^{2}}}{2m_{0}m_{1}} = \frac{1}{r_{2,1}}$$

ausdrücken:

$$B_0(p^2; m_0, m_1) = \frac{1}{\varepsilon} - \gamma + 2 - \ln(m_0 m_1) + \frac{m_0^2 - m_1^2}{p^2} \ln \frac{m_1}{m_0} - \frac{m_0 m_1}{p^2} \left(\frac{1}{r} - r\right) \ln r$$
 (754)

Die C_0 -Funktion erfordert die Integration über zwei Feynman-Parameter. Das Ergebnis enthält 12 **Dilogarithmen**

$$\operatorname{Li}_{2}(z) = -\int_{0}^{1} dt \frac{\ln(1-zt)}{t} = -\int_{0}^{z} dt \frac{\ln(1-t)}{t}$$

$$\operatorname{arg}(1-z) \neq \pm \pi$$
(755)

Polylogarithmen:

$$\operatorname{Li}_{n}(z) := \int_{0}^{z} dt \frac{\operatorname{Li}_{n-1}(t)}{t} \tag{756}$$

$$\operatorname{Li}_0(z) = \frac{z}{1-z} \tag{757}$$

$$\Rightarrow \operatorname{Li}_{1}(z) = \int_{0}^{z} dt \frac{1}{1-t} = -\ln(1-t)$$
 (758)

Reihenentwicklung für |z| < 1:

$$\operatorname{Li}_{0}(z) = \sum_{n=1}^{\infty} z^{n}$$

$$\Rightarrow \operatorname{Li}_{1}(z) \stackrel{(756)}{=} \int_{0}^{z} dt \frac{\operatorname{Li}_{0}(t)}{t} = \sum_{n=1}^{\infty} \int_{0}^{z} dt \, t^{n-1} = \sum_{n=1}^{\infty} \frac{z^{n}}{n}$$

$$\Rightarrow \operatorname{Li}_{k}(z) = \sum_{n=1}^{\infty} \frac{z^{n}}{n^{k}}$$

$$(759)$$

Für C_0 siehe Literatur [6], [7]:

Zurück zu $h \rightarrow gg$:

Die Integrale (710)-(712) sind also

$$I(p_2, P) = C_0(p_2^2, P^2, p_1^2; m_t, m_t, m_t)$$
 (760a)

$$I^{\mu}(p_2, P) = C^{\mu}(p_2^2, P^2, p_1^2; m_t, m_t, m_t)$$
 (760b)

$$I^{\mu\nu}(p_2, P) = C^{\mu\nu}(p_2^2, P^2, p_1^2; m_t, m_t, m_t)$$
(760c)

Zur UV-Divergenz: Nur C_{00} ist UV-divergent, nicht C_{11} , C_{12} oder C_{22} . Power-counting funktioniert auch für die Koeffizienten

$$[C_{00}] = 0, [C_{ij}] = -2 \text{ für } i, j \neq 0$$

D-dimensionale Dirac-Algebra

$$\{\gamma^{\mu}, \gamma^{\nu}\} = 2g^{\mu\nu} \mathbf{1} \tag{761}$$

mit
$$g^{\mu}_{\mu} = D$$
 (762)
 $\Rightarrow \gamma_{\mu} \gamma^{\mu} = \frac{1}{2} \{ \gamma_{\mu}, \gamma^{\mu} \} = g^{\mu}_{\mu} = D$

Kahane-Identitäten:

$$\gamma_{\mu}\gamma^{\alpha}\gamma^{\mu} \stackrel{(761)}{=} 2g^{\alpha}_{\mu}\gamma^{\mu} - \gamma^{\alpha}\gamma_{\mu}\gamma^{\mu} = (2-D)\gamma^{\alpha} = (-2+2\varepsilon)\gamma^{\alpha}$$
 (763)

Konvention:

$$\operatorname{tr} \mathbf{1} = 4 \tag{764}$$

Spuren: (Die Spur ist auch in *D*-Dimensionen zyklisch.)

$$\operatorname{tr}(\gamma^{\mu}\gamma^{\nu}) = \frac{1}{2}\operatorname{tr}(\{\gamma^{\mu}, \gamma^{\nu}\}) = g^{\mu\nu}\operatorname{tr}\mathbf{1} \stackrel{(764)}{=} 4g^{\mu\nu}$$
 (765)

$$\operatorname{tr}(\gamma^{\alpha}\gamma^{\beta}\gamma^{\mu}\gamma^{\nu}) = Ag^{\alpha\beta}g^{\mu\nu} + Bg^{\alpha\mu}g^{\beta\nu} + Cg^{\alpha\nu}g^{\beta\mu}$$

Kontraktion mit $g_{\alpha\beta}, g_{\beta\mu}$ und $g_{\alpha\mu}$:

$$A = C = \text{tr } \mathbf{1} = 4, \qquad B = -\text{tr } \mathbf{1} = -4$$

Also

$$\operatorname{tr}(\gamma^{\alpha}\gamma^{\beta}\gamma^{\mu}\gamma^{\nu}) = \operatorname{tr}\mathbf{1}\left(g^{\alpha\beta}g^{\mu\nu} - g^{\alpha\mu}g^{\beta\nu} + g^{\alpha\nu}g^{\beta\mu}\right) = 4\left(g^{\alpha\beta}g^{\mu\nu} - g^{\alpha\mu}g^{\beta\nu} + g^{\alpha\nu}g^{\beta\mu}\right) \tag{766}$$

Mit (764) sind Spuren in D Dimensionen gleich denen in 4 Dimensionen.

Fügen wir Dirac-Algebra und Schleifen-Integrale zusammen, so wird (709) zu

$$D_{1} = -y_{t}g_{s}^{2}2m_{t} \left[\left(\varepsilon_{a}^{(\lambda_{1})} \cdot p \right) \left(\varepsilon_{a}^{(\lambda_{2})} \cdot P \right) \left(C_{0} + 4C_{12} + 4C_{2} + 4C_{12} \right) \star F \star + \left(\varepsilon_{a}^{(\lambda_{1})} \cdot \varepsilon_{a}^{(\lambda_{2})} \right) \left(2\varepsilon C_{00} - m_{h}^{2}C_{22} - Pp(C_{0} + 2C_{2} + 2C_{12}) + m_{t}^{2} \right) \right]$$

$$(767)$$

Die Argumente der Schleifenintegrale sind gleich (siehe (760)):

$$C_{00}(p_2^2, P^2, p_1^2; m_t, m_t, m_t)$$

 D_2 erhält man aus D_1 via $p_1 \leftrightarrow p_2, \lambda_1 \leftrightarrow \lambda_2$

6.5.3 LSZ-Reduktionsformel

Die **Lehmann-Symanzik-Zimmermann**-Reduktionsformel verknüpft S-Matrix-Elemente mit Greenfunktionen.

In Kapitel 5 wurden Feynman-Regeln für S-Matrix-Elemente hergeleitet z.B. für ein reelles Klein-Gordon-Feld mit φ^4 -Kopplung. In (217) hatten wir für die n-Punkt-Greenfunktion gefunden:

$$G_{n}(x_{1},...x_{n}) = {}_{I}\langle 0 | \mathbf{T}[\varphi(x_{1}) \cdots \varphi(x_{n})] | 0 \rangle_{I}$$

$$= \frac{\langle 0 | \mathbf{T}[\varphi_{I}(x_{1}) \cdots \varphi_{I}(x_{n})] \exp\left(-i \int_{-\infty}^{\infty} d^{4}x \,\mathcal{H}_{I}(\varphi(x))\right) | 0 \rangle}{\langle 0 | \mathbf{T} \exp\left(-i \int_{-\infty}^{\infty} d^{4}x \,\mathcal{H}_{I}(\varphi_{I}(x))\right) | 0 \rangle}$$
(768)

 $\varphi(x_i)$: Wechselwirkende Felder im Heisenbergbild

 $\varphi_I(x_i)$: Wechselwirkende Felder im Wechselwirkungsbild (mit Fourierdarstellung wie freie Felder)

| 0 \rangle: Vakuum der freien Theorie

 $|0\rangle_I$: Vakuum der Wechselwirkenden Theorie

Mit $\mathcal{H}_I = -\mathcal{L}_I$ können wir aus (768) die Feynman-Regeln analog zu denen der S-Matrix-Elemente ableiten.

$$G_n(x_1, \dots x_n) = \sum_{k=0}^{\infty} \lambda^k G^{(k)}(x_1, \dots x_n)$$
 (769)

Für $\mathcal{L}_I = -\frac{\lambda}{4!} \varphi_I^4(x)$ und n = 4 findet man mit

$$\exp(i \int d^4x \, \mathcal{L}_I) \simeq 1 - i \frac{\lambda}{4!} \int d^4x \, \varphi_I^4(x)$$

zur Ordnung λ :

$$G_{4}^{(0)}(x_{1},...,x_{4}) = \langle 0 \mid \mathbf{T}[\varphi_{I}(x_{1}) \cdots \varphi_{I}(x_{4})] \mid 0 \rangle$$

$$x_{1} \longleftarrow x_{2}$$

$$= + \text{Permutationen}$$

$$\lambda G_{4}^{(1)}(x_{1},...,x_{4}) = \left(-i\frac{\lambda}{4!}\right) \int d^{4}x \langle 0 \mid \mathbf{T}[\varphi_{I}(x_{1}) \cdots \varphi_{I}(x_{4})] \varphi_{I}^{4}(x) \mid 0 \rangle$$

$$-G_{4}^{(0)}(x_{1},...,x_{4}) \left(-i\frac{\lambda}{4!}\right) \int d^{4}x \langle 0 \mid \mathbf{T}\varphi_{I}^{4}(x) \mid 0 \rangle$$

$$x_{1} \longleftarrow x_{2} \qquad x_{1} \longleftarrow x_{2}$$

$$x_{1} \longleftarrow x_{2} \qquad x_{1} \longleftarrow x_{2}$$

$$+ \text{Permutationen}(770)$$

$$x_{3} \longleftarrow x_{4} \qquad x_{4} \qquad x_{4} \qquad x_{4} \qquad x_{4}$$

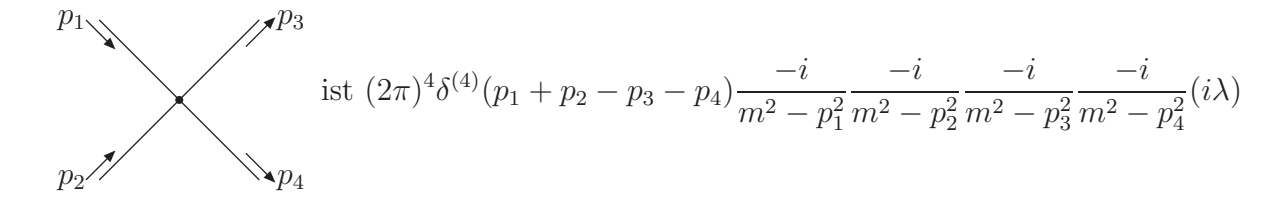
Der Nenner-Term in (768) führt dazu, dass sich Diagramme mit Vakuum-Blasen herausheben:

$$x_1 \longrightarrow x_2$$
 $x_1 \longrightarrow x_2$ + Permutationen = 0
$$x_3 \longrightarrow x_4$$
 $x_4 \longrightarrow x_3 \longrightarrow x_4$ aus Nenner

Zusätzliche Feynman-Regel:

$$\int \frac{d^D p_j}{(2\pi)^D} \exp(ip_j x_j) \tag{771}$$

Damit unterscheiden sich die Feynmanregeln für S-Matrix-Elemente und Greenfunktionen in jeweils niedrigster Ordnung nur durch einen zusätzlichen Propagator pro externer Linie. Beispiel im Impulsraum für $\tilde{G}_4(p_1,\ldots,p_4)$: Beitrag von

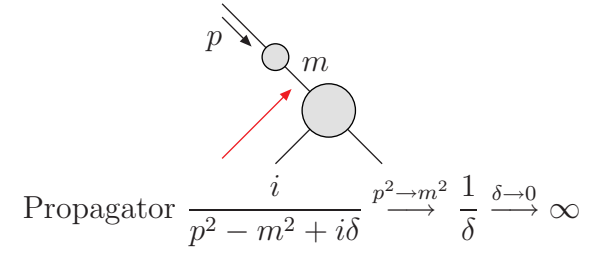


usw.

D.h. $i(2\pi)^4 \delta^{(4)}(p_1 + p_2 - p_3 - p_4)\mathcal{M}$ ist $(-i)^4$ mal dem Residuum des Pols von \tilde{G}_4 bei $p_1^2 = \cdots = p_4^2 = m^2$. Damit haben wir die LSZ-Formel *in niedrigster Ordnung* Störungstheorie gezeigt:

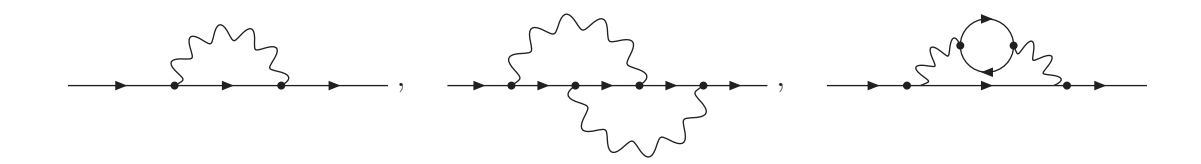
$$i\mathcal{M}(2\pi)^4 \delta^{(4)} \left(\sum_{j=1}^n p_j \right) = (-i)^n \prod_{j=1}^n \lim_{p_j^2 \to m^2} (p_j^2 - \underline{m_j^2}) \tilde{G}_n(p_1, \dots, p_n)$$
 (772)

 $(p_i$ alle einlaufend). Auf Schleifenniveau treffen wir auf ein Problem:

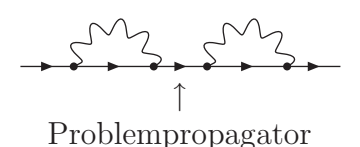


D.h. das Diagramm ist on-shell nicht definiert.

Selbstenergie: Diagramme, die beim Zerschneiden einer Linie in Teildiagramme zerfallen, werden 1-Teilchen-reduzibel (1PR) genannt. Beispiel aus der QED:



sind 1-Teilchen-irreduzibel (1PI), aber



ist 1PR. Zweipunktfunktion

$$\tilde{G}_{2}(p) =: (2\pi)^{4} \delta^{(4)}(p_{1} + p_{2}) \tilde{G}_{2}(p_{1} + p_{2})$$

$$p_{1} \qquad p_{2}$$

Dyson-Renormierung:

$$\tilde{G}_{2}(p) = \underbrace{\vec{p}}_{p} + \underbrace{i\Sigma}_{p^{2} - m_{0}^{2}} + \underbrace{i\Sigma}_{p^{2} - m_{0}^{2}} + \dots
= \frac{i}{p^{2} - m_{0}^{2}} + \frac{i}{p^{2} - m_{0}^{2}} i\Sigma \frac{i}{p^{2} - m_{0}^{2}} + \dots
= \frac{i}{p^{2} - m_{0}^{2}} \sum_{n=0}^{\infty} \left(\frac{-\Sigma}{p^{2} - m_{0}^{2}}\right)^{n} = \frac{i}{p^{2} - m_{0}^{2}} \frac{p^{2} - m_{0}^{2}}{p^{2} - m_{0}^{2} + \Sigma} = \frac{i}{p^{2} - m_{0}^{2} + \Sigma} \tag{773}$$

mit der 1-Teilchen-irreduziblen Selbstenergie $\Sigma = \Sigma(p^2, m_0^2)$. m_0 heißt unrenormierte/nackte/bare Masse:

$$\mathcal{L} = (\partial_{\mu}\varphi^{\dagger})(\partial^{\mu}\varphi) - m_0^2|\varphi|^2 - V(|\varphi|)$$

Aus (773) folgt die physikalische Masse oder Polmasse m_p :

$$m_p^2 = m_0^2 - \Sigma(m_p^2, m_0^2) \tag{774}$$

definiert m_p als Funktion von m_0 . (D.h. $\tilde{G}_2(p)$ hat einen Pol bei $p^2 = m_p^2$). (774) lässt Freiheit zur Massenrenormierung:

$$m_0^2 \to m_0^2 + \delta m^2 \qquad \Sigma \to \Sigma + \delta m^2$$

lässt m_p^2 unverändert.

Iterativ:

$$\lambda^{0}: \lambda^{0}\Sigma^{(0)} = 0: \quad m_{0}^{2} = m_{p}^{(0)2} \text{ (= Baumgraph)}$$

$$\lambda^{1}: \lambda^{1}\Sigma^{(1)} = \qquad \qquad \text{für } \varphi^{4}\text{-Theorie}$$

$$\text{oder} \qquad \qquad \text{für } \varphi^{3}\text{-Theorie}$$

$$m_{0}^{2} - \underbrace{\lambda\Sigma^{(1)}(m_{0}^{2}, m_{0}^{2})}_{=\Sigma(m_{s}^{2}, m_{0}^{2}) + O(\lambda^{2})} = m_{p}^{(1)2}$$

$$(776)$$

usw.: m_p ist definiert als Störungsreihe in λ . Entwicklen um $p^2=m_p^2$:

$$\Sigma(p^2, m_0^2) := \underbrace{\Sigma(m_p^2, m_0^2)}_{m_0^2 - m_p^2} + (p^2 - m_p^2) \Sigma'(m_p^2, m_0^2) + O((p^2 - m_p^2)^2)$$
also $\Sigma' = \frac{\partial \Sigma}{\partial p^2} \Big|_{p^2 = m_p^2}$

200

Einsetzen in (773):

$$\tilde{G}_{2}(p) \stackrel{p^{2} \to m_{p}^{2}}{\simeq} \frac{i}{(1 + \Sigma')(p^{2} - m_{p}^{2})} = \frac{iZ}{p^{2} - m_{p}^{2}}$$

$$(777)$$

mit

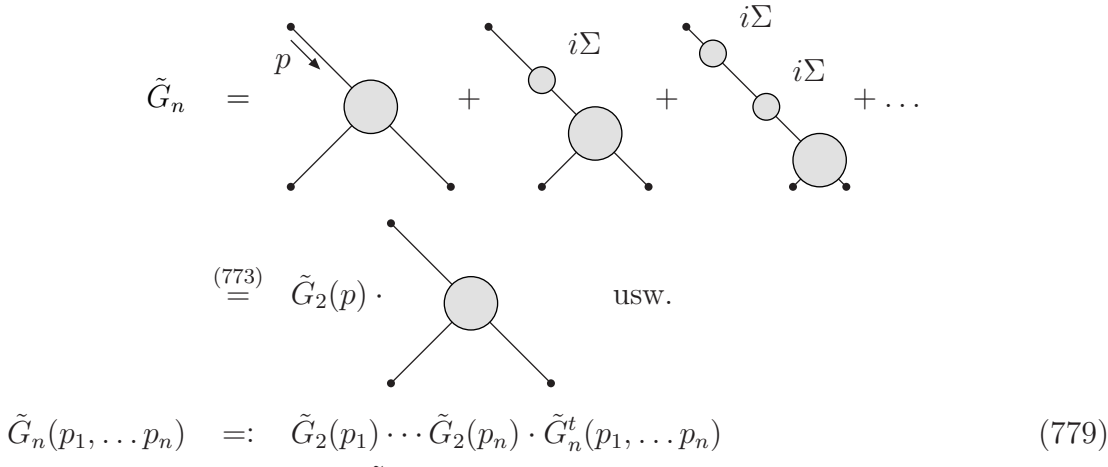
$$Z = \frac{1}{1 + \Sigma'} \tag{778}$$

Das heißt, in der Nähe des Pols verhält sich $\frac{1}{Z}\tilde{G}_2(p)$ wie eine freie Green-Funktion.

Vergleiche (777) mit (224), der Källén-Lehmann-Darstellung!

Z heißt LSZ-Faktor oder Residuum des 1-Teilchen-Pols.

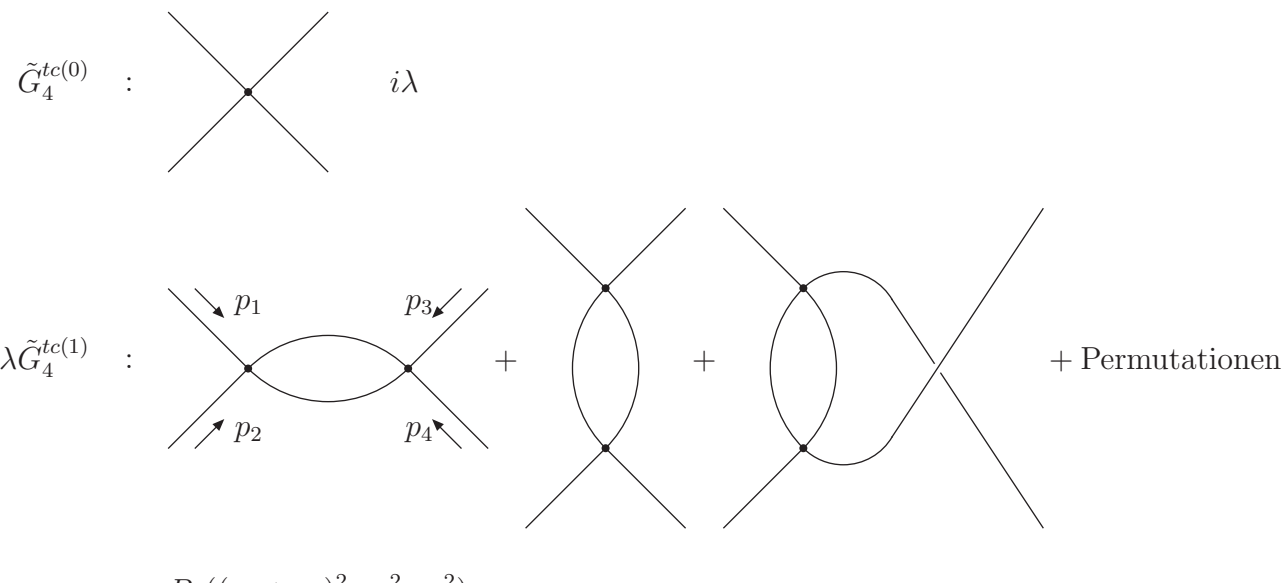
n-Punkt Green-Funktion mit $n \geq 3$:



mit der trunkierten Greenfunktion \tilde{G}_n^t .

D.h. \tilde{G}_n^t wird berechnet, indem man nur Feynman-Diagramme berechnet, die keine Selbstenergien in externen Beinen haben und dabei die Faktoren $i(p^2 - m^2)^{-1}$ für die externen Beine weglässt.

 \tilde{G}_n^{tc} bezeichnet die **zusammenhängende/connected Greenfunktion**, bei der nur zusammenhängende Feynmangraphen (also echte Streu- und Zerfallsprozesse) berechnet werden:



$$\propto B_0((p_1+p_2)^2, m^2, m^2)$$

(772) verallgemeinert sich zur **LSZ-Formel** (jetzt in beliebiger Ordnung in λ) und lautet dann:

$$\langle -\vec{p}_1, \dots, -\vec{p}_f | S | \vec{p}_{f+1}, \dots, \vec{p}_n \rangle = Z^{n/2} \cdot \tilde{G}_n^t(p_1, \dots, p_n)$$
 (780)

(Beweis siehe [5])

D.h. für einen 2-2-Streuprozess müssen wir $\lambda \tilde{G}_4^{tc}$ und zusätzlich $Z=(1+\Sigma')^{-1}$ berechnen. Aber

$$\Sigma = \frac{}{\vec{p}}$$

hängt nicht von p ab, so dass hier $\Sigma' = \frac{\partial \Sigma}{\partial p^2} = O(\lambda^2)$ ist.

Fermionen: \tilde{G}_2^{-1} sind $4\times 4\text{-Matrizen}$ mit Dirac-Indizes

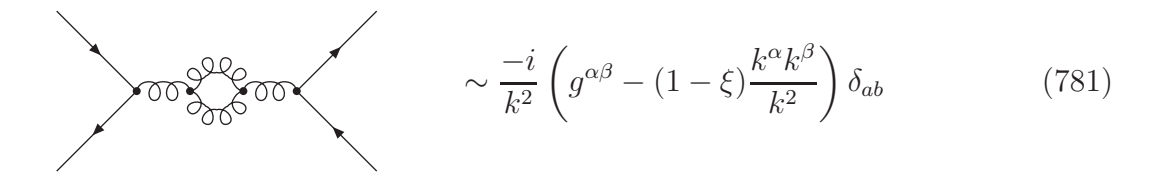
$$[\tilde{G}_2^{-1}(p)]_{\alpha\beta} = \frac{[\not p - m]_{\alpha\beta}}{iZ}$$

die entsprechend mit den freien Dirac-Indizes in $\tilde{G}_{n,\dots,\beta,\dots}$ kontrahiert werden, um $\tilde{G}_{n,\dots,\alpha,\dots}^t = \tilde{G}_{2\alpha\beta}^{-1} \cdot \tilde{G}_{n,\dots,\beta,\dots}$ zu definieren. Die freien Indizes von \tilde{G}_n^t werden wie üblich mit Spinoren $\bar{u}_{\alpha}(p)$ usw. kontrahiert.

Letztes Element für Feynman-Regeln einer Eichtheorie:

6.5.4 Faddeew-Popow-Geistfelder

Problem: Schleifen mit Eichbosonen, z.B. Gluonen



Propagator schließt alle Polarisationen ein, aber nur zwei sind physikalisch! $\Rightarrow \ddot{U}berz\ddot{a}hliqe$ Freiheitsgrade müssen wieder abgezogen werden

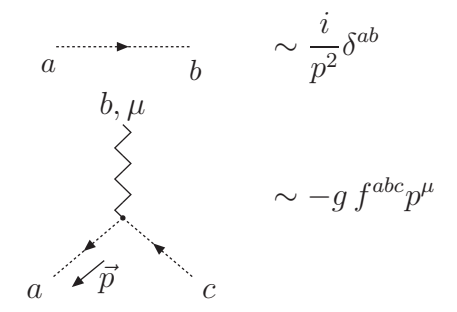
FP-Geistfelder
$$C^a$$
 (782)

mit (für SU(N)):

$$\mathcal{L}_{gf} = \bar{C}^a (-\partial^\mu D^{ab}_\mu) C^b$$

mit antivertauschenden Skalarfeldern in adjungierter Darstellung der SU(N) \Rightarrow Diagramm (782) bekommt Faktor (-1)

Feynman-Regeln:



Literatur

- [1] Sexl, Roman and Urbantke, Helmuth K.: Relativität, Gruppen, Teilchen, Springer
- [2] Bargman, Wigner, Proceedings of the National Academy of Sciences, Volume 34, No. 5 (1946) p. 211
- [PDT] Journal of Physics G, Nuclear and Particle Physics, Volume 33, July 2006
 - [3] K. Anikeev, et al B Physics at the Tevatron: Run II and Beyond, hep-ph/0201071
 - [4] W. Bernreuther CP violation and baryogenesis, hep-ph/0205279
 - [5] P. Becher, M. Böhm, und H. Joos: Eichtheorien der starken und elektroschwachen Wechselwirkung, Teubner
 - [6] G. 't Hooft and M. Veltman, Nucl. Phys. B 153 (1979) p. 365-401
 - [7] A. Denner, Fortsch. Phys. 41 (1993) 307

Index

1-Teilchen-irreduzibel, 198	Eichtheorien
1-Teilchen-irreduziblen Selbstenergie, 199	nichtabelsche, 129
1-Teilchen-reduzibel, 198	Eichtransformation
1/N - Entwicklung, 140	U(1)-, 110
2-Körper-Phasenraumelement, 98	Eichunabhängigkeit, 114
Asymptotische Zustände, 62 Austauschteilchen massive, 134	Eichung unitäre, 157 Elektoschwache Baryogenese, 181 elektrischen Ladung, 150
Baryonenzahl, 166 Basis chirale, 16 Weyl, 16 Baumgraphen, 78	elektroschwache Phasenübergang, 180 Energie-Impuls-Tensor, 27 euklidisch, 102 euklidischen Impuls, 192 Euler-Lagrange-Gleichungen, 20
bi-unitären Transformation, 161	faktorisiert, 142
Boost, 10	farb-erlaubt, 143
Born'sche Näherung, 80	farb-unterdrückt, 143
Bosonen, 36	·
,	Farbe, 93, 134
Casimir-Operator, 131	Feldoperator, 35
quadratischer, 131	Feldstärketensor, 24
Casimir-Operatoren, 131	Feynman
CP-Asymmetrie	-Graphen, 43
Mischungsinduzierte, 170, 174	-Propagator, 48
Crossing, 125	-Regeln, 69
	für Dirac-Felder, 82
Dalitz-Plot, 99, 100	Impulsraum-, 77
Darstellung, 130	Ortsraum-, 76
adjungierte, 130	flavour-ändernden neutralen Ströme, 164
Dilogarithmen, 194	flavour-diagonal, 162
Dimension, 7	flavour-spezifischer, 173
Dimension, 129	Fockraum, 43
dimensionalen Regularisierung, 186	
Dirac-Basis, 24	Gell-Mann-Matrizen, 138
direkte CP-Asymmetrie, 168	Gell-Mann-Nishima-Relation, 150
direkten CP-Asymmetrie, 174	Generatoren, 129
Down-Massenmatrix, 162	GIM-Mechanismus, 164
Dynkin-Index, 130	Goldstone-Bosonen, 144
Dyson-Reihe, 55	Gram-Determinante, 191
·	Green-Funktion, 53
Eichfelder, 111	Greenfunktion
Eichkopplung, 111	connected, 200
Eichprinzip, 110	zusammenhängende, 200

Zweipunkt-, 57	Massenterme, 162
	Matrixelement, 86
Händigkeit	Mikrokausalität, 46
linkshändig, 17	Mischungsasymmetrie, 173
rechtshändig, 17	
Hamilton-Dichte, 28	nichtabelsch, 129
Hyperladung, 149	nichtkommutativ, 129
	Noether-Theorem, 26
innere Impulse, 77	Normalordnung, 36
invariante Masse, 97	D 1:1 1 1:3/1/ 10
irreduzibel, 130	Pauli-Lubanski-Vektor, 18
irreduziblen, 143	planare, 140
Jacobi-Identität, 129	Polarisation skalare, 113
Källén-Lehmann-Spektraldarstellung, 60	skalarer, 115
kinematisch verboten, 75	Polarisationssumme, 89
Klein-Gordon-Gleichung	Prinzip der extremalen Wirkung, 20
freie, 64	Proca-Feld, 24
Kobayashi-Maskawa Phase, 165	Prozesse
Kontraktion, 66	s - Kanal, 128
,	Quark-Flavours, 138
Lagrangedichte, 20	Quark-Playours, 130
Lebensdauer, 86	Rang, 138
Lehmann-Symanzik-Zimmermann, 196	Rapidität, 10
Lepton-Zahlen, 166	reell, 133
Lie-Algebra, 129	regularisiert, 186
Lie-Gruppe, 129	Residuum des 1-Teilchen-Pols, 200
Loop, 77	,
Loop-Impulse, 79	S-Matrix, 63
Lorentz-Bedingung, 112	Schleife, siehe Loop
LSZ-Faktor, 200	Schleifendiagramm, 78
LSZ-Formel, 201	schleifeninduziert, 182
-) -	Schleifenkorrekturen, 183
Mandelstam-Variablen, 127	Schnitt, 123
Masse	Schursches Lemma, 131
bare, 199	schwache Isospin, 134
nackte, 199	schwachen Konvergenz, 63
physikalische, 199	schwacher Isospin, 149
Pol-, 199	semileptonischen CP-Asymmetrie, 177
unrenormierte, 199	skalare Integral, 185
Massen-Term, 22	Sphaleronen, 179
Masseneigenzustände, 163	Spin-Statistik-Theorem, 46
Massenmatrix, 145, 171	Spin-Summe, 52
Massenterm	Spinoren, 51
Dirac-, 23	spontan gebrochen, 144
Majorana-, 23	spontan gebrochene, 143
	- · · · · · · · · · · · · · · · · · · ·

Störungstheorie, 64 starker Phasenübergang, 182 Stoßparameter, 103 Strahlungseichung, 114 Strahlungskorrekturen, 80 Streuamplitude, 43 Streumatrix, 63 Streuguerschnitt totaler, 102 Stromoperatoren, 142 Strukturkonstanten, 129 Symmetrie chirale, 144 lokale innere SU(N) - , 134 Symmetriebrechung dynamischer, 146 Symmetrien äußere Symmetrien, 22 innere Symmetrien, 22 symplektische Form, 133 Tachyonen, 19 Teilchen masseloses, 19 massives, 19 virtuelle, 45 Tensorintegral, 185 Totale Zerfallsrate, 92 Transformation lokale U(1)-, 110 Transformationen globale, 26 trunkierten Greenfunktion, 200 U(3)xU(3)-Flavour-Symmetrie, 160 up-Massenmatrix, 163 Vakuum-Blasen, 197 Vakuumserwartungswert, 144 Vektorfeld, 24 Vektorintegral, 185 Ward-Identität QED-, 118, 122 Wechselwirkungsbild, 54 Wechselwirkungszuständen, 163

Weinberg-Winkel, 153
Wellenpacket, 43
Wick'sches Theorem, 66
Yang-Mills-Theorien, 134
Yukawa-Wechselwirkung, 85
zeitabhängige CP-Asymmetrie, 173
Zeitentwicklungsoperator, 55
Zerfallsbreite
sichtbare, 94
Zerfallsrate, 86
zusammengesetzter Operator, 147